

|                   |  |   |
|-------------------|--|---|
| část projektu :   | D - DOKUMENTACE OBJEKTŮ<br>TECHNICKÝCH A TECHNOLOG.ZAŘÍZENÍ<br>D.1 - SO 701 - SPORTOVNÍ HALA |   |
| objednatel :      | Městský úřad Turnov<br>Antonína Dvořáka 335<br>511 01 Turnov                                 |  |
| gen. projektant : | BFB studio<br>Komunardů 3<br>170 00 Praha 7  |   |
| projektant :      | Ing. Filip Jandejsek<br>Hodkovická 669<br>463 12 Liberec                                     |   |
| vypracoval :      | Ing. Filip Jandejsek   | z.číslo : 21RP003   |
| autorizoval :     | Ing. Pavel Konfršt   | datum : 09/2021   |
| akce :            | REKONSTRUKCE A DOSTAVBA<br>SPORTOVNÍ HALY V TURNOVĚ  | stupeň :<br>DUR+DSP   |
|                   |  | měřítko :<br>..   |
| příloha :         | D.1.2 STAVEBNĚ - KONSTRUKČNÍ ŘEŠENÍ  | č.přílohy :<br>D1.2.1   |

## **A. Konstrukční systém nových objektů**

Úlohou statického výpočtu je navrhnout prefabrikovaný železobetonový skelet, který bude komunikačně propojený se stávajícím objektem zázemí sportovní haly. Objekt původní míčové haly bude nahrazený novou konstrukcí haly v původním místě a směrem na jih dojde k rozšíření areálu o novou halu pro lezecký sport včetně dalších zázemí. Mezi halou pro míčové sporty a lezeckou halou dojde k novému přestřešení stávající střechy, kde vznikne strojovna VZT.

Hala pro míčové sporty je jednoduchá konstrukce v půdorysu obdélníkového tvaru o osových rozměrech 28,8 x 45,6m. Výška haly u atiky je +12,0m. Nosná konstrukce haly je navržena z tyčových prefabrikovaných prvků; sloupy, sedlové vazníky, vaznice, ztužidla. V jižním štítu haly prochází na úrovni 2.NP ochoz, který je navržený z vysoké parapetní stěny a monolitické desky. Východní část fasády je rozšířena vně půdorys haly o sklad nářadí resp. tribunu. Nosná konstrukce je kombinací cihelné vyzdívky a monolitické desky. Střešní plášť tvoří trapézový plech jako spojitý nosník pnutý přes více polí. Opláštění haly je ze sendvičových panelů. Sloupy haly jsou vetknuté do velkopřůměrových pilot.

Objekt letecké haly je jednoduchá konstrukce v půdorysu nepravidelného tvaru, která se nechá opsat písmenem „L“. Kratší štítová stěna má délku 18,0m, delší 28,5m, délka haly je 39,4m. Výška haly u atiky je +15,4m. Členění lezecké haly po patrech je proměnné. Dvě modulové osy u západního štítu jsou otevřené po celé výšce, navazující 4 moduly haly jsou rozdělené stropem 1.NP. Dále východní štít k ochozu v míčové hale je členěný na 3 nadzemní patra. Nosná konstrukce haly je navržena z tyčových prefabrikovaných prvků doplněná o stropy z dutinových panelů. Část východního štítu je zděná. Střešní plášť tvoří trapézový plech jako spojitý nosník pnutý přes více polí. Opláštění haly je kombinací cihelné vyzdívky s vnějším skládaným opláštěním. Sloupy haly jsou vetknuté do velkopřůměrových pilot.

## **B. Technický popis**

### **Základní popis inženýrskogeologických poměrů**

Výsledky archivních prací potvrzují předpoklady základní geologické mapy 1 : 50 000. Ve svrchní vrstvě byl v zájmovém území potvrzen výskyt sprašových hlín o proměnlivé mocnosti. Pod vrstvou sprašových hlín se místy (mimo řešené staveniště) nachází vrstva písčitých hlín až hlinitých písků pravděpodobně deluviálního původu. Sprašové hlíny spolu s deluviálními sedimenty většinou leží na vrstvě písků a štěrků staré říční terasy. Skalní podloží je tvořeno jemnozrnnými vápnitými pískovci jizerského souvrství.

Podzemní voda nebyla v žádném vrtu zastižena, terasové hlinité štěrkopísky jsou dokumentovány jako suché a hladinu pozemní vody předpokládáme zakleslou v pískovcovém skalním podloží v hloubce větší než 15 m pod terénem

## Založení objektu

### geotechnické vlastnosti zastižených zemin a hornin

Zeminy a horniny zastižené v průzkumných sondách byly rozděleny do geotechnických typů. Geotechnický typ (GT typ) představuje zeminy, nebo horniny s blízkými geotechnickými vlastnostmi. Na základě zjištěných geologických poměrů byly v zájmovém území vyčleněny 3 geotechnické typy.

**I. geotyp** – sprašové hlíny

**F6 CI**

**II. geotyp** – fluvialní štěrky a písky

**G3 / G-F**

**III. geotyp** – skalní podloží – zrnitý vápenitý pískovec

**R6/S2**

| Geotyp        | $v$  | $\gamma$<br>[kN/m <sup>3</sup> ] | $E_{def}$<br>[MPa] | $C_{ef}$<br>[kPa] | $\phi_{ef}$<br>[°] | $C_u$<br>[kPa] | $\phi_u$<br>[°] |
|---------------|------|----------------------------------|--------------------|-------------------|--------------------|----------------|-----------------|
| I - F6        | 0,40 | 21,0                             | 4,5                | 12                | 19                 | 50             | 0               |
| II - G3       | 0,25 | 19,0                             | 95,0               | -                 | 35,5               | -              | -               |
| III – R6 (S4) | 0,28 | 18,5                             | 40,0               | -                 | 35,5               | -              | -               |

### pilotové založení

Objekt bude založen hlubinně na velkopřůměrových plovoucích pilotách průměru 900 a 600 mm. Piloty jsou umístěné pod sloupy skeletu. V půdorysu míčové haly jsou jednotně navrženy piloty průměru 900mm a délky 6,0m. V místě lezecké haly jsou pod všechny vnitřní sloupy navrženy piloty průměru 600mm a délky 4,0m. Pod obvodovými sloupy jsou piloty průměru 900mm a délky 7,0m. Horní hrana piloty je ukončená hlavicí, do které je vetknutý sloup objektu. Piloty průměru 600mm mají hlavici průměru 900mm a výšky 1,2m, piloty průměru 900mm mají hlavici průměru 1,2m a výšky 1,5m. Piloty budou navrženy pro definovanou třídu agresivity z betonu C25/30 s krytím výztuže 100 mm. Výztuž pilot bude vodivě propojena se zemnicí pásky v podkladním betonu. Pro krytí výztuže budou použity betonové distančníky.

### základová spára

Základovou spáru pro podlahovou desku je nutné upravit na tyto parametry:

- $E_{def,2} = 60\text{MPa}$
- $R_{dt} = 150\text{kPa}$
- $E_{def,2}/E_{def,1} < 2,0$

Základová spára bude převzatá zodpovědným geologem stavby.

### **Svislé nosné konstrukce – sloupy**

Prefabrikované sloupy jsou vetknuté do kalichu hlavice piloty. V hlavě sloupů jsou uloženy střešní vazníky resp. štítové nosníky, ztužidla. Sloupy v lezecké hale dále vynášejí strop 1.NP v části půdorysu a také nosníky fasády, které jsou zatíženy cihelnou vyzdívkou stěn. V objektu jsou navrženy následující průřezy sloupů:

- 500x7000 – osa A a F
- 400x400 – osa 1,9 a Cx, Dx, 13J, 18J a 18Ex
- 600x600 – osa 13/Ex-I a 18/H-I
- 400x600 – osa 14H, 14J, 16H, 16J, 17Ex, 18G

Prefabrikované sloupy jsou navrženy z betonu třídy C45/55 XC1, výztuž B500B.

V ose 18/Cx-G jsou pouze v úrovni 1.NP navrženy ocelové kruhové sloupy průřezu Tr.273x12,5 S355. V ose Cx-Ex sloupy vynášejí markýzu, v ose Ex-G přechází od úrovně podlahy 2.NP do prefabrikovaných sloupů.

### **Střešní konstrukce objektu**

Střeška míčové haly má sedlový tvar o sklonu 2,0°. Nosnou konstrukci střechy tvoří trapézový plech TR 135/310/1,00mm pnutý jako 2pólový nosník. Trapézový plech vynášejí vaznice obdélníkového průřezu 200x400 na rozpon 5,7m v osově vzdálenosti 3,6m. Jednolodní hala je zastřešena sedlovým vazníkem „I“ průřezu výšky 2,2m. Rozpon vazníku je 28,8m. Po obvodu haly jsou navržena ztužidla obdélníkového tvaru průřezu 200x600mm.

Střeška lezecké haly má sedlový tvar o sklonu 2,0°. Nosnou konstrukci střechy tvoří trapézový plech TR 160/250/1,00mm pnutý jako vícepólový nosník. Trapézový plech vynášejí vaznice obdélníkového průřezu 200x400 na rozpon 6,0m v osově vzdálenosti 4,6m. Jednolodní hala je zastřešena sedlovým vazníkem „T“ průřezu výšky 1,6m. Rozpon vazníku je 18,0m. Po obvodu haly jsou navržena ztužidla obdélníkového tvaru průřezu 200x600mm.

Prefabrikované vodorovné prvky jsou navrženy z betonu třídy C45/55 XC1, výztuž B500B.

### **Konstrukce střechy strojovny VZT**

Konstrukce střechy strojovny VZT je navržena z dutinových panelů tloušťky 320mm na rozpon 11,6m. Panely jsou uloženy na liniové konzoly průvlaků, které jsou součástí štítu míčové haly resp. podélné stěny lezecké haly.

### **Vodorovné konstrukce stropu 1.NP v lezecké hale**

Konstrukce stropu 1.NP v lezecké hale je navržena z dutinových panelů tloušťky 250mm na rozpon 6,0m. Panely jsou uloženy na průvlak s liniovou konzolou. Vnitřní průvlak jsou tvaru obráceného „T“ výšky 600mm, šířky 600mm. Konzola má délku 160mm. Krajní průvlak je tvaru „L“ výšky 600mm, šířky 450mm. Konzola má délku 160mm. Vnitřní konzola je zatížena stropní konstrukcí. Krajní konzola jak stropní konstrukcí, tak i cihelnou vyzdívkou stěny.

Prefabrikované vodorovné prvky jsou navrženy z betonu třídy C45/55 XC1, výztuž B500B.

## Vodorovné konstrukce pro opláštění lezecké stěny

V rámci vnějších stěn lezecké haly jsou po dílčích nadzemních patrech navrženy fasádní nosníky průřezu 400/600mm na rozpon 6,0m. Fasádní nosníky přenášejí svislé zatížení od cihelné vyzdívky stěny haly a od skládaného pláště a také účinky vodorovného zatížení od větru. Nosníky jsou uloženy na sloupy haly.

Prefabrikované vodorovné prvky jsou navrženy z betonu třídy C45/55 XC1, výztuž B500B.

### C. Zatížení a výpočet

Statický výpočet byl proveden v souladu s platnými ČSN EN normami. Stálá zatížení působící na konstrukci byla sestavena z projektové dokumentace objednatele statického výpočtu. Nahodilá a klimatická zatížení jsou specifikována dále ve statickém výpočtu.

### D. Použité normy

|             |   |
|-------------|---|
| EN 1990     | Zásady navrhování konstrukcí  |
| EN 1991-1-1 | Zatížení konstrukcí<br>Část 1-1: Obecná zatížení  |
| EN 1991-1-3 | Zatížení konstrukcí<br>Část 1-1: Zatížení sněhem  |
| EN 1991-1-4 | Zatížení konstrukcí<br>Část 1-1: Zatížení větrem  |
| EN 1992-1-1 | Navrhování betonových konstrukcí<br>Část 1-1: Obecná pravidla a pravidla pro pozemní stavby |
| EN 1993-1-1 | Navrhování ocelových konstrukcí<br>Část 1-1: Obecná pravidla a pravidla pro pozemní stavby  |
| EN 1997-1   | Navrhování geotechnických konstrukcí<br>Část 1-2: Obecná pravidla                           |

### E. Závěr

Návrh nosných konstrukcí je proveden dle platných norem ČSN a ČSN EN. Návrh vychází z typového řešení předchozí dokumentace a podkladů ze strany investora. Statický výpočet prokázal, že navržená konstrukce vyhoví pro daná zatížení na oba mezní stavy.

REKONSTRUKCE A DOSTAVBA SPORTOVNÍ HALY  
ALEŠOVA 1865, 511 01 TUŘNOV

SO 101 - SPORTOVNÍ HALA

1) ZATÍŽENÍ

STÁLÁ ZATÍŽENÍ

KOE STŘECHY

|                      |                       |
|----------------------|-----------------------|
| - ZELENÁ STŘECHA     | 2,0 kN/m <sup>2</sup> |
| - HYDROIZOLACE m PVC | 0,05                  |
| - TEPĚL. IZOLACE     | 0,20                  |
| - ASF. PÁS           | 0,05                  |
| - TR. PŮCH           | 0,25                  |
| - TECHN. REZERVA     | 0,75                  |

3,30 kN/m<sup>2</sup>

OSAHÉVÉ BŘEMENO V 1/2 L VAZNÍKU 10 kN

KOE PODLAHY OCHOZU

|                  |                        |
|------------------|------------------------|
| - DLAŽBA DO TĚLU | 0,50 kN/m <sup>2</sup> |
| - ANHYDRIT       | 1,20                   |
| - KROČEJ         | 0,05                   |
| - REZERVA        | 0,25                   |

Σ 2,00 kN/m<sup>2</sup>

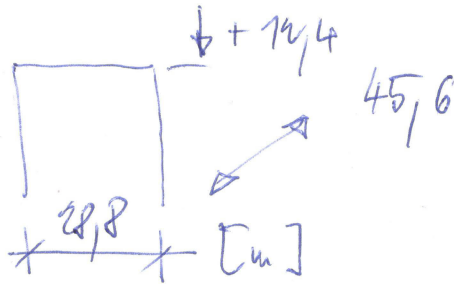
# NAHODILA ZATÍŽENÍ

- SNÍŽ

$$s_k = 1,2 \text{ kN/m}^2 \quad \mu_1 = 0,8 \quad s = 0,8 \times 1,2 = 1,0 \text{ kN/m}^2$$

- VÍTR

$$v_{k,0} = 15 \text{ m/s} \quad \text{KAT. TERÉNU III}$$



$$q_p = 0,723 \text{ kN/m}^2$$

- PRŮVOD - OCHOZ

- ZAT. KATEGORIE "C"  $5,0 \text{ kN/m}^2$

- VODOR. ZAT. NA ZÁBRADLÍ  $1,0 \text{ kN/m}^2$

|   |                     |  |                 |            |
|---|---------------------|--|-----------------|------------|
|  | PROFILFORM DESIGNER |  |                 |            |
|   | Projektant:         |  | Název akce:     | -          |
|   | Společnost:         |  | Místo stavby:   | -          |
|   | Adresa:             |  | Číslo projektu: | -          |
|   | Telefon:            |  | Název souboru:  | -          |
|   | E-mail:             |  | Datum           | 29.06.2021 |

## Větrový modul

Použité EC normy: Česká republika

### Sumarizační tabulka

|                      |   | $z_e$ | $C_{dir}$ | $C_{season}$ | $v_{b,0}$ | $v_b$ | $C_{r(z)}$ | $C_{0(z)}$ | $k_r$ | $v_{m(z)}$ | $I_{v(z)}$ | $q_{p(z)}$ |
|----------------------|---|-------|-----------|--------------|-----------|-------|------------|------------|-------|------------|------------|------------|
| Referenční výška [m] | Střeška   | 12,4  | 1,00      | 1,00         | 25,00     | 25,00 | 0,80       | 1,00       | 0,22  | 20,04      | 0,27       | 0,723      |
|                      | Stěny   | 12,4  | 1,00      | 1,00         | 25,00     | 25,00 | 0,80       | 1,00       | 0,22  | 20,04      | 0,27       | 0,723      |
|                      | Štíty   | 12,4  | 1,00      | 1,00         | 25,00     | 25,00 | 0,80       | 1,00       | 0,22  | 20,04      | 0,27       | 0,723      |
| Nadmořská výška      | 275 m.n.m   |       |           |              |           |       |            |            |       |            |            |            |
| Terén                | terén III. - oblasti rovnoměrně pokryté vegetací nebo budovami (vesnice, předměstský terén, souvislý les) |       |           |              |           |       |            |            |       |            |            |            |

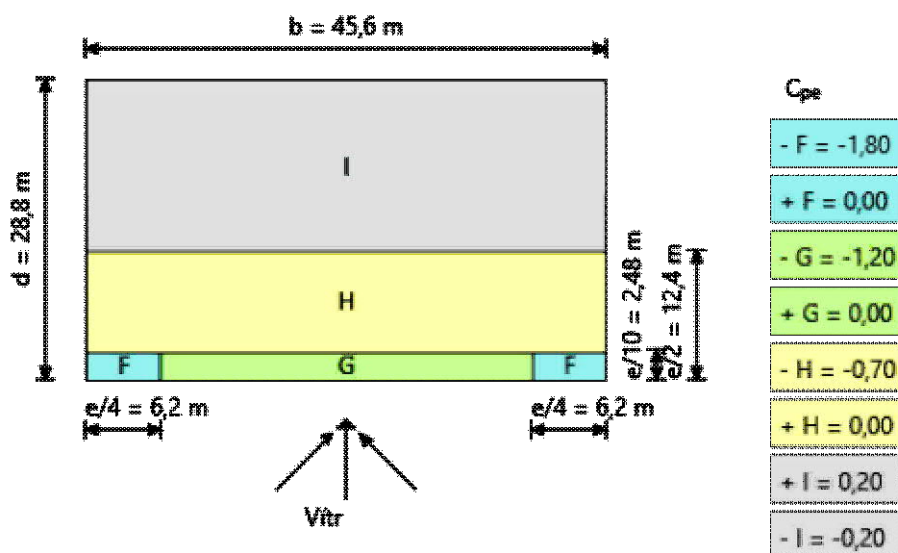
## Střeška

### Plochá střeška

Jednoduchý objekt

| Půdorysné rozměry objektu: |        |
|----------------------------|--------|
| Šířka                      | 28,8 m |
| Délka                      | 45,6 m |

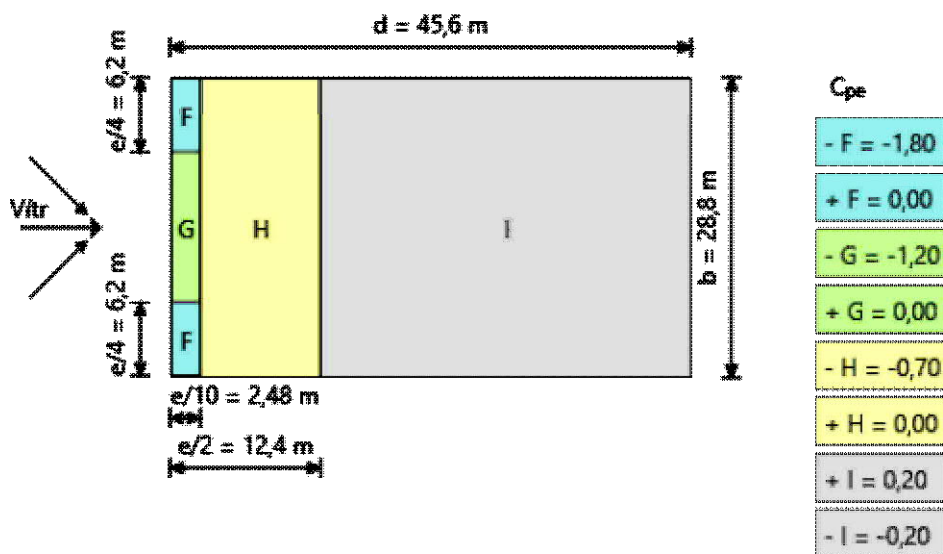
### Součinitele vnějšího tlaku $C_{pe}$ - Střeška



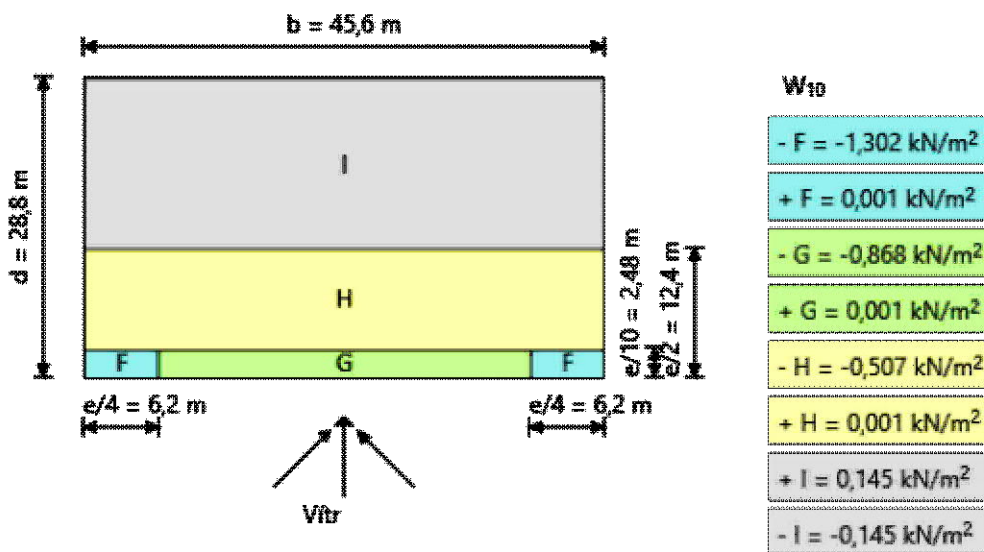


# PROFILFORM DESIGNER

|             |  |                 |            |
|-------------|--|-----------------|------------|
| Projektant: |  | Název akce:     | -          |
| Společnost: |  | Místo stavby:   | -          |
| Adresa:     |  | Číslo projektu: | -          |
| Telefon:    |  | Název souboru:  | -          |
| E-mail:     |  | Datum           | 29.06.2021 |



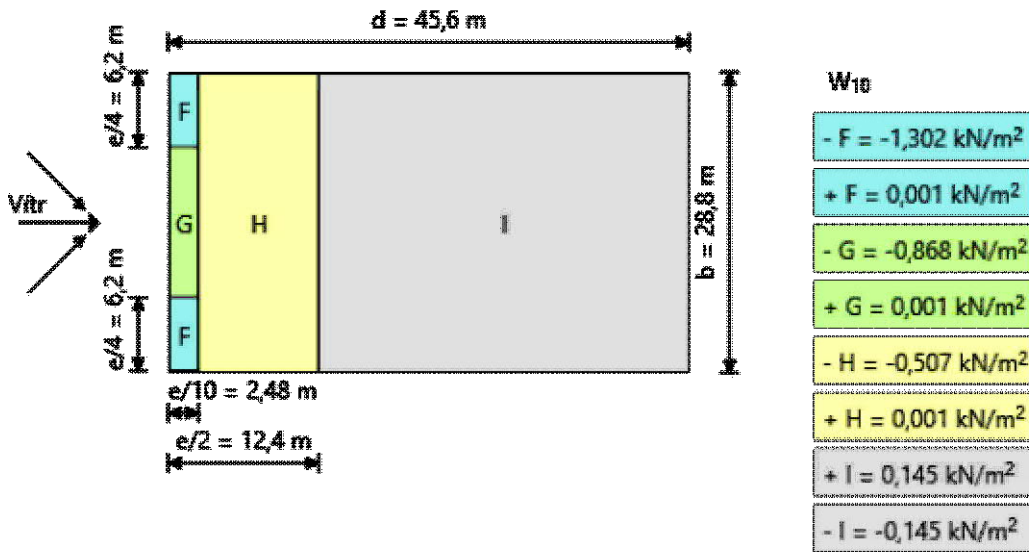
## Zatížení větrem W<sub>10</sub> - Střecha





# PROFILFORM DESIGNER

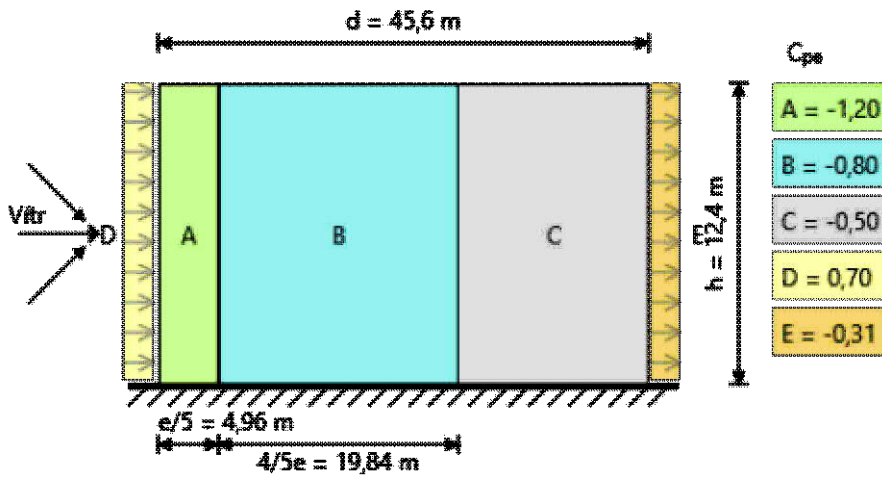
|             |  |                 |            |
|-------------|--|-----------------|------------|
| Projektant: |  | Název akce:     | -          |
| Společnost: |  | Místo stavby:   | -          |
| Adresa:     |  | Číslo projektu: | -          |
| Telefon:    |  | Název souboru:  | -          |
| E-mail:     |  | Datum           | 29.06.2021 |



## Stěna

| Půdorysné rozměry objektu: |        |
|----------------------------|--------|
| Šířka                      | 28,8 m |
| Délka                      | 45,6 m |

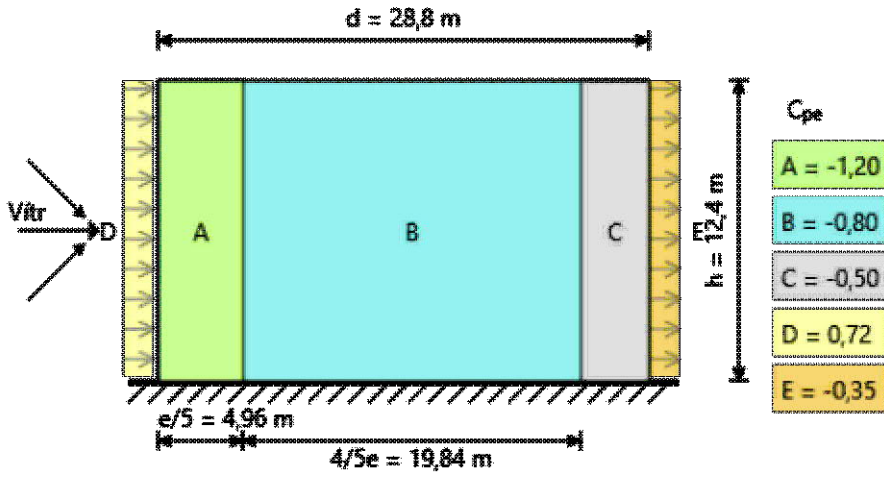
## Součinitele vnějšího tlaku C<sub>pe</sub> - Stěny



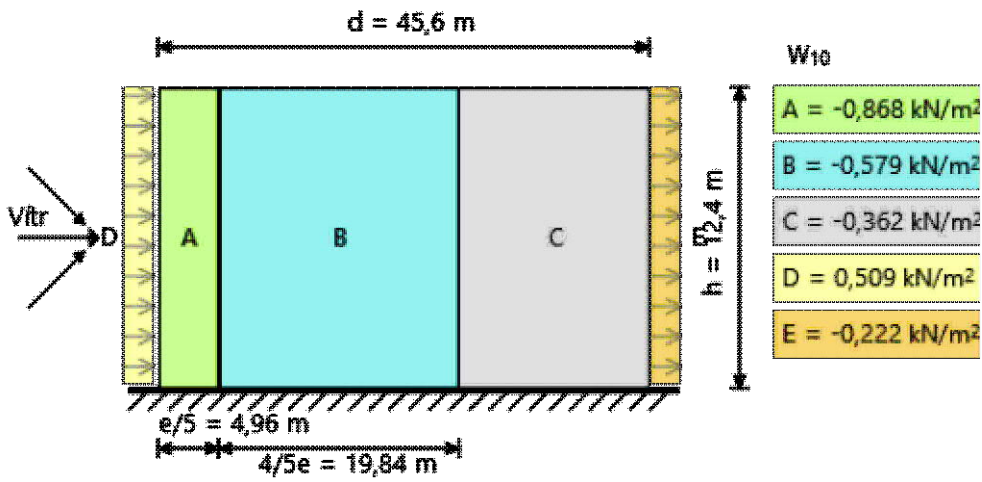


# PROFILFORM DESIGNER

|             |  |                 |            |
|-------------|--|-----------------|------------|
| Projektant: |  | Název akce:     | -          |
| Společnost: |  | Místo stavby:   | -          |
| Adresa:     |  | Číslo projektu: | -          |
| Telefon:    |  | Název souboru:  | -          |
| E-mail:     |  | Datum:          | 29.06.2021 |



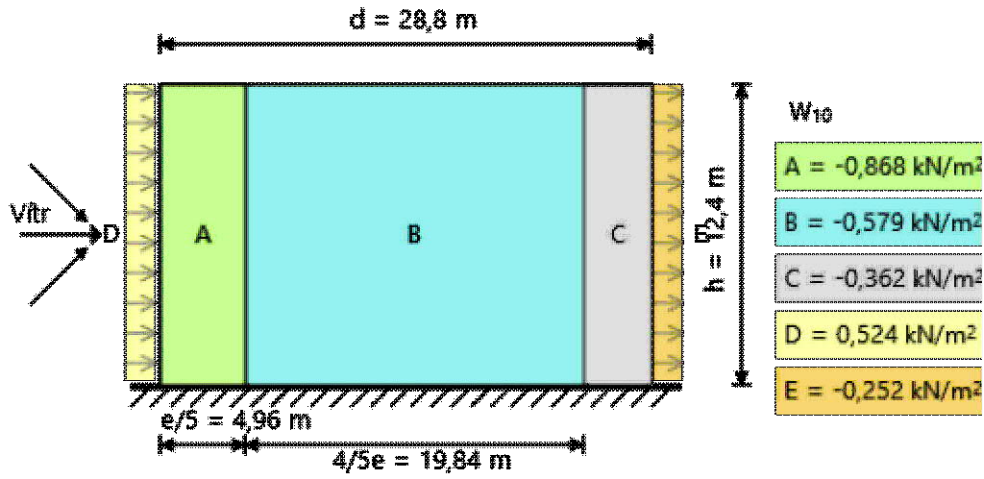
## Zatížení větrem $W_{10}$ - Stěny





# PROFILFORM DESIGNER

|             |  |                 |            |
|-------------|--|-----------------|------------|
| Projektant: |  | Název akce:     | -          |
| Společnost: |  | Místo stavby:   | -          |
| Adresa:     |  | Číslo projektu: | -          |
| Telefon:    |  | Název souboru:  | -          |
| E-mail:     |  | Datum           | 29.06.2021 |



2) TRAPEZOVÝ PLECH STŘECHY

$L = 3,6 \text{ m}$  SPOJ. NOSNÍK O 4 POLÍCH

$q_k = 3,3 + 1,0 \text{ kN/m}^2$

$\Rightarrow$  PROFIL TR 135/310/1,00 mm S 320 GD

3) ŽB VAZNICE STŘECHY

$L = 5,7 \text{ m}$   $B = 3,6 \text{ m}$

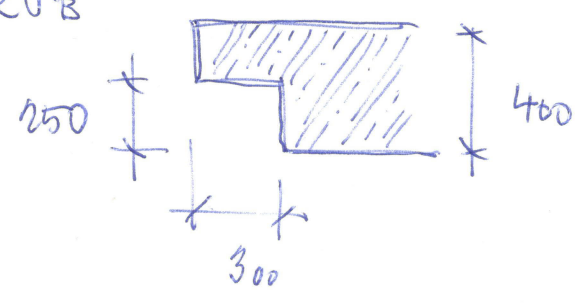
$q_k = 3,3 \text{ kN/m}^2 + \text{v. TĚHA}$

$q_k = 1,0 \text{ kN/m}^2$

| $[m]$ | $[kN/m']$ |
|-------|-----------|
| 3,6   | 11,9      |
| 3,0   | 3,0       |

PRŮŘEZ 200 x 400 C40/50

OZUB



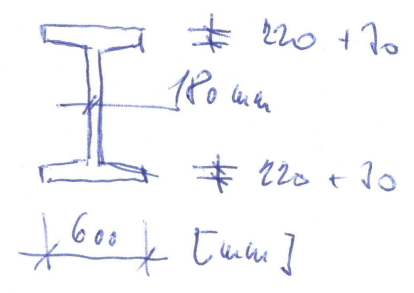
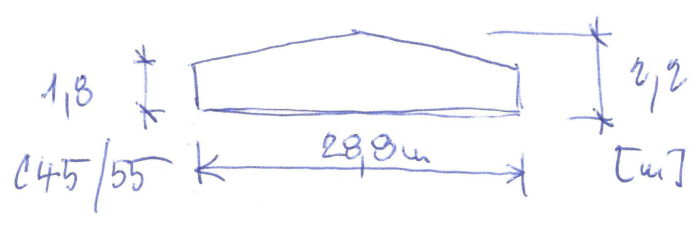
4) ŽB VAZNICE

$L = 28,8 \text{ m}$   $B = 5,7 \text{ m}$

$q_k = 3,8 \text{ kN/m}^2$   $5,7 \text{ m}$   $\approx 21,7 \text{ kN/m}'$

$q_k = 1,0 \text{ kN/m}^2$   $5,7 \text{ m}$   $\approx 6,0 \text{ kN/m}'$

$F_k = 10 \text{ kN } 1/2L$



|                      |                              |   |
|----------------------|------------------------------|---|
|                      | <b>Sportovní hala Turnov</b> |  |
| <b>střešní plech</b> | <b>hala míčových sportů</b>  |   |
|                      |                              |   |

## Profil: TR 135/310/1,00 - pozitivní dle ČSN EN 1993-1-3

### Vstupní hodnoty

|                            |                           |                     |
|----------------------------|---------------------------|---------------------|
| Mez kluzu:                 |                           | 320 MPa             |
| Počet polí                 |                           | 4                   |
| Rozpětí                    |                           | 4 x 3,6 m           |
| Šířka vnitřních podpor     |                           | 200 mm              |
| Limit pro průhyb:          | - od celkového zatížení:  | L/300               |
|                            | - od nahodilého zatížení: | L/200               |
| Vzdálenost koncové podpory |                           | $c > 1,5 \cdot h_w$ |

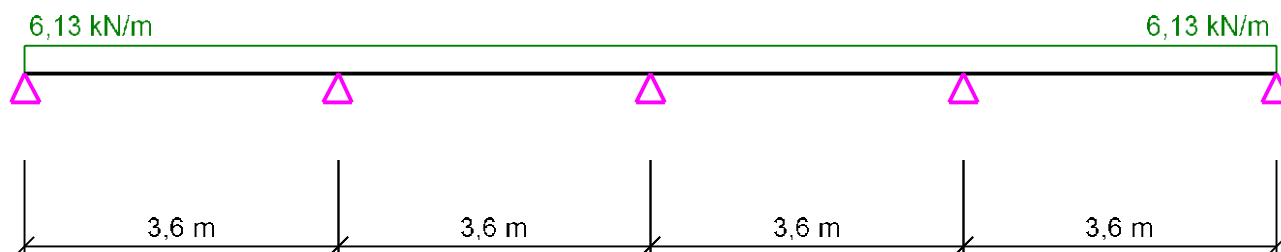
### Zatížení

|                     | Stálé | Nahodilé |
|---------------------|-------|----------|
| Součinitel zatížení | 1,35  | 1,50     |

### Spojité

|            | Charakteristické              |                                  | Návrhové celkem      |
|------------|-------------------------------|----------------------------------|----------------------|
|            | Stálé<br>[kN/m <sup>2</sup> ] | Nahodilé<br>[kN/m <sup>2</sup> ] | [kN/m <sup>2</sup> ] |
| Rovnoměrné | 3,43                          | 1,00                             | 6,13                 |

### Statické schéma:



### Výsledky výpočtu

#### Vyhovuje pro plech TR 135/310/1,00

Poměrné využití profilu **0,79 < 1,00**

#### Únosnost - poměrné využití profilu

|            |            |
|------------|------------|
| 1. pole    | 0,44 < 1,0 |
| 2. pole    | 0,24 < 1,0 |
| 3. pole    | 0,24 < 1,0 |
| 4. pole    | 0,44 < 1,0 |
| 1. podpora | 0,44 < 1,0 |
| 2. podpora | 0,79 < 1,0 |
| 3. podpora | 0,59 < 1,0 |
| 4. podpora | 0,79 < 1,0 |
| 5. podpora | 0,44 < 1,0 |

Plech v mezním stavu únosnosti vyhovuje

|                      |                              |   |
|----------------------|------------------------------|---|
|                      | <b>Sportovní hala Turnov</b> |  |
| <b>střešní plech</b> | <b>hala míčových sportů</b>  |   |
|                      |                              |   |

#### Použitelnost - poměrné využití profilu

|         |            |
|---------|------------|
| 1. pole | 0,51 < 1,0 |
| 2. pole | 0,18 < 1,0 |
| 3. pole | 0,18 < 1,0 |
| 4. pole | 0,51 < 1,0 |

Plech v mezním stavu použitelnosti vyhovuje

#### Celkový výsledek

**Profil: TR 135/310/1,00 - pozitivní dle ČSN EN 1993-1-3 vyhovuje**

Autor statické části programu Doc. Ing. Tomáš VRANÝ CSc.

Obsah

- 1 Geometrie
- 2 Zatěžovací stavy
- 3 Zatížení
- 4 Kombinace zatížení
- 5 Výsledky
- 6 Posouzení betonu

## 1 Geometrie

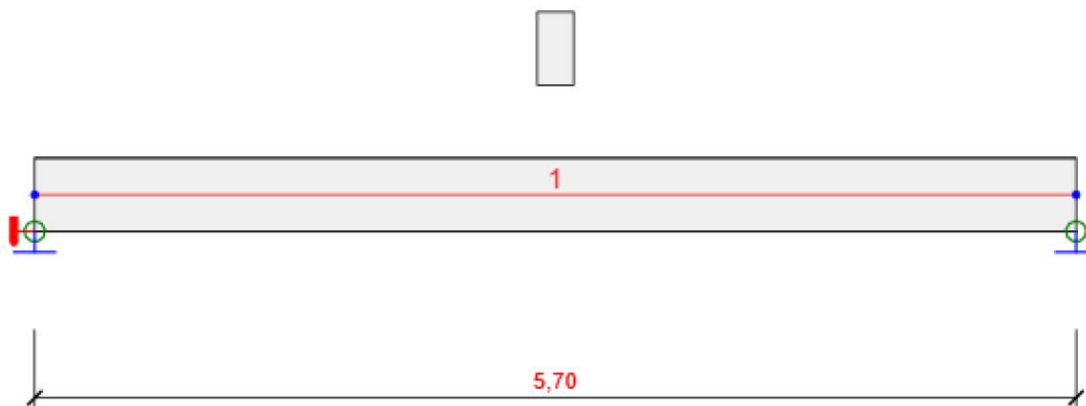


Schéma konstrukce

Směry zatížení a okrajové podmínky nemusí v rozvinutém pohledu souhlasit se skutečnými směry ve 3D

### Prvky

| Prvek | Délka [m] | Delta X [m] | Delta Y [m] | Průřez                |
|-------|-----------|-------------|-------------|-----------------------|
| 1     | 5,70      | 5,70        | 0,00        | 1 - Obdélník 400, 200 |

### Uzly

| Uzel | X [m] | Y [m] | Z [m] | Podpora |
|------|-------|-------|-------|---------|
| 1    | 0,00  | 0,00  | 0,00  | XYZRx   |
| 2    | 5,70  | 0,00  | 0,00  | YZ      |

## 2 Zatěžovací stavy

| Název | Typ      | Skupina zatížení | Zatížení [kN/m] |
|-------|----------|------------------|-----------------|
| SW    | Stálé    | LG1              | 0,0             |
| G     | Stálé    | LG1              | -11,9           |
| Q     | Proměnné | LG2              | -3,6            |

### Skupiny stálých zatížení

| Název | Y <sub>G, sub</sub> [-] | Y <sub>G, inf</sub> [-] | ξ [-] |
|-------|-------------------------|-------------------------|-------|
| LG1   | 1,35                    | 1,00                    | 0,85  |

### Skupiny proměnných zatížení

| Název | Typ        | Y <sub>q</sub> [-] | ψ <sub>0</sub> [-] | ψ <sub>1</sub> [-] | ψ <sub>2</sub> [-] |
|-------|------------|--------------------|--------------------|--------------------|--------------------|
| LG2   | Výběrová   | 1,50               | 0,70               | 0,50               | 0,30               |
| LG3   | Standardní | 1,50               | 0,70               | 0,50               | 0,30               |

## 3 Zatížení

## 4 Kombinace zatížení

| Název                   | Typ          | Vyhodnocení              |
|-------------------------|--------------|--------------------------|
| <b>MSÚZ</b>             | MSÚ základní | Eurokód, vzorec 6.10 a,b |
| 1,10*SW; 1,10*G; 1,10*Q |              |                          |
| <b>MSPCh</b>            | MSP char     | Eurokód, vzorec 6.14b    |
| SW; G; Q                |              |                          |
| <b>MSPČ</b>             | MSP častá    | Eurokód, vzorec 6.15b    |
| SW; G; Q                |              |                          |
| <b>MSPK</b>             | MSP kvazi    | Eurokód, vzorec 6.16b    |
| SW; G; Q                |              |                          |

## 5 Výsledky

## Obálky

### Vnitřní síly, Extrém na prvku, Síly k těžišti

| Prvek | Kombinace | Pozice [m] | N [kN] | V <sub>y</sub> [kN] | V <sub>z</sub> [kN] | M <sub>x</sub> [kNm] | M <sub>y</sub> [kNm] | M <sub>z</sub> [kNm] |
|-------|-----------|------------|--------|---------------------|---------------------|----------------------|----------------------|----------------------|
| 1     | MSÚZ(1)   | 0,00       | 0,0    | 0,0                 | 70,5                | 0,0                  | 0,0                  | 0,0                  |
| 1     | MSÚZ(1)   | 5,70       | 0,0    | 0,0                 | -70,5               | 0,0                  | 0,0                  | 0,0                  |
| 1     | MSÚZ(1)   | 2,85       | 0,0    | 0,0                 | 0,0                 | 0,0                  | 100,5                | 0,0                  |

| Kombinace | Popis kritických účinků zatížení |
|-----------|----------------------------------|
| MSÚZ(1)   | 1,49*SW + 1,49*G + 1,16*Q        |

### Deformace, Extrém na prvku,

| Prvek | Kombinace | Pozice [m] | u <sub>x</sub> [mm] | u <sub>y</sub> [mm] | u <sub>z</sub> [mm] | f <sub>x</sub> [mrad] | f <sub>y</sub> [mrad] | f <sub>z</sub> [mrad] |
|-------|-----------|------------|---------------------|---------------------|---------------------|-----------------------|-----------------------|-----------------------|
| 1     | MSPCh(2)  | 0,00       | 0,7                 | 0,0                 | 0,0                 | 0,0                   | 3,6                   | 0,0                   |
| 1     | MSPCh(2)  | 2,85       | 0,7                 | 0,0                 | -6,4                | 0,0                   | 0,0                   | 0,0                   |
| 1     | MSPCh(2)  | 5,70       | 0,7                 | 0,0                 | 0,0                 | 0,0                   | -3,6                  | 0,0                   |

| Kombinace | Popis kritických účinků zatížení |
|-----------|----------------------------------|
| MSPCh(2)  | SW + G + Q                       |

### Reakce

| Uzel | Kombinace | R <sub>x</sub> [kN] | R <sub>y</sub> [kN] | R <sub>z</sub> [kN] | M <sub>x</sub> [kNm] | M <sub>y</sub> [kNm] | M <sub>z</sub> [kNm] |
|------|-----------|---------------------|---------------------|---------------------|----------------------|----------------------|----------------------|
| 1    | MSÚZ(1)   | 0,0                 | 0,0                 | 70,5                | 0,0                  | 0,0                  | 0,0                  |
| 2    | MSÚZ(1)   | 0,0                 | 0,0                 | 70,5                | 0,0                  | 0,0                  | 0,0                  |

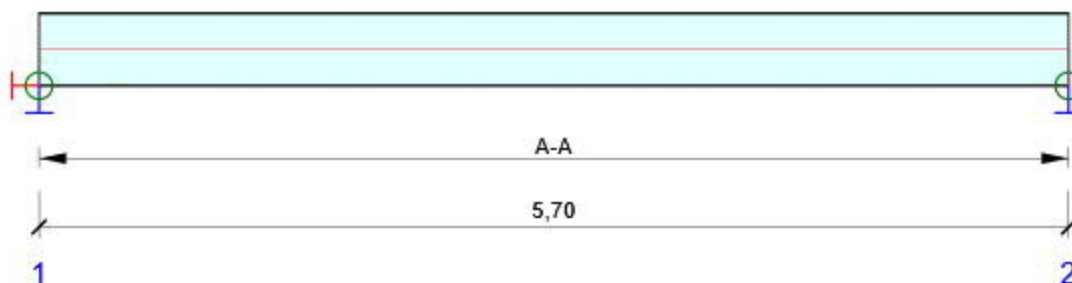
| Kombinace | Popis kritických účinků zatížení |
|-----------|----------------------------------|
| MSÚZ(1)   | 1,49*SW + 1,49*G + 1,16*Q        |

## 6 Posouzení betonu

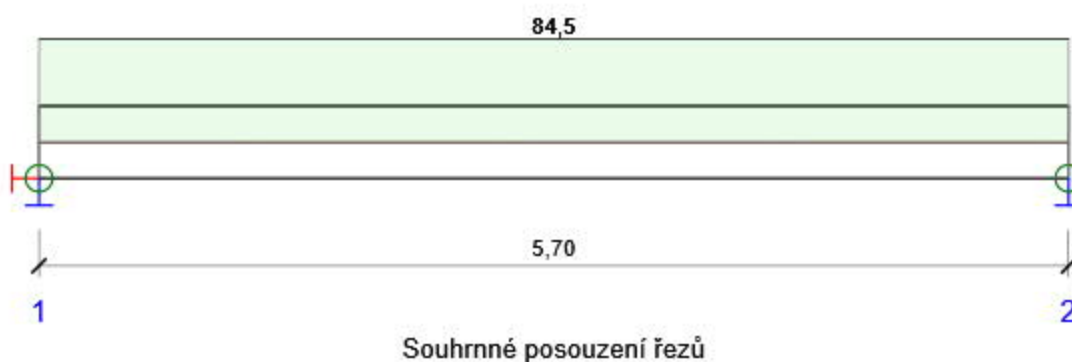
### Národní norma

|               |                     |
|---------------|---------------------|
| Národní norma | EN 1992-1-1:2014-12 |
| Životnost     | 50 let              |

## Schéma vyztužení



## Souhrn posudků řezů



| Kombinace      | $N_{Ed}$<br>[kN]                 | $M_{Ed,y}$<br>[kNm] | $V_{Ed}$<br>[kN] | Hodnota<br>[%] | Posudek |
|----------------|----------------------------------|---------------------|------------------|----------------|---------|
| Únosnost N-M-M |                                  |                     |                  |                |         |
| MSÚZ(1)        | 0,0                              | 100,5               | 0,0              | 70,6           | OK      |
| Smyk           |                                  |                     |                  |                |         |
| MSÚZ(1)        | 0,0                              | 0,0                 | -56,7            | 65,2           | OK      |
| Kroucení       |                                  |                     |                  |                |         |
| MSÚZ(1)        | 0,0                              | 0,0                 | -56,7            | 0,0            | OK      |
| Interakce      |                                  |                     |                  |                |         |
| MSÚZ(1)        | 0,0                              | 84,4                | 28,2             | 63,1           | OK      |
| Omezení napětí |                                  |                     |                  |                |         |
| MSPK(9)        | 0,0                              | 60,7                | 0,0              | 84,5           | OK      |
| Šířka trhliny  |                                  |                     |                  |                |         |
| MSPK(9)        | 0,0                              | 60,7                | 0,0              | 34,7           | OK      |
| Kombinace      | Popis kritických účinků zatížení |                     |                  |                |         |
| MSÚZ(1)        | 1,49*SW + 1,49*G + 1,16*Q        |                     |                  |                |         |
| MSPK(9)        | SW + G + 0,3*Q                   |                     |                  |                |         |

## Souhrn posudků průhybů

| $d_x$<br>[m]    | $u_{z,lin}$<br>[mm] | $u_{z,st}$<br>[mm] | $u_{z,ll}$<br>[mm] | $u_{z,lt}$<br>[mm] | $u_{z,lim} (\pm)$<br>[mm] | Hodnota<br>[%] | Posudek |
|-----------------|---------------------|--------------------|--------------------|--------------------|---------------------------|----------------|---------|
| Celkové průhyby |                     |                    |                    |                    |                           |                |         |
| 2,85            | -6,4                | -13,8              | -19,8              | -22,3              | 22,8                      | 97,7           | OK      |

### Kombinace vybrané pro posudek průhybů

| Název    | Typ        | Popis           |
|----------|------------|-----------------|
| MSPCh(2) | Celkem     | SW + G + Q      |
|          | Dlouhodobé | SW + G + 0,30*Q |

## Příčná stabilita

### Výkaz materiálu

Posudek příčné stability nebyl proveden. Pravděpodobně není žádný prvek pro posouzení.

| Délka<br>[m]   | Beton    |                   |      | Výztuž<br>[kg] | Celková hmotnost<br>[kg] | Výztuž /m <sup>3</sup> betonu<br>[kg/m <sup>3</sup> ] |
|----------------|----------|-------------------|------|----------------|--------------------------|---|
|                | Název    | [m <sup>3</sup> ] | [kg] |                |                          |   |
| 5,70           | C40/50   | 0,46              | 1140 | 73             | 1213                     | 160   |
| $\Phi$<br>[mm] | Materiál | Typ vyztužení     |      |                | Délka<br>[m]             | Hmotnost<br>[kg]                                      |
| 25             | B 500B   | Výztužné vložky   |      |                | 11,40                    | 44  |
| 14             | B 500B   | Výztužné vložky   |      |                | 11,40                    | 14  |
| 8              | B 500B   | Třmínky           |      |                | 38,30                    | 15  |

**Obsah**

- 1 Geometrie
- 2 Zatěžovací stavy
- 3 Zatížení
- 4 Kombinace zatížení
- 5 Výsledky
- 6 Posouzení betonu

## 1 Geometrie

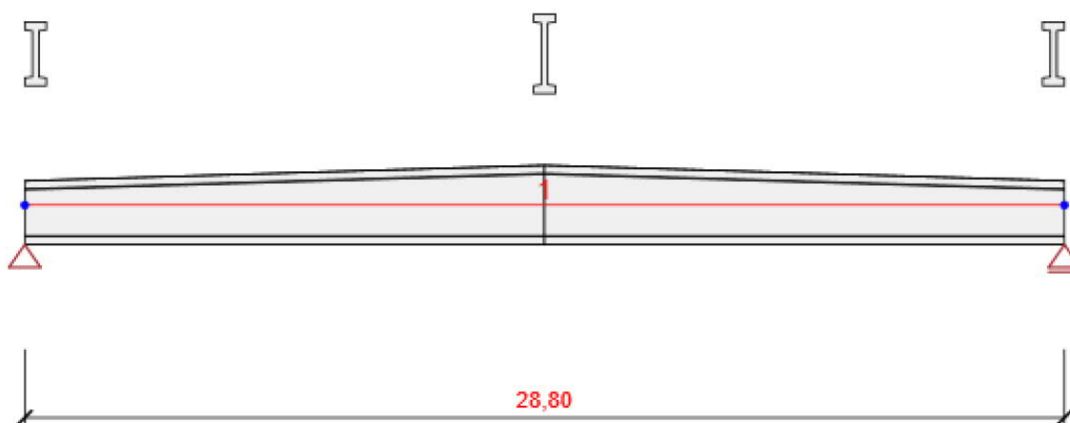


Schéma konstrukce

## Prvky

| Prvek | Délka [m] | Konec prvku [m] | Průřez                             |
|-------|-----------|-----------------|------------------------------------|
| 1     | 28,80     | 28,80           | 1 - I tvar s náběhy 2200, 600, 600 |

## Náběhy

| Prvek | Typ        | Průřez na levém konci          | Délka vlevo [m] | Průřez na pravém konci         | Délka vpravo [m] |
|-------|------------|--------------------------------|-----------------|--------------------------------|------------------|
| 1     | Symetrická | I tvar s náběhy 1770, 600, 600 | 14,40           | I tvar s náběhy 1770, 600, 600 | 14,40            |

## Uzly

| Uzel | X [m] | Podpora |
|------|-------|---------|
| 1    | 0,00  | XZ      |

Projekt: Sportovní hala Turnov  
 Číslo projektu: SO101 - vazník  
 Autor:

| Uzel | X [m] | Podpora |
|------|-------|---------|
| 2    | 28,80 | Z       |

## 2 Zatěžovací stavy

| Název | Typ      | Skupina zatížení | Zatížení [kN/m] |
|-------|----------|------------------|-----------------|
| SW    | Stálé    | LG1              | 0,0             |
| G     | Stálé    | LG1              | -20,0           |
| Q     | Proměnné | LG2              | -6,0            |

### Skupiny stálých zatížení

| Název | Y <sub>G, sub</sub> [-] | Y <sub>G, inf</sub> [-] | ξ [-] |
|-------|-------------------------|-------------------------|-------|
| LG1   | 1,35                    | 1,00                    | 0,85  |

### Skupiny proměnných zatížení

| Název | Typ        | Y <sub>q</sub> [-] | ψ <sub>0</sub> [-] | ψ <sub>1</sub> [-] | ψ <sub>2</sub> [-] |
|-------|------------|--------------------|--------------------|--------------------|--------------------|
| LG2   | Výběrová   | 1,50               | 0,70               | 0,50               | 0,30               |
| LG3   | Standardní | 1,50               | 0,70               | 0,50               | 0,30               |

## 3 Zatížení

### Zatěžovací stav G

#### Bodová silová zatížení

| Prvek | Velikost [kN] | X [m] | Pozice | Směr       | Úhel [°] |
|-------|---------------|-------|--------|------------|----------|
| 1     | -10,0         | 0,00  | 1 / 2  | Globální Z | 0,0      |

## 4 Kombinace zatížení

| Název                   | Typ          | Vyhodnocení              |
|-------------------------|--------------|--------------------------|
| <b>MSÚZ</b>             | MSÚ základní | Eurokód, vzorec 6.10 a,b |
| 1,10*SW; 1,10*G; 1,10*Q |              |                          |
| <b>MSPCh</b>            | MSP char     | Eurokód, vzorec 6.14b    |
| SW; G; Q                |              |                          |
| <b>MSPČ</b>             | MSP častá    | Eurokód, vzorec 6.15b    |
| SW; G; Q                |              |                          |
| <b>MSPK</b>             | MSP kvazi    | Eurokód, vzorec 6.16b    |
| SW; G; Q                |              |                          |

## 5 Výsledky

## Obálky

### Vnitřní síly, Extrém na prvku, Síly k těžišti

| Prvek | Kombinace | Pozice [m] | N [kN] | V <sub>z</sub> [kN] | M <sub>y</sub> [kNm] |
|-------|-----------|------------|--------|---------------------|----------------------|
| 1     | MSÚZ(2)   | 0,00       | -12,3  | 825,8               | 0,0                  |
| 1     | MSÚZ(2)   | 14,40      | -0,1   | 7,4                 | 6046,7               |
| 1     | MSÚZ(2)   | 28,80      | -12,3  | -825,8              | 0,0                  |

| Kombinace | Popis kritických účinků zatížení |
|-----------|----------------------------------|
| MSÚZ(2)   | 1,49*SW + 1,49*G + 1,16*Q        |

### Deformace, Extrém na prvku,

| Prvek | Kombinace | Pozice [m] | u <sub>x</sub> [mm] | u <sub>z</sub> [mm] | f <sub>ly</sub> [mrad] |
|-------|-----------|------------|---------------------|---------------------|------------------------|
| 1     | MSPCh(6)  | 0,00       | 3,4                 | 0,0                 | 3,9                    |
| 1     | MSPCh(6)  | 28,80      | 4,4                 | 0,0                 | -3,9                   |
| 1     | MSPCh(6)  | 14,40      | 3,9                 | -33,8               | 0,0                    |

| Kombinace | Popis kritických účinků zatížení |
|-----------|----------------------------------|
| MSPCh(6)  | SW + G + Q                       |

### Reakce

| Uzel | Kombinace | R <sub>x</sub> [kN] | R <sub>z</sub> [kN] | M <sub>y</sub> [kNm] |
|------|-----------|---------------------|---------------------|----------------------|
| 1    | MSÚZ(2)   | 0,0                 | 825,9               | 0,0                  |
| 2    | MSÚZ(2)   | 0,0                 | 825,9               | 0,0                  |

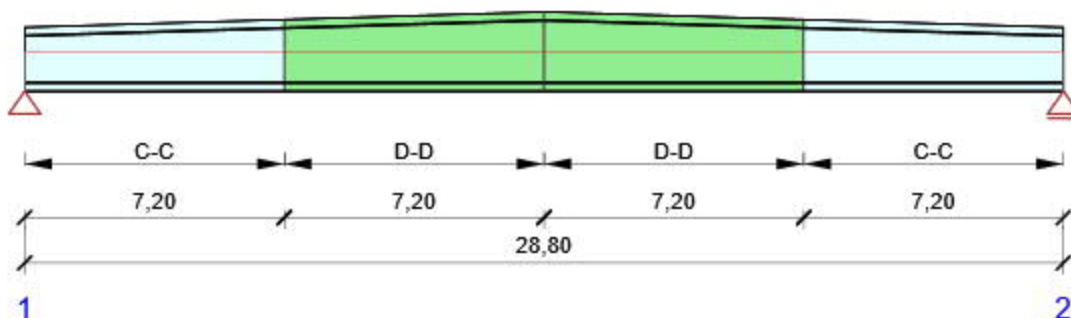
| Kombinace | Popis kritických účinků zatížení |
|-----------|----------------------------------|
| MSÚZ(2)   | 1,49*SW + 1,49*G + 1,16*Q        |

## 6 Posouzení betonu

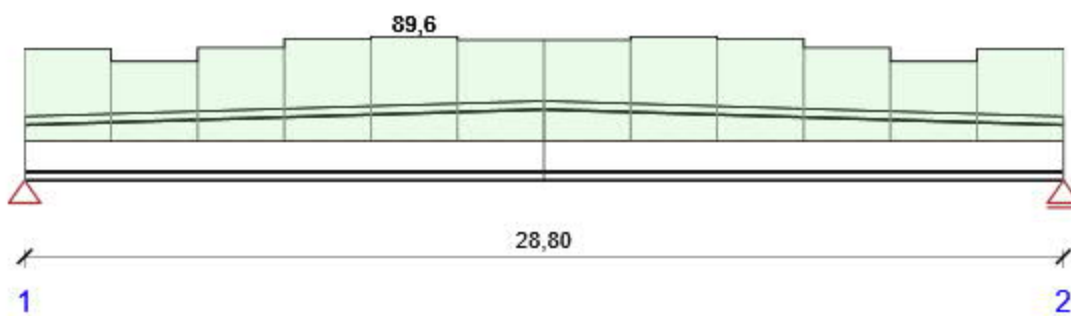
### Národní norma

|               |                     |
|---------------|---------------------|
| Národní norma | EN 1992-1-1:2014-12 |
| Životnost     | 50 let              |

## Schéma vyztužení



## Souhrn posudků řezů



Souhrnné posouzení řezů

| Kombinace                                | $N_{Ed}$<br>[kN]                 | $M_{Ed,y}$<br>[kNm] | $V_{Ed}$<br>[kN] | Hodnota<br>[%] | Posudek |
|--|----------------------------------|---------------------|------------------|----------------|---------|
| Únosnost N-M-M, Zóna: D-D (9,60 - 12,00) |                                  |                     |                  |                |         |
| MSÚZ(2)                                  | 0,0                              | 5860,6              | 146,5            | 80,2           | OK      |
| Smyk, Zóna: C-C (26,40 - 28,80)          |                                  |                     |                  |                |         |
| MSÚZ(2)                                  | 0,0                              | 0,0                 | -726,0           | 79,0           | OK      |
| Interakce, Zóna: D-D (9,60 - 12,00)      |                                  |                     |                  |                |         |
| MSÚZ(2)                                  | 0,0                              | 5860,6              | 146,5            | 89,6           | OK      |
| Omezení napětí, Zóna: D-D (9,60 - 12,00) |                                  |                     |                  |                |         |
| MSPK(10)                                 | 0,0                              | 3657,6              | 91,8             | 75,2           | OK      |
| Šířka trhliny, Zóna: D-D (9,60 - 12,00)  |                                  |                     |                  |                |         |
| MSPK(10)                                 | 0,0                              | 3657,6              | 91,8             | 55,9           | OK      |
| Kombinace                                | Popis kritických účinků zatížení |                     |                  |                |         |
| MSÚZ(2)                                  | 1,49*SW + 1,49*G + 1,16*Q        |                     |                  |                |         |
| MSPK(10)                                 | SW + G + 0,3*Q                   |                     |                  |                |         |

## Souhrn posudků průhybů

| $d_x$<br>[m]    | $u_{z,lin}$<br>[mm] | $u_{z,st}$<br>[mm] | $u_{z,ll}$<br>[mm] | $u_{z,lt}$<br>[mm] | $u_{z,lim} (\pm)$<br>[mm] | Hodnota<br>[%] | Posudek |
|-----------------|---------------------|--------------------|--------------------|--------------------|---------------------------|----------------|---------|
| Celkové průhyby |                     |                    |                    |                    |                           |                |         |
| 14,40           | -33,8               | -24,5              | -56,7              | -66,2              | 115,2                     | 57,5           | OK      |

### Kombinace vybrané pro posudek průhybů

| Název    | Typ        | Popis           |
|----------|------------|-----------------|
| MSPCh(6) | Celkem     | SW + G + Q      |
|          | Dlouhodobé | SW + G + 0,30*Q |

## Výkaz materiálu

| Délka<br>[m]   | Beton    |                   |       | Výztuž<br>[kg] | Celková hmotnost<br>[kg] | Výztuž /m <sup>3</sup> betonu<br>[kg/m <sup>3</sup> ] |
|----------------|----------|-------------------|-------|----------------|--------------------------|---|
|                | Název    | [m <sup>3</sup> ] | [kg]  |                |                          |   |
| 28,80          | C45/55   | 15,96             | 39906 | 3664           | 43570                    | 230   |
| $\Phi$<br>[mm] | Materiál | Typ vyztužení     |       | Délka<br>[m]   | Hmotnost<br>[kg]         |   |
| 32             | B 500B   | Výztužné vložky   |       | 288,00         | 1818                     |   |
| 16             | B 500B   | Výztužné vložky   |       | 288,00         | 455                      |   |
| 12             | B 500B   | Výztužné vložky   |       | 288,00         | 256                      |   |
| 10             | B 500B   | Třmínky           |       | 1841,85        | 1136                     |   |

5) ŽB SLOUPY

5.1) SLOUPY PĚTICHE' VAZBY

500 x 650 C45/55

5.2) ŠTÍTOVÉ' SLOUPY

400 x 400 C45/55

6) ŽB NOSNÍKY

ŠTÍTOVÉ' N. / ZTVŽÍDLA V HLAVĚ SLOUPU

100 x 600 C45/55

7) ŽB KONSTRUKCE OCHOZU

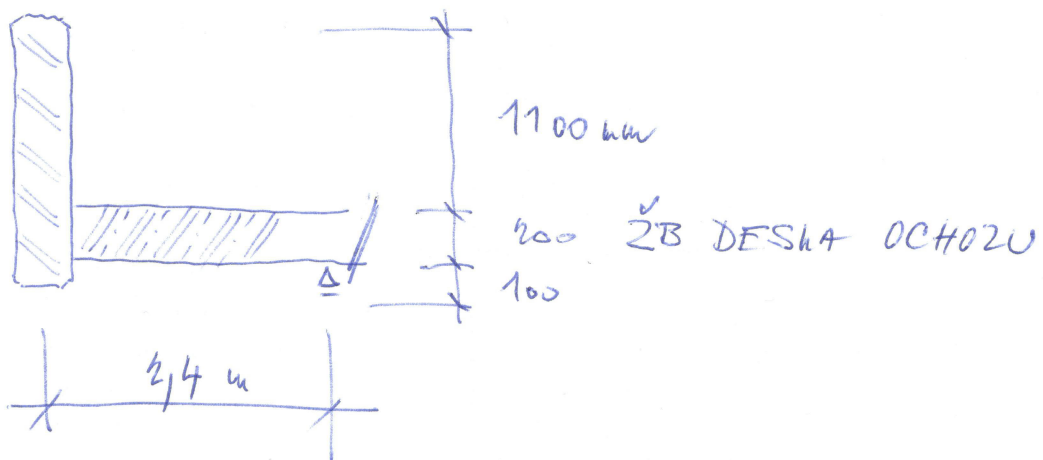
7.1) NOSNÍK OCHOZU

$L = 2,4 \text{ m}$

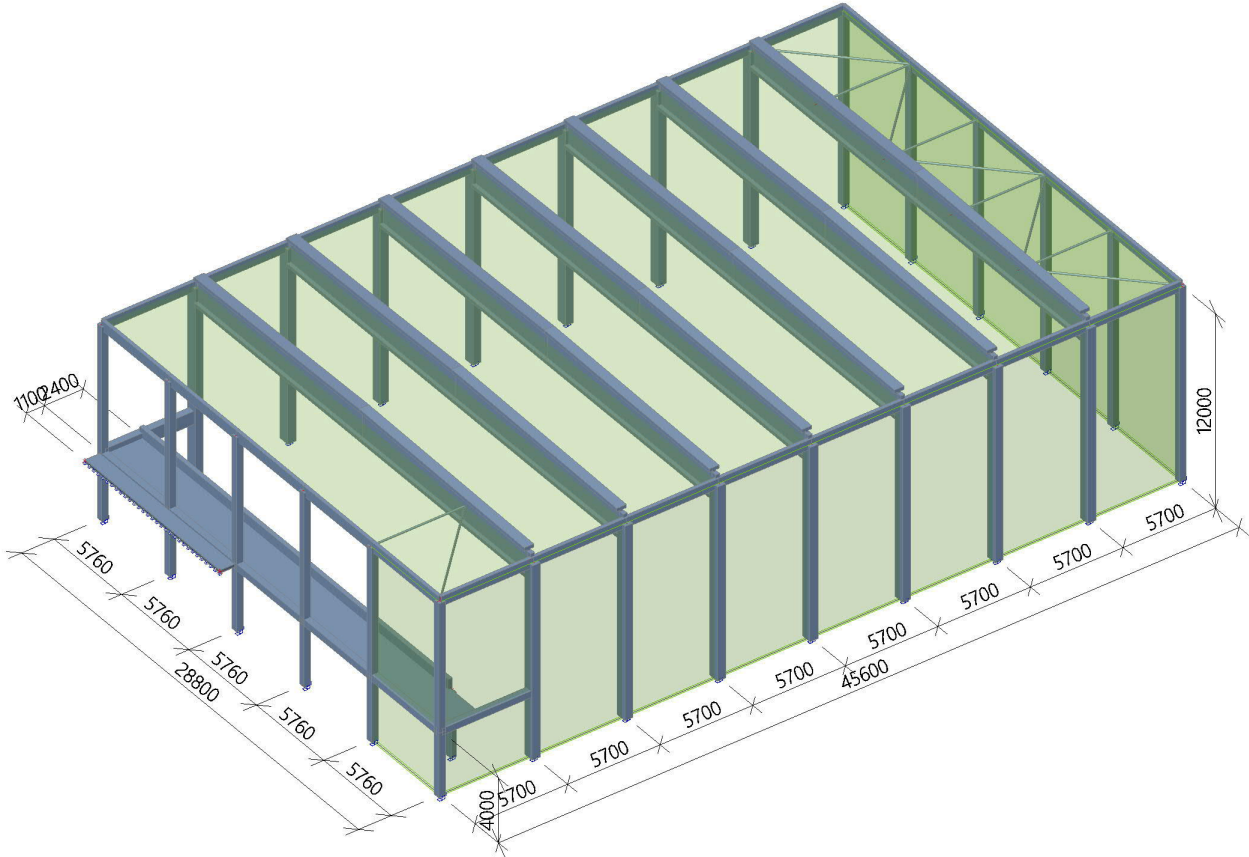
PRŮŘEZ 250 x 1400 C45/55

7.2) SLOUP POD NOSNÍK

300 x 600 C45/55



## 1. Model konstrukce



## 2. Uzly

| Jméno | Souř. X [m] | Souř. Y [m] | Souř. Z [m] |
|-------|-------------|-------------|-------------|
| N3    | 0,300       | 0,000       | 2,000       |
| N10   | 29,100      | 0,000       | 2,000       |
| N13   | 0,300       | 5,700       | 2,000       |
| N17   | 29,100      | 5,700       | 2,000       |
| N20   | 0,300       | 11,400      | 2,000       |
| N21   | 0,600       | 11,400      | 2,000       |
| N24   | 29,100      | 11,400      | 2,000       |
| N25   | 28,800      | 11,400      | 2,000       |
| N27   | 0,300       | 17,100      | 2,000       |
| N31   | 29,100      | 17,100      | 2,000       |
| N34   | 0,300       | 22,800      | 2,000       |
| N38   | 29,100      | 22,800      | 2,000       |
| N41   | 0,300       | 28,500      | 2,000       |
| N45   | 29,100      | 28,500      | 2,000       |
| N48   | 0,300       | 34,200      | 2,000       |
| N52   | 29,100      | 34,200      | 2,000       |
| N55   | 0,300       | 39,900      | 2,000       |
| N58   | 6,060       | 39,900      | 2,000       |
| N59   | 29,100      | 39,900      | 2,000       |
| N62   | 0,300       | 0,000       | -10,000     |
| N63   | 29,100      | 0,000       | -10,000     |

| Jméno | Souř. X [m] | Souř. Y [m] | Souř. Z [m] |
|-------|-------------|-------------|-------------|
| N1    | 0,300       | 5,700       | -10,000     |
| N64   | 29,100      | 5,700       | -10,000     |
| N65   | 0,300       | 11,400      | -10,000     |
| N66   | 29,100      | 11,400      | -10,000     |
| N67   | 0,300       | 17,100      | -10,000     |
| N68   | 29,100      | 17,100      | -10,000     |
| N69   | 0,300       | 22,800      | -10,000     |
| N70   | 29,100      | 22,800      | -10,000     |
| N71   | 0,300       | 28,500      | -10,000     |
| N72   | 29,100      | 28,500      | -10,000     |
| N73   | 0,300       | 34,200      | -10,000     |
| N74   | 29,100      | 34,200      | -10,000     |
| N75   | 29,100      | 39,900      | -10,000     |
| N76   | 0,300       | 39,900      | -10,000     |
| N77   | 6,060       | 39,900      | -10,000     |
| N79   | 11,820      | 39,900      | -10,000     |
| N80   | 11,820      | 39,900      | 2,000       |
| N81   | 17,580      | 39,900      | -10,000     |
| N82   | 17,580      | 39,900      | 2,000       |
| N83   | 23,340      | 39,900      | -10,000     |
| N84   | 23,340      | 39,900      | 2,000       |

| Jméno | Souř. X [m] | Souř. Y [m] | Souř. Z [m] |
|-------|-------------|-------------|-------------|
| N85   | 0,300       | -5,700      | 2,000       |
| N86   | 6,060       | -5,700      | 2,000       |
| N87   | 29,100      | -5,700      | 2,000       |
| N88   | 29,100      | -5,700      | -10,000     |
| N89   | 0,300       | -5,700      | -10,000     |
| N90   | 6,060       | -5,700      | -10,000     |
| N92   | 11,820      | -5,700      | -10,000     |
| N93   | 11,820      | -5,700      | 2,000       |
| N94   | 17,580      | -5,700      | -10,000     |
| N95   | 17,580      | -5,700      | 2,000       |
| N96   | 23,340      | -5,700      | -10,000     |
| N97   | 23,340      | -5,700      | 2,000       |
| N98   | 6,060       | 0,000       | 2,000       |
| N99   | 11,820      | 0,000       | 2,000       |
| N100  | 17,580      | 0,000       | 2,000       |
| N101  | 23,340      | 0,000       | 2,000       |
| N102  | 6,060       | 34,200      | 2,000       |
| N105  | 0,600       | 5,700       | 2,000       |
| N106  | 28,800      | 5,700       | 2,000       |
| N107  | 0,600       | 0,000       | 2,000       |
| N108  | 28,800      | 0,000       | 2,000       |

## Projekt Sportovní hala Turnov

| Jméno | Souř. X [m] | Souř. Y [m] | Souř. Z [m] |
|-------|-------------|-------------|-------------|
| N109  | 0,600       | 22,800      | 2,000       |
| N110  | 28,800      | 22,800      | 2,000       |
| N111  | 0,600       | 28,500      | 2,000       |
| N112  | 28,800      | 28,500      | 2,000       |
| N113  | 0,600       | 34,200      | 2,000       |
| N114  | 28,800      | 34,200      | 2,000       |
| N115  | 0,600       | 17,100      | 2,000       |
| N116  | 28,800      | 17,100      | 2,000       |
| N117  | 29,100      | 39,900      | -6,000      |
| N118  | 23,340      | 39,900      | -6,000      |

| Jméno | Souř. X [m] | Souř. Y [m] | Souř. Z [m] |
|-------|-------------|-------------|-------------|
| N119  | 17,580      | 39,900      | -6,000      |
| N120  | 11,820      | 39,900      | -6,000      |
| N121  | 6,060       | 39,900      | -6,000      |
| N122  | 0,300       | 39,900      | -6,000      |
| N123  | 2,750       | 37,500      | -10,000     |
| N124  | 2,750       | 37,500      | -6,000      |
| N126  | 29,100      | 37,500      | -6,000      |
| N127  | 2,750       | 39,900      | -6,000      |
| N129  | 29,100      | 41,000      | -6,000      |
| N130  | 17,580      | 41,000      | -6,000      |

| Jméno | Souř. X [m] | Souř. Y [m] | Souř. Z [m] |
|-------|-------------|-------------|-------------|
| N131  | 0,300       | 37,500      | -6,000      |
| N132  | 0,300       | 34,200      | -6,000      |
| N133  | 29,100      | 39,900      | -6,000      |
| N134  | 0,300       | 39,900      | -6,000      |
| N135  | 6,060       | 39,900      | -6,000      |
| N136  | 11,820      | 39,900      | -6,000      |
| N137  | 17,580      | 39,900      | -6,000      |
| N138  | 23,340      | 39,900      | -6,000      |
| N139  | 29,100      | 34,200      | -6,000      |

### 3. Prvky

| Jméno | Průřez                      | Materiál | Délka [m] | Poč. uzel | Konc. uzel | Typ         |
|-------|-----------------------------|----------|-----------|-----------|------------|-------------|
| B14   | CS10 - Obdélník (1000; 250) | C45/55   | 0,300     | N20       | N21        | obecný (0)  |
| B46   | CS6 - Obdélník (600; 200)   | C45/55   | 5,760     | N55       | N58        | obecný (0)  |
| B50   | CS4 - Obdélník (650; 500)   | C45/55   | 12,000    | N62       | N3         | sloup (100) |
| B51   | CS4 - Obdélník (650; 500)   | C45/55   | 12,000    | N63       | N10        | sloup (100) |
| B52   | CS4 - Obdélník (650; 500)   | C45/55   | 12,000    | N1        | N13        | sloup (100) |
| B53   | CS4 - Obdélník (650; 500)   | C45/55   | 12,000    | N64       | N17        | sloup (100) |
| B54   | CS4 - Obdélník (650; 500)   | C45/55   | 12,000    | N65       | N20        | sloup (100) |
| B55   | CS4 - Obdélník (650; 500)   | C45/55   | 12,000    | N66       | N24        | sloup (100) |
| B56   | CS4 - Obdélník (650; 500)   | C45/55   | 12,000    | N67       | N27        | sloup (100) |
| B57   | CS4 - Obdélník (650; 500)   | C45/55   | 12,000    | N68       | N31        | sloup (100) |
| B58   | CS4 - Obdélník (650; 500)   | C45/55   | 12,000    | N69       | N34        | sloup (100) |
| B59   | CS4 - Obdélník (650; 500)   | C45/55   | 12,000    | N70       | N38        | sloup (100) |
| B60   | CS4 - Obdélník (650; 500)   | C45/55   | 12,000    | N71       | N41        | sloup (100) |
| B61   | CS4 - Obdélník (650; 500)   | C45/55   | 12,000    | N72       | N45        | sloup (100) |
| B62   | CS4 - Obdélník (650; 500)   | C45/55   | 12,000    | N73       | N48        | sloup (100) |
| B63   | CS4 - Obdélník (650; 500)   | C45/55   | 12,000    | N74       | N52        | sloup (100) |
| B64   | CS1 - Obdélník (400; 400)   | C45/55   | 4,000     | N75       | N133       | sloup (100) |
| B65   | CS1 - Obdélník (400; 400)   | C45/55   | 4,000     | N76       | N134       | sloup (100) |
| B66   | CS1 - Obdélník (400; 400)   | C45/55   | 4,000     | N77       | N135       | sloup (100) |
| B67   | CS1 - Obdélník (400; 400)   | C45/55   | 4,000     | N79       | N136       | sloup (100) |
| B68   | CS1 - Obdélník (400; 400)   | C45/55   | 4,000     | N81       | N137       | sloup (100) |
| B69   | CS1 - Obdélník (400; 400)   | C45/55   | 4,000     | N83       | N138       | sloup (100) |
| B70   | CS6 - Obdélník (600; 200)   | C45/55   | 5,760     | N58       | N80        | obecný (0)  |
| B71   | CS6 - Obdélník (600; 200)   | C45/55   | 5,760     | N80       | N82        | obecný (0)  |
| B72   | CS6 - Obdélník (600; 200)   | C45/55   | 5,760     | N82       | N84        | obecný (0)  |
| B73   | CS6 - Obdélník (600; 200)   | C45/55   | 5,760     | N84       | N59        | obecný (0)  |
| B74   | CS6 - Obdélník (600; 200)   | C45/55   | 5,760     | N85       | N86        | obecný (0)  |
| B75   | CS1 - Obdélník (400; 400)   | C45/55   | 12,000    | N88       | N87        | sloup (100) |
| B76   | CS1 - Obdélník (400; 400)   | C45/55   | 12,000    | N89       | N85        | sloup (100) |
| B77   | CS1 - Obdélník (400; 400)   | C45/55   | 12,000    | N90       | N86        | sloup (100) |
| B78   | CS1 - Obdélník (400; 400)   | C45/55   | 12,000    | N92       | N93        | sloup (100) |
| B79   | CS1 - Obdélník (400; 400)   | C45/55   | 12,000    | N94       | N95        | sloup (100) |
| B80   | CS1 - Obdélník (400; 400)   | C45/55   | 12,000    | N96       | N97        | sloup (100) |
| B81   | CS6 - Obdélník (600; 200)   | C45/55   | 5,760     | N86       | N93        | obecný (0)  |
| B82   | CS6 - Obdélník (600; 200)   | C45/55   | 5,760     | N93       | N95        | obecný (0)  |
| B83   | CS6 - Obdélník (600; 200)   | C45/55   | 5,760     | N95       | N97        | obecný (0)  |
| B84   | CS6 - Obdélník (600; 200)   | C45/55   | 5,760     | N97       | N87        | obecný (0)  |
| B85   | CS6 - Obdélník (600; 200)   | C45/55   | 5,700     | N85       | N3         | nosník (80) |
| B86   | CS6 - Obdélník (600; 200)   | C45/55   | 5,700     | N87       | N10        | nosník (80) |
| B87   | CS6 - Obdélník (600; 200)   | C45/55   | 5,700     | N10       | N17        | nosník (80) |
| B88   | CS6 - Obdélník (600; 200)   | C45/55   | 5,700     | N3        | N13        | nosník (80) |
| B89   | CS6 - Obdélník (600; 200)   | C45/55   | 5,700     | N17       | N24        | nosník (80) |
| B90   | CS6 - Obdélník (600; 200)   | C45/55   | 5,700     | N13       | N20        | nosník (80) |
| B91   | CS6 - Obdélník (600; 200)   | C45/55   | 5,700     | N24       | N31        | nosník (80) |
| B92   | CS6 - Obdélník (600; 200)   | C45/55   | 5,700     | N20       | N27        | nosník (80) |
| B93   | CS6 - Obdélník (600; 200)   | C45/55   | 5,700     | N31       | N38        | nosník (80) |
| B94   | CS6 - Obdélník (600; 200)   | C45/55   | 5,700     | N27       | N34        | nosník (80) |
| B95   | CS6 - Obdélník (600; 200)   | C45/55   | 5,700     | N38       | N45        | nosník (80) |
| B96   | CS6 - Obdélník (600; 200)   | C45/55   | 5,700     | N34       | N41        | nosník (80) |
| B97   | CS6 - Obdélník (600; 200)   | C45/55   | 5,700     | N45       | N52        | nosník (80) |

| Jméno | Průřez                                     | Materiál | Délka [m] | Poč. uzel | Konc. uzel | Typ         |
|-------|--|----------|-----------|-----------|------------|-------------|
| B98   | CS6 - Obdélník (600; 200)                  | C45/55   | 5,700     | N41       | N48        | nosník (80) |
| B99   | CS6 - Obdélník (600; 200)                  | C45/55   | 5,700     | N52       | N59        | nosník (80) |
| B100  | CS6 - Obdélník (600; 200)                  | C45/55   | 5,700     | N48       | N55        | nosník (80) |
| B101  | CS7 - RO101.6X6.3                          | S 235    | 5,700     | N86       | N98        | nosník (80) |
| B102  | CS7 - RO101.6X6.3                          | S 235    | 5,700     | N93       | N99        | nosník (80) |
| B103  | CS7 - RO101.6X6.3                          | S 235    | 5,700     | N95       | N100       | nosník (80) |
| B104  | CS7 - RO101.6X6.3                          | S 235    | 5,700     | N97       | N101       | nosník (80) |
| B105  | CS7 - RO101.6X6.3                          | S 235    | 8,104     | N85       | N98        | nosník (80) |
| B106  | CS7 - RO101.6X6.3                          | S 235    | 8,104     | N98       | N93        | nosník (80) |
| B107  | CS7 - RO101.6X6.3                          | S 235    | 8,104     | N93       | N100       | nosník (80) |
| B108  | CS7 - RO101.6X6.3                          | S 235    | 8,104     | N100      | N97        | nosník (80) |
| B109  | CS7 - RO101.6X6.3                          | S 235    | 8,104     | N97       | N10        | nosník (80) |
| B110  | CS7 - RO101.6X6.3                          | S 235    | 8,104     | N55       | N102       | nosník (80) |
| B111  | CS7 - RO101.6X6.3                          | S 235    | 5,700     | N58       | N102       | nosník (80) |
| B114  | CS10 - Obdélník (1000; 250)                | C45/55   | 0,300     | N25       | N24        | nosník (80) |
| B115  | CS9 - I ng (2000; 600; 600; 200; 200; 180) | C45/55   | 28,200    | N21       | N25        | nosník (80) |
| B116  | CS10 - Obdélník (1000; 250)                | C45/55   | 0,300     | N13       | N105       | obecný (0)  |
| B117  | CS10 - Obdélník (1000; 250)                | C45/55   | 0,300     | N106      | N17        | nosník (80) |
| B118  | CS9 - I ng (2000; 600; 600; 200; 200; 180) | C45/55   | 28,200    | N105      | N106       | nosník (80) |
| B119  | CS9 - I ng (2000; 600; 600; 200; 200; 180) | C45/55   | 28,200    | N107      | N108       | nosník (80) |
| B120  | CS10 - Obdélník (1000; 250)                | C45/55   | 0,300     | N3        | N107       | obecný (0)  |
| B121  | CS10 - Obdélník (1000; 250)                | C45/55   | 0,300     | N108      | N10        | nosník (80) |
| B122  | CS9 - I ng (2000; 600; 600; 200; 200; 180) | C45/55   | 28,200    | N109      | N110       | nosník (80) |
| B123  | CS10 - Obdélník (1000; 250)                | C45/55   | 0,300     | N34       | N109       | obecný (0)  |
| B124  | CS10 - Obdélník (1000; 250)                | C45/55   | 0,300     | N110      | N38        | nosník (80) |
| B125  | CS9 - I ng (2000; 600; 600; 200; 200; 180) | C45/55   | 28,200    | N111      | N112       | nosník (80) |
| B126  | CS10 - Obdélník (1000; 250)                | C45/55   | 0,300     | N41       | N111       | obecný (0)  |
| B127  | CS10 - Obdélník (1000; 250)                | C45/55   | 0,300     | N112      | N45        | nosník (80) |
| B128  | CS9 - I ng (2000; 600; 600; 200; 200; 180) | C45/55   | 28,200    | N113      | N114       | nosník (80) |
| B129  | CS10 - Obdélník (1000; 250)                | C45/55   | 0,300     | N48       | N113       | obecný (0)  |
| B130  | CS10 - Obdélník (1000; 250)                | C45/55   | 0,300     | N114      | N52        | nosník (80) |
| B131  | CS10 - Obdélník (1000; 250)                | C45/55   | 0,300     | N27       | N115       | obecný (0)  |
| B132  | CS10 - Obdélník (1000; 250)                | C45/55   | 0,300     | N116      | N31        | nosník (80) |
| B133  | CS9 - I ng (2000; 600; 600; 200; 200; 180) | C45/55   | 28,200    | N115      | N116       | nosník (80) |
| B134  | CS2 - Obdélník (400; 400)                  | C45/55   | 5,760     | N117      | N118       | nosník (80) |
| B135  | CS2 - Obdélník (400; 400)                  | C45/55   | 5,760     | N118      | N119       | nosník (80) |
| B136  | CS2 - Obdélník (400; 400)                  | C45/55   | 5,760     | N119      | N120       | nosník (80) |
| B137  | CS2 - Obdélník (400; 400)                  | C45/55   | 5,760     | N120      | N121       | nosník (80) |
| B138  | CS2 - Obdélník (400; 400)                  | C45/55   | 5,760     | N121      | N122       | nosník (80) |
| B139  | CS3 - Obdélník (600; 300)                  | C45/55   | 4,000     | N123      | N124       | sloup (100) |
| B141  | CS8 - Obdélník (1400; 250)                 | C45/55   | 26,350    | N126      | N124       | nosník (80) |
| B142  | CS2 - Obdélník (400; 400)                  | C45/55   | 5,700     | N122      | N132       | nosník (80) |
| B143  | CS1 - Obdélník (400; 400)                  | C45/55   | 8,000     | N138      | N84        | sloup (100) |
| B144  | CS1 - Obdélník (400; 400)                  | C45/55   | 8,000     | N133      | N59        | sloup (100) |
| B145  | CS1 - Obdélník (400; 400)                  | C45/55   | 8,000     | N137      | N82        | sloup (100) |
| B146  | CS1 - Obdélník (400; 400)                  | C45/55   | 8,000     | N136      | N80        | sloup (100) |
| B147  | CS1 - Obdélník (400; 400)                  | C45/55   | 8,000     | N135      | N58        | sloup (100) |
| B148  | CS1 - Obdélník (400; 400)                  | C45/55   | 8,000     | N134      | N55        | sloup (100) |
| B149  | CS5 - Obdélník (800; 400)                  | C45/55   | 5,700     | N133      | N139       | nosník (80) |

#### 4. Náběhy

| Jméno | Dílec | Průřez                                     | Pozice      | Zarovnění    | Dl. x | Souř. |
|-------|-------|--|-------------|--------------|-------|-------|
| H30   | B115  | CS9 - I ng (2000; 600; 600; 200; 200; 180) | Oboustranný | dolní povrch | 0.500 | Rela  |
| H31   | B118  | CS9 - I ng (2000; 600; 600; 200; 200; 180) | Oboustranný | dolní povrch | 0.500 | Rela  |
| H32   | B119  | CS9 - I ng (2000; 600; 600; 200; 200; 180) | Oboustranný | dolní povrch | 0.500 | Rela  |
| H33   | B122  | CS9 - I ng (2000; 600; 600; 200; 200; 180) | Oboustranný | dolní povrch | 0.500 | Rela  |
| H34   | B125  | CS9 - I ng (2000; 600; 600; 200; 200; 180) | Oboustranný | dolní povrch | 0.500 | Rela  |
| H35   | B128  | CS9 - I ng (2000; 600; 600; 200; 200; 180) | Oboustranný | dolní povrch | 0.500 | Rela  |
| H36   | B133  | CS9 - I ng (2000; 600; 600; 200; 200; 180) | Oboustranný | dolní povrch | 0.500 | Rela  |

## 5. Plochy

| Jméno | Vrstva  | Typ        | Typ prvku | Materiál | Typ tloušťky | Tl.<br>[mm] |
|-------|---------|------------|-----------|----------|--------------|-------------|
| S1    | Vrstva1 | deska (90) | Standard  | C25/30   | konstantní   | 200         |
| S2    | Vrstva1 | deska (90) | Standard  | C25/30   | konstantní   | 200         |

## 6. Podpory v uzlech

| Jméno | Uzel | Systém | Typ      | X    | Y    | Z    | Rx   | Ry   | Rz   |
|-------|------|--------|----------|------|------|------|------|------|------|
| Sn1   | N62  | GSS    | Standard | Tuhý | Tuhý | Tuhý | Tuhý | Tuhý | Tuhý |
| Sn2   | N63  | GSS    | Standard | Tuhý | Tuhý | Tuhý | Tuhý | Tuhý | Tuhý |
| Sn3   | N1   | GSS    | Standard | Tuhý | Tuhý | Tuhý | Tuhý | Tuhý | Tuhý |
| Sn4   | N64  | GSS    | Standard | Tuhý | Tuhý | Tuhý | Tuhý | Tuhý | Tuhý |
| Sn5   | N65  | GSS    | Standard | Tuhý | Tuhý | Tuhý | Tuhý | Tuhý | Tuhý |
| Sn6   | N66  | GSS    | Standard | Tuhý | Tuhý | Tuhý | Tuhý | Tuhý | Tuhý |
| Sn7   | N67  | GSS    | Standard | Tuhý | Tuhý | Tuhý | Tuhý | Tuhý | Tuhý |
| Sn8   | N68  | GSS    | Standard | Tuhý | Tuhý | Tuhý | Tuhý | Tuhý | Tuhý |
| Sn9   | N69  | GSS    | Standard | Tuhý | Tuhý | Tuhý | Tuhý | Tuhý | Tuhý |
| Sn10  | N70  | GSS    | Standard | Tuhý | Tuhý | Tuhý | Tuhý | Tuhý | Tuhý |
| Sn11  | N71  | GSS    | Standard | Tuhý | Tuhý | Tuhý | Tuhý | Tuhý | Tuhý |
| Sn12  | N72  | GSS    | Standard | Tuhý | Tuhý | Tuhý | Tuhý | Tuhý | Tuhý |
| Sn13  | N73  | GSS    | Standard | Tuhý | Tuhý | Tuhý | Tuhý | Tuhý | Tuhý |
| Sn14  | N74  | GSS    | Standard | Tuhý | Tuhý | Tuhý | Tuhý | Tuhý | Tuhý |
| Sn15  | N75  | GSS    | Standard | Tuhý | Tuhý | Tuhý | Tuhý | Tuhý | Tuhý |
| Sn16  | N76  | GSS    | Standard | Tuhý | Tuhý | Tuhý | Tuhý | Tuhý | Tuhý |
| Sn17  | N77  | GSS    | Standard | Tuhý | Tuhý | Tuhý | Tuhý | Tuhý | Tuhý |
| Sn18  | N79  | GSS    | Standard | Tuhý | Tuhý | Tuhý | Tuhý | Tuhý | Tuhý |
| Sn19  | N81  | GSS    | Standard | Tuhý | Tuhý | Tuhý | Tuhý | Tuhý | Tuhý |
| Sn20  | N83  | GSS    | Standard | Tuhý | Tuhý | Tuhý | Tuhý | Tuhý | Tuhý |
| Sn21  | N88  | GSS    | Standard | Tuhý | Tuhý | Tuhý | Tuhý | Tuhý | Tuhý |
| Sn22  | N89  | GSS    | Standard | Tuhý | Tuhý | Tuhý | Tuhý | Tuhý | Tuhý |
| Sn23  | N90  | GSS    | Standard | Tuhý | Tuhý | Tuhý | Tuhý | Tuhý | Tuhý |
| Sn24  | N92  | GSS    | Standard | Tuhý | Tuhý | Tuhý | Tuhý | Tuhý | Tuhý |
| Sn25  | N94  | GSS    | Standard | Tuhý | Tuhý | Tuhý | Tuhý | Tuhý | Tuhý |
| Sn26  | N96  | GSS    | Standard | Tuhý | Tuhý | Tuhý | Tuhý | Tuhý | Tuhý |
| Sn27  | N123 | GSS    | Standard | Tuhý | Tuhý | Tuhý | Tuhý | Tuhý | Tuhý |

## 7. Podpora hrany plochy

| Jméno | Plocha | Poč.<br>Souř.      | Poz x <sub>1</sub><br>Poz x <sub>2</sub> | X    | Y    | Z    | Rx    | Ry    | Rz    |
|-------|--------|--------------------|--|------|------|------|-------|-------|-------|
| Sle1  | S2     | Od počátku<br>Rela | 0.000<br>1.000                           | Tuhý | Tuhý | Tuhý | Volný | Volný | Volný |
|       | 2      |                    |  |      |      |      |       |       |       |

## 8. Materiály

Ocel EC3

| Jméno | $\rho$<br>[kg/m <sup>3</sup> ] | $E_{mod}$<br>[MPa] | $\mu$              | Dolní mez<br>[mm] | Horní mez<br>[mm] | $F_y$<br>[MPa] | $F_u$<br>[MPa] | Barva |
|-------|--------------------------------|--------------------|--------------------|-------------------|-------------------|----------------|----------------|-------|
|       |                                | $G_{mod}$<br>[MPa] | $\alpha$<br>[m/mK] |                   |                   |                |                |       |
| S 235 | 7850,0                         | 2,1000e+05         | 0,3                | 0                 | 40                | 235,0          | 360,0          | ■     |
|       |                                | 8,0769e+04         | 0,00               | 40                | 80                | 215,0          | 360,0          |       |

| Jméno  | Typ   | $\rho$<br>[kg/m <sup>3</sup> ] | Hustota v čerstvém stavu<br>[kg/m <sup>3</sup> ] | $E_{mod}$<br>[MPa] | $\mu$ | $\alpha$<br>[m/mK] | $f_{c,k,28}$<br>[MPa] | Barva |
|--------|-------|--------------------------------|--|--------------------|-------|--------------------|-----------------------|-------|
| C25/30 | Beton | 2500,0                         | 2600,0   | 3,1500e+04         | 0,2   | 0,00               | 25,00                 | ■     |
| C45/55 | Beton | 2500,0                         | 2600,0   | 3,6300e+04         | 0,2   | 0,00               | 45,00                 | ■     |

### Vysvětlivky symbolů

|                          |   |
|--------------------------|---|
| Hustota v čerstvém stavu | Hodnota hustoty v čerstvém stavu se použije pouze v případě, že je zadána spřažená deska a její vlastní tíha se zohledňuje. |
|--------------------------|---|

Výztuž EC2

| Jméno  | Typ           | $\rho$<br>[kg/m <sup>3</sup> ] | $E_{mod}$<br>[MPa] | $G_{mod}$<br>[MPa] | $\alpha$<br>[m/mK] | $f_{y,k}$<br>[MPa] |
|--------|---------------|--------------------------------|--------------------|--------------------|--------------------|--------------------|
| B 500B | Výztužná ocel | 7850,0                         | 2,0000e+05         | 8,3333e+04         | 0,00               | 500,0              |

## 9. Průřezy

| Jméno | Typ                                      | Materiál | Výroba    | A<br>[m <sup>2</sup> ] | $A_y$<br>[m <sup>2</sup> ] | $I_y$<br>[m <sup>4</sup> ] | $W_{el,y}$<br>[m <sup>3</sup> ] | $W_{pl,y}$<br>[m <sup>3</sup> ] | Barva |
|-------|--|----------|-----------|------------------------|----------------------------|----------------------------|---------------------------------|---------------------------------|-------|
|       | Detailní                                 |          |           |                        | $A_z$<br>[m <sup>2</sup> ] | $I_z$<br>[m <sup>4</sup> ] | $W_{el,z}$<br>[m <sup>3</sup> ] | $W_{pl,z}$<br>[m <sup>3</sup> ] |       |
| CS1   | Obdélník<br>400; 400                     | C45/55   | beton     | 1,6000e-01             | 1,3333e-01                 | 2,1333e-03                 | 1,0667e-02                      | 0,0000e+00                      | ■     |
| CS2   | Obdélník<br>400; 400                     | C45/55   | beton     | 1,6000e-01             | 1,3333e-01                 | 2,1333e-03                 | 1,0667e-02                      | 0,0000e+00                      | ■     |
| CS3   | Obdélník<br>600; 300                     | C45/55   | beton     | 1,8000e-01             | 1,5000e-01                 | 5,4000e-03                 | 1,8000e-02                      | 0,0000e+00                      | ■     |
| CS4   | Obdélník<br>650; 500                     | C45/55   | beton     | 3,2500e-01             | 2,7083e-01                 | 1,1443e-02                 | 3,5208e-02                      | 0,0000e+00                      | ■     |
| CS5   | Obdélník<br>800; 400                     | C45/55   | beton     | 3,2000e-01             | 2,6667e-01                 | 1,7067e-02                 | 4,2667e-02                      | 0,0000e+00                      | ■     |
| CS6   | Obdélník<br>600; 200                     | C45/55   | beton     | 1,2000e-01             | 1,0000e-01                 | 3,6000e-03                 | 1,2000e-02                      | 0,0000e+00                      | ■     |
| CS7   | RO101.6X6.3                              | S 235    | válcovaný | 1,8900e-03             | 1,2008e-03                 | 2,1500e-06                 | 4,2300e-05                      | 5,7217e-05                      | ■     |
| CS8   | Obdélník<br>1400; 250                    | C45/55   | beton     | 3,5000e-01             | 2,9167e-01                 | 5,7167e-02                 | 8,1667e-02                      | 0,0000e+00                      | ■     |
| CS9   | I ng<br>2000; 600; 600; 200;<br>200; 180 | C45/55   | beton     | 5,2800e-01             | 3,8541e-01                 | 2,5664e-01                 | 2,5664e-01                      | 0,0000e+00                      | ■     |
| CS10  | Obdélník<br>1000; 250                    | C45/55   | beton     | 2,5000e-01             | 2,0833e-01                 | 2,0833e-02                 | 4,1667e-02                      | 0,0000e+00                      | ■     |

## 10. Zatěžovací stavy

| Jméno | Popis                    | Typ působení          | Skupina zatížení | Směr | Působení   | Řídící zat. stav |
|-------|--------------------------|-----------------------|------------------|------|------------|------------------|
|       | Spec                     | Typ zatížení          |                  |      |            |                  |
| ZS1   | vlastní tíha             | Stálé<br>Vlastní tíha | SZ1              | -Z   |            |                  |
| ZS2   | stálá zatížení           | Stálé<br>Standard     | SZ1              |      |            |                  |
| ZS3   | technologie              | Stálé<br>Standard     | SZ1              |      |            |                  |
| ZS4   | sníh<br>Standard         | Proměnné<br>Statické  | SZ2              |      | Krátkodobé | Žádný            |
| ZS5   | vítr a<br>Standard       | Proměnné<br>Statické  | SZ3              |      | Krátkodobé | Žádný            |
| ZS6   | vítr b<br>Standard       | Proměnné<br>Statické  | SZ3              |      | Krátkodobé | Žádný            |
| ZS7   | vítr c<br>Standard       | Proměnné<br>Statické  | SZ3              |      | Krátkodobé | Žádný            |
| ZS8   | provoz kat.C<br>Standard | Proměnné<br>Statické  | SZ4              |      | Krátkodobé | Žádný            |

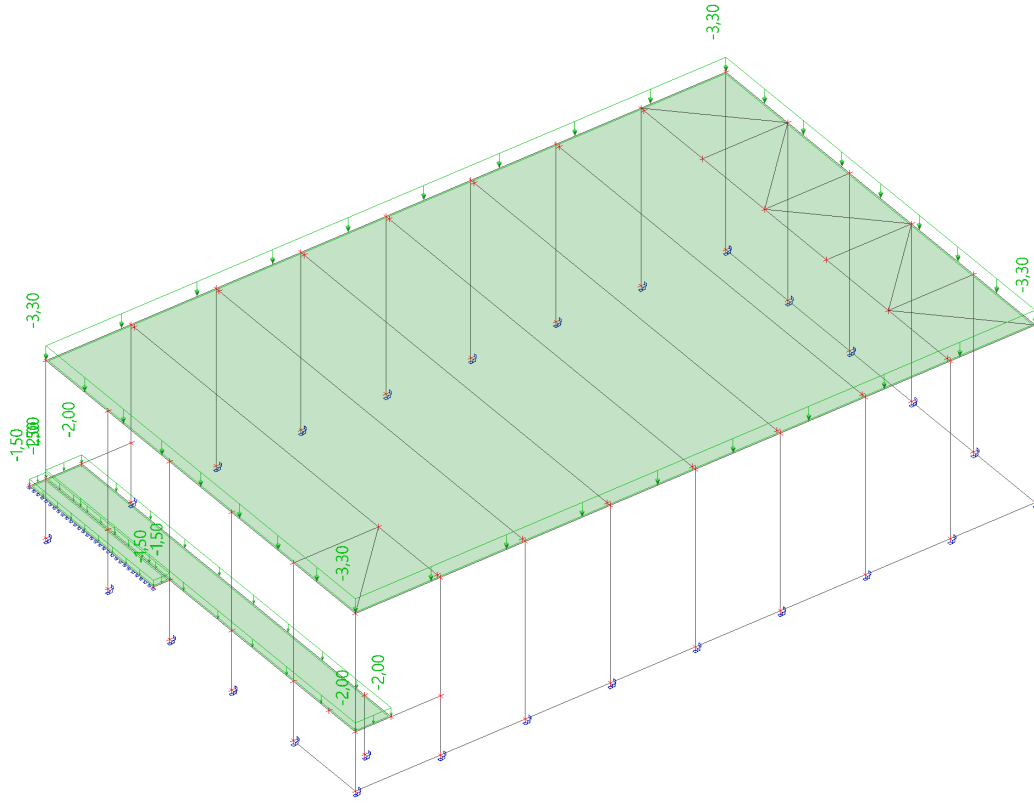
## 11. Skupiny zatížení

| Jméno | Zatížení | Vztah    | Typ                 |
|-------|----------|----------|---------------------|
| SZ1   | Stálé    |          |                     |
| SZ2   | Proměnné | Standard | Sníh                |
| SZ3   | Proměnné | Vyběrová | Vítr                |
| SZ4   | Proměnné | Standard | Kat C : shromáždění |

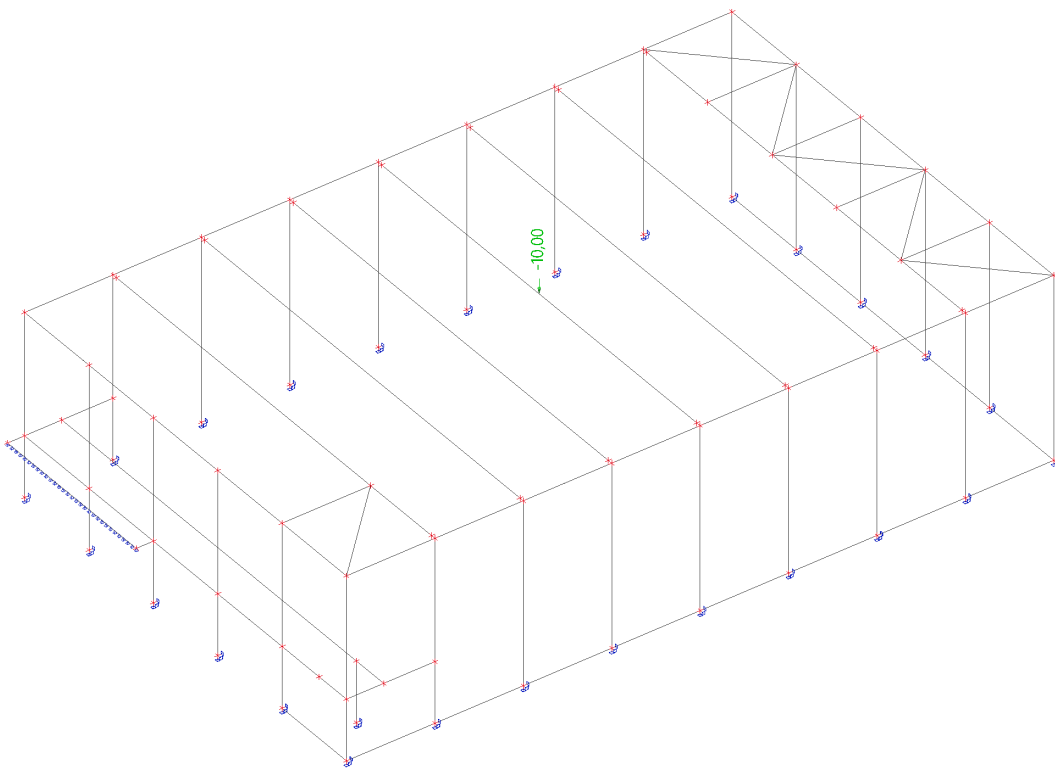
## 12. Kombinace

| Jméno             | Popis | Typ                       | Zatěžovací stavy     | Souč. [-] |
|-------------------|-------|---------------------------|----------------------|-----------|
| MSÚ-Sada B (auto) |       | EN-MSÚ (STR/GEO) Soubor B | ZS1 - vlastní tíha   | 1,10      |
|                   |       |                           | ZS2 - stálá zatížení | 1,10      |
|                   |       |                           | ZS3 - technologie    | 1,10      |
|                   |       |                           | ZS4 - sníh           | 1,10      |
|                   |       |                           | ZS5 - vítr a         | 1,10      |
|                   |       |                           | ZS6 - vítr b         | 1,10      |
|                   |       |                           | ZS7 - vítr c         | 1,10      |
|                   |       |                           | ZS8 - provoz kat.C   | 1,10      |
| MSP-Char (auto)   |       | EN-MSP charakteristická   | ZS1 - vlastní tíha   | 1,00      |
|                   |       |                           | ZS2 - stálá zatížení | 1,00      |
|                   |       |                           | ZS3 - technologie    | 1,00      |
|                   |       |                           | ZS4 - sníh           | 1,00      |
|                   |       |                           | ZS5 - vítr a         | 1,00      |
|                   |       |                           | ZS6 - vítr b         | 1,00      |
|                   |       |                           | ZS7 - vítr c         | 1,00      |
|                   |       |                           | ZS8 - provoz kat.C   | 1,00      |
| MSP-Kvazi (auto)  |       | EN-MSP kvazistálá         | ZS1 - vlastní tíha   | 1,00      |
|                   |       |                           | ZS2 - stálá zatížení | 1,00      |
|                   |       |                           | ZS3 - technologie    | 1,00      |
|                   |       |                           | ZS4 - sníh           | 1,00      |
|                   |       |                           | ZS5 - vítr a         | 1,00      |
|                   |       |                           | ZS6 - vítr b         | 1,00      |
|                   |       |                           | ZS7 - vítr c         | 1,00      |
|                   |       |                           | ZS8 - provoz kat.C   | 1,00      |
| MSP-Častá (auto)  |       | EN-MSP častá              | ZS1 - vlastní tíha   | 1,00      |
|                   |       |                           | ZS2 - stálá zatížení | 1,00      |
|                   |       |                           | ZS3 - technologie    | 1,00      |
|                   |       |                           | ZS4 - sníh           | 1,00      |
|                   |       |                           | ZS5 - vítr a         | 1,00      |
|                   |       |                           | ZS6 - vítr b         | 1,00      |
|                   |       |                           | ZS7 - vítr c         | 1,00      |

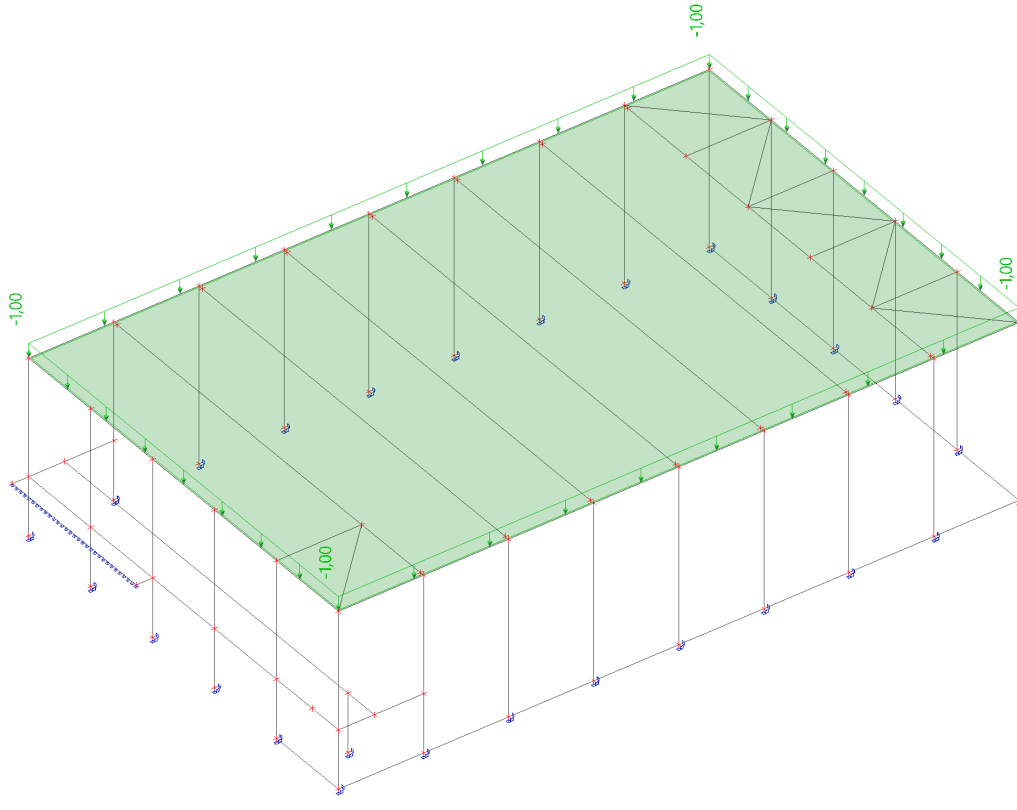
13. 2.ZS - stálá zatížení



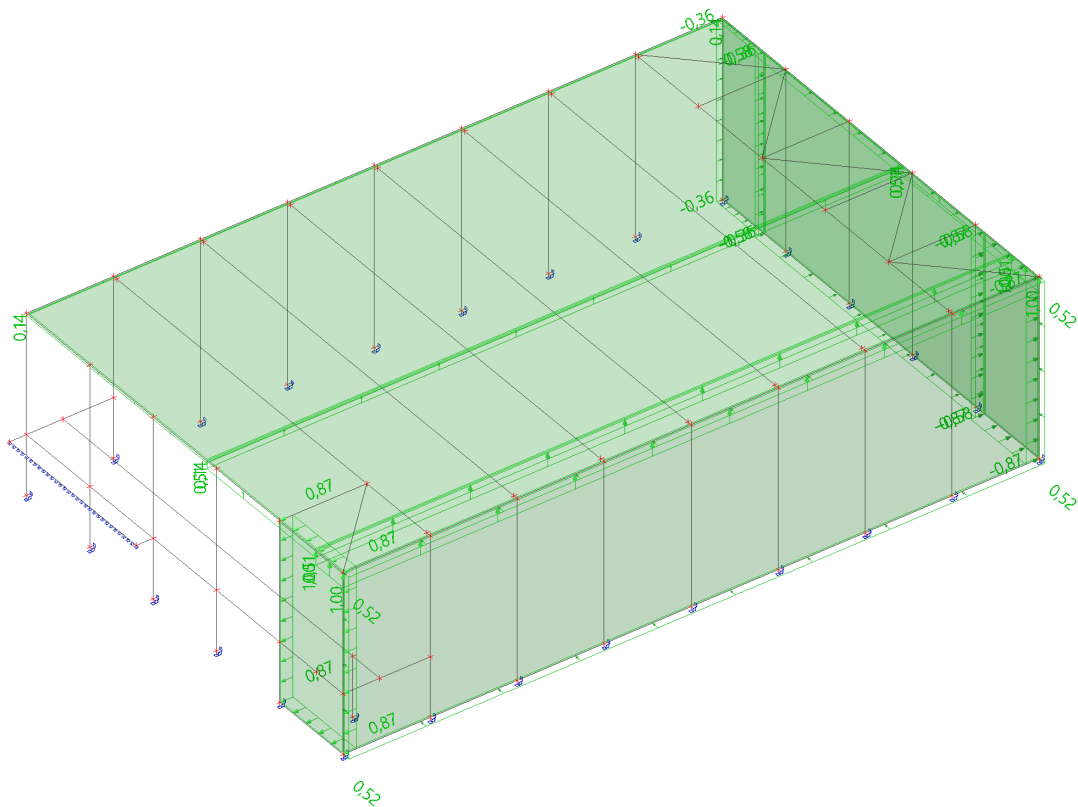
14. 3.ZS - technologie



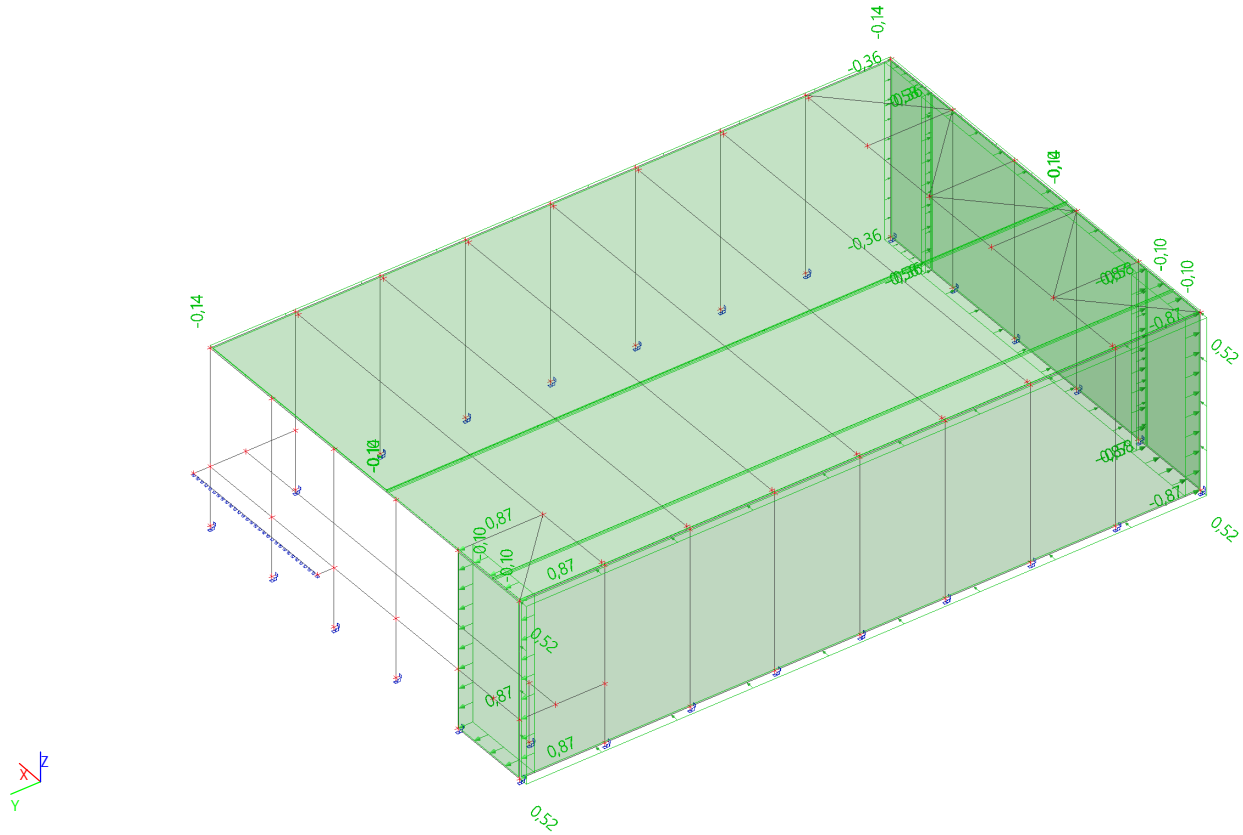
15. 4.ZS - sniž



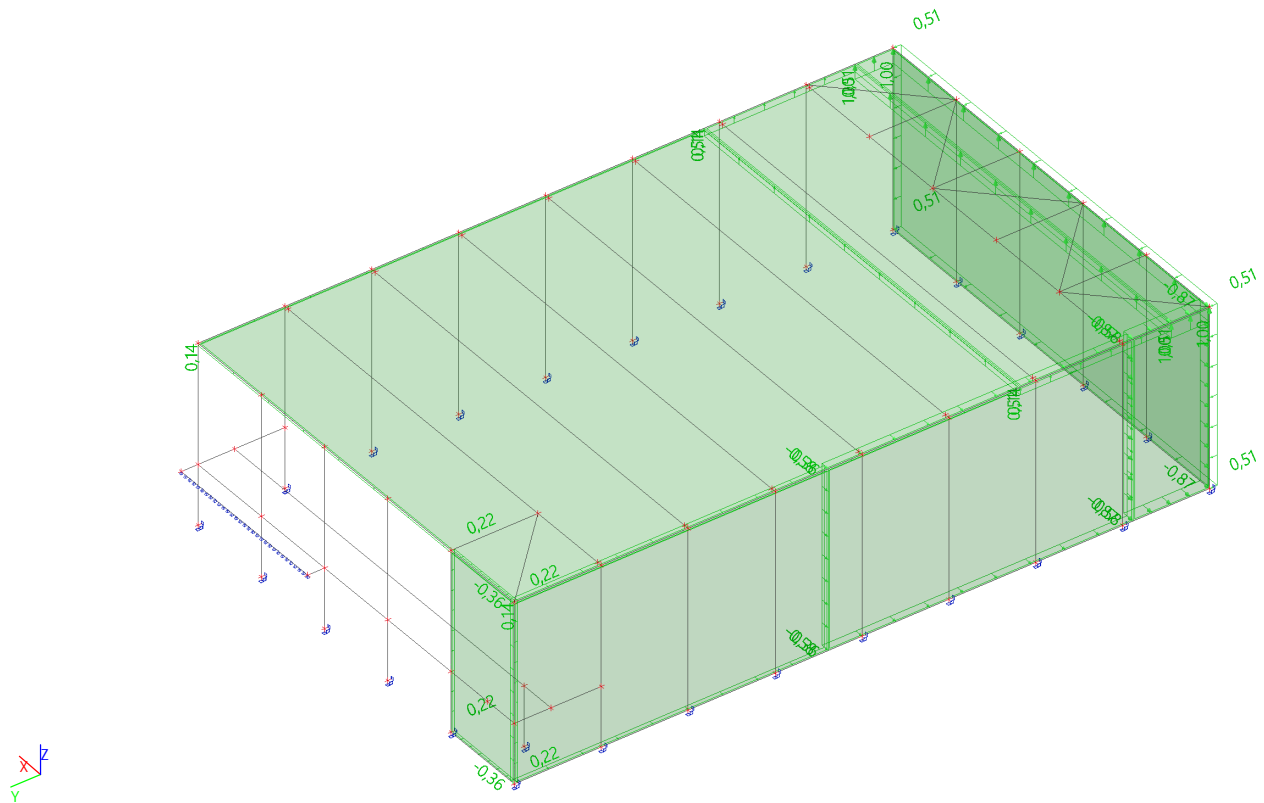
16. 5.ZS - vítr a



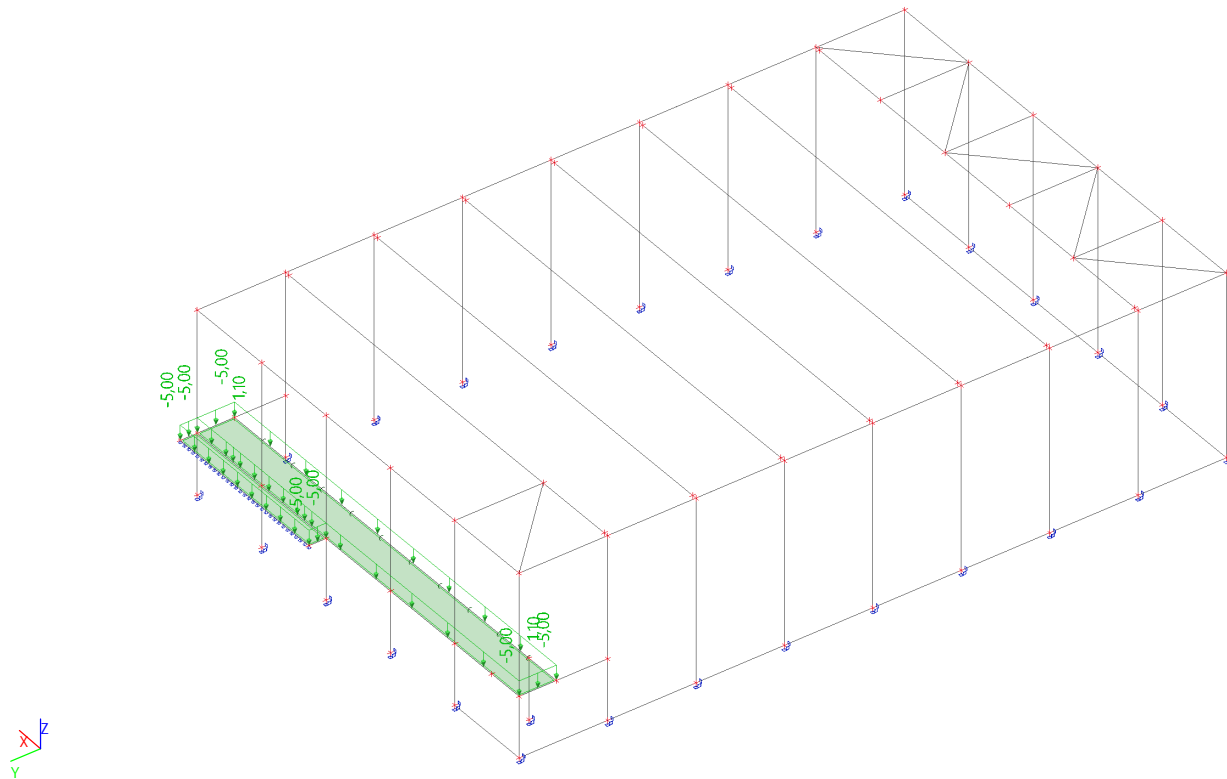
17. 6.ZS - vítr b



18. 7.ZS - vítr c



19. 8.ZS - provoz kat.C



## 20. Návrh desky ochozu

### 20.1. Vnitřní síly 2D - $m_x$

Hodnoty:  $m_x$

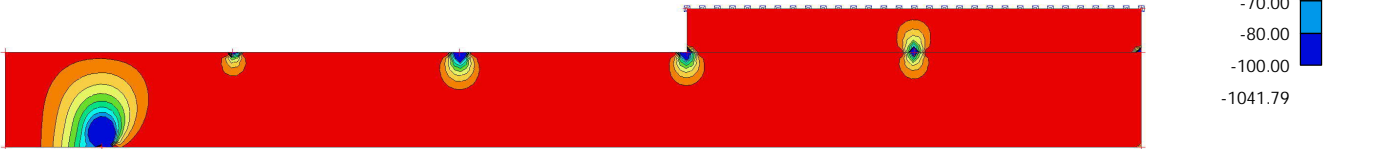
Lineární výpočet

Kombinace: MSÚ-Sada B (auto)

Extrém: Globální

Výběr: Vše

Poloha: V uzlech s průměrováním na makro. Systém: LSS prvku síť



### 20.2. Vnitřní síly 2D - $m_y$

Hodnoty:  $m_y$

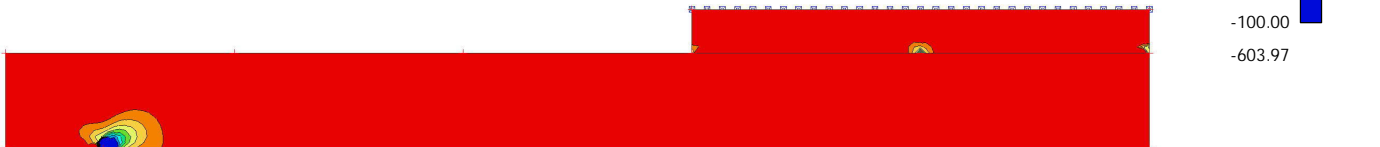
Lineární výpočet

Kombinace: MSÚ-Sada B (auto)

Extrém: Globální

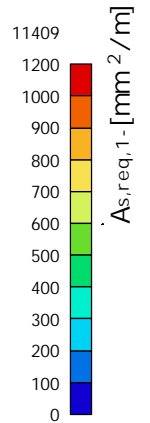
Výběr: Vše

Poloha: V uzlech s průměrováním na makro. Systém: LSS prvku síť



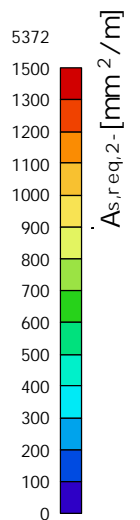
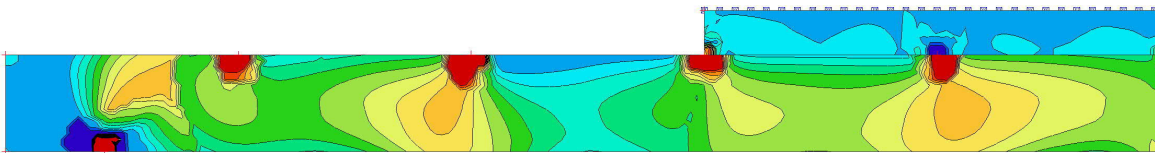
20.3.  $A_{s,min}$  - dolní X

Hodnoty:  $A_{s,req,1}$ -  
Lineární výpočet  
Kombinace: MSÚ-Sada B (auto)  
Extrém: Globální  
Výběr: Vše  
Poloha: V uzlech s průměrováním na makro. Systém: LSS prvku síť



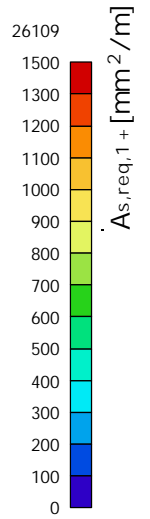
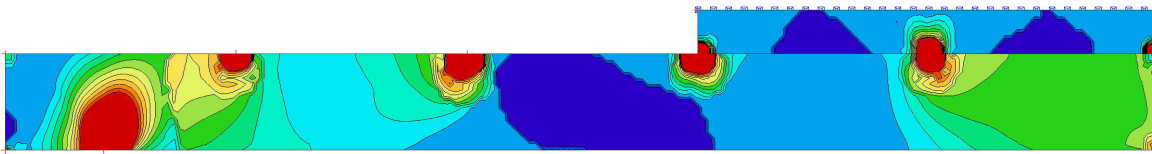
20.4.  $A_{s,min}$  - dolní Y

Hodnoty:  $A_{s,req,2}$ -  
Lineární výpočet  
Kombinace: MSÚ-Sada B (auto)  
Extrém: Globální  
Výběr: Vše  
Poloha: V uzlech s průměrováním na makro. Systém: LSS prvku síť



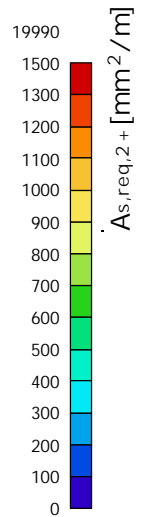
20.5. As,min - horní X

Hodnoty:  $A_{s,req,1+}$   
 Lineární výpočet  
 Kombinace: MSÚ-Sada B (auto)  
 Extrém: Globální  
 Výběr: Vše  
 Poloha: V uzlech s průměrováním na makro. Systém: LSS prvku síť



20.6. As,min - horní Y

Hodnoty:  $A_{s,req,2+}$   
 Lineární výpočet  
 Kombinace: MSÚ-Sada B (auto)  
 Extrém: Globální  
 Výběr: Vše  
 Poloha: V uzlech s průměrováním na makro. Systém: LSS prvku síť



## 21. Návrh ocelových ztužidel střechy

### 21.1. 1D vnitřní síly

Lineární výpočet

Kombinace: MSÚ-Sada B (auto)

Souřadný systém: Hlavní

Extrém 1D: Globální

Vyběr: Vše

Filtr: Průřez = CS7 - RO101.6X6.3

| Jméno | dx [m] | Stav                | Průřez            | N [kN] | V <sub>y</sub> [kN] | V <sub>z</sub> [kN] | M <sub>x</sub> [kNm] | M <sub>y</sub> [kNm] | M <sub>z</sub> [kNm] |
|-------|--------|---------------------|-------------------|--------|---------------------|---------------------|----------------------|----------------------|----------------------|
| B105  | 0,000  | MSÚ-Sada B (auto)/1 | CS7 - RO101.6X6.3 | -50,19 | 0,00                | 0,00                | 0,00                 | 0,00                 | 0,00                 |
| B109  | 0,000  | MSÚ-Sada B (auto)/1 | CS7 - RO101.6X6.3 | 47,44  | 0,00                | 0,00                | 0,00                 | 0,00                 | 0,00                 |

| Jméno               | Klíč kombinace                            |
|---------------------|---|
| MSÚ-Sada B (auto)/1 | 1.10*ZS1 + 1.10*ZS2 + 1.10*ZS3 + 1.65*ZS5 |

### 21.2. Posudek ocelových prvků na MSÚ EC-EN 1993

Lineární výpočet

Kombinace: MSÚ-Sada B (auto)

Souřadný systém: Hlavní

Extrém 1D: Dílec

Vyběr: Vše

Filtr: Průřez = CS7 - RO101.6X6.3

Celkový posudek

| Jméno | dx [m] | Stav                | Průřez            | Materiál | UC <sub>Celkovy</sub> [-] | UC <sub>Průřez</sub> [-] | UC <sub>Stabilita</sub> [-] |
|-------|--------|---------------------|-------------------|----------|---------------------------|--------------------------|-----------------------------|
| B101  | 0,000  | MSÚ-Sada B (auto)/1 | CS7 - RO101.6X6.3 | S 235    | 0,13                      | 0,03                     | 0,13                        |
| B102  | 0,000  | MSÚ-Sada B (auto)/2 | CS7 - RO101.6X6.3 | S 235    | 0,00                      | 0,00                     | 0,00                        |
| B103  | 0,000  | MSÚ-Sada B (auto)/1 | CS7 - RO101.6X6.3 | S 235    | 0,13                      | 0,04                     | 0,13                        |
| B104  | 0,000  | MSÚ-Sada B (auto)/3 | CS7 - RO101.6X6.3 | S 235    | 0,01                      | 0,01                     | 0,00                        |
| B105  | 0,000  | MSÚ-Sada B (auto)/4 | CS7 - RO101.6X6.3 | S 235    | 0,80                      | 0,11                     | 0,80                        |
| B106  | 0,000  | MSÚ-Sada B (auto)/2 | CS7 - RO101.6X6.3 | S 235    | 0,42                      | 0,06                     | 0,42                        |
| B107  | 0,000  | MSÚ-Sada B (auto)/5 | CS7 - RO101.6X6.3 | S 235    | 0,00                      | 0,00                     | 0,00                        |
| B108  | 0,000  | MSÚ-Sada B (auto)/5 | CS7 - RO101.6X6.3 | S 235    | 0,41                      | 0,06                     | 0,41                        |
| B109  | 0,000  | MSÚ-Sada B (auto)/2 | CS7 - RO101.6X6.3 | S 235    | 0,66                      | 0,09                     | 0,66                        |
| B110  | 0,000  | MSÚ-Sada B (auto)/4 | CS7 - RO101.6X6.3 | S 235    | 0,00                      | 0,00                     | 0,00                        |
| B111  | 0,000  | MSÚ-Sada B (auto)/4 | CS7 - RO101.6X6.3 | S 235    | 0,01                      | 0,01                     | 0,00                        |

| Jméno               | Klíč kombinace  |
|---------------------|---|
| MSÚ-Sada B (auto)/1 | 1.49*ZS1 + 1.49*ZS2 + 1.49*ZS3 + 1.65*ZS7 + 1.15*ZS8            |
| MSÚ-Sada B (auto)/2 | 1.49*ZS1 + 1.49*ZS2 + 1.49*ZS3 + 0.83*ZS4 + 1.65*ZS7 + 1.15*ZS8 |
| MSÚ-Sada B (auto)/3 | 1.49*ZS1 + 1.49*ZS2 + 1.49*ZS3 + 0.83*ZS4 + 1.65*ZS6 + 1.15*ZS8 |
| MSÚ-Sada B (auto)/4 | 1.10*ZS1 + 1.10*ZS2 + 1.10*ZS3 + 1.65*ZS5                       |
| MSÚ-Sada B (auto)/5 | 1.49*ZS1 + 1.49*ZS2 + 1.49*ZS3 + 0.83*ZS4 + 1.65*ZS6            |

### 21.3. Posudek ocelových prvků na MSÚ EC-EN 1993

Lineární výpočet

Kombinace: MSÚ-Sada B (auto)

Souřadný systém: Hlavní

## Projekt Sportovní hala Turnov

Extrém 1D: Globální

Výběr: Vše

Filtr: Průřez = CS7 - RO101.6X6.3

Posudek EN 1993-1-1

Národní příloha: Norma EN

|            |                 |             |       |                   |        |
|------------|-----------------|-------------|-------|-------------------|--------|
| Dílec B105 | 0,000 / 8,104 m | RO101.6X6.3 | S 235 | MSÚ-Sada B (auto) | 0,80 - |
|------------|-----------------|-------------|-------|-------------------|--------|

|   |
|---|
| <b>Klíč kombinace</b>   |
| MSÚ-Sada B (auto) / 1.10*ZS1 + 1.10*ZS2 + 1.10*ZS3 + 1.65*ZS5 |

|  |      |
|--|------|
| <b>Díličí souč. spolehlivosti</b>          |      |
| $\gamma_{M0}$ pro únosnost průřezu         | 1,00 |
| $\gamma_{M1}$ pro stabilitu                | 1,00 |
| $\gamma_{M2}$ pro únosnost čistého průřezu | 1,25 |

|                 |       |           |     |
|-----------------|-------|-----------|-----|
| <b>Materiál</b> |       |           |     |
| Mez kluzu       | $f_y$ | 235,0     | MPa |
| Pevnost v tahu  | $f_u$ | 360,0     | MPa |
| Výroba          |       | Válcovaný |     |

.....POSUDEK ÚNOSNOSTI:.....

Kritický posudek je na pozici 0,000 m

| Vnitřní síly   |            | Vypočtené | Jednotka |
|----------------|------------|-----------|----------|
| Osová síla     | $N_{Ed}$   | -50,19    | kN       |
| Smyková síla   | $V_{y,Ed}$ | 0,00      | kN       |
| Smyková síla   | $V_{z,Ed}$ | 0,00      | kN       |
| Kroucení       | $T_{Ed}$   | 0,00      | kNm      |
| Ohybový moment | $M_{y,Ed}$ | 0,00      | kNm      |
| Ohybový moment | $M_{z,Ed}$ | 0,00      | kNm      |

Klasifikace pro návrh průřezu

Klasifikace podle EN 1993-1-1 článku 5.5.2

Klasifikace trubek podle EN 1993-1-1 tabulky 5.2 listu 3

| d [mm] | t [mm] | d/t [-] | Třída 1 limit [-] | Třída 2 limit [-] | Třída 3 limit [-] | Třída |
|--------|--------|---------|-------------------|-------------------|-------------------|-------|
| 102    | 6      | 16,13   | 50,00             | 70,00             | 90,00             | 1     |

Průřez je klasifikován třídou 1

Posudek na tlak

Podle EN 1993-1-1 článku 6.2.4 a rovnice (6.9)

|                  |            |            |                |
|------------------|------------|------------|----------------|
| Průřezová plocha | A          | 1,8900e-03 | m <sup>2</sup> |
| Tlaková únosnost | $N_{c,Rd}$ | 444,15     | kN             |
| Jedn. posudek    |            | 0,11       | -              |

Prvek splňuje podmínky posudku průřezu.

.....POSUDEK STABILITY:.....

Klasifikace pro návrh dílce na vzpěr

Rozhodující poloha pro klasifikaci stability: 0,000 m

Klasifikace podle EN 1993-1-1 článku 5.5.2

Klasifikace trubek podle EN 1993-1-1 tabulky 5.2 listu 3

| d [mm] | t [mm] | d/t [-] | Třída 1 limit [-] | Třída 2 limit [-] | Třída 3 limit [-] | Třída |
|--------|--------|---------|-------------------|-------------------|-------------------|-------|
| 102    | 6      | 16,13   | 50,00             | 70,00             | 90,00             | 1     |

Průřez je klasifikován třídou 1

Posudek rovinného vzpěru

Podle EN 1993-1-1 článku 6.3.1.1 a rovnice (6.46)

| Parametry vzpěru           |          | yy        | zz        |    |
|----------------------------|----------|-----------|-----------|----|
| Typ posuvných styčniců     |          | neposuvné | neposuvné |    |
| Systémová délka            | L        | 8,104     | 8,104     | m  |
| Součinitel vzpěru          | k        | 1,00      | 1,00      |    |
| Vzpěrná délka              | $l_{cr}$ | 8,104     | 8,104     | m  |
| Kritické Eulerovo zatížení | $N_{cr}$ | 67,86     | 67,86     | kN |

| Parametry vzpěru    |                   | yy     | zz     |    |
|---------------------|-------------------|--------|--------|----|
| Štíhlost            | $\lambda$         | 240,26 | 240,26 |    |
| Poměrná štíhlost    | $\lambda_{rel}$   | 2,56   | 2,56   |    |
| Mezní štíhlost      | $\lambda_{rel,0}$ | 0,20   | 0,20   |    |
| Vzpěr. křivka       | a                 | a      | a      |    |
| Imperfekce          | $\alpha$          | 0,21   | 0,21   |    |
| Redukční součinitel | $\chi$            | 0,14   | 0,14   |    |
| Únosnost na vzpěr   | $N_{b,Rd}$        | 62,37  | 62,37  | kN |

| Posudek rovinného vzpěru |            |            |                |
|--------------------------|------------|------------|----------------|
| Průřezová plocha         | A          | 1,8900e-03 | m <sup>2</sup> |
| Únosnost na vzpěr        | $N_{b,Rd}$ | 62,37      | kN             |
| Jedn. posudek            |            | 0,80       | -              |

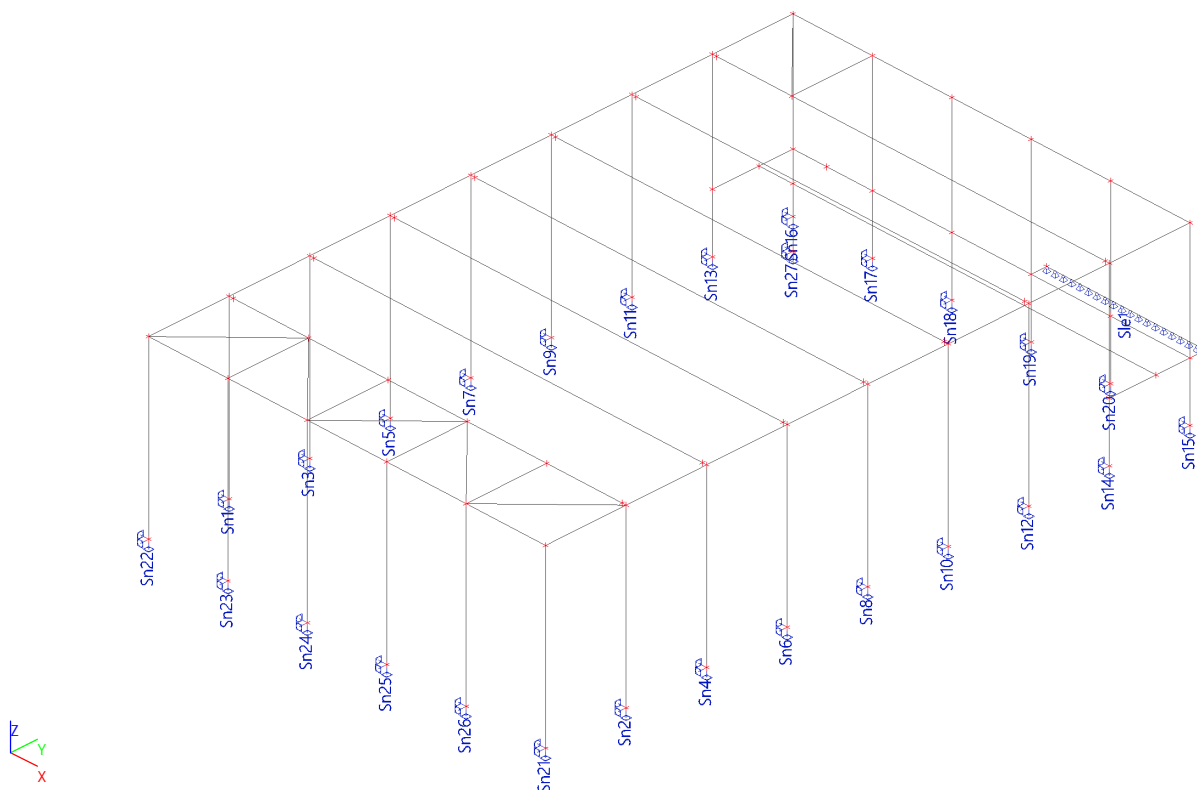
Posudek prostorového vzpěru

Podle EN 1993-1-1 článku 6.3.1.1 a rovnice (6.46)

Poznámka: Průřez se týká kruhové trubky, která není náchylná k prostorovému vzpěru.

Prvek splňuje podmínky stabilitního posudku.

## 22. Reakce



Lineární výpočet

Kombinace: MSÚ-Sada B (auto)

Systém: Globální

Extrém: Globální

Vyběr: Pojmenovaný výběr - sloup 400x400

Uzlové reakce

| Jméno    | Stav                | R <sub>x</sub><br>[kN] | R <sub>y</sub><br>[kN] | R <sub>z</sub><br>[kN] | M <sub>x</sub><br>[kNm] | M <sub>y</sub><br>[kNm] | M <sub>z</sub><br>[kNm] | e <sub>x</sub><br>[mm] | e <sub>y</sub><br>[mm] |
|----------|---------------------|------------------------|------------------------|------------------------|-------------------------|-------------------------|-------------------------|------------------------|------------------------|
| Sn22/N89 | MSÚ-Sada B (auto)/1 | -34,54                 | 37,83                  | 115,69                 | -111,97                 | -103,79                 | 0,23                    | -967,9                 | -897,1                 |
| Sn22/N89 | MSÚ-Sada B (auto)/2 | 33,85                  | -32,23                 | 172,88                 | 96,69                   | 101,99                  | 0,23                    | 559,3                  | 590,0                  |
| Sn23/N90 | MSÚ-Sada B (auto)/3 | 2,26                   | -32,40                 | 163,81                 | 98,23                   | 27,13                   | -0,27                   | 599,7                  | 165,6                  |
| Sn16/N76 | MSÚ-Sada B (auto)/4 | -0,07                  | -0,92                  | 105,72                 | -17,44                  | 6,59                    | -1,76                   | -165,0                 | 62,3                   |
| Sn20/N83 | MSÚ-Sada B (auto)/5 | 1,40                   | -13,32                 | 547,61                 | 17,50                   | 1,77                    | 0,06                    | 32,0                   | 3,2                    |
| Sn24/N92 | MSÚ-Sada B (auto)/6 | -2,29                  | 38,15                  | 270,61                 | -115,07                 | -27,45                  | -0,06                   | -425,2                 | -101,4                 |
| Sn22/N89 | MSÚ-Sada B (auto)/7 | -34,54                 | 37,85                  | 159,08                 | -112,18                 | -103,80                 | 0,26                    | -705,2                 | -652,5                 |
| Sn22/N89 | MSÚ-Sada B (auto)/8 | 33,85                  | -32,25                 | 129,49                 | 96,90                   | 102,01                  | 0,20                    | 748,3                  | 787,7                  |
| Sn17/N77 | MSÚ-Sada B (auto)/9 | 12,44                  | -3,82                  | 361,73                 | -7,49                   | 17,47                   | -1,98                   | -20,7                  | 48,3                   |
| Sn16/N76 | MSÚ-Sada B (auto)/3 | -5,54                  | 2,02                   | 127,82                 | 11,32                   | -13,78                  | 1,49                    | 88,6                   | -107,8                 |

| Jméno               | Klíč kombinace                                       |
|---------------------|--|
| MSÚ-Sada B (auto)/1 | 1.10*ZS1 + 1.10*ZS2 + 1.10*ZS3 + 1.65*ZS5 + 1.15*ZS8 |
| MSÚ-Sada B (auto)/2 | 1.49*ZS1 + 1.49*ZS2 + 1.49*ZS3 + 0.83*ZS4 + 1.65*ZS7 |
| MSÚ-Sada B (auto)/3 | 1.10*ZS1 + 1.10*ZS2 + 1.10*ZS3 + 1.65*ZS7            |

## Projekt Sportovní hala Turnov

| Jméno               | Klíč kombinace  |
|---------------------|---|
| MSÚ-Sada B (auto)/4 | 1.10*ZS1 + 1.10*ZS2 + 1.10*ZS3 + 1.65*ZS5                       |
| MSÚ-Sada B (auto)/5 | 1.49*ZS1 + 1.49*ZS2 + 1.49*ZS3 + 0.83*ZS4 + 0.99*ZS6 + 1.65*ZS8 |
| MSÚ-Sada B (auto)/6 | 1.49*ZS1 + 1.49*ZS2 + 1.49*ZS3 + 0.83*ZS4 + 1.65*ZS6 + 1.15*ZS8 |
| MSÚ-Sada B (auto)/7 | 1.49*ZS1 + 1.49*ZS2 + 1.49*ZS3 + 1.65*ZS5 + 1.15*ZS8            |
| MSÚ-Sada B (auto)/8 | 1.10*ZS1 + 1.10*ZS2 + 1.10*ZS3 + 0.83*ZS4 + 1.65*ZS7            |
| MSÚ-Sada B (auto)/9 | 1.49*ZS1 + 1.49*ZS2 + 1.49*ZS3 + 1.65*ZS6 + 1.15*ZS8            |

Lineární výpočet

Kombinace: MSP-Char (auto)

Systém: Globální

Extrém: Globální

Výběr: Pojmenovaný výběr - sloup 400x400

Uzlové reakce

| Jméno    | Stav              | R <sub>x</sub><br>[kN] | R <sub>y</sub><br>[kN] | R <sub>z</sub><br>[kN] | M <sub>x</sub><br>[kNm] | M <sub>y</sub><br>[kNm] | M <sub>z</sub><br>[kNm] | e <sub>x</sub><br>[mm] | e <sub>y</sub><br>[mm] |
|----------|-------------------|------------------------|------------------------|------------------------|-------------------------|-------------------------|-------------------------|------------------------|------------------------|
| Sn23/N90 | MSP-Char (auto)/1 | 1,37                   | -19,62                 | 152,87                 | 59,32                   | 16,43                   | -0,15                   | 388,0                  | 107,4                  |
| Sn16/N76 | MSP-Char (auto)/2 | -0,83                  | 0,01                   | 102,26                 | -12,17                  | 3,00                    | -1,14                   | -119,0                 | 29,3                   |
| Sn19/N81 | MSP-Char (auto)/3 | 1,85                   | -6,88                  | 359,90                 | 8,88                    | 2,49                    | -0,31                   | 24,7                   | 6,9                    |
| Sn24/N92 | MSP-Char (auto)/4 | -1,39                  | 23,13                  | 180,20                 | -69,81                  | -16,64                  | -0,04                   | -387,4                 | -92,3                  |
| Sn22/N89 | MSP-Char (auto)/5 | -20,93                 | 22,94                  | 107,68                 | -68,05                  | -62,91                  | 0,17                    | -631,9                 | -584,3                 |
| Sn22/N89 | MSP-Char (auto)/6 | 20,52                  | -19,53                 | 116,04                 | 58,55                   | 61,81                   | 0,15                    | 504,5                  | 532,6                  |
| Sn17/N77 | MSP-Char (auto)/7 | 7,85                   | -2,23                  | 241,04                 | -4,82                   | 11,01                   | -1,22                   | -20,0                  | 45,7                   |
| Sn26/N96 | MSP-Char (auto)/1 | 1,38                   | -19,40                 | 154,05                 | 56,82                   | 16,55                   | 0,84                    | 368,8                  | 107,4                  |

| Jméno             | Klíč kombinace                              |
|-------------------|---|
| MSP-Char (auto)/1 | ZS1 + ZS2 + ZS3 + ZS7                       |
| MSP-Char (auto)/2 | ZS1 + ZS2 + ZS3 + ZS5                       |
| MSP-Char (auto)/3 | ZS1 + ZS2 + ZS3 + 0.50*ZS4 + 0.60*ZS6 + ZS8 |
| MSP-Char (auto)/4 | ZS1 + ZS2 + ZS3 + 0.50*ZS4 + ZS6 + 0.70*ZS8 |
| MSP-Char (auto)/5 | ZS1 + ZS2 + ZS3 + ZS5 + 0.70*ZS8            |
| MSP-Char (auto)/6 | ZS1 + ZS2 + ZS3 + 0.50*ZS4 + ZS7            |
| MSP-Char (auto)/7 | ZS1 + ZS2 + ZS3 + ZS6 + 0.70*ZS8            |

Lineární výpočet

Kombinace: MSÚ-Sada B (auto)

Systém: Globální

Extrém: Globální

Výběr: Pojmenovaný výběr - sloup 500x650

Uzlové reakce

| Jméno    | Stav                | R <sub>x</sub><br>[kN] | R <sub>y</sub><br>[kN] | R <sub>z</sub><br>[kN] | M <sub>x</sub><br>[kNm] | M <sub>y</sub><br>[kNm] | M <sub>z</sub><br>[kNm] | e <sub>x</sub><br>[mm] | e <sub>y</sub><br>[mm] |
|----------|---------------------|------------------------|------------------------|------------------------|-------------------------|-------------------------|-------------------------|------------------------|------------------------|
| Sn14/N74 | MSÚ-Sada B (auto)/1 | 7,89                   | -41,16                 | 1064,75                | 52,99                   | -39,88                  | -15,74                  | 49,8                   | -37,5                  |
| Sn14/N74 | MSÚ-Sada B (auto)/2 | -8,16                  | 33,98                  | 667,25                 | -43,81                  | 41,60                   | 16,88                   | -65,7                  | 62,3                   |
| Sn3/N1   | MSÚ-Sada B (auto)/3 | -43,59                 | 7,05                   | 533,87                 | -83,62                  | -207,89                 | -2,49                   | -156,6                 | -389,4                 |
| Sn14/N74 | MSÚ-Sada B (auto)/4 | 4,48                   | -25,17                 | 1118,24                | 32,41                   | -23,13                  | -9,03                   | 29,0                   | -20,7                  |
| Sn1/N62  | MSÚ-Sada B (auto)/1 | -45,56                 | 7,21                   | 855,22                 | -85,43                  | -226,04                 | 2,29                    | -99,9                  | -264,3                 |
| Sn1/N62  | MSÚ-Sada B (auto)/2 | 44,23                  | -6,63                  | 545,15                 | 78,12                   | 217,21                  | -0,61                   | 143,3                  | 398,5                  |
| Sn13/N73 | MSÚ-Sada B (auto)/5 | -29,45                 | -3,98                  | 657,04                 | -53,84                  | -133,41                 | -22,28                  | -81,9                  | -203,0                 |

## Projekt Sportovní hala Turnov

| Jméno    | Stav                | R <sub>x</sub><br>[kN] | R <sub>y</sub><br>[kN] | R <sub>z</sub><br>[kN] | M <sub>x</sub><br>[kNm] | M <sub>y</sub><br>[kNm] | M <sub>z</sub><br>[kNm] | e <sub>x</sub><br>[mm] | e <sub>y</sub><br>[mm] |
|----------|---------------------|------------------------|------------------------|------------------------|-------------------------|-------------------------|-------------------------|------------------------|------------------------|
| Sn13/N73 | MSÚ-Sada B (auto)/6 | 26,60                  | 12,18                  | 756,29                 | 27,02                   | 125,21                  | 21,16                   | 35,7                   | 165,6                  |

| Jméno               | Klíč kombinace  |
|---------------------|---|
| MSÚ-Sada B (auto)/1 | 1.49*ZS1 + 1.49*ZS2 + 1.49*ZS3 + 0.83*ZS4 + 1.65*ZS6 + 1.15*ZS8 |
| MSÚ-Sada B (auto)/2 | 1.10*ZS1 + 1.10*ZS2 + 1.10*ZS3 + 1.65*ZS7                       |
| MSÚ-Sada B (auto)/3 | 1.10*ZS1 + 1.10*ZS2 + 1.10*ZS3 + 1.65*ZS5                       |
| MSÚ-Sada B (auto)/4 | 1.49*ZS1 + 1.49*ZS2 + 1.49*ZS3 + 1.65*ZS4 + 0.99*ZS6 + 1.15*ZS8 |
| MSÚ-Sada B (auto)/5 | 1.10*ZS1 + 1.10*ZS2 + 1.10*ZS3 + 0.83*ZS4 + 1.65*ZS6            |
| MSÚ-Sada B (auto)/6 | 1.49*ZS1 + 1.49*ZS2 + 1.49*ZS3 + 1.65*ZS7 + 1.15*ZS8            |

Lineární výpočet

Kombinace: MSP-Char (auto)

System: Globální

Extrém: Globální

Výběr: Pojmenovaný výběr - sloup 500x650

Uzlové reakce

| Jméno    | Stav              | R <sub>x</sub><br>[kN] | R <sub>y</sub><br>[kN] | R <sub>z</sub><br>[kN] | M <sub>x</sub><br>[kNm] | M <sub>y</sub><br>[kNm] | M <sub>z</sub><br>[kNm] | e <sub>x</sub><br>[mm] | e <sub>y</sub><br>[mm] |
|----------|-------------------|------------------------|------------------------|------------------------|-------------------------|-------------------------|-------------------------|------------------------|------------------------|
| Sn14/N74 | MSP-Char (auto)/1 | 4,75                   | -25,00                 | 709,08                 | 32,19                   | -24,06                  | -9,49                   | 45,4                   | -33,9                  |
| Sn14/N74 | MSP-Char (auto)/2 | -5,06                  | 20,40                  | 616,97                 | -26,29                  | 25,56                   | 10,41                   | -42,6                  | 41,4                   |
| Sn3/N1   | MSP-Char (auto)/3 | -26,45                 | 4,33                   | 497,87                 | -51,28                  | -126,45                 | -1,53                   | -103,0                 | -254,0                 |
| Sn14/N74 | MSP-Char (auto)/4 | 2,68                   | -15,31                 | 741,49                 | 19,72                   | -13,91                  | -5,42                   | 26,6                   | -18,8                  |
| Sn1/N62  | MSP-Char (auto)/1 | -27,63                 | 4,38                   | 570,83                 | -51,95                  | -137,14                 | 1,40                    | -91,0                  | -240,3                 |
| Sn1/N62  | MSP-Char (auto)/2 | 26,76                  | -3,97                  | 505,46                 | 46,74                   | 131,14                  | -0,32                   | 92,5                   | 259,4                  |
| Sn13/N73 | MSP-Char (auto)/5 | -18,11                 | -0,72                  | 574,96                 | -37,51                  | -81,31                  | -13,41                  | -65,2                  | -141,4                 |
| Sn13/N73 | MSP-Char (auto)/6 | 16,04                  | 7,89                   | 511,38                 | 14,92                   | 75,75                   | 12,85                   | 29,2                   | 148,1                  |

| Jméno             | Klíč kombinace                              |
|-------------------|---|
| MSP-Char (auto)/1 | ZS1 + ZS2 + ZS3 + 0.50*ZS4 + ZS6 + 0.70*ZS8 |
| MSP-Char (auto)/2 | ZS1 + ZS2 + ZS3 + ZS7                       |
| MSP-Char (auto)/3 | ZS1 + ZS2 + ZS3 + ZS5                       |
| MSP-Char (auto)/4 | ZS1 + ZS2 + ZS3 + ZS4 + 0.60*ZS6 + 0.70*ZS8 |
| MSP-Char (auto)/5 | ZS1 + ZS2 + ZS3 + 0.50*ZS4 + ZS6            |
| MSP-Char (auto)/6 | ZS1 + ZS2 + ZS3 + ZS7 + 0.70*ZS8            |

Lineární výpočet

Kombinace: MSÚ-Sada B (auto)

System: Globální

Extrém: Globální

Výběr: Pojmenovaný výběr - sloup 300x600

Uzlové reakce

## Projekt Sportovní hala Turnov

| Jméno     | Stav                | R <sub>x</sub><br>[kN] | R <sub>y</sub><br>[kN] | R <sub>z</sub><br>[kN] | M <sub>x</sub><br>[kNm] | M <sub>y</sub><br>[kNm] | M <sub>z</sub><br>[kNm] | e <sub>x</sub><br>[mm] | e <sub>y</sub><br>[mm] |
|-----------|---------------------|------------------------|------------------------|------------------------|-------------------------|-------------------------|-------------------------|------------------------|------------------------|
| Sn27/N123 | MSÚ-Sada B (auto)/1 | 35,19                  | -33,93                 | 481,72                 | 51,65                   | 48,47                   | 0,93                    | 107,2                  | 100,6                  |
| Sn27/N123 | MSÚ-Sada B (auto)/2 | 20,93                  | -23,72                 | 271,09                 | 39,27                   | 30,70                   | 1,21                    | 144,8                  | 113,3                  |
| Sn27/N123 | MSÚ-Sada B (auto)/3 | 35,57                  | -21,58                 | 551,52                 | 20,78                   | 41,77                   | -1,55                   | 37,7                   | 75,7                   |
| Sn27/N123 | MSÚ-Sada B (auto)/4 | 16,65                  | -5,64                  | 281,26                 | -2,14                   | 16,52                   | -1,77                   | -7,6                   | 58,7                   |
| Sn27/N123 | MSÚ-Sada B (auto)/5 | 37,70                  | -32,35                 | 534,96                 | 45,53                   | 49,74                   | 0,24                    | 85,1                   | 93,0                   |
| Sn27/N123 | MSÚ-Sada B (auto)/6 | 31,63                  | -16,07                 | 509,00                 | 10,50                   | 35,19                   | -2,05                   | 20,6                   | 69,1                   |
| Sn27/N123 | MSÚ-Sada B (auto)/7 | 20,93                  | -23,67                 | 271,29                 | 39,21                   | 30,70                   | 1,21                    | 144,5                  | 113,2                  |

| Jméno               | Klíč kombinace  |
|---------------------|---|
| MSÚ-Sada B (auto)/1 | 1.49*ZS1 + 1.49*ZS2 + 1.49*ZS3 + 1.65*ZS7 + 1.15*ZS8            |
| MSÚ-Sada B (auto)/2 | 1.10*ZS1 + 1.10*ZS2 + 1.10*ZS3 + 1.65*ZS7                       |
| MSÚ-Sada B (auto)/3 | 1.49*ZS1 + 1.49*ZS2 + 1.49*ZS3 + 0.83*ZS4 + 0.99*ZS6 + 1.65*ZS8 |
| MSÚ-Sada B (auto)/4 | 1.10*ZS1 + 1.10*ZS2 + 1.10*ZS3 + 0.83*ZS4 + 1.65*ZS5            |
| MSÚ-Sada B (auto)/5 | 1.49*ZS1 + 1.49*ZS2 + 1.49*ZS3 + 0.99*ZS7 + 1.65*ZS8            |
| MSÚ-Sada B (auto)/6 | 1.49*ZS1 + 1.49*ZS2 + 1.49*ZS3 + 1.65*ZS6 + 1.15*ZS8            |
| MSÚ-Sada B (auto)/7 | 1.10*ZS1 + 1.10*ZS2 + 1.10*ZS3 + 0.83*ZS4 + 1.65*ZS7            |

Lineární výpočet

Kombinace: MSP-Char (auto)

Systém: Globální

Extrém: Globální

Výběr: Pojmenovaný výběr - sloup 300x600

Uzlové reakce

| Jméno     | Stav              | R <sub>x</sub><br>[kN] | R <sub>y</sub><br>[kN] | R <sub>z</sub><br>[kN] | M <sub>x</sub><br>[kNm] | M <sub>y</sub><br>[kNm] | M <sub>z</sub><br>[kNm] | e <sub>x</sub><br>[mm] | e <sub>y</sub><br>[mm] |
|-----------|-------------------|------------------------|------------------------|------------------------|-------------------------|-------------------------|-------------------------|------------------------|------------------------|
| Sn27/N123 | MSP-Char (auto)/1 | 23,06                  | -21,85                 | 317,92                 | 32,86                   | 31,53                   | 0,53                    | 103,3                  | 99,2                   |
| Sn27/N123 | MSP-Char (auto)/2 | 18,46                  | -18,65                 | 250,85                 | 28,99                   | 25,80                   | 0,62                    | 115,6                  | 102,9                  |
| Sn27/N123 | MSP-Char (auto)/3 | 23,29                  | -14,37                 | 360,22                 | 14,15                   | 27,47                   | -0,97                   | 39,3                   | 76,3                   |
| Sn27/N123 | MSP-Char (auto)/4 | 15,87                  | -7,70                  | 257,01                 | 3,89                    | 17,21                   | -1,19                   | 15,1                   | 67,0                   |
| Sn27/N123 | MSP-Char (auto)/5 | 24,59                  | -20,89                 | 350,18                 | 29,15                   | 32,30                   | 0,11                    | 83,2                   | 92,2                   |
| Sn27/N123 | MSP-Char (auto)/6 | 20,91                  | -11,02                 | 334,45                 | 7,92                    | 23,49                   | -1,28                   | 23,7                   | 70,2                   |
| Sn27/N123 | MSP-Char (auto)/7 | 18,46                  | -18,62                 | 250,97                 | 28,95                   | 25,80                   | 0,62                    | 115,4                  | 102,8                  |

| Jméno             | Klíč kombinace                              |
|-------------------|---|
| MSP-Char (auto)/1 | ZS1 + ZS2 + ZS3 + ZS7 + 0.70*ZS8            |
| MSP-Char (auto)/2 | ZS1 + ZS2 + ZS3 + ZS7                       |
| MSP-Char (auto)/3 | ZS1 + ZS2 + ZS3 + 0.50*ZS4 + 0.60*ZS6 + ZS8 |
| MSP-Char (auto)/4 | ZS1 + ZS2 + ZS3 + 0.50*ZS4 + ZS5            |
| MSP-Char (auto)/5 | ZS1 + ZS2 + ZS3 + 0.60*ZS7 + ZS8            |
| MSP-Char (auto)/6 | ZS1 + ZS2 + ZS3 + ZS6 + 0.70*ZS8            |
| MSP-Char (auto)/7 | ZS1 + ZS2 + ZS3 + 0.50*ZS4 + ZS7            |

## Obsah

Souhrn posudků řezů  
Posudek řezu  
Data dimenzačních dílců  
Zóny vyztužení

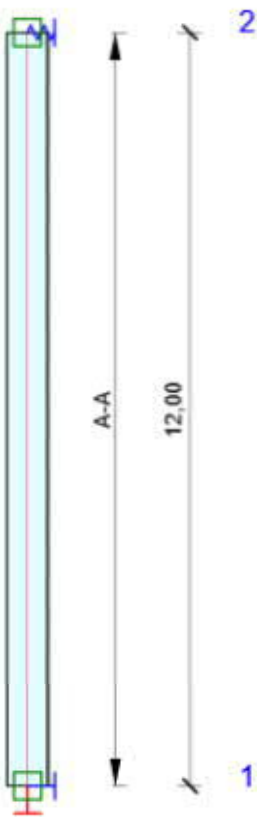
## Posouzení betonu

### Národní norma

|               |                     |
|---------------|---------------------|
| Národní norma | EN 1992-1-1:2014-12 |
| Životnost     | 50 let              |

### Návrhová skupina: sloup hl. vazby

### Schéma vyztužení

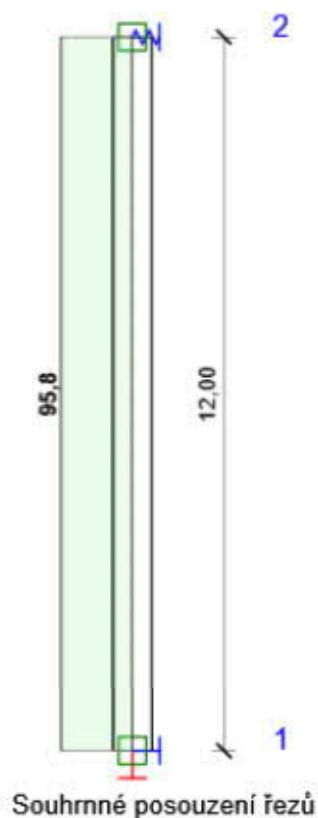


### Souhrn posudků řezů

| Kombinace             | $N_{Ed}$<br>[kN] | $M_{Ed,y}$<br>[kNm] | $M_{Ed,z}$<br>[kNm] | $V_{Ed}$<br>[kN] | $T_{Ed}$<br>[kNm] | Hodnota<br>[%] | Posudek |
|-----------------------|------------------|---------------------|---------------------|------------------|-------------------|----------------|---------|
| Únosnost N-M-M        |                  |                     |                     |                  |                   |                |         |
| MSÚ-Sada B (auto)(19) | -855,2           | -581,3              | -88,9               | 45,6             | 2,3               | 81,7           | OK      |
| Smyk                  |                  |                     |                     |                  |                   |                |         |
| MSÚ-Sada B (auto)(27) | -536,3           | -447,8              | -86,2               | 45,5             | 2,2               | 17,0           | OK      |

| Kombinace             | $N_{Ed}$<br>[kN] | $M_{Ed,y}$<br>[kNm] | $M_{Ed,z}$<br>[kNm] | $V_{Ed}$<br>[kN] | $T_{Ed}$<br>[kNm] | Hodnota<br>[%] | Posudek |
|-----------------------|------------------|---------------------|---------------------|------------------|-------------------|----------------|---------|
| Kroucení              |                  |                     |                     |                  |                   |                |         |
| MSÚ-Sada B (auto)(87) | -750,0           | -442,0              | -54,1               | 29,1             | -22,3             | 24,4           | OK      |
| Interakce             |                  |                     |                     |                  |                   |                |         |
| MSÚ-Sada B (auto)(19) | -855,2           | -581,3              | -88,9               | 45,6             | 2,3               | 95,8           | OK      |
| Omezení napětí        |                  |                     |                     |                  |                   |                |         |
| MSP-Kvazi (auto)(44)  | -530,9           | -2,1                | -14,0               | 1,2              | 0,7               | 10,0           | OK      |
| Šířka trhliny         |                  |                     |                     |                  |                   |                |         |
| MSP-Kvazi (auto)(44)  | -657,0           | 1,0                 | 0,8                 | 0,7              | 0,7               | 0,0            | OK      |

## Posudek řezu



| x začátek<br>[m] | x konec<br>[m] | Vyztužení | Rozhodující typ posudku | Hodnota<br>[%] | Posudek |
|------------------|----------------|-----------|-------------------------|----------------|---------|
| 0,00             | 12,00          | A-A       | Interakce               | 95,8           | OK      |

Mezní hodnota využití průřezu: 100,0 %

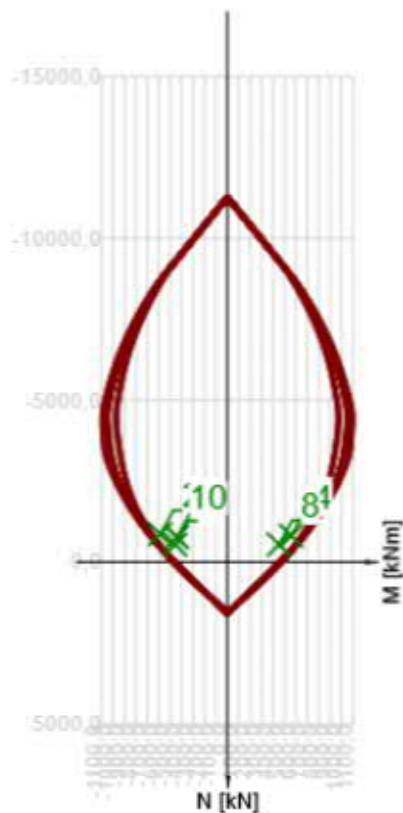
### Upozornění

| Typ posudku    | Upozornění  |
|----------------|---|
| 1 Přepočít sil | Minimální excentricita je aplikována dle 6.1. (4) |

### Posudek řezu pro zónu: A-A (0,00 m - 12,00 m)

| Rozhodující typ posudku | Kombinace             | $N_{Ed}$<br>[kN]    | $M_{Ed,y}$<br>[kNm] | $M_{Ed,z}$<br>[kNm] | $V_{Ed}$<br>[kN]  | $T_{Ed}$<br>[kNm] | Hodnota<br>[%] | Posudek |
|-------------------------|-----------------------|---------------------|---------------------|---------------------|-------------------|-------------------|----------------|---------|
| Interakce               | MSÚ-Sada B (auto)(19) | -855,2              | -581,3              | -88,9               | 45,6              | 2,3               | 95,8           | OK      |
| Kombinace               | $N_{Ed}$<br>[kN]      | $M_{Ed,y}$<br>[kNm] | $M_{Ed,z}$<br>[kNm] | $V_{Ed}$<br>[kN]    | $T_{Ed}$<br>[kNm] | Hodnota<br>[%]    | Posudek        |         |
| Únosnost N-M-M          |                       |                     |                     |                     |                   |                   |                |         |

| Kombinace             | $N_{Ed}$<br>[kN] | $M_{Ed,y}$<br>[kNm] | $M_{Ed,z}$<br>[kNm] | $V_{Ed}$<br>[kN] | $T_{Ed}$<br>[kNm] | Hodnota<br>[%] | Posudek |
|-----------------------|------------------|---------------------|---------------------|------------------|-------------------|----------------|---------|
| MSÚ-Sada B (auto)(19) | -855,2           | -581,3              | -88,9               | 45,6             | 2,3               | 81,7           | OK      |
| Smyk                  |                  |                     |                     |                  |                   |                |         |
| MSÚ-Sada B (auto)(27) | -536,3           | -447,8              | -86,2               | 45,5             | 2,2               | 17,0           | OK      |
| Kroucení              |                  |                     |                     |                  |                   |                |         |
| MSÚ-Sada B (auto)(87) | -750,0           | -442,0              | -54,1               | 29,1             | -22,3             | 24,4           | OK      |
| Interakce             |                  |                     |                     |                  |                   |                |         |
| MSÚ-Sada B (auto)(19) | -855,2           | -581,3              | -88,9               | 45,6             | 2,3               | 95,8           | OK      |
| Omezení napětí        |                  |                     |                     |                  |                   |                |         |
| MSP-Kvazi (auto)(44)  | -530,9           | -2,1                | -14,0               | 1,2              | 0,7               | 10,0           | OK      |
| Šířka trhliny         |                  |                     |                     |                  |                   |                |         |
| MSP-Kvazi (auto)(44)  | -657,0           | 1,0                 | 0,8                 | 0,7              | 0,7               | 0,0            | OK      |



|    | Extrém                | N<br>[kN] | My<br>[kNm] | Mz<br>[kNm] |
|----|-----------------------|-----------|-------------|-------------|
| 1  | MSÚ-Sada B (auto)(19) | -855,2    | -581,3      | -88,9       |
| 2  | MSÚ-Sada B (auto)(61) | -855,2    | -581,3      | -88,3       |
| 3  | MSÚ-Sada B (auto)(35) | -807,5    | 552,0       | 81,9        |
| 4  | MSÚ-Sada B (auto)(33) | -807,5    | 552,0       | 81,4        |
| 5  | MSÚ-Sada B (auto)(34) | -536,3    | -447,8      | -86,8       |
| 6  | MSÚ-Sada B (auto)(27) | -536,3    | -447,8      | -86,2       |
| 7  | MSÚ-Sada B (auto)(38) | -545,1    | 443,8       | 81,2        |
| 8  | MSÚ-Sada B (auto)(60) | -545,1    | 443,8       | 80,7        |
| 9  | MSÚ-Sada B (auto)(20) | -789,1    | -416,1      | -142,5      |
| 10 | MSÚ-Sada B (auto)(87) | -750,0    | -442,0      | -54,1       |

**Upozornění**

|   | Typ posudku    | Upozornění   |
|---|----------------|--|
|  | Smyk           | Smyk je přenesen betonem, smyková výztuž je požadována z hlediska konstrukčních zásad, viz 6.2.2   |
|  | Omezení napětí | Podmínka omezení tlakových napětí v betonu při charakteristické kombinaci zatížení platí pouze pro konstrukce vystavené stupňům vlivu prostředí XD, XF a XS, viz 7.2 (2) |
|  | Šířka trhliny  | Pro krátkodobé účinky trhliny nevznikají – v nejvíce tažených vláknech nebylo překročeno efektivní tahové napětí od dlouhodobých účinků podle čl. 7.1 (2)                |

#### Kritické kombinace vybrané pro posouzení řezů

| Kombinace             | Popis kritických účinků zatížení                                |
|-----------------------|---|
| MSÚ-Sada B (auto)(19) | 1,49*ZS1 + 1,49*ZS2 + 1,49*ZS3 + 0,83*ZS4 + 1,65*ZS6 + 1,16*ZS8 |
| MSÚ-Sada B (auto)(27) | 1,1*ZS1 + 1,1*ZS2 + 1,49*ZS3 + 1,65*ZS5                         |
| MSP-Kvazi (auto)(44)  | ZS1 + ZS2 + ZS3 + 0,6*ZS8                                       |
| MSÚ-Sada B (auto)(87) | 1,1*ZS1 + 1,49*ZS2 + 1,49*ZS3 + 0,83*ZS4 + 1,65*ZS6             |

#### Data dimenzačních dílců

|                        |           |
|------------------------|-----------|
| Typ prvku              | Sloup     |
| Stupeň vlivu prostředí | XC1       |
| Relativní vlhkost      | 65 %      |
| Součinitel dotvarování | Vypočtený |
| Význam nosného prvku   | Velký     |

#### Imperfekce, 2. řád

|              |              |
|--------------|--------------|
| Délka        | 12,00 m      |
| Účinná délka | Podle podpor |

#### Uložení tlačенého prvku

| Směr    | $y^{\perp}$ | $z^{\perp}$ |
|---------|-------------|-------------|
| Konec   | Volný       | Kloub       |
| Počátek | Pevný       | Pevný       |

#### Geometrické imperfekce

|                  |               |
|------------------|---------------|
| Použit pro MSÚ   | Zapnuto       |
| Použit pro MSP   | Vypnuto       |
| Uvažovaný účinek | Osamělý prvek |

#### Účinky druhého řádu

|                           |                   |
|---------------------------|-------------------|
| Ztužený prvek $y^{\perp}$ | Vypnuto           |
| Ztužený prvek $z^{\perp}$ | Vypnuto           |
| Použitá metoda            | Jmenovitá křivost |
| $c y^{\perp}$             | 9,87              |
| $c z^{\perp}$             | 9,87              |

#### Zóny vyztužení

| Zóna | Začátek [m] | Konec [m] | Délka [m] | Vyztužení | Posudek |
|------|-------------|-----------|-----------|-----------|---------|
| 1    | 0,00        | 12,00     | 12,00     | A-A       | Ano     |

#### Vyztužení

| Název | Vyztužený průřez | Vyztužení |
|-------|------------------|-----------|
|-------|------------------|-----------|

| Název | Vyztužený průřez | Vyztužení   |
|-------|------------------|---|
| A-A   |                  | <p>Výztuž:</p> <p>2<math>\varnothing</math>25 (982mm<sup>2</sup>) (B 500B), z = 287 mm<br/> 2<math>\varnothing</math>25 (982mm<sup>2</sup>) (B 500B), z = -283 mm<br/> 2<math>\varnothing</math>12 (226mm<sup>2</sup>) (B 500B), z = 94 mm<br/> 2<math>\varnothing</math>12 (226mm<sup>2</sup>) (B 500B), z = -94 mm<br/> 2<math>\varnothing</math>25 (982mm<sup>2</sup>) (B 500B), z = -283 mm<br/> 2<math>\varnothing</math>25 (982mm<sup>2</sup>) (B 500B), z = -287 mm</p> <p>Třmínky:<br/> <math>\varnothing</math>8 (B 500B) - 200 mm, uzavřený, pro posouzení kroucení</p> |

#### Materiál výztuže

| Název   | $f_{yk}$<br>[MPa] | $f_{tk}$<br>[MPa] | E<br>[MPa] | $\mu$<br>[-] | Jednotková hmotnost<br>[kg/m <sup>3</sup> ] |
|---|-------------------|-------------------|------------|--------------|---|
| B 500B  | 400,0             | 525,0             | 200000,0   | 0,20         | 7850  |
| $f_{tk}/f_{yk} = 1,05$ , $\epsilon_{uk} = 250,0 \cdot 10^{-4}$ , Typ: Vložky, Povrch výztuže: Žebírkový, Třída: A,<br>Výroba: Za studena tvářená, Typ diagramu: Bilineární se stoupající homí větví |                   |                   |            |              |   |

## Obsah

Souhrn posudků řezů  
Posudek řezu  
Data dimenzačních dílců  
Zóny vyztužení

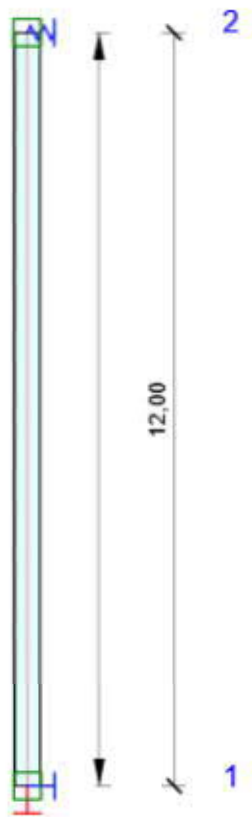
## Posouzení betonu

### Národní norma

|               |                     |
|---------------|---------------------|
| Národní norma | EN 1992-1-1:2014-12 |
| Životnost     | 50 let              |

### Návrhová skupina: štítový sloup v ose 1

### Schéma vyztužení

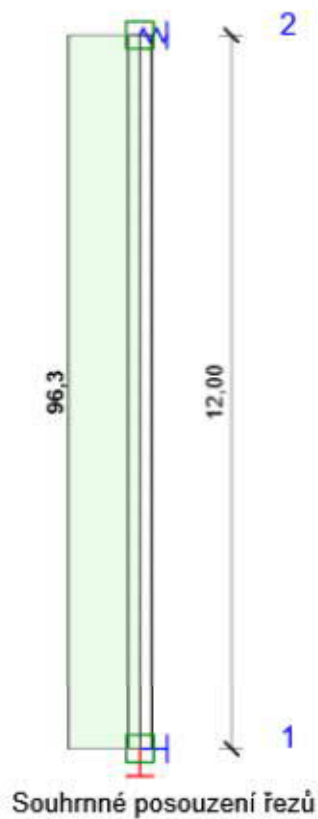


### Souhrn posudků řezů

| Kombinace             | $N_{Ed}$<br>[kN] | $M_{Ed,y}$<br>[kNm] | $M_{Ed,z}$<br>[kNm] | $V_{Ed}$<br>[kN] | $T_{Ed}$<br>[kNm] | Hodnota<br>[%] | Posudek |
|-----------------------|------------------|---------------------|---------------------|------------------|-------------------|----------------|---------|
| Únosnost N-M-M        |                  |                     |                     |                  |                   |                |         |
| MSÚ-Sada B (auto)(67) | -115,7           | -103,0              | -111,0              | 34,5             | 0,2               | 90,0           | OK      |
| Smyk                  |                  |                     |                     |                  |                   |                |         |
| MSÚ-Sada B (auto)(67) | -115,7           | -103,0              | -111,0              | 34,5             | 0,2               | 81,8           | OK      |

| Kombinace             | $N_{Ed}$<br>[kN] | $M_{Ed,y}$<br>[kNm] | $M_{Ed,z}$<br>[kNm] | $V_{Ed}$<br>[kN] | $T_{Ed}$<br>[kNm] | Hodnota<br>[%] | Posudek |
|-----------------------|------------------|---------------------|---------------------|------------------|-------------------|----------------|---------|
| Kroucení              |                  |                     |                     |                  |                   |                |         |
| MSÚ-Sada B (auto)(19) | -270,6           | 89,6                | -33,7               | -37,8            | -1,7              | 5,2            | OK      |
| Interakce             |                  |                     |                     |                  |                   |                |         |
| MSÚ-Sada B (auto)(67) | -115,7           | -103,0              | -111,0              | 34,5             | 0,2               | 96,3           | OK      |
| Omezení napětí        |                  |                     |                     |                  |                   |                |         |
| MSP-Char (auto)(13)   | -107,7           | -62,9               | -67,9               | 20,9             | 0,2               | 92,2           | OK      |
| Šířka trhliny         |                  |                     |                     |                  |                   |                |         |
| MSP-Kvazi (auto)(45)  | -161,9           | 0,6                 | 0,0                 | -0,1             | 0,0               | 0,0            | OK      |

## Posudek řezu



| x začátek<br>[m] | x konec<br>[m] | Vyztužení | Rozhodující typ posudku | Hodnota<br>[%] | Posudek |
|------------------|----------------|-----------|-------------------------|----------------|---------|
| 0,00             | 12,00          |           | Interakce               | 96,3           | OK      |

Mezní hodnota využití průřezu: 100,0 %

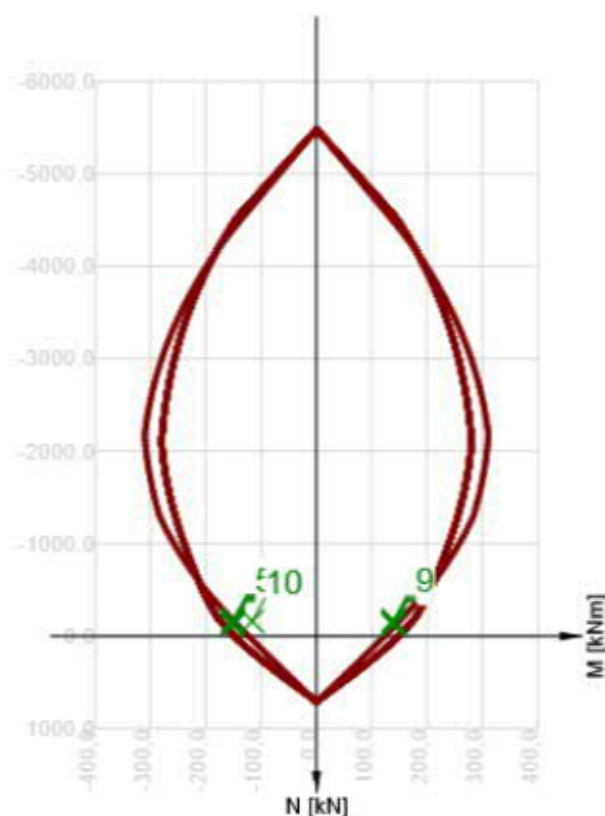
### Upozornění

| Typ posudku    | Upozornění  |
|----------------|---|
| 1 Přepočít sil | Minimální excentricita je aplikována dle 6.1. (4) |

### Posudek řezu pro zónu: (0,00 m - 12,00 m)

| Rozhodující typ posudku | Kombinace             | $N_{Ed}$<br>[kN]    | $M_{Ed,y}$<br>[kNm] | $M_{Ed,z}$<br>[kNm] | $V_{Ed}$<br>[kN]  | $T_{Ed}$<br>[kNm] | Hodnota<br>[%] | Posudek |
|-------------------------|-----------------------|---------------------|---------------------|---------------------|-------------------|-------------------|----------------|---------|
| Interakce               | MSÚ-Sada B (auto)(67) | -115,7              | -103,0              | -111,0              | 34,5              | 0,2               | 96,3           | OK      |
| Kombinace               | $N_{Ed}$<br>[kN]      | $M_{Ed,y}$<br>[kNm] | $M_{Ed,z}$<br>[kNm] | $V_{Ed}$<br>[kN]    | $T_{Ed}$<br>[kNm] | Hodnota<br>[%]    | Posudek        |         |
| Únosnost N-M-M          |                       |                     |                     |                     |                   |                   |                |         |

| Kombinace             | $N_{Ed}$<br>[kN] | $M_{Ed,y}$<br>[kNm] | $M_{Ed,z}$<br>[kNm] | $V_{Ed}$<br>[kN] | $T_{Ed}$<br>[kNm] | Hodnota<br>[%] | Posudek |
|-----------------------|------------------|---------------------|---------------------|------------------|-------------------|----------------|---------|
| MSÚ-Sada B (auto)(67) | -115,7           | -103,0              | -111,0              | 34,5             | 0,2               | 90,0           | OK      |
| Smyk                  |                  |                     |                     |                  |                   |                |         |
| MSÚ-Sada B (auto)(67) | -115,7           | -103,0              | -111,0              | 34,5             | 0,2               | 81,8           | OK      |
| Kroucení              |                  |                     |                     |                  |                   |                |         |
| MSÚ-Sada B (auto)(19) | -270,6           | 89,6                | -33,7               | -37,8            | -1,7              | 5,2            | OK      |
| Interakce             |                  |                     |                     |                  |                   |                |         |
| MSÚ-Sada B (auto)(67) | -115,7           | -103,0              | -111,0              | 34,5             | 0,2               | 96,3           | OK      |
| Omezení napětí        |                  |                     |                     |                  |                   |                |         |
| MSP-Char (auto)(13)   | -107,7           | -62,9               | -67,9               | 20,9             | 0,2               | 92,2           | OK      |
| Šířka trhliny         |                  |                     |                     |                  |                   |                |         |
| MSP-Kvazi (auto)(45)  | -161,9           | 0,6                 | 0,0                 | -0,1             | 0,0               | 0,0            | OK      |



|    | Extrém                | N<br>[kN] | My<br>[kNm] | Mz<br>[kNm] |
|----|-----------------------|-----------|-------------|-------------|
| 1  | MSÚ-Sada B (auto)(67) | -115,7    | -103,0      | -111,0      |
| 2  | MSÚ-Sada B (auto)(76) | -140,5    | -102,9      | -111,0      |
| 3  | MSÚ-Sada B (auto)(96) | -159,1    | -102,7      | -110,8      |
| 4  | MSÚ-Sada B (auto)(87) | -157,6    | -102,6      | -110,4      |
| 5  | MSÚ-Sada B (auto)(20) | -182,4    | -102,5      | -110,6      |
| 6  | MSÚ-Sada B (auto)(21) | -117,5    | 101,2       | 96,3        |
| 7  | MSÚ-Sada B (auto)(41) | -129,5    | 101,1       | 96,1        |
| 8  | MSÚ-Sada B (auto)(75) | -148,0    | 100,9       | 95,9        |
| 9  | MSÚ-Sada B (auto)(72) | -172,9    | 100,8       | 95,7        |
| 10 | MSÚ-Sada B (auto)(34) | -161,6    | 112,8       | -27,9       |

**Upozornění**

|  | Typ posudku    | Upozornění  |
|--|----------------|---|
|  | Únosnost N-M-M | Účinky druhého řádu k ose y jsou zanedbány, protože štiřlost $\lambda$ je nižší než hodnota $\lambda_{lim}$ (viz EN 1992-1-1 čl. 5.8.3.1 (1)).  |
|  | Únosnost N-M-M | Účinky druhého řádu k ose z jsou zanedbány, protože štiřlost $\lambda$ je nižší než hodnota $\lambda_{lim}$ (viz EN 1992-1-1 čl. 5.8.3.1 (1)).  |
|  | Smyk           | Smyk je přenesen betonem, smyková výztuž je požadována z hlediska konstrukčních zásad, viz 6.2.2  |
|  | Interakce      | Posudek interakce smyku a kroucení podle 6.3.2 (5) vyhovuje, proto je vyžadováno pouze minimální vyztužení podle 9.2.1.1. Prosím zkontrolujte konstrukční zásady.   |
|  | Omezení napětí | Horní nebo dolní návrhová hodnota vnitřních sil v řezu u jedné z kombinací MSP vyvodila napětí betonu v tahu větší, než je pevnost betonu v tahu (průřez je potrhán). Na základě nastavení výpočtu se proto předpokládá vyloučení působení betonu v tahu v posudcích MSP pro všechny kombinace daného extrému. Předpoklady výpočtu pro posudky MSP v rámci jiného extrému daného řezu nejsou ovlivněny. |
|  | Omezení napětí | Beton v tahu je vyloučen z působení, protože je průřez porušen trhlinami, viz čl. 7.1 (2)   |
|  | Omezení napětí | Podmínka omezení tlakových napětí v betonu při charakteristické kombinaci zatížení platí pouze pro konstrukce vystavené stupňům vlivu prostředí XD, XF a XS, viz 7.2 (2)  |
|  | Šířka trhliny  | Pro krátkodobé účinky trhliny nevznikají – v nejvíce tažených vláknech nebylo překročeno efektivní tahové napětí od dlouhodobých účinků podle čl. 7.1 (2)   |

#### Kritické kombinace vybrané pro posouzení řezů

| Kombinace             | Popis kritických účinků zatížení                                |
|-----------------------|---|
| MSP-Char (auto)(13)   | ZS1 + ZS2 + ZS3 + ZS5 + 0,7*ZS8                                 |
| MSÚ-Sada B (auto)(19) | 1,49*ZS1 + 1,49*ZS2 + 1,49*ZS3 + 0,83*ZS4 + 1,65*ZS6 + 1,16*ZS8 |
| MSP-Kvazi (auto)(45)  | ZS1 + ZS2 + ZS3   |
| MSÚ-Sada B (auto)(67) | 1,1*ZS1 + 1,1*ZS2 + 1,1*ZS3 + 1,65*ZS5 + 1,16*ZS8               |

#### Data dimenzačních dílců

|                        |           |
|------------------------|-----------|
| Typ prvku              | Sloup     |
| Stupeň vlivu prostředí | XC1       |
| Relativní vlhkost      | 65 %      |
| Součinitel dotvarování | Vypočtený |
| Význam nosného prvku   | Velký     |

#### Imperfekce, 2. řád

|              |              |
|--------------|--------------|
| Délka        | 12,00 m      |
| Účinná délka | Podle podpor |

#### Uložení tlačného prvku

| Směr    | $y^{\perp}$ | $z^{\perp}$ |
|---------|-------------|-------------|
| Konec   | Kloub       | Kloub       |
| Počátek | Pevný       | Pevný       |

#### Geometrické imperfekce

|                  |               |
|------------------|---------------|
| Použit pro MSÚ   | Zapnuto       |
| Použit pro MSP   | Vypnuto       |
| Uvažovaný účinek | Osamělý prvek |

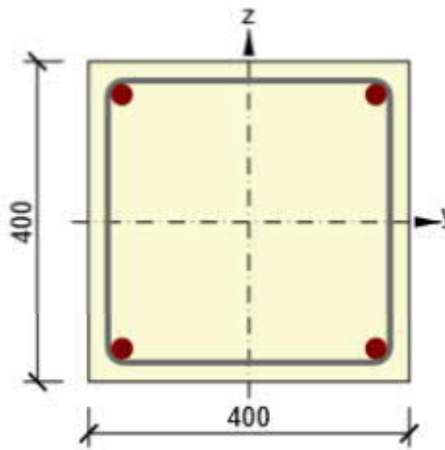
#### Účinky druhého řádu

|                           |                   |
|---------------------------|-------------------|
| Ztužený prvek $y^{\perp}$ | Vypnuto           |
| Ztužený prvek $z^{\perp}$ | Vypnuto           |
| Použitá metoda            | Jmenovitá křivost |
| $c_{y^{\perp}}$           | 9,87              |
| $c_{z^{\perp}}$           | 9,87              |

## Zóny vyztužení

| Zóna | Začátek [m] | Konec [m] | Délka [m] | Vyztužení | Posudek |
|------|-------------|-----------|-----------|-----------|---------|
| 1    | 0,00        | 12,00     | 12,00     |           | Ano     |

### Vyztužení

| Název | Vyztužený průřez  | Vyztužení   |
|-------|---|---|
|       |  | <p>Výztuž:</p> <p>2<math>\varnothing</math>25 (982mm<sup>2</sup>) (B 500B), z = 158 mm<br/>                 2<math>\varnothing</math>25 (982mm<sup>2</sup>) (B 500B), z = -158 mm</p> <p>Třímíčky:</p> <p><math>\varnothing</math>8 (B 500B) - 200 mm, uzavřený, pro posouzení kroucení</p> |

### Materiál výztuže

| Název  | $f_{yk}$ [MPa] | $f_{tk}$ [MPa] | E [MPa]  | $\mu$ [-] | Jednotková hmotnost [kg/m <sup>3</sup> ] |
|--|----------------|----------------|----------|-----------|--|
| B 500B   | 400,0          | 525,0          | 200000,0 | 0,20      | 7850                                     |
| $f_{tk}/f_{yk} = 1,05$ , $\epsilon_{uk} = 250,0 \cdot 10^{-4}$ , Typ: Vložky, Povrch výztuže: Žebírkový, Třída: A,<br>Výroba: Za studena tvářená, Typ diagramu: Bilineární se stoupající horní větví |                |                |          |           |  |

## Obsah

Souhrn posudků řezů  
Posudek řezu  
Data dimenzačních dílců  
Zóny vyztužení

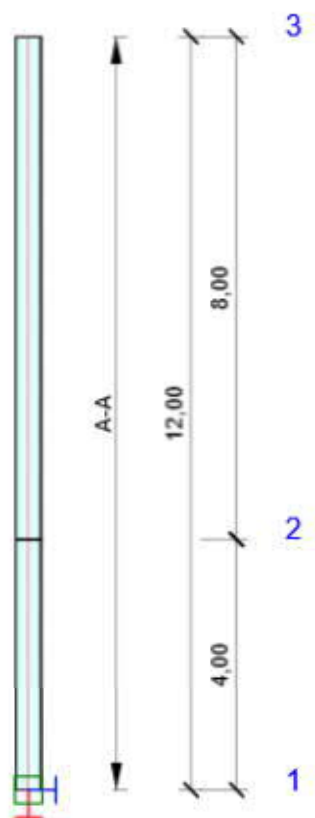
## Posouzení betonu

### Národní norma

|               |                     |
|---------------|---------------------|
| Národní norma | EN 1992-1-1:2014-12 |
| Životnost     | 50 let              |

### Návrhová skupina: štítový sloup v ose 9

### Schéma vyztužení

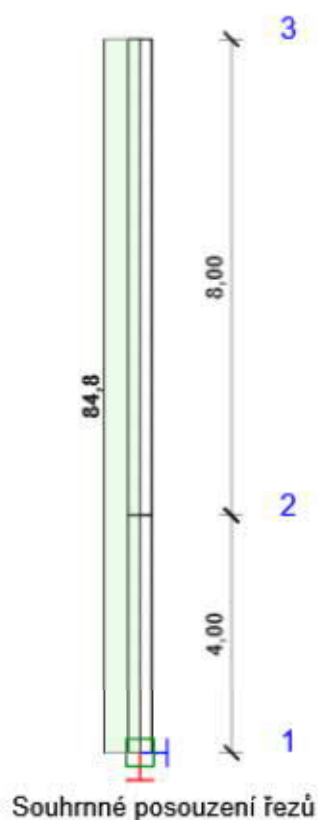


### Souhrn posudků řezů

| Kombinace             | $N_{Ed}$<br>[kN] | $M_{Ed,y}$<br>[kNm] | $M_{Ed,z}$<br>[kNm] | $V_{Ed}$<br>[kN] | $T_{Ed}$<br>[kNm] | Hodnota<br>[%] | Posudek |
|-----------------------|------------------|---------------------|---------------------|------------------|-------------------|----------------|---------|
| Únosnost N-M-M        |                  |                     |                     |                  |                   |                |         |
| MSÚ-Sada B (auto)(20) | -159,1           | -69,9               | -27,4               | 24,4             | -1,5              | 57,2           | OK      |
| Smyk                  |                  |                     |                     |                  |                   |                |         |
| MSÚ-Sada B (auto)(21) | -100,2           | 48,4                | 30,4                | -22,9            | 0,8               | 29,3           | OK      |

| Kombinace             | $N_{Ed}$<br>[kN] | $M_{Ed,y}$<br>[kNm] | $M_{Ed,z}$<br>[kNm] | $V_{Ed}$<br>[kN] | $T_{Ed}$<br>[kNm] | Hodnota<br>[%] | Posudek |
|-----------------------|------------------|---------------------|---------------------|------------------|-------------------|----------------|---------|
| Kroucení              |                  |                     |                     |                  |                   |                |         |
| MSÚ-Sada B (auto)(33) | -225,9           | 9,4                 | 50,2                | 2,6              | -5,5              | 17,2           | OK      |
| Interakce             |                  |                     |                     |                  |                   |                |         |
| MSÚ-Sada B (auto)(20) | -159,1           | -69,9               | -27,4               | 24,4             | -1,5              | 84,8           | OK      |
| Omezení napětí        |                  |                     |                     |                  |                   |                |         |
| MSP-Kvazi (auto)(44)  | -300,4           | 13,8                | 3,7                 | 5,1              | 0,0               | 16,4           | OK      |
| Šířka trhliny         |                  |                     |                     |                  |                   |                |         |
| MSP-Kvazi (auto)(44)  | -322,1           | -4,9                | -0,9                | 3,8              | -0,1              | 0,0            | OK      |

## Posudek řezu



| x začátek<br>[m] | x konec<br>[m] | Vyztužení | Rozhodující typ posudku | Hodnota<br>[%] | Posudek |
|------------------|----------------|-----------|-------------------------|----------------|---------|
| 0,00             | 12,00          | A-A       | Interakce               | 84,8           | OK      |

Mezní hodnota využití průřezu: 100,0 %

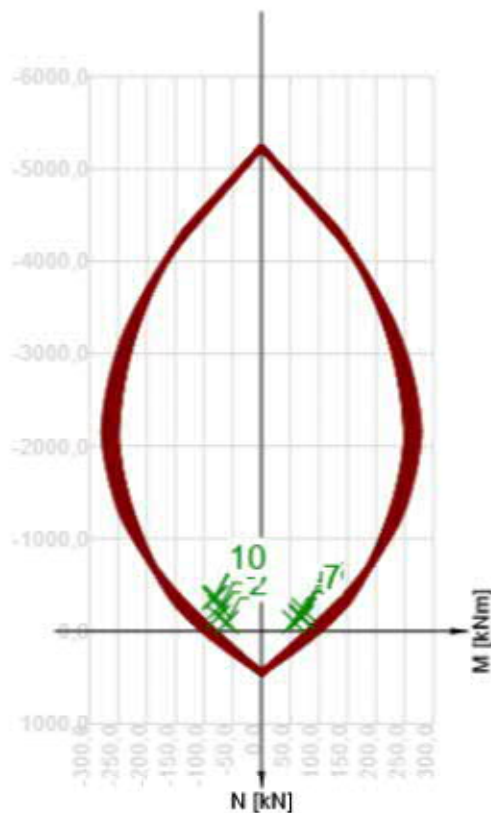
### Upozornění

| Typ posudku  | Upozornění  |
|--------------|---|
| Přepočít sil | Minimální excentricita je aplikována dle 6.1. (4) |

### Posudek řezu pro zónu: A-A (0,00 m - 12,00 m)

| Rozhodující typ posudku | Kombinace             | $N_{Ed}$<br>[kN]    | $M_{Ed,y}$<br>[kNm] | $M_{Ed,z}$<br>[kNm] | $V_{Ed}$<br>[kN]  | $T_{Ed}$<br>[kNm] | Hodnota<br>[%] | Posudek |
|-------------------------|-----------------------|---------------------|---------------------|---------------------|-------------------|-------------------|----------------|---------|
| Interakce               | MSÚ-Sada B (auto)(20) | -159,1              | -69,9               | -27,4               | 24,4              | -1,5              | 84,8           | OK      |
| Kombinace               | $N_{Ed}$<br>[kN]      | $M_{Ed,y}$<br>[kNm] | $M_{Ed,z}$<br>[kNm] | $V_{Ed}$<br>[kN]    | $T_{Ed}$<br>[kNm] | Hodnota<br>[%]    | Posudek        |         |
| Únosnost N-M-M          |                       |                     |                     |                     |                   |                   |                |         |

| Kombinace             | $N_{Ed}$<br>[kN] | $M_{Ed,y}$<br>[kNm] | $M_{Ed,z}$<br>[kNm] | $V_{Ed}$<br>[kN] | $T_{Ed}$<br>[kNm] | Hodnota<br>[%] | Posudek |
|-----------------------|------------------|---------------------|---------------------|------------------|-------------------|----------------|---------|
| MSÚ-Sada B (auto)(20) | -159,1           | -69,9               | -27,4               | 24,4             | -1,5              | 57,2           | OK      |
| Smyk                  |                  |                     |                     |                  |                   |                |         |
| MSÚ-Sada B (auto)(21) | -100,2           | 48,4                | 30,4                | -22,9            | 0,8               | 29,3           | OK      |
| Kroucení              |                  |                     |                     |                  |                   |                |         |
| MSÚ-Sada B (auto)(33) | -225,9           | 9,4                 | 50,2                | 2,6              | -5,5              | 17,2           | OK      |
| Interakce             |                  |                     |                     |                  |                   |                |         |
| MSÚ-Sada B (auto)(20) | -159,1           | -69,9               | -27,4               | 24,4             | -1,5              | 84,8           | OK      |
| Omezení napětí        |                  |                     |                     |                  |                   |                |         |
| MSP-Kvazi (auto)(44)  | -300,4           | 13,8                | 3,7                 | 5,1              | 0,0               | 16,4           | OK      |
| Šířka trhliny         |                  |                     |                     |                  |                   |                |         |
| MSP-Kvazi (auto)(44)  | -322,1           | -4,9                | -0,9                | 3,8              | -0,1              | 0,0            | OK      |



|    | Extrém                | N<br>[kN] | My<br>[kNm] | Mz<br>[kNm] |
|----|-----------------------|-----------|-------------|-------------|
| 1  | MSÚ-Sada B (auto)(20) | -159,1    | -69,9       | -27,4       |
| 2  | MSÚ-Sada B (auto)(67) | -98,4     | -56,1       | -22,5       |
| 3  | MSÚ-Sada B (auto)(16) | -151,0    | 59,6        | 36,3        |
| 4  | MSÚ-Sada B (auto)(22) | -163,0    | 60,6        | 36,2        |
| 5  | MSÚ-Sada B (auto)(21) | -100,2    | 48,4        | 30,4        |
| 6  | MSÚ-Sada B (auto)(22) | -226,5    | -52,8       | 51,7        |
| 7  | MSÚ-Sada B (auto)(31) | -165,3    | -48,8       | 47,0        |
| 8  | MSÚ-Sada B (auto)(20) | -357,1    | 36,7        | -74,7       |
| 9  | MSÚ-Sada B (auto)(76) | -262,6    | 33,2        | -64,7       |
| 10 | MSÚ-Sada B (auto)(28) | -367,7    | 22,4        | -76,5       |

**Upozornění**

|   | Typ posudku    | Upozornění   |
|---|----------------|--|
|  | Smyk           | Smyk je přenesen betonem, smyková výztuž je požadována z hlediska konstrukčních zásad, viz 6.2.2   |
|  | Omezení napětí | Podmínka omezení tlakových napětí v betonu při charakteristické kombinaci zatížení platí pouze pro konstrukce vystavené stupňům vlivu prostředí XD, XF a XS, viz 7.2 (2) |
|  | Šířka trhliny  | Pro krátkodobé účinky trhliny nevznikají – v nejvíce tažených vláknech nebylo překročeno efektivní tahové napětí od dlouhodobých účinků podle čl. 7.1 (2)                |

#### Kritické kombinace vybrané pro posouzení řezů

| Kombinace             | Popis kritických účinků zatížení                               |
|-----------------------|--|
| MSÚ-Sada B (auto)(20) | 1,49*ZS1 + 1,49*ZS2 + 1,1*ZS3 + 0,83*ZS4 + 1,65*ZS6 + 1,16*ZS8 |
| MSÚ-Sada B (auto)(21) | 1,1*ZS1 + 1,1*ZS2 + 1,49*ZS3 + 1,65*ZS7                        |
| MSÚ-Sada B (auto)(33) | 1,49*ZS1 + 1,49*ZS2 + 1,1*ZS3 + 0,83*ZS4 + 1,65*ZS7 + 1,16*ZS8 |
| MSP-Kvazi (auto)(44)  | ZS1 + ZS2 + ZS3 + 0,6*ZS8                                      |

#### Data dimenzačních dílců

|                        |           |
|------------------------|-----------|
| Typ prvku              | Sloup     |
| Stupeň vlivu prostředí | XC1       |
| Relativní vlhkost      | 65 %      |
| Součinitel dotvarování | Vypočtený |
| Význam nosného prvku   | Velký     |

#### Účinné délky tlačенého prvku

|              |         |
|--------------|---------|
| Délka        | 12,00 m |
| Účinná délka | Zadat   |
| L0y          | 8,00 m  |
| L0z          | 8,00 m  |

#### Geometrické imperfekce

|                  |               |
|------------------|---------------|
| Použit pro MSÚ   | Zapnuto       |
| Použit pro MSP   | Vypnuto       |
| Uvažovaný účinek | Osamělý prvek |

#### Účinky druhého řádu

|                         |                   |
|-------------------------|-------------------|
| Ztužený prvek $y^\perp$ | Vypnuto           |
| Ztužený prvek $z^\perp$ | Vypnuto           |
| Použitá metoda          | Jmenovitá křivost |
| $c_{y^\perp}$           | 9,87              |
| $c_{z^\perp}$           | 9,87              |

#### Zóny vyztužení

| Zóna | Začátek [m] | Konec [m] | Délka [m] | Vyztužení | Posudek |
|------|-------------|-----------|-----------|-----------|---------|
| 1    | 0,00        | 12,00     | 12,00     | A-A       | Ano     |

#### Vyztužení

| Název | Vyztužený průřez | Vyztužení |
|-------|------------------|-----------|
|-------|------------------|-----------|

| Název | Vyztužený průřez | Vyztužení   |
|-------|------------------|---|
| A-A   |                  | <p>Výztuž:<br/> 2ø20 (628mm<sup>2</sup>) (B 500B), z = 160 mm<br/> 2ø20 (628mm<sup>2</sup>) (B 500B), z = -160 mm<br/> Třmínky:<br/> ø8 (B 500B) - 200 mm, uzavřený, pro posouzení kroucení</p> |

#### Materiál výztuže

| Název  | $f_{yk}$<br>[MPa] | $f_{tk}$<br>[MPa] | E<br>[MPa] | $\mu$<br>[-] | Jednotková hmotnost<br>[kg/m <sup>3</sup> ] |
|--|-------------------|-------------------|------------|--------------|---|
| B 500B   | 400,0             | 525,0             | 200000,0   | 0,20         | 7850  |
| $f_{tk}/f_{yk} = 1,05$ , $\epsilon_{uk} = 250,0 \cdot 10^{-4}$ , Typ: Vložky, Povrch výztuže: Žebírkový, Třída: A,<br>Výroba: Za studena tvářená, Typ diagramu: Bilineární se stoupající horní větví |                   |                   |            |              |   |

## Materiály

### Beton

| Název  | $f_{ck}$<br>[MPa]  | $f_{ctk,0.05}$<br>[MPa] | $f_{ctm}$<br>[MPa] | $E_{cm}$<br>[MPa] |
|--------|--|-------------------------|--------------------|-------------------|
| C45/55 | 45,0   | 2,7                     | 3,8                | 36283,2           |
|        | $\epsilon_{c3} = 17,5 \cdot 10^{-4}$ , $\epsilon_{cu3} = 500,0 \cdot 10^{-4}$ , Typ diagramu: Bilineární<br>Součinitel dotvarování: 2,50 |                         |                    |                   |

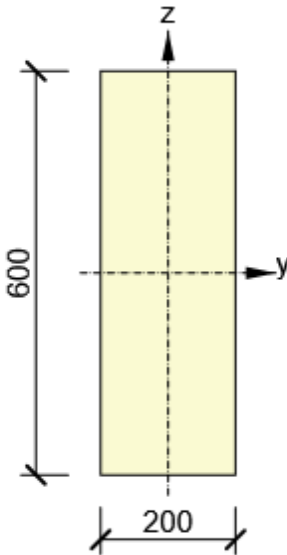
### Výztuž

| Název  | $f_{yk}$<br>[MPa]   | k<br>[-] | $E_s$<br>[MPa] | Jednotková hmotnost<br>[kg/m <sup>3</sup> ] | $\epsilon_{uk}$<br>[1e-4] | Povrch    |
|--------|---|----------|----------------|---|---------------------------|-----------|
| B 500B | 500,0   | 1,08     | 200000,0       | 7850  | 500,0                     | Žebírkový |
|        | $\epsilon_{st} = 500,0 \cdot 10^{-4}$ , $\epsilon_{sc} = 500,0 \cdot 10^{-4}$ , |          |                |   |                           |           |

### Ocel

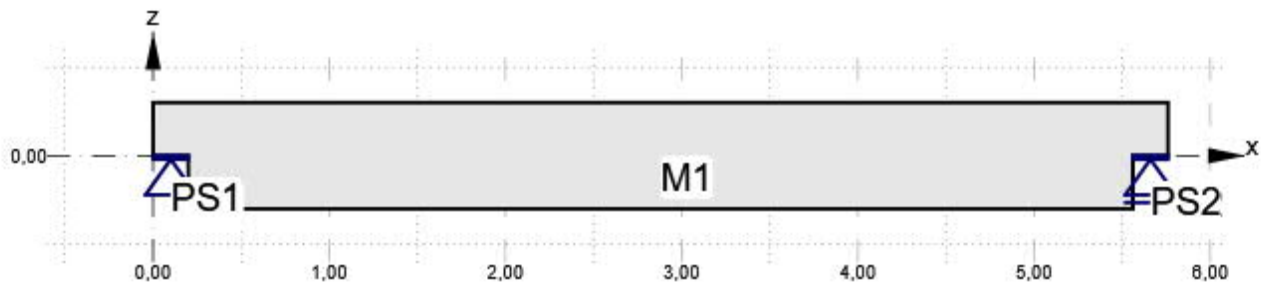
| Název | E<br>[MPa] |
|-------|------------|
| S 355 | 210000,0   |

## Průřezy

| Název                 | Materiál | Řídící      | Obrázek  |
|-----------------------|----------|-------------|--|
| 6 - Obdélník 600, 200 | C45/55   | Detail1: M1 |  |

## Detail1

## Geometrie

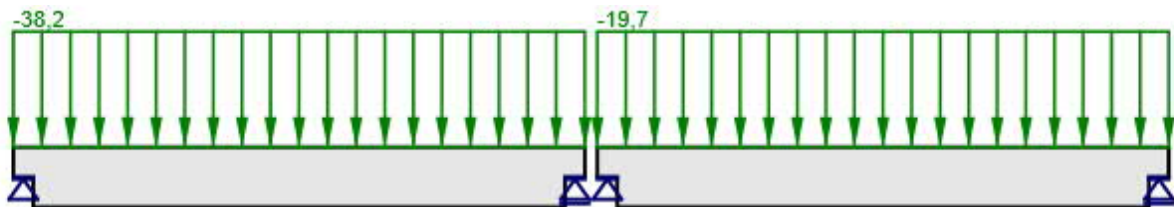


### Celková tabulka

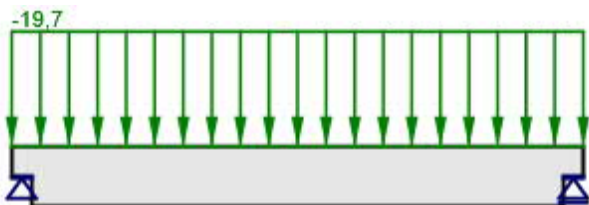
| Název | Typ             | Vlastnosti                            | Pozice                                |
|-------|-----------------|---------------------------------------|---------------------------------------|
| M1    | Prvek           | L: 5,76 m; Průřez: 6;                 |                                       |
| DE1   | Ozub            | W: 0,20 m; H: 0,30 m;                 | M: M1; MP: 1                          |
| DE2   | Ozub            | W: 0,20 m; H: 0,30 m;                 | M: M1; MP: 2                          |
| PS1   | Bodová podpora  | X; Z                                  |                                       |
| PS1   | Roznášecí deska | W: 0,20 m; T: 0,02 m; Materiál: S 355 | M: M1, Hrana 6; Od počátku; X: 0,10 m |
| PS2   | Bodová podpora  | Z                                     |                                       |
| PS2   | Roznášecí deska | W: 0,20 m; T: 0,02 m; Materiál: S 355 | M: M1, Hrana 5; Od počátku; X: 0,10 m |

## Zatížení

### MSÚ-Sada B (auto)(68), MSP-Char (auto)(3)



### MSP-Kvazi (auto)(45)

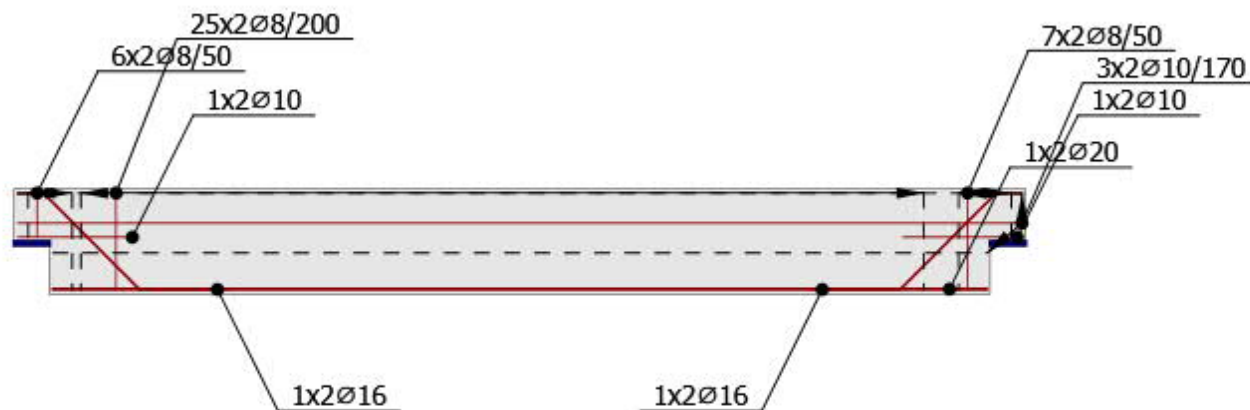


### Kombinace

| Název                 | Typ                    | Obsah                                     |
|-----------------------|------------------------|---|
| MSÚ-Sada B (auto)(68) | ULS                    | 1,49*ZS1 + 1,49*ZS2 + 1,65*ZS4 + 0,99*ZS6 |
| MSP-Char (auto)(3)    | SLS - Charakteristická | ZS1 + ZS2                                 |
| MSP-Kvazi (auto)(45)  | SLS - Kvazistálá       | ZS1 + ZS2                                 |

## Výztuž

### Schéma vyztužení



Beton: C45/55; Ocel : B 500B

## Výsledky

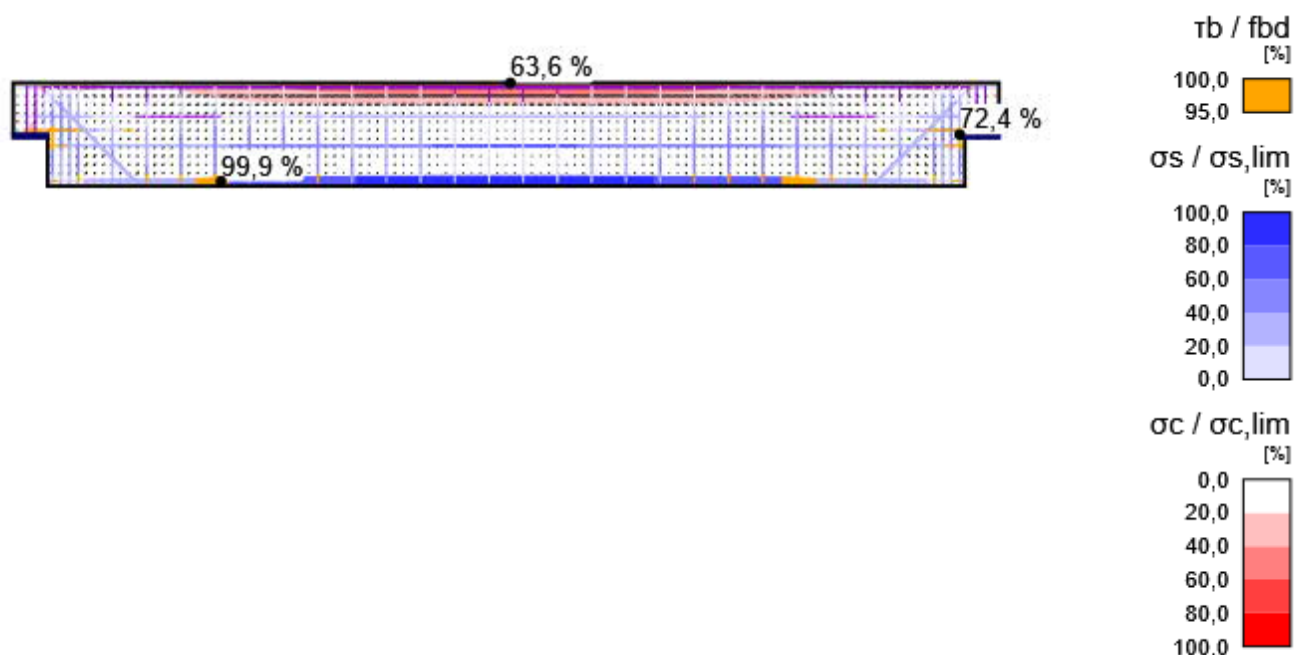
### Souhrn

#### Celková tabulka

| Položka posudku | Kombinace                 | Přírůstek  | Položka          |         |         |   |
|-----------------|---------------------------|--|------------------|---------|---------|---|
| MSÚ             | MSÚ-Sada B (auto)(68)     | P100,0%, V100,0%   | Pevnost výztuže  | ✓       |         |   |
| Položka posudku | Položka                   | Využití  |                  |         |         |   |
| Pevnost betonu  | M1                        | $\sigma/\sigma_{lim}$ : 63,6%  |                  | ✓       |         |   |
| Pevnost výztuže | KD1                       | $\epsilon_s/\epsilon_{s,lim}$ : 13,7%, $\sigma_s/\sigma_{s,lim}$ : 72,4% |                  | ✓       |         |   |
| Kotevní délka   | BU1                       | $\tau_b/f_{bd}$ : 99,9%  |                  | ✓       |         |   |
| MSP             | MSP-Kvazi (auto)(45) (ST) | P100,0%, V100,0%   | Omezení napětí   | ✓       |         |   |
| Položka posudku | Kombinace                 | Přírůstek  | Kritický posudek | Položka | Využití |   |
| Omezení napětí  | MSP-Kvazi (auto)(45) (ST) | P100,0%, V100,0%   | 7.2(3)           | M1      | 55,8%   | ✓ |
| Šířka trhlin    | MSP-Kvazi (auto)(45) (LT) | P100,0%, V100,0%   | w/wlim           | GB1     | 32,1%   | ✓ |

## MSÚ - Souhrn

### Tok napětí



| Nad mezí kluzu  | Tlak  | Vysvětlení             |
|---|---|------------------------|
|  |  | Tloušťka úměrná k síle |

Souhrn reakcí a aplikovaných zatížení: MSÚ-Sada B (auto)(68), Přírůstek zatížení: P100,0%, V100,0%

| Typ                          | $F_x$<br>[kN] | $F_z$<br>[kNm] | $M_y$<br>[kNm] |
|------------------------------|---------------|----------------|----------------|
| Souhrn reakcí                | 0,0           | 113,3          | 326,2          |
| Souhrn aplikovaných zatížení | 0,0           | -113,3         | -326,2         |
| Kontrola rovnováhy           | 0,0           | 0,0            | 0,0            |

## MSÚ - Pevnost

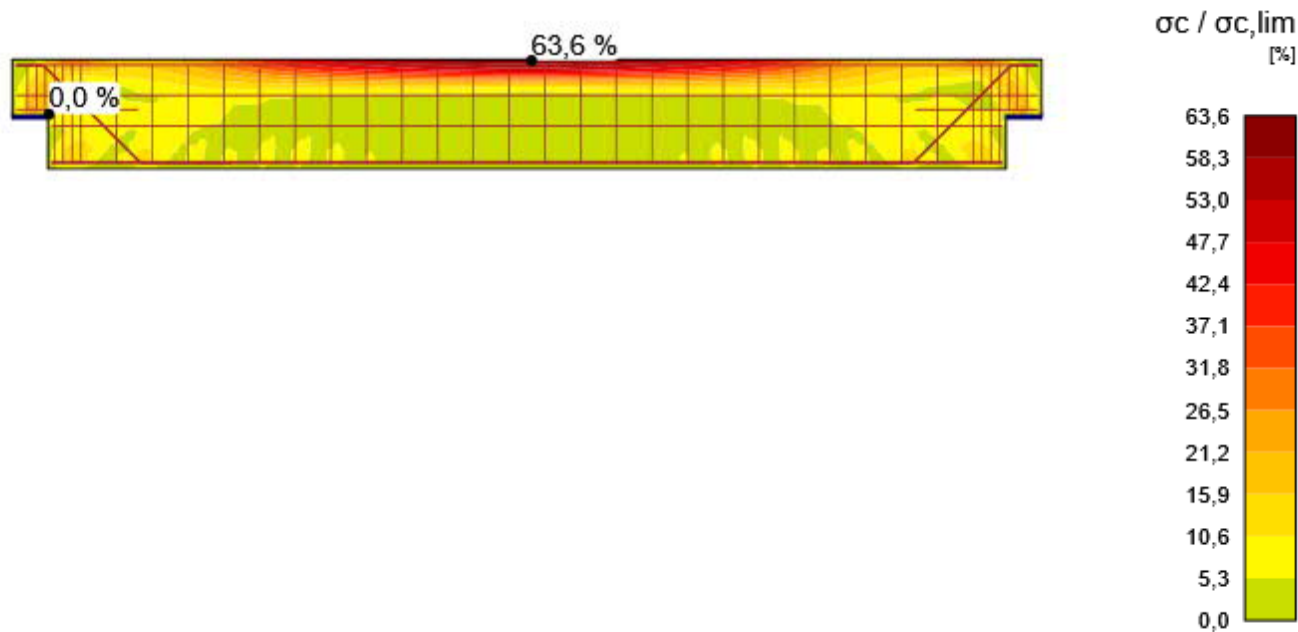
Detailní výsledky pevnosti betonu: MSÚ-Sada B (auto)(68), Přírůstek zatížení: P100,0%, V100,0%

| Prvek | X<br>[m] | Z<br>[m] | $\sigma_c$<br>[MPa] | $\epsilon_c$<br>[1e-4] | $k_{c2}$<br>[-] | $\sigma_c / \sigma_{c,lim}$<br>[%] |    |
|-------|----------|----------|---------------------|------------------------|-----------------|------------------------------------|----|
| M1    | 2,91     | 0,30     | -16,7               | -9,7                   | 1,00            | 63,6                               | OK |
| M1    | 0,20     | 0,00     | 0,0                 | 0,0                    | 0,65            | 0,0                                | OK |

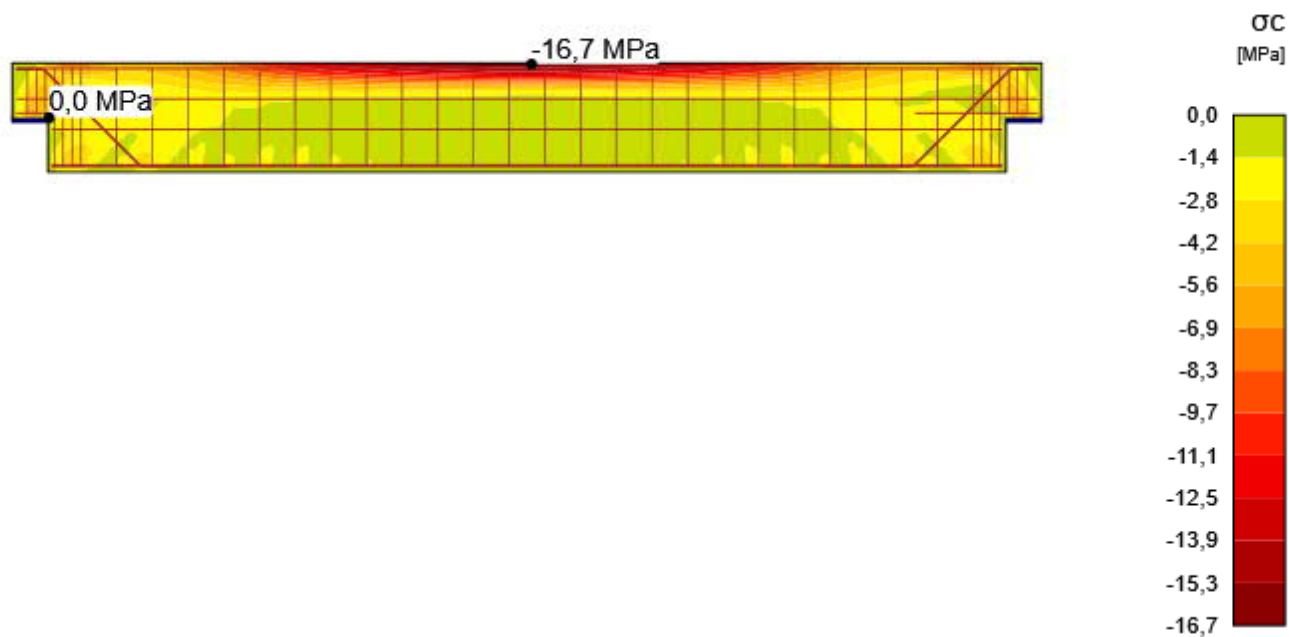
Podrobné výsledky pevnosti výztuže: MSÚ-Sada B (auto)(68), Přírůstek zatížení: P100,0%, V100,0%

| Prvek | X [m] | Z [m] | $\sigma_s$ [MPa] | $\epsilon_s$ [1e-4] | $\sigma_s/\sigma_{s,lim}$ [%] | $\epsilon_s/\epsilon_{s,lim}$ [%] |    |
|-------|-------|-------|------------------|---------------------|-------------------------------|-----------------------------------|----|
| KD1   | 5,53  | 0,00  | 339,9            | 10,9                | 72,4                          | 13,7                              | OK |
| GB2   | 2,86  | -0,07 | 288,0            | 10,3                | 61,3                          | 9,3                               | OK |
| GB4   | 5,50  | 0,03  | 300,8            | 11,6                | 64,1                          | 9,0                               | OK |
| GB3   | 0,21  | 0,03  | 298,4            | 11,5                | 63,5                          | 8,9                               | OK |
| GB1   | 2,86  | -0,27 | 398,0            | 18,7                | 84,7                          | 6,2                               | OK |
| IB2   | 4,79  | -0,27 | 163,3            | 6,4                 | 34,8                          | 2,7                               | OK |
| BU1   | 0,97  | -0,27 | 163,3            | 6,4                 | 34,8                          | 2,7                               | OK |

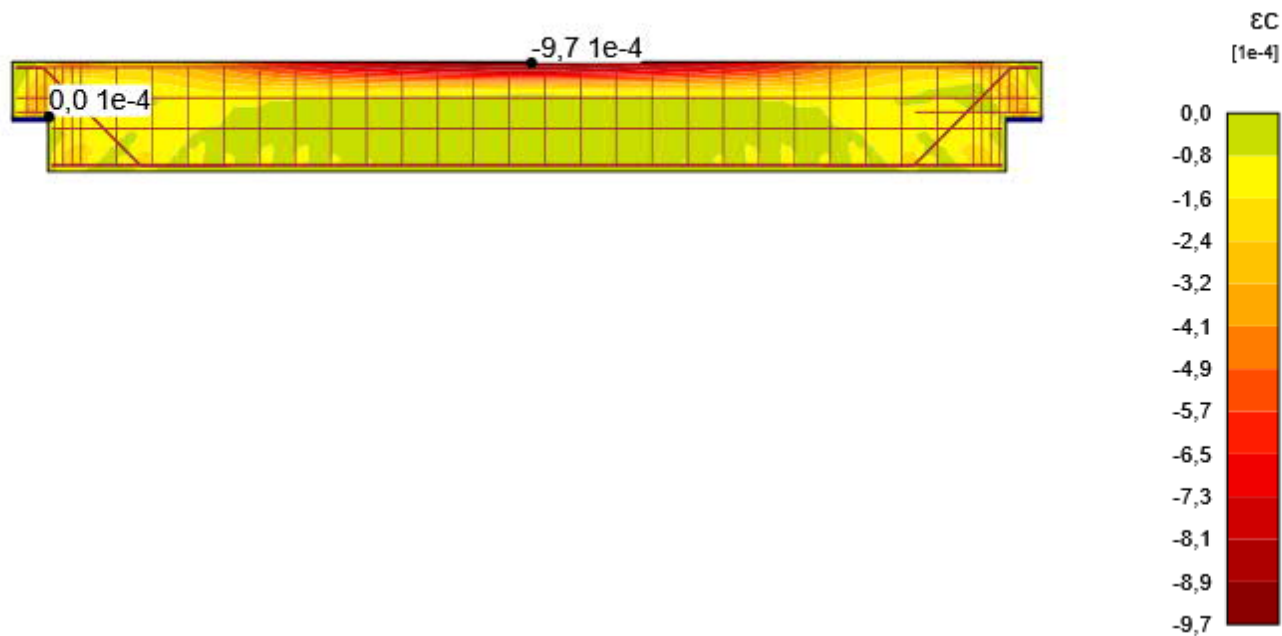
Poměr napětí/pevnost betonu



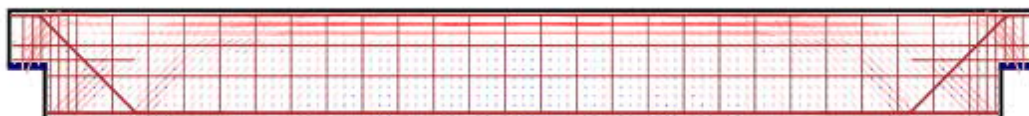
Hlavní napětí betonu  $\sigma_c$



Hlavní přetvoření betonu  $\epsilon_c$

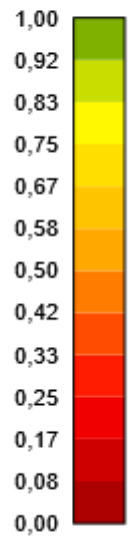


Směry hlavních napětí





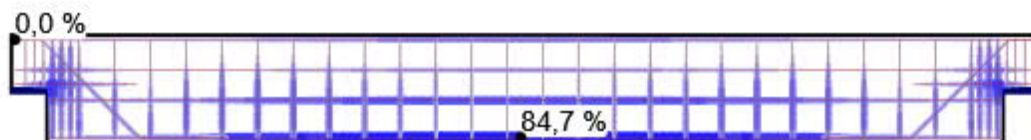
$k_{c2}$   
H



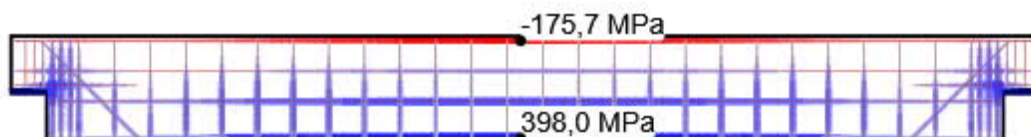
Poměr přetvoření/mezního přetvoření výztuže -  $\epsilon_s/\epsilon_{s,lim}$  [%]



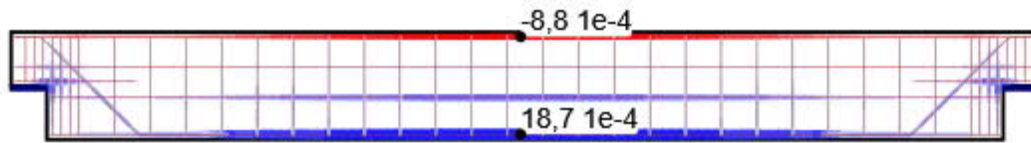
Poměr napětí/pevnost výztuže -  $\sigma_s/\sigma_{s,lim}$  [%]



Napětí ve výztuži -  $\sigma_s$  [MPa]



Přetvoření výztuže -  $\epsilon_s$  [1e-4]

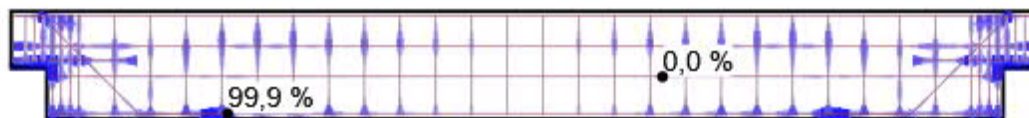


## MSÚ - Kotvení

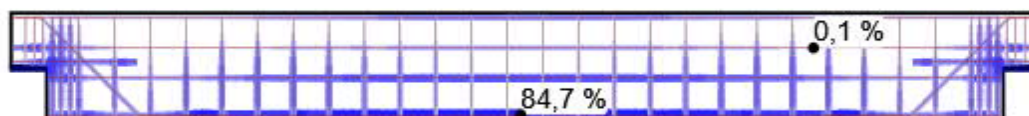
Detailní výsledky kotvení: MSÚ-Sada B (auto)(68), Přírůstek zatížení: P100,0%, V100,0%

| Prvek | X [m] | Z [m] | $\tau_b$ [MPa] | $F_a$ [kN] | $F_{tot}$ [kN] | $F_{tot}/F_{lim}$ [%] | $\tau_b/f_{bd}$ [%] |    |
|-------|-------|-------|----------------|------------|----------------|-----------------------|---------------------|----|
| BU1   | 1,21  | -0,27 | -4,0           | 1,2        | 9,8            | 50,9                  | 99,9                | OK |
| BU1   | 0,18  | 0,26  | 3,5            | 1,2        | 23,0           | 18,8                  | 87,1                | OK |
| BU1   | 0,97  | -0,27 | 0,5            | 1,2        | 65,6           | 67,9                  | 13,3                | OK |
| BU1   | 0,02  | 0,27  | 0,2            | 1,2        | 1,7            | 2,4                   | 7,2                 | OK |
| BU1   | 1,07  | -0,27 | -3,3           | 1,2        | 48,5           | 83,6                  | 82,9                | OK |
| IB2   | 4,55  | -0,27 | -4,0           | 1,2        | 9,8            | 50,9                  | 99,9                | OK |
| IB2   | 5,58  | 0,26  | 3,5            | 1,2        | 23,0           | 18,8                  | 87,0                | OK |
| IB2   | 4,79  | -0,27 | 0,5            | 1,2        | 65,6           | 67,9                  | 13,3                | OK |
| IB2   | 5,74  | 0,27  | 0,2            | 1,2        | 1,7            | 2,4                   | 7,2                 | OK |
| IB2   | 4,69  | -0,27 | -3,3           | 1,2        | 48,5           | 83,6                  | 82,9                | OK |
| GB2   | 5,54  | -0,07 | -4,0           | 0,1        | 6,3            | 50,6                  | 99,9                | OK |
| GB2   | 0,22  | -0,07 | 4,0            | 0,1        | 6,3            | 50,6                  | 99,9                | OK |
| GB2   | 2,86  | -0,07 | 0,0            | 0,1        | 45,2           | 61,3                  | 0,0                 | OK |
| GB2   | 2,86  | 0,28  | 0,0            | 0,1        | -27,6          | 37,4                  | 0,5                 | OK |
| GB2   | 5,44  | -0,07 | 0,1            | 0,1        | 17,5           | 70,3                  | 3,5                 | OK |
| GB3   | 0,17  | 0,03  | 4,0            | 3,9        | 27,9           | 47,6                  | 99,9                | OK |
| GB3   | 0,26  | 0,03  | -2,8           | 3,9        | 46,9           | 63,5                  | 99,7                | OK |
| GB3   | 0,21  | 0,03  | 2,8            | 3,9        | 46,9           | 63,5                  | 99,7                | OK |
| GB3   | 0,65  | 0,03  | -1,3           | 3,9        | 4,1            | 48,5                  | 45,2                | OK |
| GB4   | 5,50  | 0,03  | 4,0            | 3,8        | 47,3           | 64,1                  | 99,9                | OK |
| GB4   | 5,59  | 0,03  | -4,0           | 3,8        | 39,7           | 56,2                  | 99,9                | OK |
| GB4   | 5,06  | 0,03  | 2,8            | 3,8        | 4,1            | 48,5                  | 99,7                | OK |
| KD1   | 0,23  | -0,05 | -4,0           | 16,1       | 34,2           | 72,4                  | 99,9                | OK |
| KD1   | 5,53  | 0,00  | 4,0            | 16,1       | 30,0           | 63,6                  | 99,9                | OK |
| KD1   | 5,53  | -0,05 | -4,0           | 16,1       | 34,2           | 72,4                  | 99,9                | OK |
| KD1   | 5,53  | 0,00  | 4,0            | 16,1       | 34,2           | 72,4                  | 99,9                | OK |
| KD1   | 5,68  | 0,11  | -0,4           | 16,1       | -2,5           | 5,4                   | 9,8                 | OK |
| GB1   | 0,22  | -0,27 | 4,0            | 0,1        | 11,1           | 44,8                  | 99,9                | OK |
| GB1   | 5,54  | -0,27 | -4,0           | 0,1        | 11,1           | 44,8                  | 99,9                | OK |
| GB1   | 2,86  | -0,27 | 0,0            | 0,1        | 250,0          | 84,7                  | 0,1                 | OK |

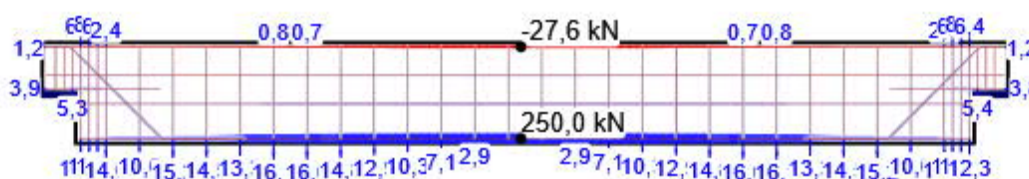
Hodnota posouzení napětí v soudržnosti -  $\tau_b/f_{bd}$  [%]



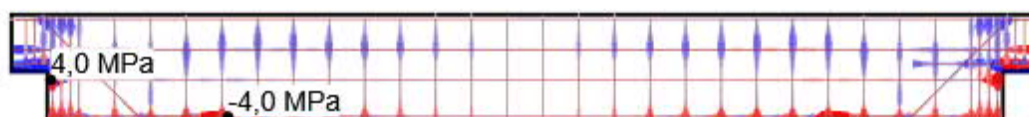
Hodnota posudku sil -  $F_{tot}/F_{lim}$  [%]



Celková síla ve vložce -  $F_{tot}$  [kN]



Napětí v soudržnosti -  $\tau_b$  [MPa]



## Nastavení

Součinitel dotvarování

| Způsob zadání      | Součinitel dotvarování |
|--------------------|------------------------|
| Uživatelské zadání | 2,5                    |

## MSP - Napětí

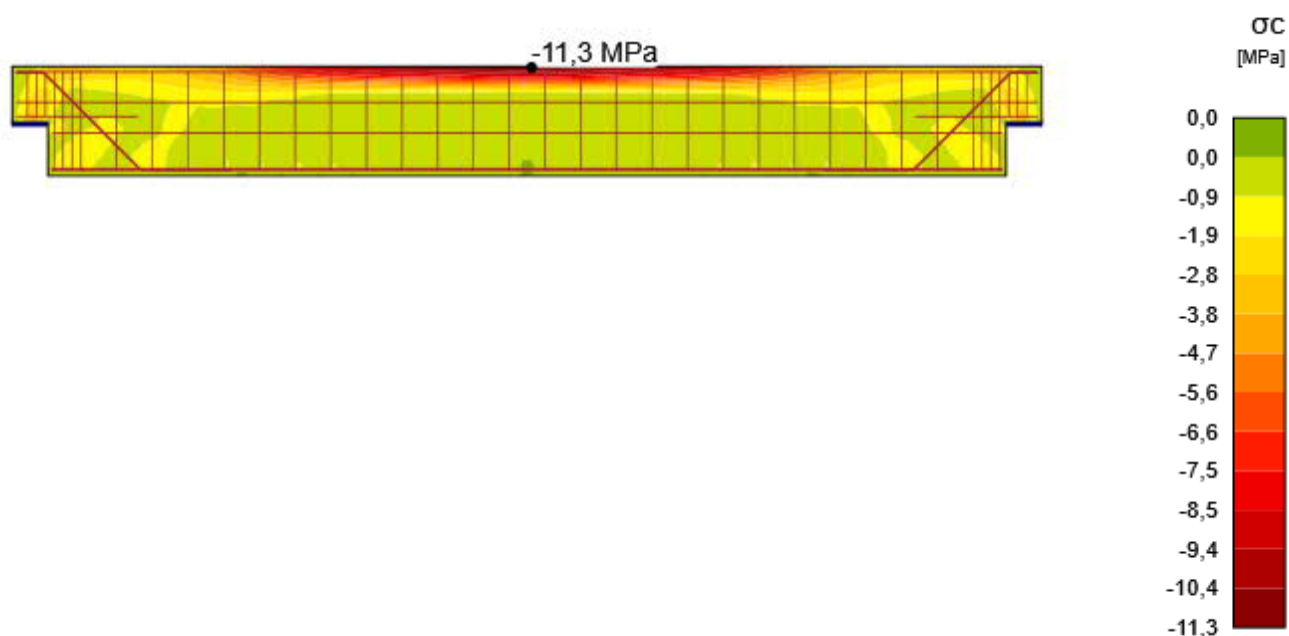
Podrobné výsledky napětí betonu: MSP-Kvazi (auto)(45), Přírůstek zatížení: P100,0%, V100,0%

| Prvek | X [m] | Z [m] | Kritický posudek | $\sigma_c$ [MPa] | $\sigma_{lim}$ [MPa] | $\sigma_c/\sigma_{lim}$ [%] |    |
|-------|-------|-------|------------------|------------------|----------------------|-----------------------------|----|
| M1    | 2,91  | 0,30  | 7.2(3)           | -11,3            | 20,3                 | 55,8                        | OK |

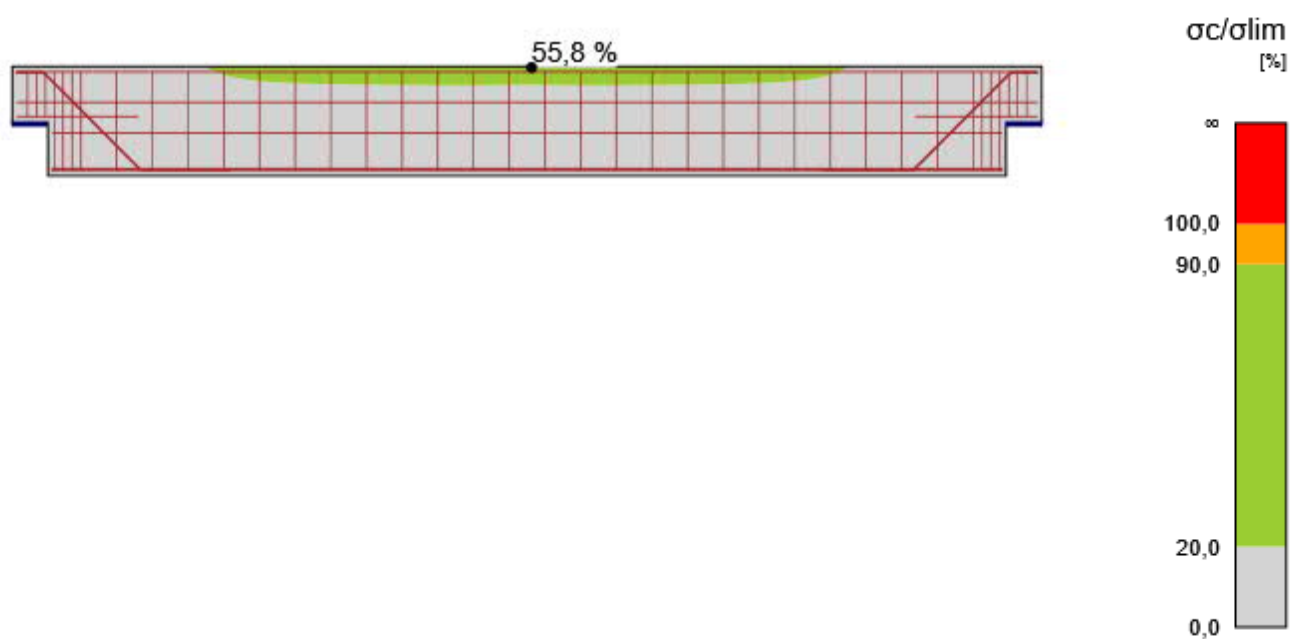
Podrobné výsledky napětí výztuže: MSP-Char (auto)(3), Přírůstek zatížení: P100,0%, V100,0%

| Výztuž | X [m] | Z [m] | Kritický posudek | $\sigma_s$ [MPa] | $\sigma_{lim}$ [MPa] | $\sigma_s/\sigma_{lim}$ [%] |    |
|--------|-------|-------|------------------|------------------|----------------------|-----------------------------|----|
| GB1    | 2,86  | -0,27 | 7.2(5)           | 209,4            | 400,0                | 52,3                        | OK |
| GB2    | 2,86  | -0,07 | 7.2(5)           | 177,8            | 400,0                | 44,5                        | OK |
| BU1    | 1,02  | -0,27 | 7.2(5)           | 95,8             | 400,0                | 24,0                        | OK |
| IB2    | 4,74  | -0,27 | 7.2(5)           | 95,8             | 400,0                | 24,0                        | OK |
| GB3    | 0,21  | 0,03  | 7.2(5)           | 165,2            | 400,0                | 41,3                        | OK |
| GB4    | 5,50  | 0,03  | 7.2(5)           | 165,2            | 400,0                | 41,3                        | OK |
| KD1    | 0,23  | 0,00  | 7.2(5)           | 221,8            | 400,0                | 55,4                        | OK |

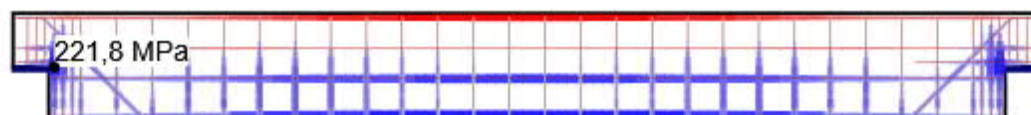
### Napětí v betonu



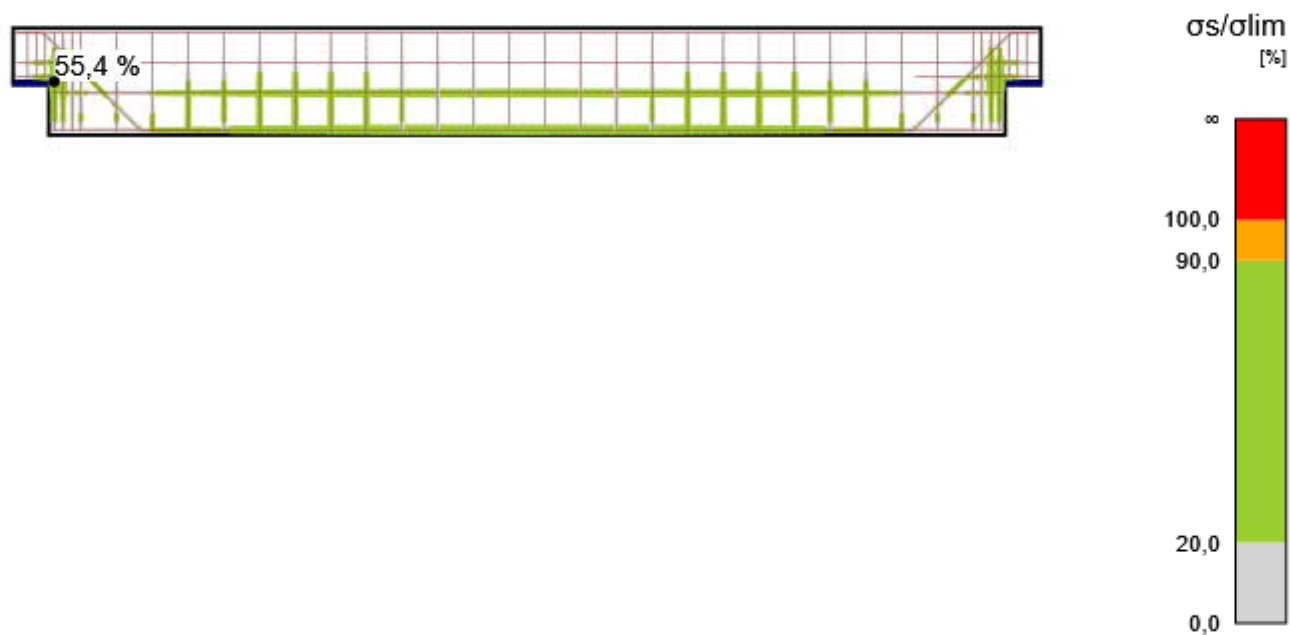
Posudek napětí betonu



Napětí ve výztuži -  $\sigma_s$  [MPa]



Posudek napětí ve výztuži



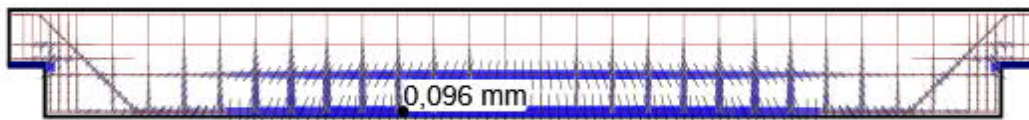
| Autor: | FJ | X [m] | Z [m] | w [mm] | w/w <sub>lim</sub> [%] |    |
|--------|----|-------|-------|--------|------------------------|----|
| Prvek  |    |       |       |        |                        |    |
| GB1    |    | 2,21  | -0,27 | 0,096  | 32,1                   | OK |
| KD1    |    | 0,23  | 0,00  | 0,080  | 26,6                   | OK |
| GB2    |    | 2,46  | -0,07 | 0,079  | 26,4                   | OK |
| IB2    |    | 4,74  | -0,27 | 0,042  | 14,0                   | OK |
| BU1    |    | 1,02  | -0,27 | 0,042  | 14,0                   | OK |
| GB3    |    | 0,21  | 0,03  | 0,032  | 10,6                   | OK |
| GB4    |    | 5,50  | 0,03  | 0,032  | 10,6                   | OK |

**Mezivýsledky trhlin**

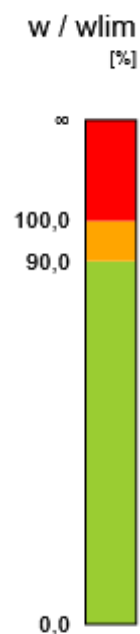
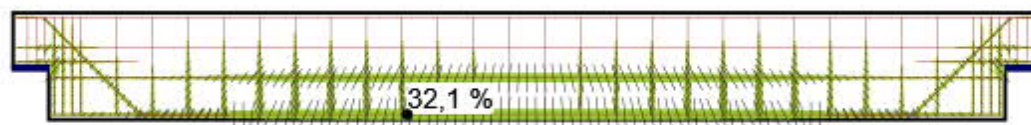
| Member | $\epsilon_{cm}$ [1e-4] | $\epsilon_m$ [1e-4] | $s_r$ [mm] | $\Phi$ [mm] | $\rho_{eff}$ [%] | $w_b$ [mm] | $\theta_r$ [-] | $\theta_b$ [-] |
|--------|------------------------|---------------------|------------|-------------|------------------|------------|----------------|----------------|
| GB1    | 0,0                    | 9,0                 | 103        | 20          | 4,61             | 0,093      | 1,30           | 0,00           |
| KD1    | 0,0                    | 5,0                 | 101        | 8           | 1,94             | 0,050      | 0,89           | 1,57           |
| GB2    | 0,0                    | 4,3                 | 174        | 10          | 1,41             | 0,075      | 1,22           | 0,00           |
| IB2    | 0,0                    | 2,9                 | 119        | 16          | 3,24             | 0,035      | 2,17           | 0,00           |
| BU1    | 0,0                    | 2,9                 | 119        | 16          | 3,24             | 0,035      | 0,97           | 0,00           |
| GB3    |                        | 4,7                 |            | 10          | 1,75             | 0,026      | 0,93           | 0,00           |
| GB4    |                        | 4,7                 |            | 10          | 1,75             | 0,026      | 2,21           | 0,00           |

Upozornění: V tabulce jsou zobrazeny střední hodnoty TCM (tension chord model). V aktuální verzi programu nejsou k dispozici odpovídající hodnoty POM (pull-out model).

**Šířka trhlin - w [mm]**



### Posouzení šířky trhlin



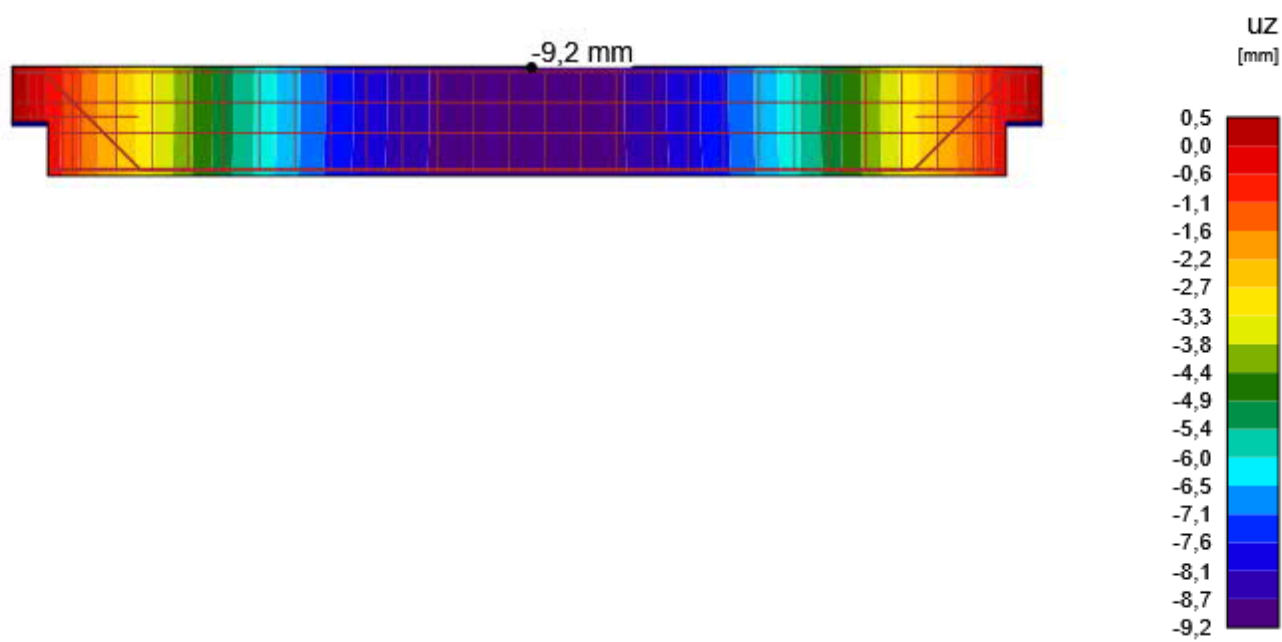
### MSP - Průhyb

Podrobné výsledky průhybů: MSP-Char (auto)(3), Přirůstek zatížení: P100,0%, V100,0%

| Prvek | X [m] | Z [m] | $u_{z,st}$ [mm] | $u_{z,it}$ [mm] | $\Delta u_z$ [mm] | $u_z$ [mm] |    |
|-------|-------|-------|-----------------|-----------------|-------------------|------------|----|
| M1    | 2,91  | 0,30  | -6,7            | -9,2            | 0,0               | -9,2       | OK |
| M1    | 2,85  | -0,30 | -6,7            | -9,2            | 0,0               | -9,2       | OK |
| M1    | 5,56  | 0,00  | -0,4            | -0,6            | 0,0               | -0,6       | OK |

Projekt: Sportovní hala Turnov  
Číslo projektu: SO101 - štítový nosník  
Autor: FJ

Průhyb



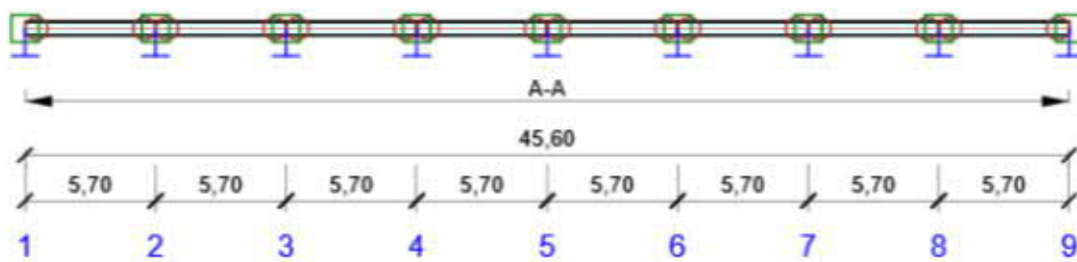
# Posouzení betonu

## Národní norma

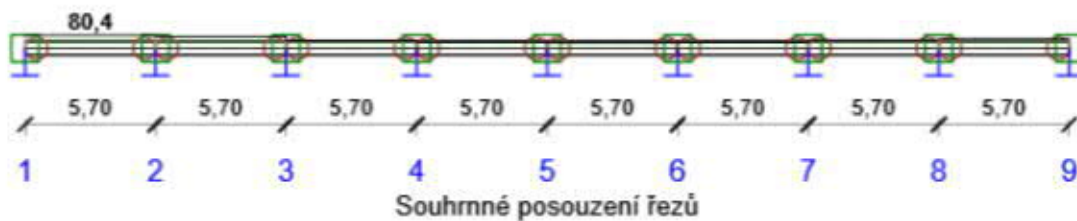
|               |                     |
|---------------|---------------------|
| Národní norma | EN 1992-1-1:2014-12 |
| Životnost     | 50 let              |

## Návrhová skupina: ztužidlo

### Schéma vyztužení



### Souhrn posudků řezů



| Kombinace                               | $N_{Ed}$<br>[kN] | $M_{Ed,y}$<br>[kNm] | $M_{Ed,z}$<br>[kNm] | $V_{Ed}$<br>[kN] | $T_{Ed}$<br>[kNm] | Hodnota<br>[%] | Posudek |
|---|------------------|---------------------|---------------------|------------------|-------------------|----------------|---------|
| Únosnost N-M-M, Zóna: A-A (0,00 - 5,70) |                  |                     |                     |                  |                   |                |         |
| MSÚ-Sada B (auto)(27)                   | 55,3             | 0,0                 | 2,0                 | 9,2              | -4,7              | 46,6           | OK      |
| Smyk, Zóna: A-A (5,70 - 11,40)          |                  |                     |                     |                  |                   |                |         |
| MSÚ-Sada B (auto)(74)                   | 51,4             | 0,0                 | 5,1                 | 12,5             | 0,6               | 34,2           | OK      |
| Kroucení, Zóna: A-A (0,00 - 5,70)       |                  |                     |                     |                  |                   |                |         |
| MSÚ-Sada B (auto)(61)                   | 55,2             | 0,0                 | 1,9                 | 12,5             | -4,7              | 27,1           | OK      |
| Interakce, Zóna: A-A (0,00 - 5,70)      |                  |                     |                     |                  |                   |                |         |
| MSÚ-Sada B (auto)(61)                   | 55,2             | 0,0                 | -2,2                | -12,5            | -4,7              | 80,4           | OK      |

| Kombinace                                 | $N_{Ed}$<br>[kN]                                     | $M_{Ed,y}$<br>[kNm] | $M_{Ed,z}$<br>[kNm] | $V_{Ed}$<br>[kN] | $T_{Ed}$<br>[kNm] | Hodnota<br>[%] | Posudek |
|---|--|---------------------|---------------------|------------------|-------------------|----------------|---------|
| Omezení napětí, Zóna: A-A (39,90 - 45,60) |  |                     |                     |                  |                   |                |         |
| MSP-Kvazi (auto)(44)                      | -0,7   | 12,0                | 0,1                 | 0,0              | -0,3              | 4,8            | OK      |
| Šířka trhliny, Zóna: A-A (0,00 - 5,70)    |  |                     |                     |                  |                   |                |         |
| MSP-Kvazi (auto)(44)                      | -0,2   | 0,0                 | -0,1                | 8,4              | -0,1              | 0,0            | OK      |
| Kombinace                                 | Popis kritických účinků zatížení                     |                     |                     |                  |                   |                |         |
| MSÚ-Sada B (auto)(27)                     | 1,1*ZS1 + 1,1*ZS2 + 1,49*ZS3 + 1,65*ZS5              |                     |                     |                  |                   |                |         |
| MSÚ-Sada B (auto)(74)                     | 1,49*ZS1 + 1,49*ZS2 + 1,1*ZS3 + 0,83*ZS4 + 1,65*ZS6  |                     |                     |                  |                   |                |         |
| MSÚ-Sada B (auto)(61)                     | 1,49*ZS1 + 1,49*ZS2 + 1,49*ZS3 + 0,83*ZS4 + 1,65*ZS6 |                     |                     |                  |                   |                |         |
| MSP-Kvazi (auto)(44)                      | ZS1 + ZS2 + ZS3 + 0,6*ZS8                            |                     |                     |                  |                   |                |         |

## Souhrn posudků průhybů

| Dimenzační dílec | $d_x$<br>[m] | $u_{z,lin}$<br>[mm] | $u_{z,st}$<br>[mm] | $u_{z,ll}$<br>[mm] | $u_{z,lt}$<br>[mm] | $u_{z,lim}(\pm)$<br>[mm] | Hodnota<br>[%] | Posudek |
|------------------|--------------|---------------------|--------------------|--------------------|--------------------|--------------------------|----------------|---------|
| Celkové průhyby  |              |                     |                    |                    |                    |                          |                |         |
| DM31             | 42,75        | 0,0                 | -0,5               | -1,4               | -1,6               | 22,8                     | 7,2            | OK      |

## Kombinace vybrané pro posudek průhybů

| Název               | Typ        | Popis                           |
|---------------------|------------|---------------------------------|
| MSP-Char (auto)(13) | Celkem     | ZS1 + ZS2 + ZS3 + ZS5 + 0,7*ZS8 |
|                     | Dlouhodobé | ZS1 + ZS2 + ZS3 + 0,60*ZS8      |

## Materiály

### Beton

| Název   | $f_{ck}$<br>[MPa] | $f_{ctk,0.05}$<br>[MPa] | $f_{ctm}$<br>[MPa] | $E_{cm}$<br>[MPa] |
|---|-------------------|-------------------------|--------------------|-------------------|
| C45/55  | 45,0              | 2,7                     | 3,8                | 36283,2           |
| $\epsilon_{c2} = 20,0 \cdot 10^{-4}$ , $\epsilon_{cu2} = 500,0 \cdot 10^{-4}$ , Typ diagramu: Parabolický<br>Součinitel dotvarování: 2,50 |                   |                         |                    |                   |

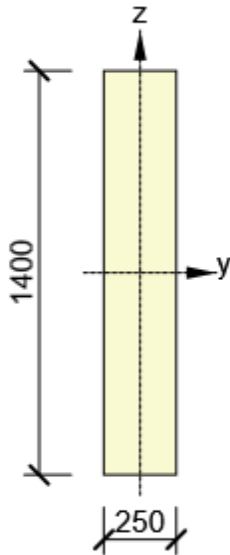
### Výztuž

| Název   | $f_{yk}$<br>[MPa] | k<br>[-] | $E_s$<br>[MPa] | Jednotková hmotnost<br>[kg/m <sup>3</sup> ] | $\epsilon_{uk}$<br>[1e-4] | Povrch    |
|---|-------------------|----------|----------------|---|---------------------------|-----------|
| B 500B  | 500,0             | 1,08     | 200000,0       | 7850  | 500,0                     | Žebírkový |
| $\epsilon_{st} = 500,0 \cdot 10^{-4}$ , $\epsilon_{sc} = 500,0 \cdot 10^{-4}$ , |                   |          |                |   |                           |           |

### Ocel

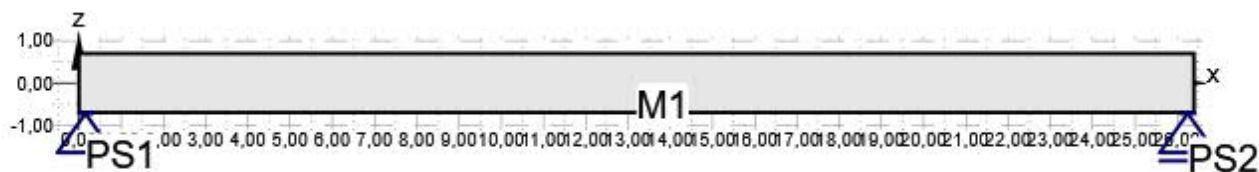
| Název | E<br>[MPa] |
|-------|------------|
| S 355 | 210000,0   |

## Průřezy

| Název                  | Materiál | Řídící   | Obrázek  |
|------------------------|----------|----------|--|
| 2 - Obdélník 1400, 250 | C45/55   | DRM1: M1 |  |

## DRM1

## Geometrie

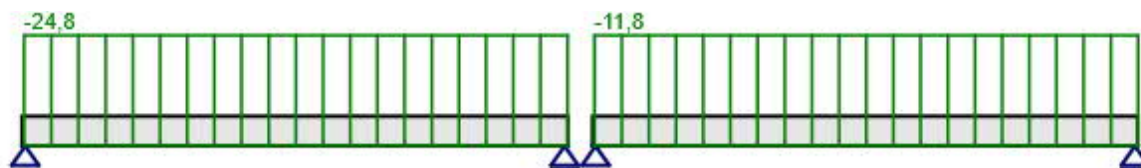


### Celková tabulka

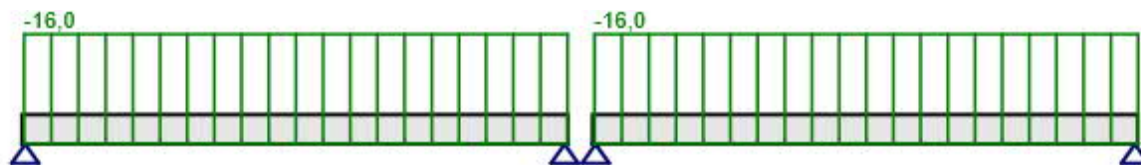
| Název | Typ             | Vlastnosti                            | Pozice                                |
|-------|-----------------|---------------------------------------|---------------------------------------|
| M1    | Prvek           | L: 26,40 m; Průřez: 2;                |                                       |
| PS1   | Bodová podpora  | X; Z                                  |                                       |
| PS1   | Roznášecí deska | W: 0,30 m; T: 0,02 m; Materiál: S 355 | M: M1, Hrana 1; Od počátku; X: 0,15 m |
| PS2   | Bodová podpora  | Z                                     |                                       |
| PS2   | Roznášecí deska | W: 0,30 m; T: 0,02 m; Materiál: S 355 | M: M1, Hrana 1; Od konce; X: 0,15 m   |

## Zatížení

### C1, C2



### C3, C4



### Kombinace

| Název | Typ                    | Obsah               |
|-------|------------------------|---------------------|
| C1    | ULS                    | 1,49*LC1 + 1,65*LC2 |
| C2    | SLS - Kvazistálá       | LC1 + 0,30*LC2      |
| C3    | SLS - Charakteristická | LC1 + LC2           |
| C4    | ULS                    | LC1 + LC2           |

## Výztuž

### Schéma vyztužení



Beton: C45/55; Ocel : B 500B

## Výsledky

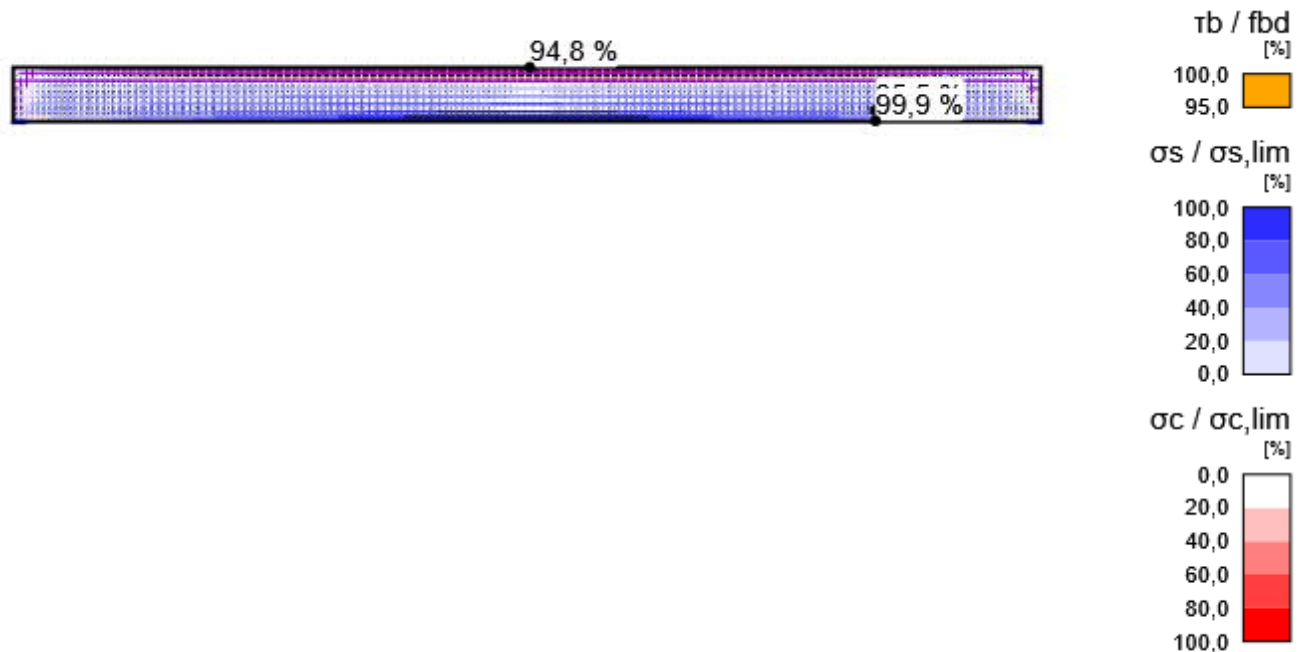
### Souhrn

#### Celková tabulka

| Položka posudku | Kombinace | Přírůstek  | Položka          |         |         |   |
|-----------------|-----------|--|------------------|---------|---------|---|
| MSÚ             | C1        | P100,0%, V100,0%   | Pevnost výztuže  | ✓       |         |   |
| Položka posudku | Položka   | Využití  |                  |         |         |   |
| Pevnost betonu  | M1        | $\sigma_c/\sigma_{c,lim}$ : 94,8%  |                  | ✓       |         |   |
| Pevnost výztuže | ST1       | $\epsilon_s/\epsilon_{s,lim}$ : 19,3%, $\sigma_s/\sigma_{s,lim}$ : 85,5% |                  | ✓       |         |   |
| Kotevní délka   | ST1       | $\tau_b/f_b d$ : 99,9%   |                  | ✓       |         |   |
| MSP             | C3 (ST)   | P100,0%, V100,0%   | Omezení napětí   | ✓       |         |   |
| Položka posudku | Kombinace | Přírůstek  | Kritický posudek | Položka | Využití |   |
| Omezení napětí  | C3 (ST)   | P100,0%, V100,0%   | 7.2(2)           | M1      | 79,7%   | ✓ |
| Šířka trhlin    | C2 (LT)   | P100,0%, V100,0%   | w/wlim           | GB2     | 40,5%   | ✓ |

## MSÚ - Souhrn

### Tok napětí



| Nad mezí kluzu | Tlak | Vysvětlení             |
|----------------|------|------------------------|
|                |      | Tloušťka úměrná k síle |

### Souhrn reakcí a aplikovaných zatížení: C1, Přírůstek zatížení: P100,0%, V100,0%

| Typ                          | $F_x$<br>[kN] | $F_z$<br>[kNm] | $M_y$<br>[kNm] |
|------------------------------|---------------|----------------|----------------|
| Souhrn reakcí                | 0,0           | 420,8          | 5575,6         |
| Souhrn aplikovaných zatížení | 0,0           | -420,8         | -5575,6        |
| Kontrola rovnováhy           | 0,0           | 0,0            | 0,0            |

## MSÚ - Pevnost

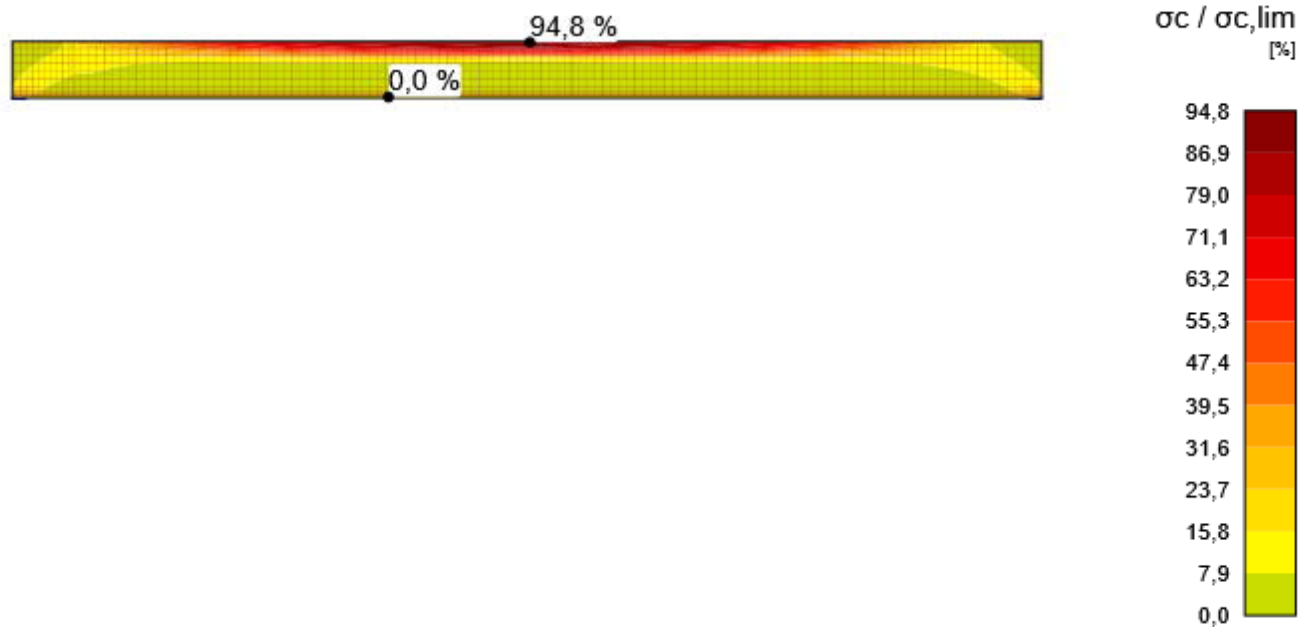
### Detailní výsledky pevnosti betonu: C1, Přírůstek zatížení: P100,0%, V100,0%

| Prvek | X<br>[m] | Z<br>[m] | $\sigma_c$<br>[MPa] | $\epsilon_c$<br>[1e-4] | $k_{c2}$<br>[-] | $\sigma_c / \sigma_{c,lim}$<br>[%] |    |
|-------|----------|----------|---------------------|------------------------|-----------------|------------------------------------|----|
| M1    | 13,27    | 0,70     | -24,9               | -13,6                  | 1,00            | 94,8                               | OK |
| M1    | 12,85    | -0,70    | 0,0                 | 0,0                    | 0,84            | 0,0                                | OK |

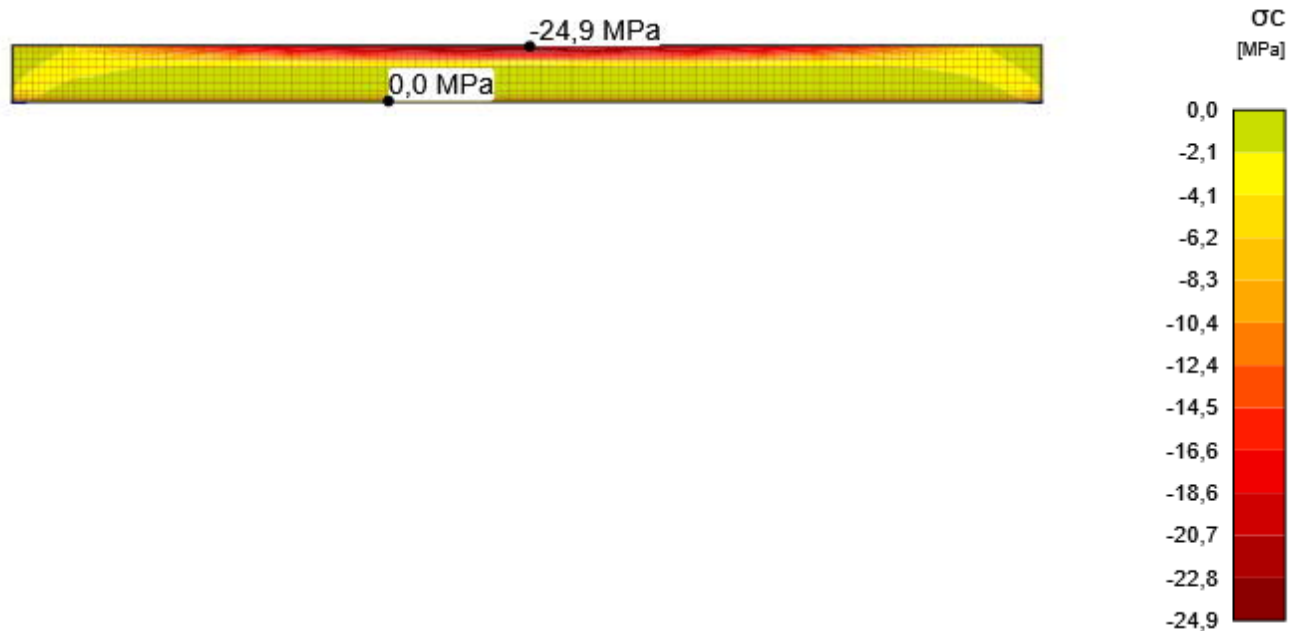
### Podrobné výsledky pevnosti výztuže: C1, Přírůstek zatížení: P100,0%, V100,0%

| Prvek | X<br>[m] | Z<br>[m] | $\sigma_s$<br>[MPa] | $\epsilon_s$<br>[1e-4] | $\sigma_s / \sigma_{s,lim}$<br>[%] | $\epsilon_s / \epsilon_{s,lim}$<br>[%] |    |
|-------|----------|----------|---------------------|------------------------|------------------------------------|--|----|
| ST1   | 22,15    | -0,41    | 401,5               | 8,1                    | 85,5                               | 19,3                                   | OK |
| GB1   | 13,83    | -0,44    | 435,6               | 21,3                   | 92,8                               | 15,7                                   | OK |
| GB2   | 12,99    | -0,67    | 435,8               | 27,3                   | 92,8                               | 8,3                                    | OK |
| GB3   | 13,13    | 0,67     | -273,6              | -13,7                  | 58,3                               | 3,0                                    | OK |
| GB3   | 25,82    | 0,67     | 6,4                 | 0,0                    | 1,4                                | 0,0                                    | OK |

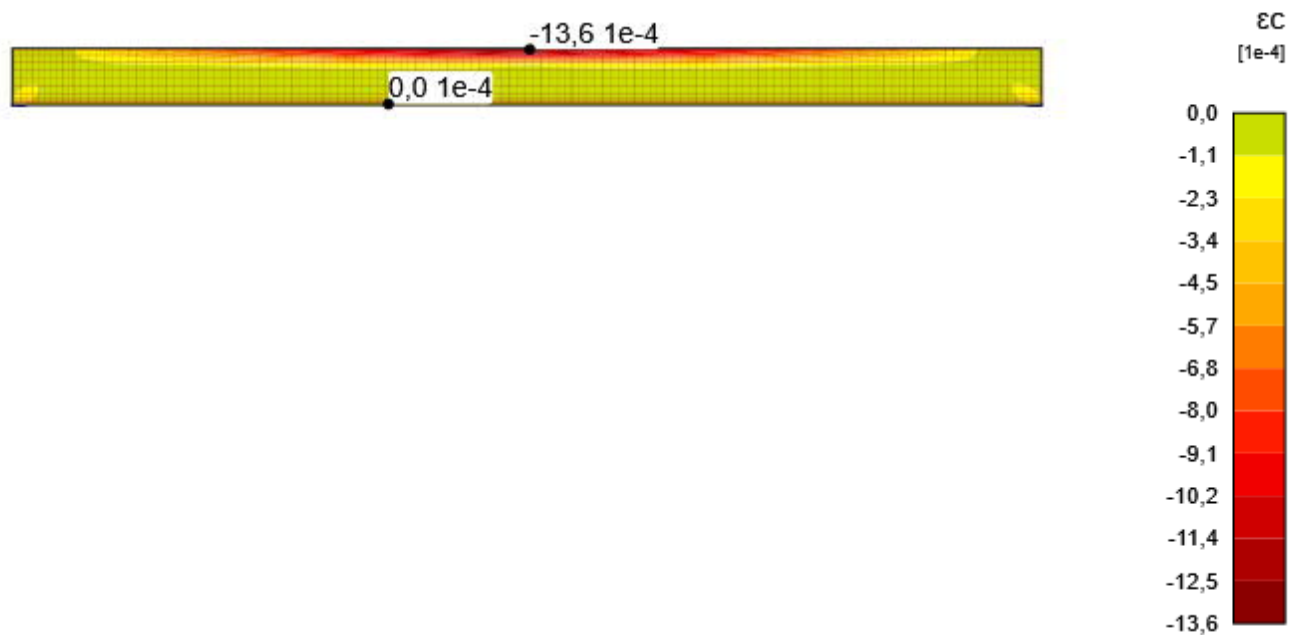
Poměr napětí/pevnost betonu



Hlavní napětí betonu  $\sigma_c$



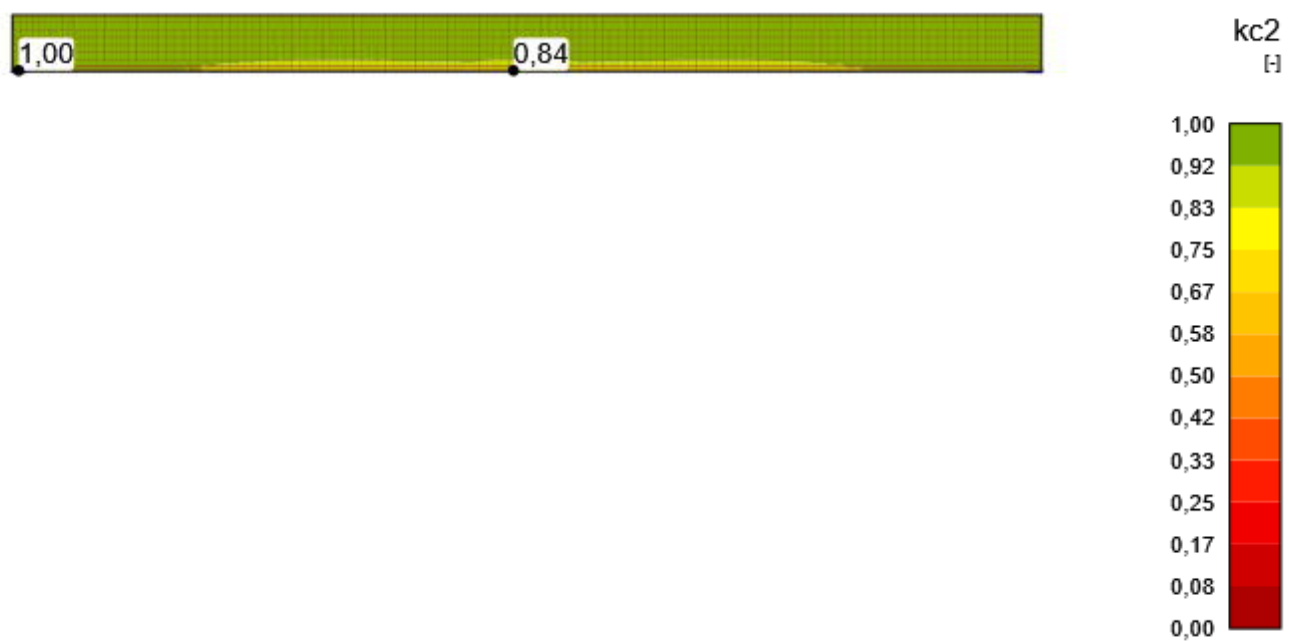
Hlavní přetvoření betonu  $\epsilon_c$



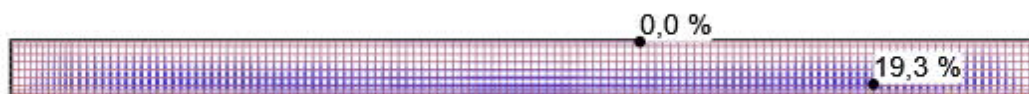
Směry hlavních napětí



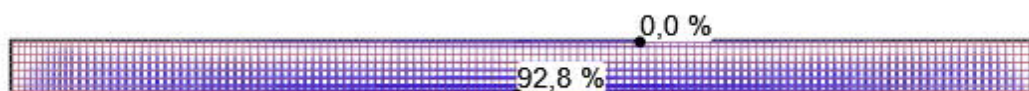
Redukční součinitel pevnosti betonu v tlaku kc2



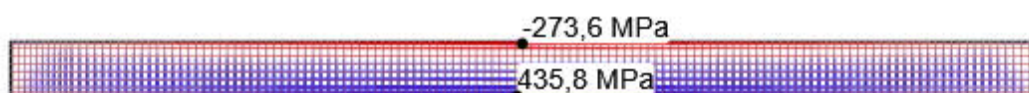
Poměr přetvoření/mezního přetvoření výztuže -  $\epsilon_s/\epsilon_{s,lim}$  [%]



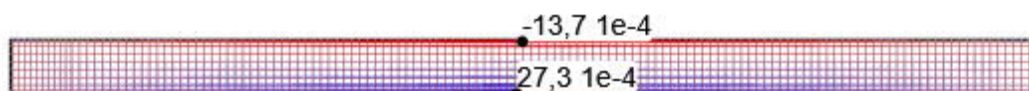
Poměr napětí/pevnost výztuže -  $\sigma_s/\sigma_{s,lim}$  [%]



Napětí ve výztuži -  $\sigma_s$  [MPa]



Přetvoření výztuže -  $\epsilon_s$  [1e-4]

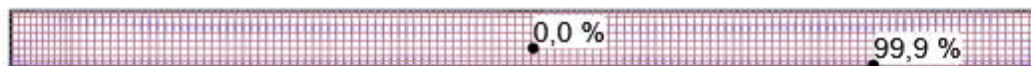


## MSÚ - Kotvení

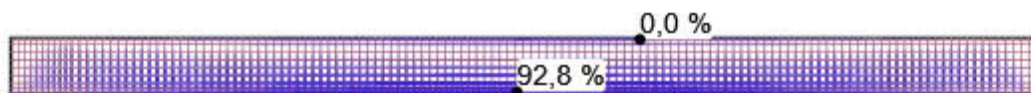
Detailní výsledky kotvení: C1, Přírůstek zatížení: P100,0%, V100,0%

| Prvek | X [m] | Z [m] | $\tau_b$ [MPa] | $F_a$ [kN] | $F_{tot}$ [kN] | $F_{tot}/F_{lim}$ [%] | $\tau_b/f_{bd}$ [%] |    |
|-------|-------|-------|----------------|------------|----------------|-----------------------|---------------------|----|
| ST1   | 22,15 | -0,68 | -4,0           | 21,4       | 33,0           | 70,0                  | 99,9                | OK |
| ST1   | 21,75 | 0,27  | 2,5            | 21,4       | 10,3           | 21,8                  | 63,7                | OK |
| ST1   | 22,15 | -0,41 | 0,5            | 21,4       | 40,4           | 85,5                  | 11,7                | OK |
| ST1   | 0,05  | -0,54 | -0,2           | 21,4       | -1,9           | 4,1                   | 5,3                 | OK |
| GB2   | 0,30  | -0,67 | 2,0            | 27,6       | 72,4           | 13,1                  | 49,1                | OK |
| GB2   | 26,10 | -0,67 | -1,9           | 27,6       | 132,9          | 19,0                  | 48,1                | OK |
| GB2   | 12,99 | -0,67 | 0,0            | 27,6       | 805,1          | 92,8                  | 0,0                 | OK |
| GB2   | 0,02  | -0,67 | 0,8            | 27,6       | 30,6           | 7,5                   | 19,4                | OK |
| GB1   | 0,16  | -0,44 | 1,3            | 1,9        | 6,8            | 9,3                   | 33,1                | OK |
| GB1   | 26,24 | -0,44 | -1,3           | 1,9        | 18,1           | 17,0                  | 32,6                | OK |
| GB1   | 13,83 | -0,44 | 0,0            | 1,9        | 98,5           | 92,8                  | 0,1                 | OK |
| GB1   | 13,13 | 0,56  | 0,0            | 1,9        | -43,7          | 41,2                  | 0,1                 | OK |
| GB3   | 24,71 | 0,67  | 0,2            | 0,6        | -16,6          | 5,8                   | 5,5                 | OK |
| GB3   | 2,39  | 0,67  | -0,1           | 0,6        | -28,0          | 9,9                   | 4,9                 | OK |
| GB3   | 25,82 | 0,67  | 0,0            | 0,6        | 3,9            | 1,4                   | 1,4                 | OK |
| GB3   | 13,13 | 0,67  | 0,0            | 0,6        | -165,0         | 58,3                  | 0,4                 | OK |

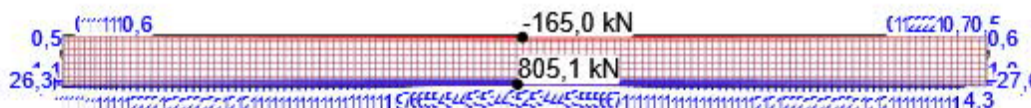
Hodnota posouzení napětí v soudržnosti -  $\tau_b/f_{bd}$  [%]



Hodnota posudku sil -  $F_{tot}/F_{lim}$  [%]



Celková síla ve vložce -  $F_{tot}$  [kN]



Napětí v soudržnosti -  $\tau_b$  [MPa]



## Nastavení

Projekt: Sprotovní hala Turnov  
 Číslo projektu: SO101 - nosník ochcozu

| Autor:             | Způsob zadání | Součinitel dotvarování |
|--------------------|---------------|------------------------|
| Uživatelské zadání |               | 2,5                    |
| Uživatelské zadání |               | 2,5                    |
| Uživatelské zadání |               | 2,5                    |

## MSP - Napětí

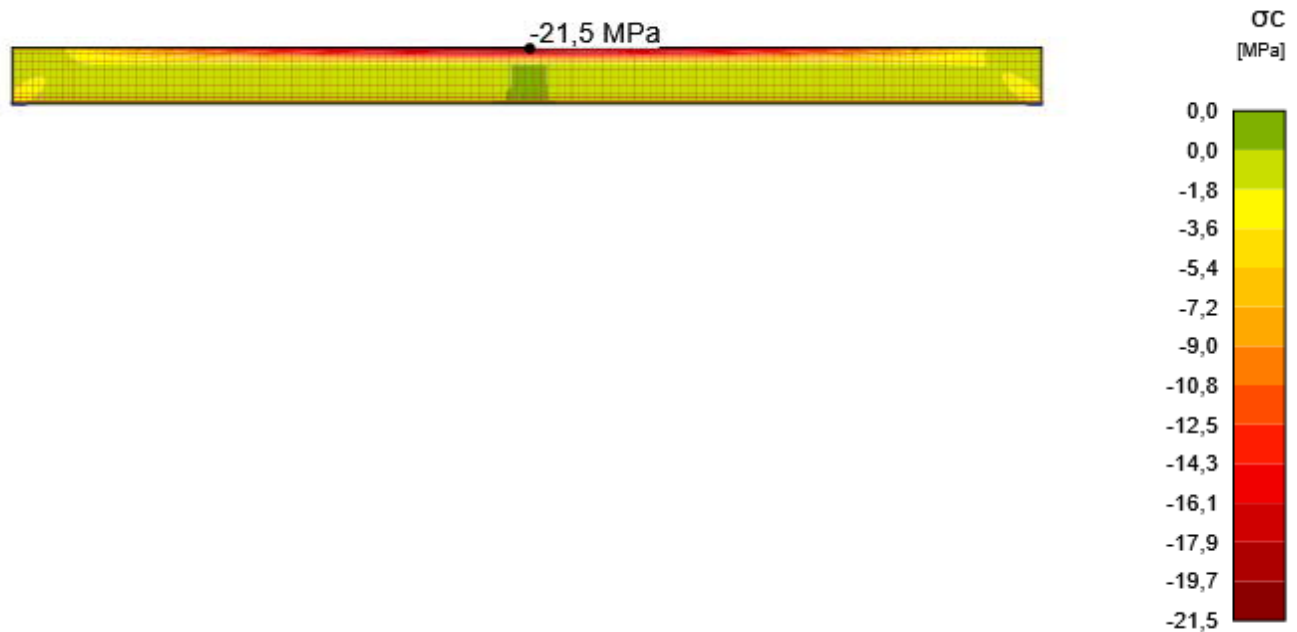
Podrobné výsledky napětí betonu: C3, Přírůstek zatížení: P100,0%, V100,0%

| Prvek | X [m] | Z [m] | Kritický posudek | $\sigma_c$ [MPa] | $\sigma_{lim}$ [MPa] | $\sigma_c/\sigma_{lim}$ [%] |    |
|-------|-------|-------|------------------|------------------|----------------------|-----------------------------|----|
| M1    | 13,27 | 0,70  | 7.2(2)           | -21,5            | 27,0                 | 79,7                        | OK |

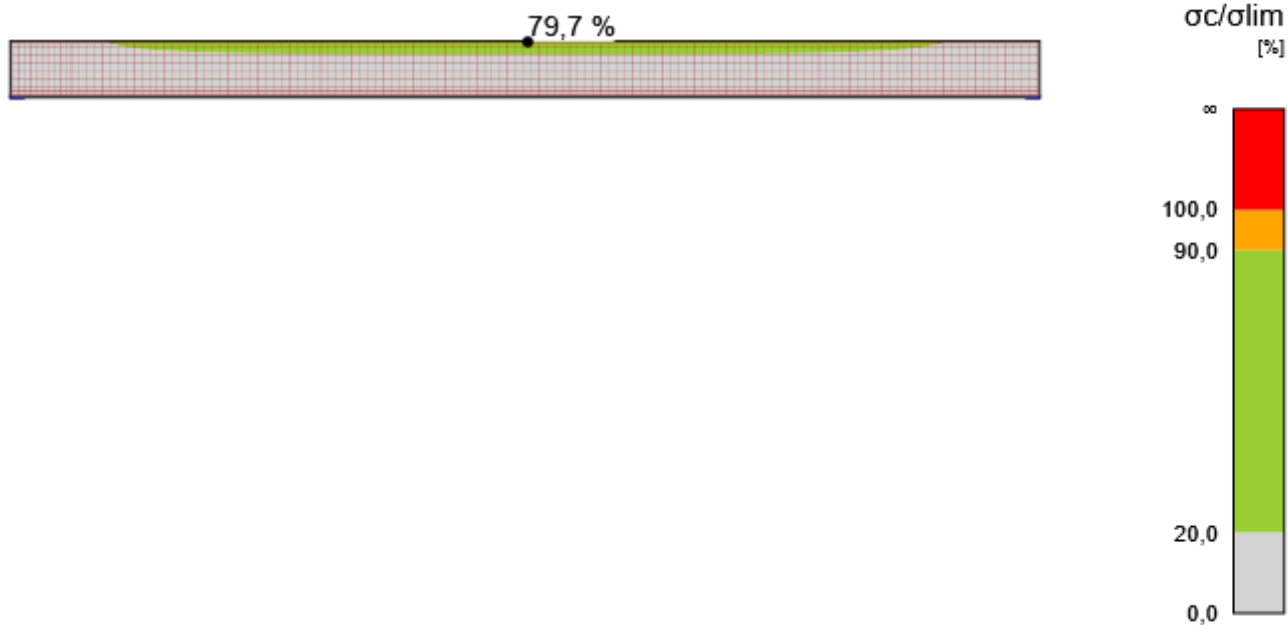
Podrobné výsledky napětí výztuže: C3, Přírůstek zatížení: P100,0%, V100,0%

| Výztuž | X [m] | Z [m] | Kritický posudek | $\sigma_s$ [MPa] | $\sigma_{lim}$ [MPa] | $\sigma_s/\sigma_{lim}$ [%] |    |
|--------|-------|-------|------------------|------------------|----------------------|-----------------------------|----|
| ST1    | 22,55 | -0,41 | 7.2(5)           | 289,4            | 400,0                | 72,4                        | OK |
| GB1    | 13,83 | -0,44 | 7.2(5)           | 270,3            | 400,0                | 67,6                        | OK |
| GB2    | 12,71 | -0,67 | 7.2(5)           | 295,9            | 400,0                | 74,0                        | OK |
| GB3    | 25,96 | 0,67  | 7.2(5)           | 4,4              | 400,0                | 1,1                         | OK |

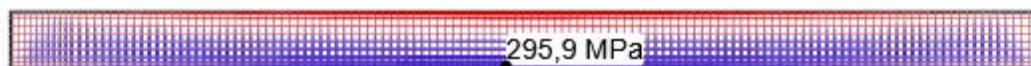
## Napětí v betonu



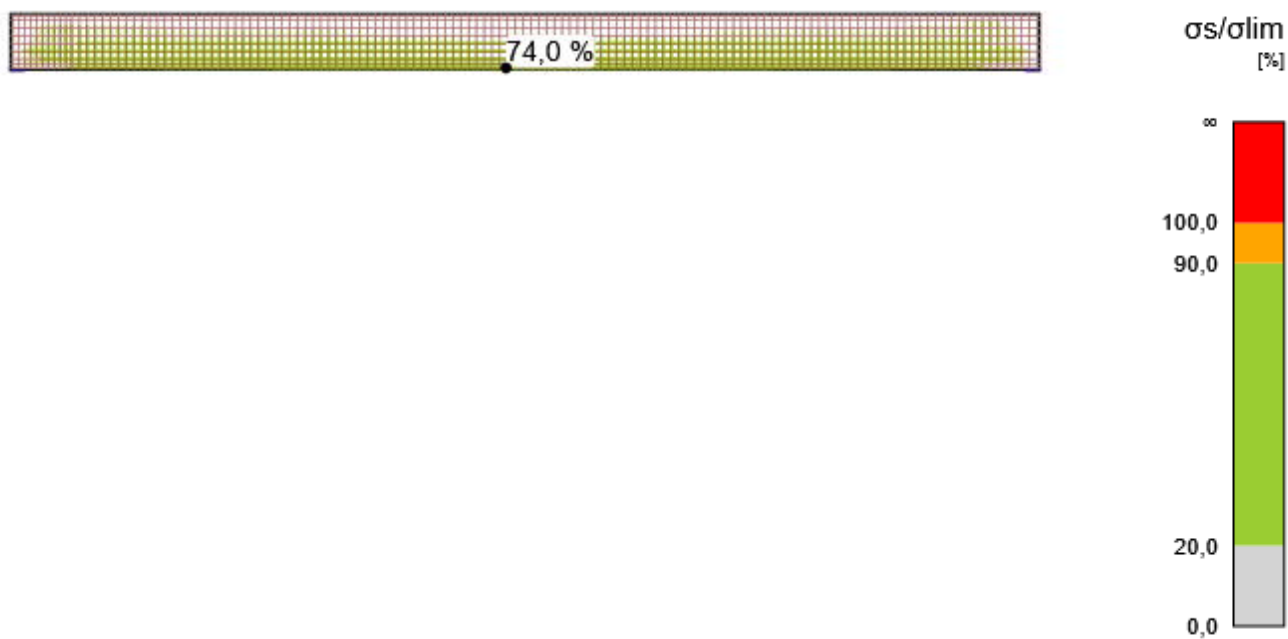
Posudek napětí betonu



Napětí ve výztuži -  $\sigma_s$  [MPa]



Posudek napětí ve výztuži



## MSP - Trhliny

Podrobné výsledky trhlin: C2, Příklad zatížení: P100,0%, V100,0%,  $w_{lim}=0,300$  mm

| Prvek | X [m] | Z [m] | w [mm] | w/w <sub>lim</sub> [%] |    |
|-------|-------|-------|--------|------------------------|----|
| GB2   | 15,22 | -0,57 | 0,121  | 40,5                   | OK |
| GB2   | 11,32 | -0,57 | 0,121  | 40,4                   | OK |
| ST1   | 6,35  | -0,41 | 0,119  | 39,5                   | OK |
| GB1   | 15,08 | -0,44 | 0,112  | 37,2                   | OK |
| GB3   | 25,96 | 0,67  | 0,000  | 0,1                    | OK |

## Mezivýsledky trhlin

| Member | $\epsilon_{cm}$ [1e-4] | $\epsilon_m$ [1e-4] | $s_r$ [mm] | $\Phi$ [mm] | $\rho_{eff}$ [%] | $w_b$ [mm] | $\theta_r$ [-] | $\theta_b$ [-] |
|--------|------------------------|---------------------|------------|-------------|------------------|------------|----------------|----------------|
| GB2    | 0,0                    | 8,8                 | 133        | 28          | 5,00             | 0,117      | 1,84           | 0,00           |
| GB2    | 0,0                    | 8,8                 | 133        | 28          | 5,00             | 0,118      | 1,32           | 0,00           |
| ST1    |                        | 2,0                 |            | 8           | 1,19             | 0,062      | 1,02           | 1,57           |
| GB1    | 0,0                    | 7,2                 | 147        | 12          | 2,00             | 0,106      | 1,88           | 0,00           |
| GB3    | 0,0                    | 0,0                 | 177        | 16          | 2,21             | 0,000      | 1,41           | 0,00           |

Upozornění: V tabulce jsou zobrazeny střední hodnoty TCM (tension chord model). V aktuální verzi programu nejsou k dispozici odpovídající hodnoty POM (pull-out model).

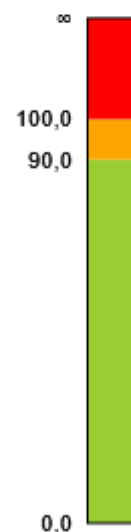
## Šířka trhlin - w [mm]



## Posouzení šířky trhlin



w / w<sub>lim</sub> [%]

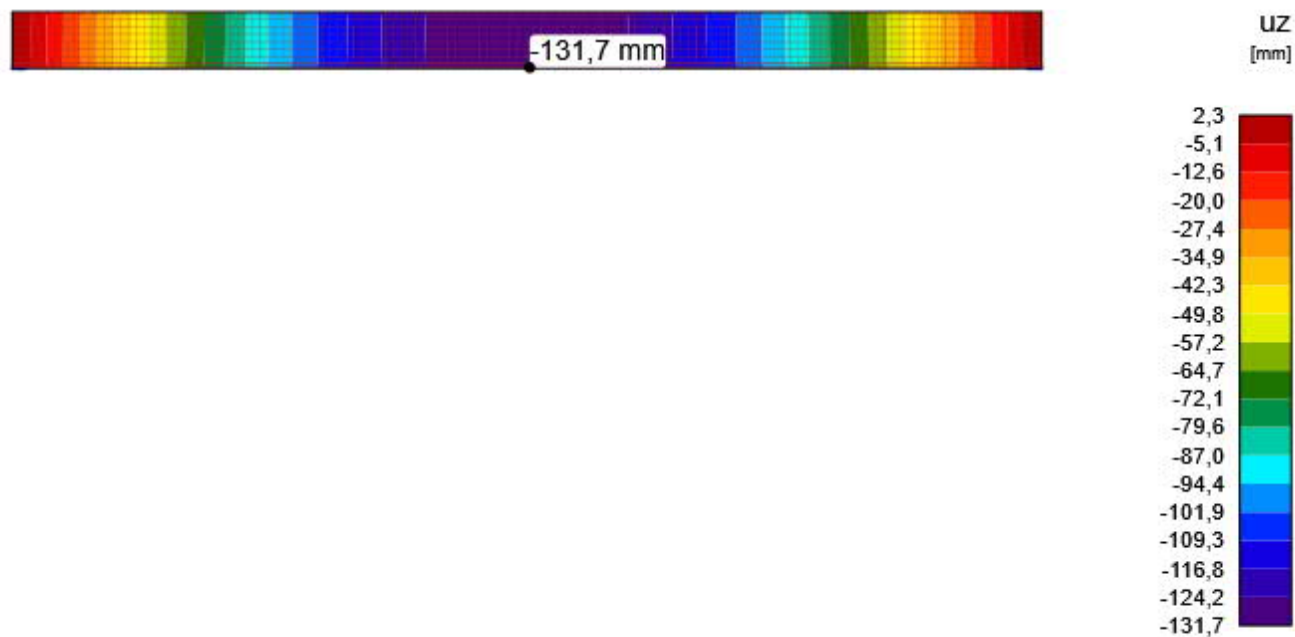


## MSP - Průhyb

Podrobné výsledky průhybů: C3, Přírůstek zatížení: P100,0%, V100,0%

| Prvek | X [m] | Z [m] | $u_{z,st}$ [mm] | $u_{z,it}$ [mm] | $\Delta u_z$ [mm] | $u_z$ [mm] |    |
|-------|-------|-------|-----------------|-----------------|-------------------|------------|----|
| M1    | 13,27 | -0,70 | -105,9          | -88,1           | -43,6             | -131,7     | OK |

## Průhyb



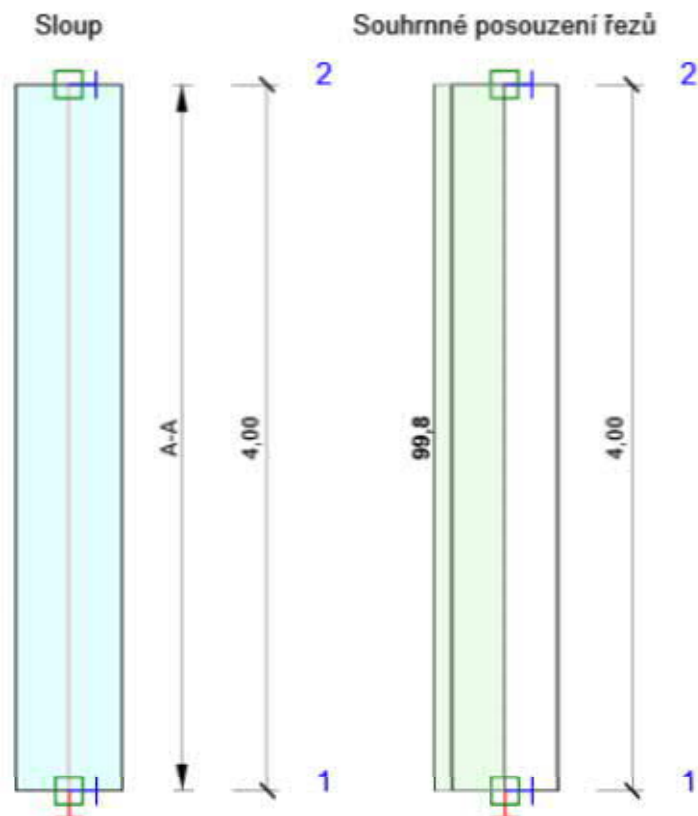
# Posouzení betonu

## Národní norma

|               |                     |
|---------------|---------------------|
| Národní norma | EN 1992-1-1:2014-12 |
| Životnost     | 50 let              |

## Návrhová skupina: sloupy ochozu

### Schéma vyztužení



### Souhrn posudků řezů

| Kombinace              | $N_{Ed}$ [kN] | $M_{Ed,y}$ [kNm] | $M_{Ed,z}$ [kNm] | $V_{Ed}$ [kN] | $T_{Ed}$ [kNm] | Hodnota [%] | Posudek |
|------------------------|---------------|------------------|------------------|---------------|----------------|-------------|---------|
| Únosnost N-M-M         |               |                  |                  |               |                |             |         |
| MSÚ-Sada B (auto)(102) | -527,2        | -296,2           | -51,0            | -108,0        | 0,5            | 75,8        | OK      |
| Smyk                   |               |                  |                  |               |                |             |         |
| MSÚ-Sada B (auto)(102) | -527,2        | -296,2           | -51,0            | -108,0        | 0,5            | 58,7        | OK      |
| Kroucení               |               |                  |                  |               |                |             |         |
| MSÚ-Sada B (auto)(64)  | -528,1        | 112,6            | -5,0             | -95,1         | -2,1           | 5,8         | OK      |
| Interakce              |               |                  |                  |               |                |             |         |
| MSÚ-Sada B (auto)(102) | -527,2        | -296,2           | -51,0            | -108,0        | 0,5            | 95,8        | OK      |
| Omezení napětí         |               |                  |                  |               |                |             |         |
| MSP-Kvazi (auto)(44)   | -310,7        | -169,6           | -23,3            | -62,0         | -0,3           | 99,8        | OK      |
| Šířka trhliny          |               |                  |                  |               |                |             |         |
| MSP-Kvazi (auto)(44)   | -310,7        | -169,6           | -23,3            | -62,0         | -0,3           | 43,0        | OK      |

| <b>Kombinace</b>       | <b>Popis kritických účinků zatížení</b>              |
|------------------------|--|
| MSÚ-Sada B (auto)(102) | 1,49*ZS1 + 1,49*ZS2 + 1,49*ZS3 + 0,99*ZS7 + 1,65*ZS8 |
| MSÚ-Sada B (auto)(64)  | 1,49*ZS1 + 1,49*ZS2 + 1,1*ZS3 + 1,65*ZS6 + 1,16*ZS8  |
| MSP-Kvazi (auto)(44)   | ZS1 + ZS2 + ZS3 + 0,6*ZS8                            |

# Návrh pilotového založení míčové haly

## Vstupní data

### Projekt

Akce : Turnov - reko a dostavba sportovní haly  
Část : Míčová hala - pilota osa "F"  
Vypracoval : Ing.Sinevič  
Datum : 09.2021

### Nastavení

(zadané pro aktuální úlohu)

### Materiály a normy

Betonové konstrukce : ČSN 73 1201 R  
Ocelové konstrukce : ČSN 73 1401  
Dřevěné konstrukce : EN 1995-1-1 (EC5)  
Dílčí součinitel vlastností dřeva :  $\gamma_M = 1,30$   
Součinitel vlivu zatížení a vlhkosti (dřevo) :  $k_{mod} = 0,50$   
Součinitel šířky průřezu ve smyku (dřevo) :  $k_{cr} = 0,67$

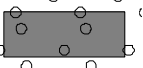
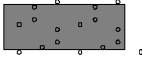
### Piloty

Výpočet pro odvodněné podmínky : ČSN 73 1002  
Zatěžovací křivka : nelineární (Masopust)  
Vodorovná únosnost : pružný poloprostor  
Metodika posouzení : mezní stavy  
Součinitele určit podle Komentáře k ČSN 73 1002

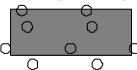
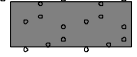
| Součinitele redukce parametrů zemin       |                 |      |     |
|---|-----------------|------|-----|
| Trvalá návrhová situace                   |                 |      |     |
| Součinitel redukce objemové tíhy zeminy : | $\gamma_{my} =$ | 1,00 | [-] |

| Součinitele redukce únosnosti                 |                 |      |     |
|---|-----------------|------|-----|
| Trvalá návrhová situace                       |                 |      |     |
| Součinitel redukce odporu na plášti :         | $\gamma_s =$    | 1,00 | [-] |
| Součinitel redukce odporu na patě :           | $\gamma_b =$    | 1,00 | [-] |
| Součinitel redukce celkové svislé únosnosti : | $\gamma_t =$    | 1,10 | [-] |
| Součinitel redukce únosnosti tažené piloty :  | $\gamma_{st} =$ | 1,50 | [-] |

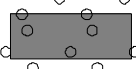
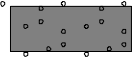
### Základní parametry zemin

| Číslo | Název                      | Vzorek  | $\phi_{ef}$<br>[°] | $c_{ef}$<br>[kPa] | $\gamma$<br>[kN/m <sup>3</sup> ] | $\nu$<br>[-] |
|-------|----------------------------|---|--------------------|-------------------|----------------------------------|--------------|
| 1     | Třída F6, konzistence tuhá |  | 19,00              | 12,00             | 21,00                            | 0,40         |
| 2     | Třída G3, ulehlá           |  | 35,50              | 0,00              | 19,00                            | 0,25         |
| 3     | Třída S2, ulehlá           |  | 35,50              | 0,00              | 18,50                            | 0,28         |

Pro výpočet tlaku v klidu jsou všechny zeminy zadány jako nesoudržné.

| Číslo | Název                      | Vzorek  | $E_{oed}$<br>[MPa] | $E_{def}$<br>[MPa] | $\gamma_{sat}$<br>[kN/m <sup>3</sup> ] | $\gamma_s$<br>[kN/m <sup>3</sup> ] | $n$<br>[-] |
|-------|----------------------------|---|--------------------|--------------------|--|------------------------------------|------------|
| 1     | Třída F6, konzistence tuhá |  | -                  | 4,50               | 21,00                                  | -                                  | -          |
| 2     | Třída G3, ulehlá           |  | -                  | 95,00              | 19,00                                  | -                                  | -          |
| 3     | Třída S2, ulehlá           |  | -                  | 40,00              | 18,50                                  | -                                  | -          |

Parametry zemín pro výpočet modulu reakce podloží

| Číslo | Název                      | Vzorek  | Typ zeminy | $n_h$<br>[MN/m <sup>3</sup> ] |
|-------|----------------------------|---|------------|-------------------------------|
| 1     | Třída F6, konzistence tuhá |  | soudržná   | -                             |
| 2     | Třída G3, ulehlá           |  | nesoudržná | 7,00                          |
| 3     | Třída S2, ulehlá           |  | nesoudržná | 7,00                          |

### Geometrie

Profil piloty: kruhová proměnná

Rozměry

Průměr  $d_1 = 1,20$  m

Průměr  $d_2 = 0,90$  m

Délka  $l_1 = 1,50$  m

Délka  $l_2 = 6,00$  m

### Spočtené průřezové charakteristiky

Plocha  $A_1 = 1,13E+00$  m<sup>2</sup>

$A_2 = 6,36E-01$  m<sup>2</sup>

Moment setrvačnosti  $I_1 = 1,02E-01$  m<sup>4</sup>

$I_2 = 3,22E-02$  m<sup>4</sup>

Umístění

Vysazení  $h = 0,40$  m

Hloubka upraveného terénu  $h_z = 0,60$  m

Typ technologie: Vrtané piloty

Modul reakce podloží uvažován podle ČSN 731004.

### Materiál konstrukce

Objemová tíha  $\gamma = 23,00$  kN/m<sup>3</sup>

Výpočet betonových konstrukcí proveden podle normy ČSN 73 1201 R.

Beton: B 30

Pevnost v tlaku  $R_{bd} = 17,00$  MPa

Pevnost v tahu  $R_{btd} = 1,20$  MPa

Modul pružnosti  $E_b = 32500,00$  MPa

Modul pružnosti ve smyku  $G = 13650,00$  MPa

Ocel podélná: 10 505 R

Pevnost v tlaku  $R_{sc} = 420,00$  MPa

d

Pevnost v tahu  $R_{sd} = 450,00$  MPa

Ocel příčná: 10 505 R

Pevnost v tlaku  $R_{sc} = 420,00$  MPa

d

Pevnost v tahu  $R_{sd} = 450,00$  MPa

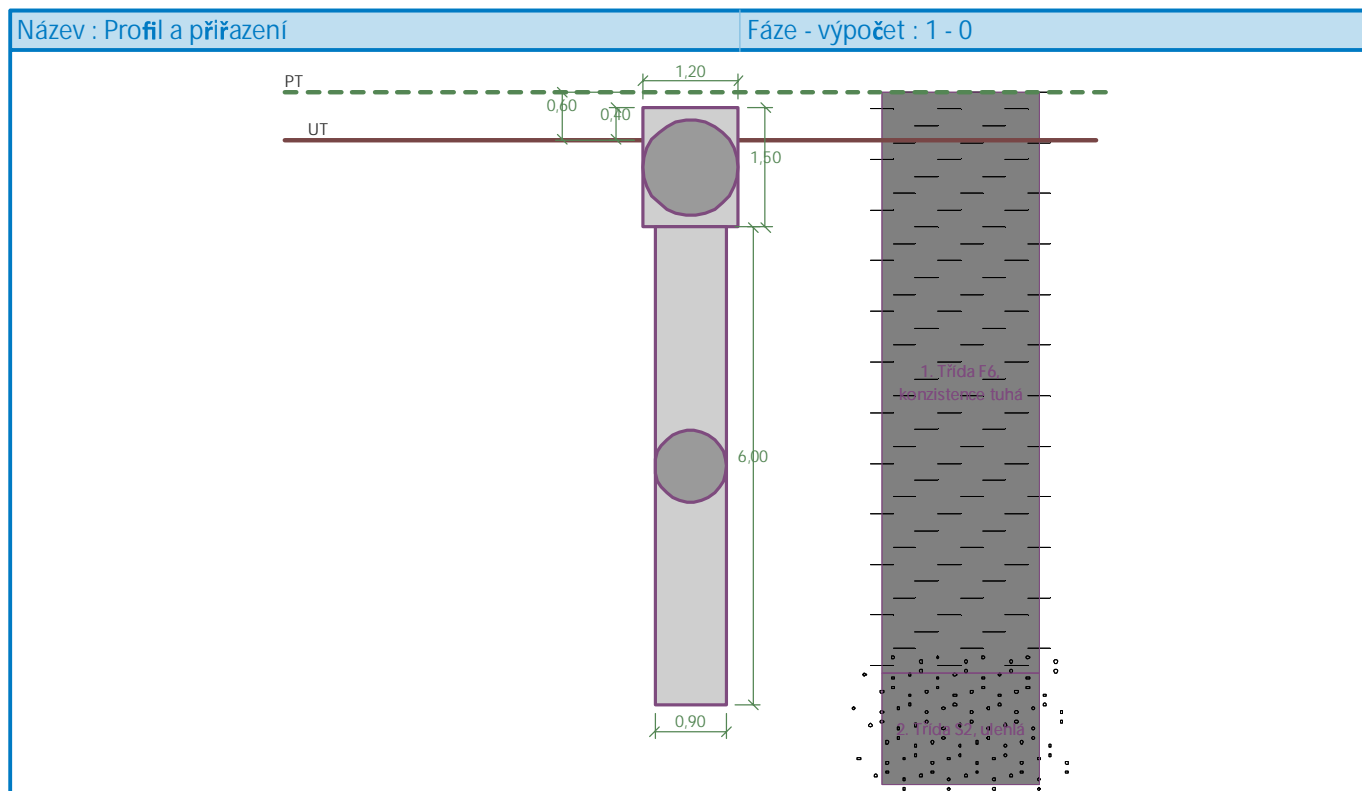
### Geologický profil a přiřazení zemin

Informace o umístění

Kóta povrchu = 270,50 m

### Geologický profil a přiřazení zemin

| Číslo | Mocnost vrstvy t [m] | Hloubka z [m] | Nadm. výška [m]  | Přiřazená zemina           | Vzorek |
|-------|----------------------|---------------|------------------|----------------------------|--------|
| 1     | 7,30                 | 0,00 .. 7,30  | 270,50 .. 263,20 | Třída F6, konzistence tuhá |        |
| 2     | -                    | 7,30 .. ∞     | 263,20 .. -      | Třída S2, ulehlá           |        |



### Zatížení

| Číslo | Zatížení |       | Název            | Typ      | N [kN]  | M <sub>x</sub> [kNm] | M <sub>y</sub> [kNm] | H <sub>x</sub> [kN] | H <sub>y</sub> [kN] |
|-------|----------|-------|------------------|----------|---------|----------------------|----------------------|---------------------|---------------------|
|       | nové     | změna |                  |          |         |                      |                      |                     |                     |
| 1     | Ano      |       | návrhové         | Návrhové | 1118,24 | 70,15                | 141,08               | -11,79              | 41,16               |
| 2     | Ano      |       | charakteristické | Užitné   | 741,49  | 42,61                | 85,64                | -7,16               | 25,00               |

### Celkové nastavení výpočtu

Výpočet svislé únosnosti : analytické řešení

Typ výpočtu : výpočet pro odvodněné podmínky

### Nastavení výpočtu fáze

Návrhová situace : trvalá

Metodika posouzení : bez redukce vstupních dat

## Posouzení čís. 1

### Posouzení svíslé únosnosti piloty podle teorie MS - výsledky

Výpočet proveden s automatickým výběrem nejnepříznivějších zatěžovacích stavů.

Posouzení tlačené piloty:

Nejnepříznivější zatěžovací stav číslo 1. (návrhové)

Únosnost piloty na plášti  $R_s = 349,78$  kN

Únosnost piloty v patě  $R_b = 1842,13$  kN

Únosnost piloty  $R_c = 2191,91$  kN

Extrémní svíslá síla  $V = 1118,24$  kN

d

$R_c = 2191,91$  kN >  $1118,24$  kN =  $V_d$

Svíslá únosnost piloty VYHOVUJE

## Posouzení čís. 1

Výpočet zatěžovací křivky piloty - vstupní data

| Vrstva číslo | Počátek [m] | Konec [m] | Mocnost [m] | $E_s$ [MPa] | Součinitel a | Součinitel b |
|--------------|-------------|-----------|-------------|-------------|--------------|--------------|
| 1            | 0,00        | 6,70      | 6,70        | 19,00       | 71,00        | 64,00        |
| 2            | 6,70        | 7,10      | 0,40        | 74,30       | 154,00       | 115,00       |

Uvažovat zatížení : užité

Součinitel vlivu ochrany dřívku  $m_2 = 1,00$

Limitní sedání piloty  $s_{lim} = 25,0$  mm

Regresní součinitel e = 1596,00

Regresní součinitel f = 1400,00

Výpočet zatěžovací křivky piloty - výsledky

Zatížení na mezi mobilizace plášť.tření  $R_{yu} = 1364,98$  kN

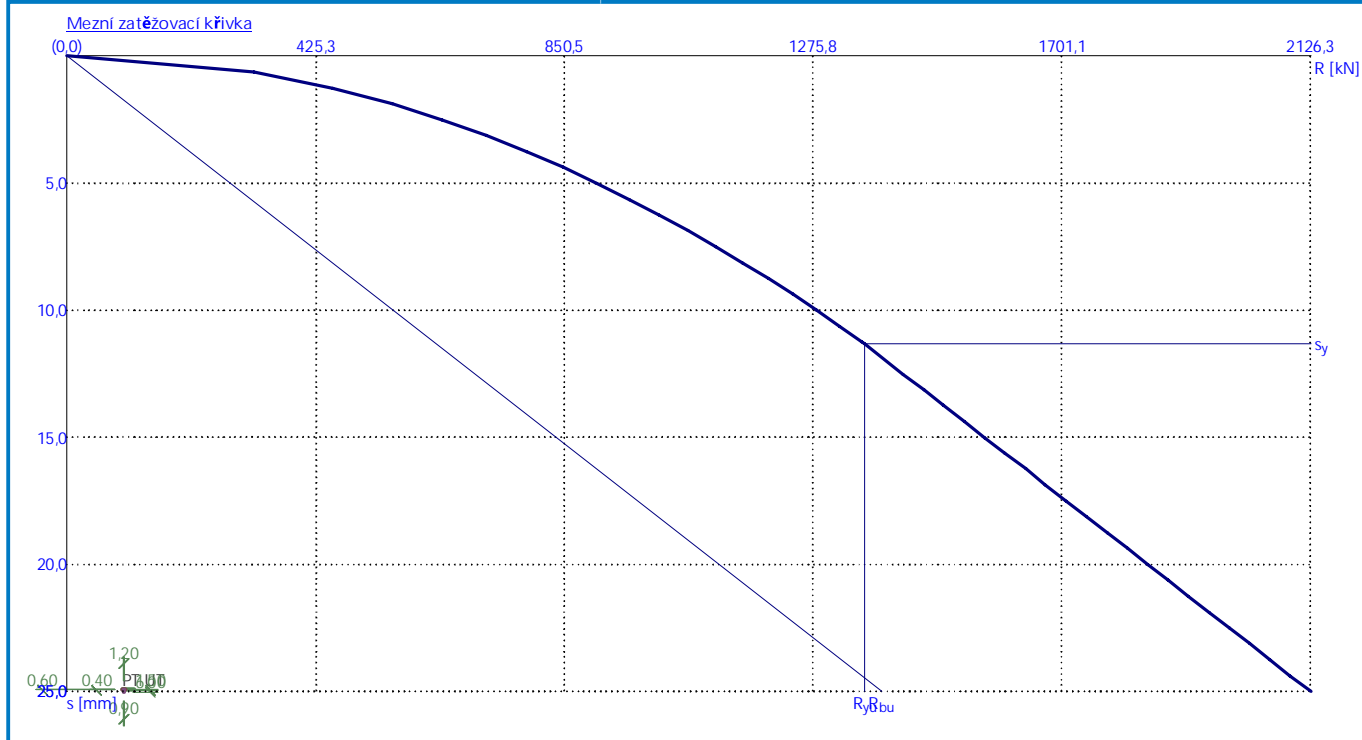
Velikost sedání odpovídající síle  $R_{yu}$   $s_y = 11,3$  mm

Únosnosti odpovídající sednutí 25,0 mm :

Únosnost paty  $R_{bu} = 1393,04$  kN

Celková únosnost  $R_c = 2126,32$  kN

Pro zatížení  $Q = 741,49$  kN je sednutí piloty 3,4 mm



### Posouzení čís. 1

#### Vstupní data pro výpočet vodorovné únosnosti piloty

Výpočet proveden pro zatěžovací stav číslo 1. (návrhové)

Vodorovná únosnost posouzena ve směru maximálního účinku zatížení.

Maximální vnitřní síly a deformace:

Max.deformace piloty = 11,1 mm  
 Max.posouvající síla = 42,99 kN  
 Maximální moment = 185,05 kNm

#### Posouzení na tlak a ohyb

Průřez: kruhová,  $d = 0,90$  m

úsek konstrukce (1,50-7,50 m)

Vyztužení - 10 ks profil 18,0 mm; krytí 100,0 mm

Typ konstrukce (stupně vyztužení) : sloup

Stupeň vyztužení  $\mu_{st} = 0,400 \% > 0,050 \% = \mu_{st,min}$

Zatížení :  $N_d = 1118,24$  kN (tlak) ;  $M_d = 185,05$  kNm

Únosnost :  $N_u = 6641,13$  kN;  $M_u = 1098,98$  kNm

Navržená výztuž piloty VYHOVUJE

#### Posouzení na smyk

Smyková výztuž - 2 ks profil 8,0 mm; vzdálenost 250,0 mm

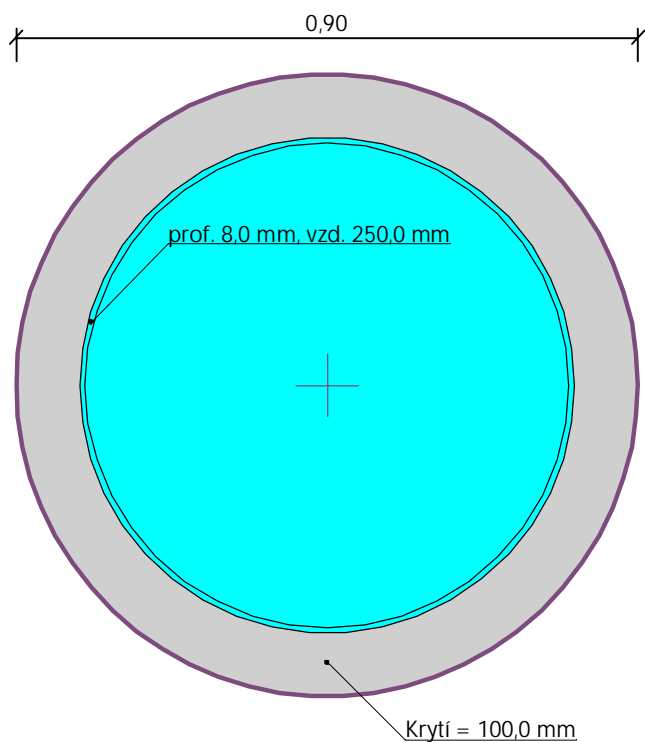
$A_b = 402,1$  mm<sup>2</sup>

Posouvající síla na mezi únosnosti:  $Q_u = 442,71$  kN  $>$   $42,99$  kN =  $Q_d$

Průřez VYHOVUJE.

pouze konstrukční smyková výztuž

## Schéma vyztužení



## Posouzení čís. 2

### Vstupní data pro výpočet vodorovné únosnosti piloty

Výpočet proveden pro zatěžovací stav číslo 2. (charakteristické)

Vodorovná únosnost posouzena ve směru maximálního účinku zatížení.

Maximální vnitřní síly a deformace:

Max.deformace piloty = 6,8 mm  
Max.posouvající síla = 26,11 kN  
Maximální moment = 112,36 kNm

### Posouzení na tlak a ohyb

Průřez: kruhová,  $d = 0,90$  m

úsek konstrukce (1,50-7,50 m)

Vyztužení - 10 ks profil 18,0 mm; krytí 100,0 mm

Typ konstrukce (stupně vyztužení) : sloup

Stupeň vyztužení  $\mu_{st} = 0,400 \% > 0,050 \% = \mu_{st,min}$

Zatížení :  $N_d = 741,49$  kN (tlak) ;  $M_d = 112,36$  kNm

Únosnost :  $N_u = 7016,71$  kN;  $M_u = 1063,24$  kNm

Navržená výztuž piloty VYHOVUJE

### Posouzení na smyk

Smyková výztuž - 2 ks profil 8,0 mm; vzdálenost 250,0 mm

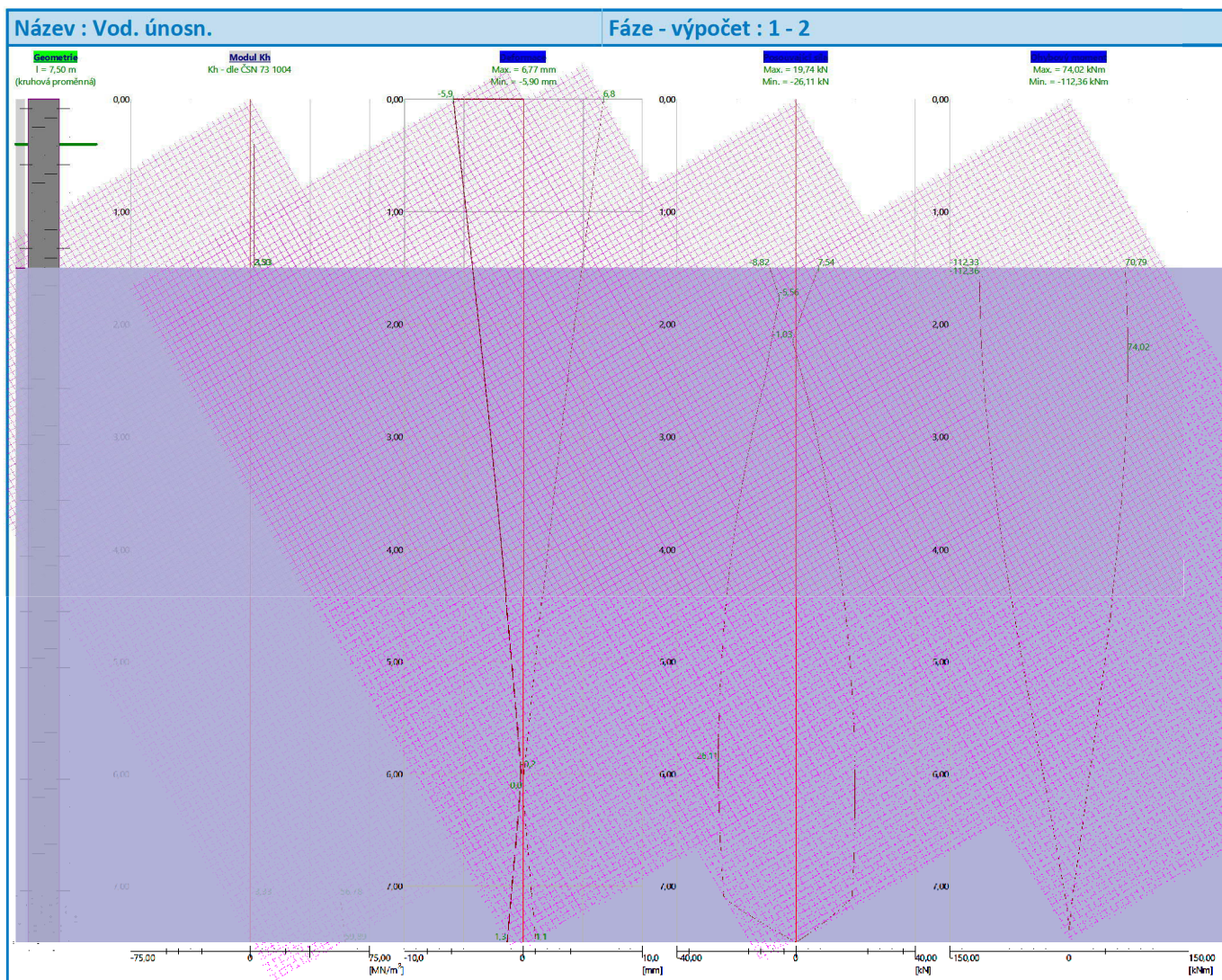
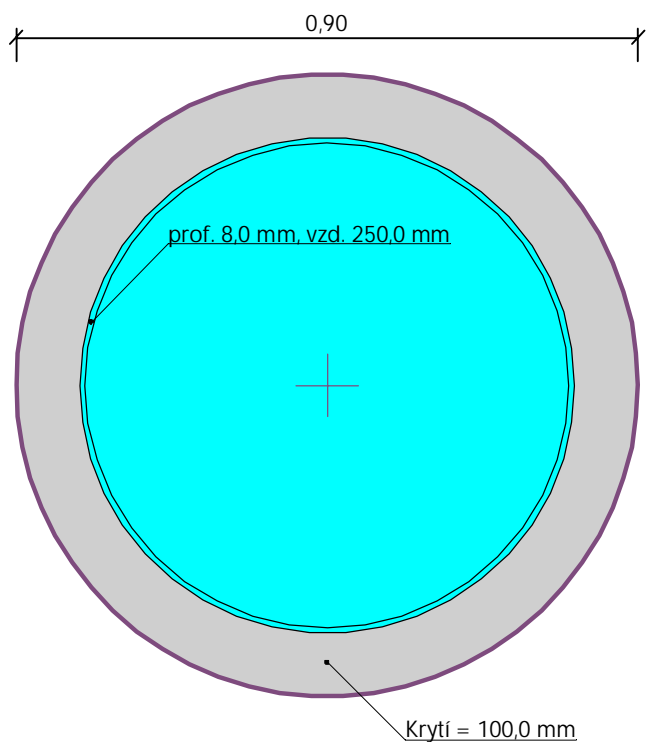
$A_b = 402,1$  mm<sup>2</sup>

Posouvající síla na mezi únosnosti:  $Q_u = 417,60$  kN  $> 26,11$  kN =  $Q_d$

Průřez VYHOVUJE.

pouze konstrukční smyková výztuž

Schéma vyztužení



## Projekt

Akce : Turnov - reko a dostavba sportovní haly  
Část : Míčová hala - pilota osy zbylé  
Vypracoval : Ing.Sinevič  
Datum : 09.2021

## Nastavení

(zadané pro aktuální úlohu)

## Materiály a normy

Betonové konstrukce : ČSN 73 1201 R  
Ocelové konstrukce : ČSN 73 1401  
Dřevěné konstrukce : EN 1995-1-1 (EC5)  
Dílčí součinitel vlastností dřeva :  $\gamma_M = 1,30$   
Součinitel vlivu zatížení a vlhkosti (dřevo) :  $k_{mod} = 0,50$   
Součinitel šířky průřezu ve smyku (dřevo) :  $k_{cr} = 0,67$

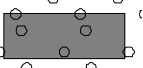
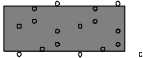
## Piloty

Výpočet pro odvodněné podmínky : ČSN 73 1002  
Zatěžovací křivka : nelineární (Masopust)  
Vodorovná únosnost : pružný poloprostor  
Metodika posouzení : mezní stavy  
Součinitele určit podle Komentáře k ČSN 73 1002

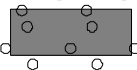
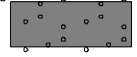
| Součinitele redukce parametrů zemin       |                 |      |     |
|---|-----------------|------|-----|
| Trvalá návrhová situace                   |                 |      |     |
| Součinitel redukce objemové tíhy zeminy : | $\gamma_{my} =$ | 1,00 | [-] |

| Součinitele redukce únosnosti                 |                 |      |     |
|---|-----------------|------|-----|
| Trvalá návrhová situace                       |                 |      |     |
| Součinitel redukce odporu na plášti :         | $\gamma_s =$    | 1,00 | [-] |
| Součinitel redukce odporu na patě :           | $\gamma_b =$    | 1,00 | [-] |
| Součinitel redukce celkové svislé únosnosti : | $\gamma_t =$    | 1,10 | [-] |
| Součinitel redukce únosnosti tažené piloty :  | $\gamma_{st} =$ | 1,50 | [-] |

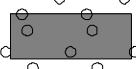
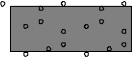
## Základní parametry zemin

| Číslo | Název                      | Vzorek  | $\phi_{ef}$<br>[°] | $c_{ef}$<br>[kPa] | $\gamma$<br>[kN/m <sup>3</sup> ] | $\nu$<br>[-] |
|-------|----------------------------|---|--------------------|-------------------|----------------------------------|--------------|
| 1     | Třída F6, konzistence tuhá |  | 19,00              | 12,00             | 21,00                            | 0,40         |
| 2     | Třída G3, ulehlá           |  | 35,50              | 0,00              | 19,00                            | 0,25         |
| 3     | Třída S2, ulehlá           |  | 35,50              | 0,00              | 18,50                            | 0,28         |

Pro výpočet tlaku v klidu jsou všechny zeminy zadány jako nesoudržné.

| Číslo | Název                      | Vzorek  | $E_{oed}$<br>[MPa] | $E_{def}$<br>[MPa] | $\gamma_{sat}$<br>[kN/m <sup>3</sup> ] | $\gamma_s$<br>[kN/m <sup>3</sup> ] | $n$<br>[-] |
|-------|----------------------------|---|--------------------|--------------------|--|------------------------------------|------------|
| 1     | Třída F6, konzistence tuhá |  | -                  | 4,50               | 21,00                                  | -                                  | -          |
| 2     | Třída G3, ulehlá           |  | -                  | 95,00              | 19,00                                  | -                                  | -          |
| 3     | Třída S2, ulehlá           |  | -                  | 40,00              | 18,50                                  | -                                  | -          |

Parametry zemín pro výpočet modulu reakce podloží

| Číslo | Název                      | Vzorek  | Typ zeminy | $n_h$<br>[MN/m <sup>3</sup> ] |
|-------|----------------------------|---|------------|-------------------------------|
| 1     | Třída F6, konzistence tuhá |  | soudržná   | -                             |
| 2     | Třída G3, ulehlá           |  | nesoudržná | 7,00                          |
| 3     | Třída S2, ulehlá           |  | nesoudržná | 7,00                          |

### Geometrie

Profil piloty: kruhová proměnná

Rozměry

Průměr  $d_1 = 1,20$  m

Průměr  $d_2 = 0,90$  m

Délka  $l_1 = 1,50$  m

Délka  $l_2 = 6,00$  m

### Spočtené průřezové charakteristiky

Plocha  $A_1 = 1,13E+00$  m<sup>2</sup>

$A_2 = 6,36E-01$  m<sup>2</sup>

Moment setrvačnosti  $I_1 = 1,02E-01$  m<sup>4</sup>

$I_2 = 3,22E-02$  m<sup>4</sup>

Umístění

Vysazení  $h = 0,40$  m

Hloubka upraveného terénu  $h_z = 0,60$  m

Typ technologie: Vrtané piloty

Modul reakce podloží uvažován podle ČSN 731004.

### Materiál konstrukce

Objemová tíha  $\gamma = 23,00$  kN/m<sup>3</sup>

Výpočet betonových konstrukcí proveden podle normy ČSN 73 1201 R.

Beton: B 30

Pevnost v tlaku  $R_{bd} = 17,00$  MPa

Pevnost v tahu  $R_{btd} = 1,20$  MPa

Modul pružnosti  $E_b = 32500,00$  MPa

Modul pružnosti ve smyku  $G = 13650,00$  MPa

Ocel podélná: 10 505 R

Pevnost v tlaku  $R_{sc} = 420,00$  MPa

d

Pevnost v tahu  $R_{sd} = 450,00$  MPa

Ocel příčná: 10 505 R

Pevnost v tlaku  $R_{sc} = 420,00$  MPa

d

Pevnost v tahu  $R_{sd} = 450,00$  MPa

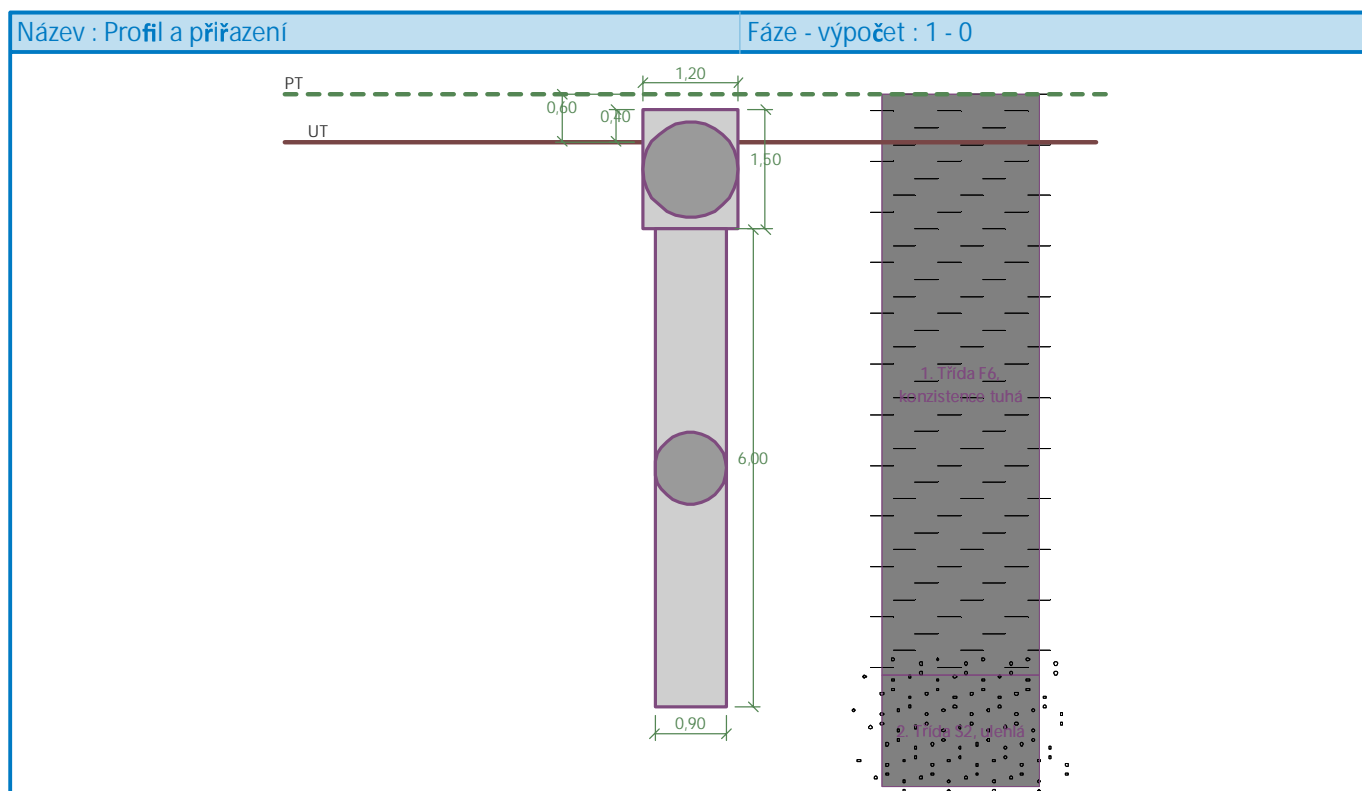
### Geologický profil a přiřazení zemin

Informace o umístění

Kóta povrchu = 270,50 m

### Geologický profil a přiřazení zemin

| Číslo | Mocnost vrstvy t [m] | Hloubka z [m] | Nadm. výška [m]  | Přiřazená zemina           | Vzorek |
|-------|----------------------|---------------|------------------|----------------------------|--------|
| 1     | 7,30                 | 0,00 .. 7,30  | 270,50 .. 263,20 | Třída F6, konzistence tuhá |        |
| 2     | -                    | 7,30 .. ∞     | 263,20 .. -      | Třída S2, ulehlá           |        |



### Zatížení

| Číslo | Zatížení |       | Název            | Typ      | N [kN] | Mx [kNm] | My [kNm] | Hx [kN] | Hy [kN] |
|-------|----------|-------|------------------|----------|--------|----------|----------|---------|---------|
|       | nové     | změna |                  |          |        |          |          |         |         |
| 1     | Ano      |       | návrhové         | Návrhové | 915,88 | 115,07   | 226,04   | -45,56  | 38,15   |
| 2     | Ano      |       | charakteristické | Užitné   | 608,10 | 69,81    | 137,14   | -27,63  | 23,13   |

### Celkové nastavení výpočtu

Výpočet svislé únosnosti : analytické řešení

Typ výpočtu : výpočet pro odvodněné podmínky

### Nastavení výpočtu fáze

Návrhová situace : trvalá

Metodika posouzení : bez redukce vstupních dat

## Posouzení čís. 1

### Posouzení svíslé únosnosti piloty podle teorie MS - výsledky

Výpočet proveden s automatickým výběrem nejnepriznivějších zatěžovacích stavů.

Posouzení tlačené piloty:

Nejnepriznivější zatěžovací stav číslo 1. (návrhové)

Únosnost piloty na plášti  $R_s = 349,78$  kN

Únosnost piloty v patě  $R_b = 1842,13$  kN

Únosnost piloty  $R_c = 2191,91$  kN

Extrémní svíslá síla  $V = 915,88$  kN

d

$R_c = 2191,91$  kN >  $915,88$  kN =  $V_d$

Svíslá únosnost piloty VYHOVUJE

## Posouzení čís. 1

Výpočet zatěžovací křivky piloty - vstupní data

| Vrstva číslo | Počátek [m] | Konec [m] | Mocnost [m] | $E_s$ [MPa] | Součinitel a | Součinitel b |
|--------------|-------------|-----------|-------------|-------------|--------------|--------------|
| 1            | 0,00        | 6,70      | 6,70        | 19,00       | 71,00        | 64,00        |
| 2            | 6,70        | 7,10      | 0,40        | 74,30       | 154,00       | 115,00       |

Uvažovat zatížení : užité

Součinitel vlivu ochrany dřívku  $m_2 = 1,00$

Limitní sedání piloty  $s_{lim} = 25,0$  mm

Regresní součinitel e = 1596,00

Regresní součinitel f = 1400,00

Výpočet zatěžovací křivky piloty - výsledky

Zatížení na mezi mobilizace plášť.tření  $R_{yu} = 1364,98$  kN

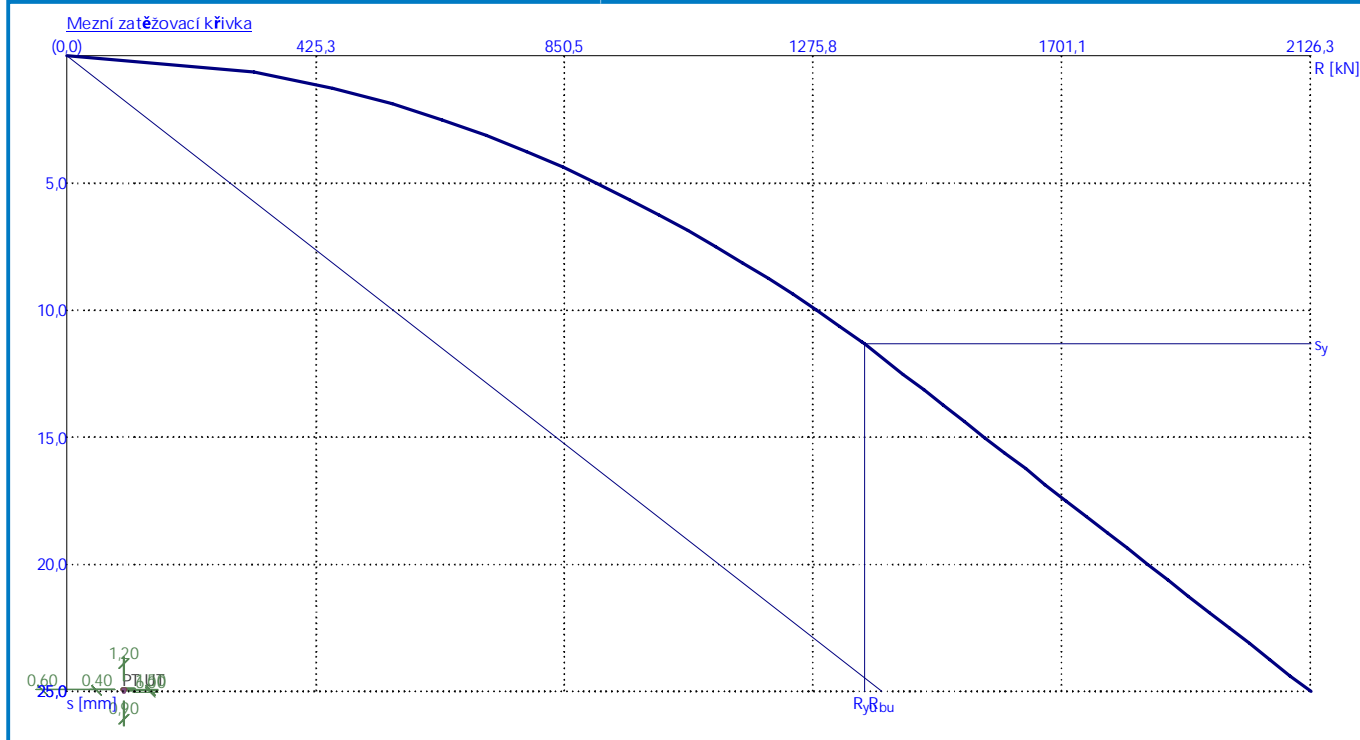
Velikost sedání odpovídající síle  $R_{yu}$   $s_y = 11,3$  mm

Únosnosti odpovídající sednutí 25,0 mm :

Únosnost paty  $R_{bu} = 1393,04$  kN

Celková únosnost  $R_c = 2126,32$  kN

Pro zatížení  $Q = 608,10$  kN je sednutí piloty 2,3 mm



### Posouzení čís. 1

#### Vstupní data pro výpočet vodorovné únosnosti piloty

Výpočet proveden pro zatěžovací stav číslo 1. (návrhové)

Vodorovná únosnost posouzena ve směru maximálního účinku zatížení.

Maximální vnitřní síly a deformace:

Max.deformace piloty = 18,6 mm  
 Max.posouvající síla = 74,55 kN  
 Maximální moment = 312,40 kNm

#### Posouzení na tlak a ohyb

Průřez: kruhová,  $d = 0,90$  m

úsek konstrukce (1,50-7,50 m)

Vyztužení - 10 ks profil 18,0 mm; krytí 100,0 mm

Typ konstrukce (stupně vyztužení) : sloup

Stupeň vyztužení  $\mu_{st} = 0,400 \% > 0,050 \% = \mu_{st,min}$

Zatížení :  $N_d = 915,88$  kN (tlak) ;  $M_d = 312,40$  kNm

Únosnost :  $N_u = 3151,19$  kN;  $M_u = 1074,86$  kNm

Navržená výztuž piloty VYHOVUJE

#### Posouzení na smyk

Smyková výztuž - 2 ks profil 8,0 mm; vzdálenost 250,0 mm

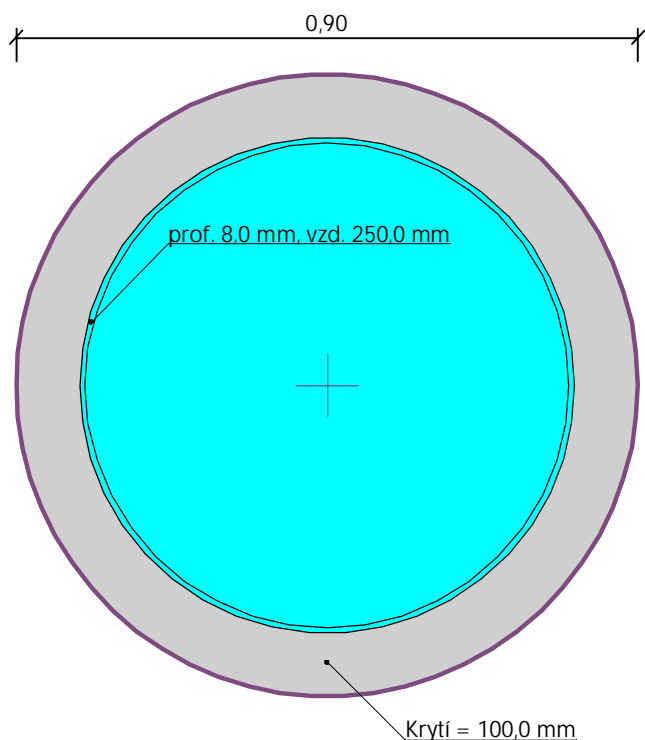
$A_b = 402,1$  mm<sup>2</sup>

Posouvající síla na mezi únosnosti:  $Q_u = 429,22$  kN  $>$   $74,55$  kN =  $Q_d$

Průřez VYHOVUJE.

pouze konstrukční smyková výztuž

## Schéma vyztužení



## Posouzení čís. 2

### Vstupní data pro výpočet vodorovné únosnosti piloty

Výpočet proveden pro zatěžovací stav číslo 2. (charakteristické)

Vodorovná únosnost posouzena ve směru maximálního účinku zatížení.

Maximální vnitřní síly a deformace:

Max.deformace piloty = 11,3 mm  
Max.posouvající síla = 45,22 kN  
Maximální moment = 189,51 kNm

### Posouzení na tlak a ohyb

Průřez: kruhová,  $d = 0,90$  m

úsek konstrukce (1,50-7,50 m)

Vyztužení - 10 ks profil 18,0 mm; krytí 100,0 mm

Typ konstrukce (stupně vyztužení) : sloup

Stupeň vyztužení  $\mu_{st} = 0,400 \% > 0,050 \% = \mu_{st,min}$

Zatížení :  $N_d = 608,10$  kN (tlak) ;  $M_d = 189,51$  kNm

Únosnost :  $N_u = 3590,75$  kN;  $M_u = 1119,05$  kNm

Navržená výztuž piloty VYHOVUJE

### Posouzení na smyk

Smyková výztuž - 2 ks profil 8,0 mm; vzdálenost 250,0 mm

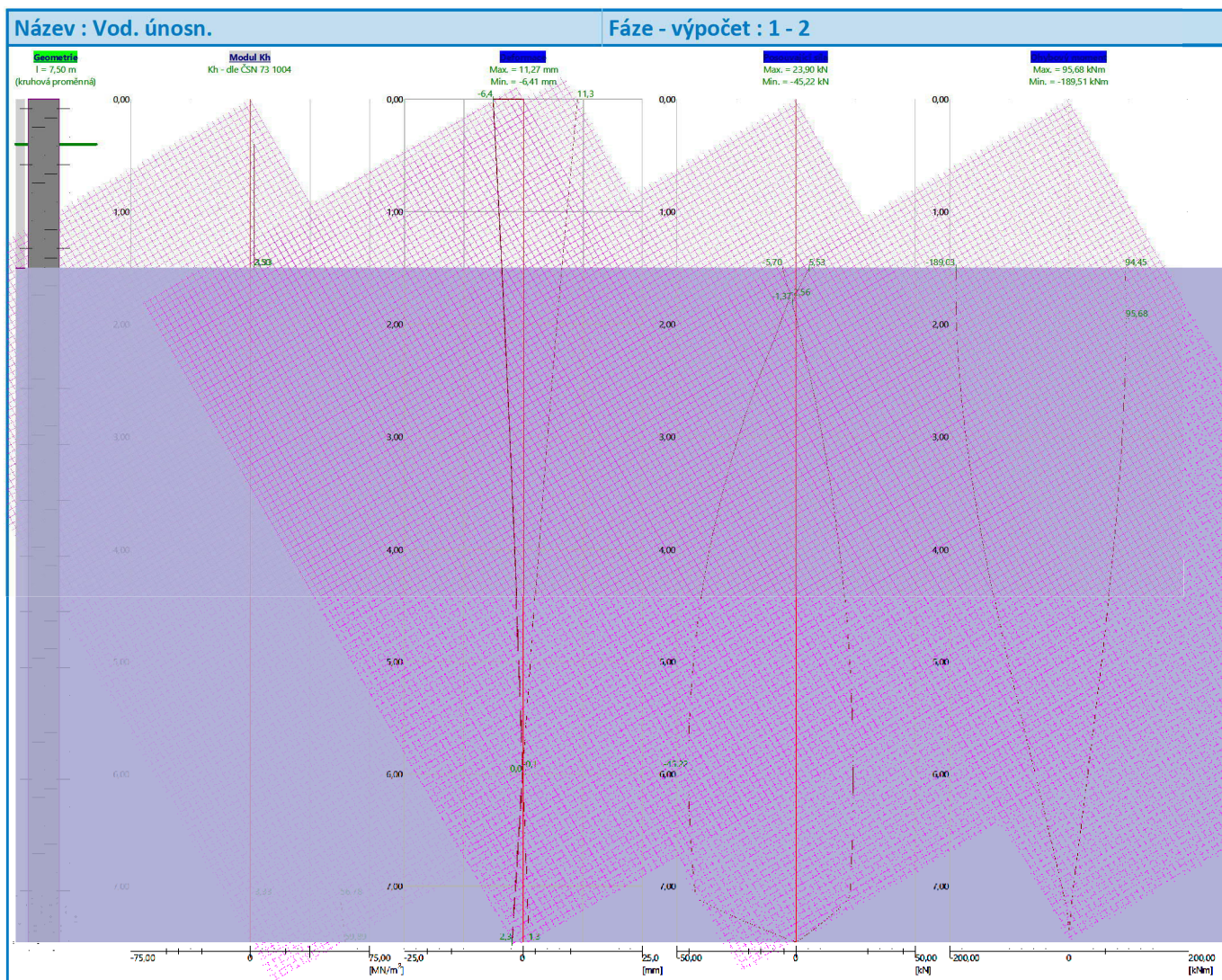
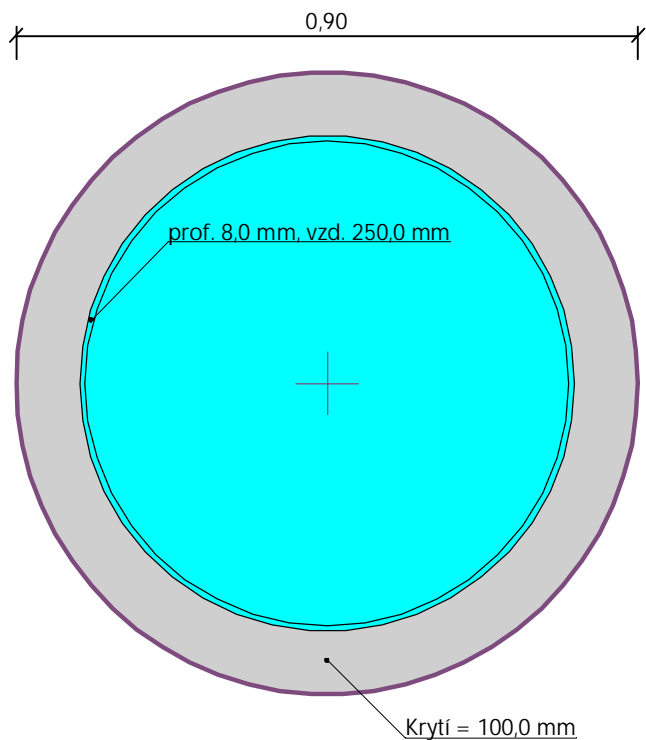
$A_b = 402,1$  mm<sup>2</sup>

Posouvající síla na mezi únosnosti:  $Q_u = 408,70$  kN  $>$   $45,22$  kN  $= Q_d$

Průřez VYHOVUJE.

pouze konstrukční smyková výztuž

# Schéma vyztužení



REKONSTRUKCE A DOSTAVBA SPORTOVNÍ HALY  
ALEŠOVA 1865, 511 01 TURNOV

OBJEKT - LEZEČNÁ HALA A STŘECHA STROJOVNY

1) ZATÍŽENÍ

STÁLÁ ZATÍŽENÍ

STŘECHA STROJOVNY

- HYDROIZOLACE w PVC
- TEP. IZOLACE EPS
- ASF. PÁS
- BETON. MAZANINA
- DUTINOUÝ PANEL
- OMÍTLA
- REZERVA

|                    |                                     |
|--------------------|-------------------------------------|
|                    | 0,05 kW/m <sup>2</sup>              |
|                    | 0,75                                |
|                    | 0,05                                |
| $0,05 \times 24 =$ | 1,20                                |
|                    | 4,10                                |
|                    | 0,30                                |
|                    | 0,85                                |
|                    | <hr/>                               |
|                    | $\Sigma 2,60 + 4,10 \text{ kW/m}^2$ |

STŘECHA HALY

- HYDROIZOLACE w PVC
- TEP. IZOLACE EPS
- ASF. PÁS
- TRAP. PLECH
- PODHLÉD
- REZERVA

|  |                              |
|--|------------------------------|
|  | 0,05 kW/m <sup>2</sup>       |
|  | 0,20                         |
|  | 0,05                         |
|  | 0,25                         |
|  | 0,25                         |
|  | 0,80                         |
|  | <hr/>                        |
|  | $\Sigma 1,60 \text{ kW/m}^2$ |

STROP 1. NP

- PODLAH. KRYTINA
- ANHYDRIT
- KROČEJ. IZOL.
- ANHYDRIT
- DUTIN. PANEL
- PODHLÉD
- REZERVA

|  |                                   |
|--|-----------------------------------|
|  | 0,40 kW/m <sup>2</sup>            |
|  | 1,20                              |
|  | 0,10                              |
|  | 1,00                              |
|  | 3,20                              |
|  | 0,30                              |
|  | 0,80                              |
|  | <hr/>                             |
|  | $\Sigma 3,8 + 3,2 \text{ kW/m}^2$ |

## OBVODOVÝ PLOŠT

- ZDIVO PTH 380 700FI
- TEPEL. IZOLACE
- ROST + OSB 18 + TLECH

$$\begin{array}{r}
 3,5 \text{ kW/m}^2 \\
 0,10 \\
 0,40 \\
 \hline
 \Sigma 3,5 + 0,50 \text{ kW/m}^2
 \end{array}$$

ATIKA  $4,0 \text{ kW/m}^2$

OSAMĚLE' ŽEŘENVO V 1/2L KAZNÍKU  $10 \text{ kW}$

## NAHODILÁ ZATÍŽENÍ

- SNÍH

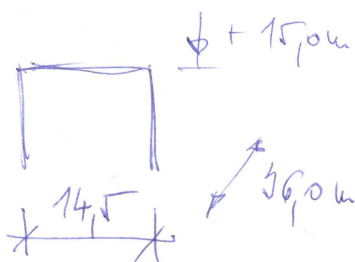
$$s_k = 1,2 \text{ kW/m}^2 \quad \mu_s = 0,8 \quad s = 0,8 \times 1,2 = 1,0 \text{ kW/m}^2$$

## NÁVĚJ HALA / STROJOVNA

$$\begin{aligned}
 \mu_{hw} &= \frac{24 + 12}{2 \times 4,4} = 4,1 < \frac{2 \times 4,4}{1,2} = 7,3 \\
 &< 30
 \end{aligned}$$

$$s_w = 2,0 \times 1,2 = 2,4 \text{ kW/m}^2 \quad l_s = 2 \times 4,4 = 8,8 \text{ m}$$

- VÍTR



$$v_{g,0} = 25 \text{ m/s} \quad \text{KAT. TŘÍDA III.}$$

$$q_p = 0,722 \text{ kW/m}^2$$

- PŘEVOD - KAT. C5  $5,0 \text{ kW/m}^2$

|   |                     |  |                                   |
|---|---------------------|--|-----------------------------------|
|  | PROFILFORM DESIGNER |  |                                   |
|   | Projektant:         |  | Název akce: Sportovní hala Turnov |
|   | Společnost:         |  |                                   |
|   | Adresa:             |  | Místo stavby:                     |
|   | Telefon:            |  | Číslo projektu:                   |
|   | E-mail:             |  | Název souboru: Datum 28.09.2021   |

### Větrový modul

Použité EC normy: Česká republika

### Sumarizační tabulka

|                      |   | $z_e$ | $C_{dir}$ | $C_{season}$ | $v_{b,0}$ | $v_b$ | $C_{r(z)}$ | $C_{0(z)}$ | $k_r$ | $v_{m(z)}$ | $I_{v(z)}$ | $q_{p(z)}$ |
|----------------------|---|-------|-----------|--------------|-----------|-------|------------|------------|-------|------------|------------|------------|
| Referenční výška [m] | Střeška   | 15    | 1,00      | 1,00         | 25,00     | 25,00 | 0,84       | 1,00       | 0,22  | 21,07      | 0,26       | 0,774      |
|                      | Stěny   | 15    | 1,00      | 1,00         | 25,00     | 25,00 | 0,84       | 1,00       | 0,22  | 21,07      | 0,26       | 0,774      |
|                      | Štíty   | 15    | 1,00      | 1,00         | 25,00     | 25,00 | 0,84       | 1,00       | 0,22  | 21,07      | 0,26       | 0,774      |
| Nadmořská výška      | 275 m.n.m   |       |           |              |           |       |            |            |       |            |            |            |
| Terén                | terén III. - oblasti rovnoměrně pokryté vegetací nebo budovami (vesnice, předměstský terén, souvislý les) |       |           |              |           |       |            |            |       |            |            |            |

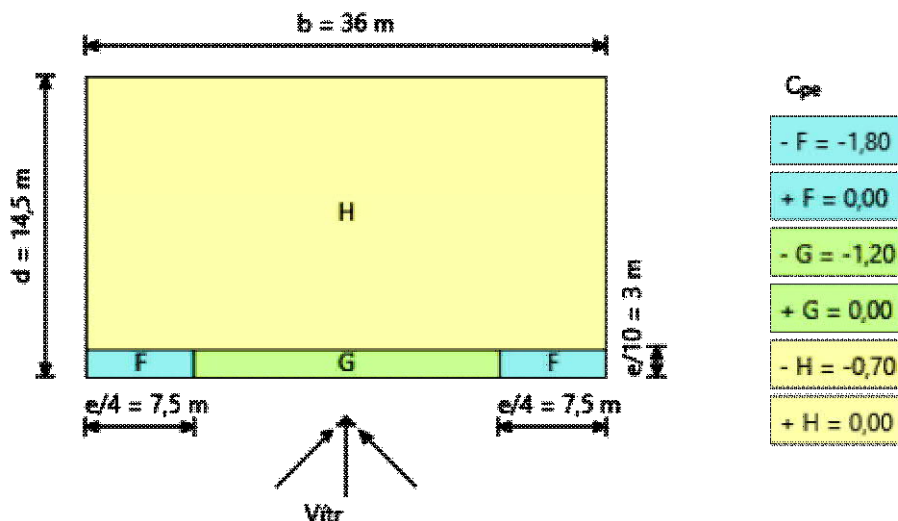
### Střeška

Plochá střeška

Jednoduchý objekt

| Půdorysné rozměry objektu: |        |
|----------------------------|--------|
| Šířka                      | 14,5 m |
| Délka                      | 36 m   |

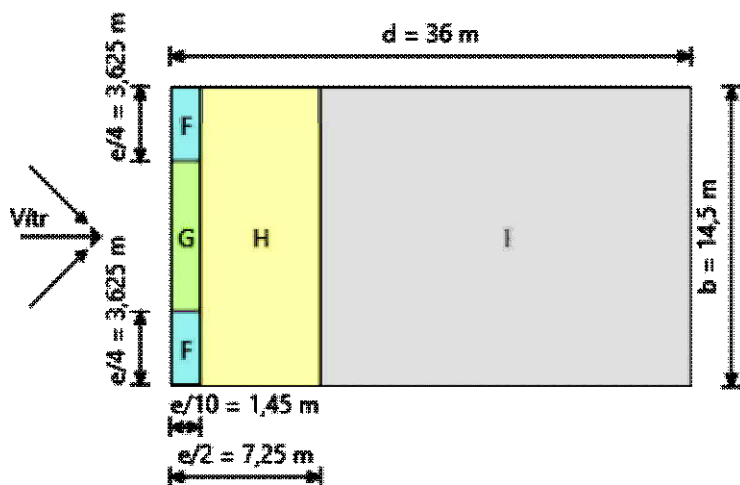
Součinitele vnějšího tlaku  $C_{pe}$  - Střeška





# PROFILFORM DESIGNER

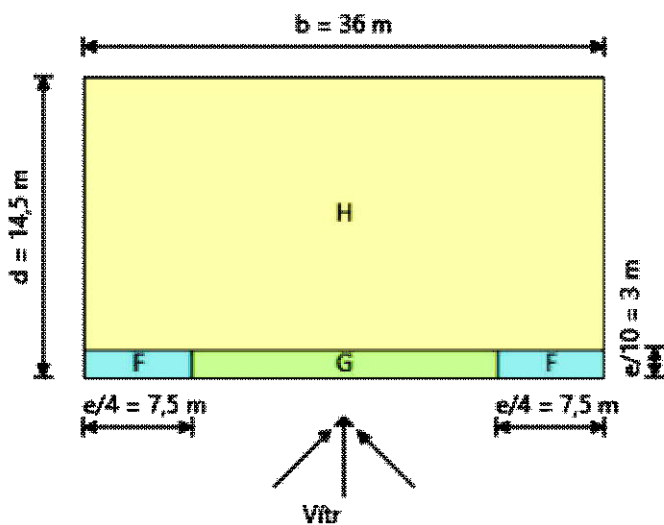
|             |  |                 |                       |
|-------------|--|-----------------|-----------------------|
| Projektant: |  | Název akce:     | Sportovní hala Turnov |
| Společnost: |  | Místo stavby:   |                       |
| Adresa:     |  | Číslo projektu: |                       |
| Telefon:    |  | Název souboru:  |                       |
| E-mail:     |  | Datum:          | 28.09.2021            |



**C<sub>pe</sub>**

|             |
|-------------|
| - F = -1,80 |
| + F = 0,00  |
| - G = -1,20 |
| + G = 0,00  |
| - H = -0,70 |
| + H = 0,00  |
| + I = 0,20  |
| - I = -0,20 |

## Zatížení větrem W<sub>10</sub> - Střecha



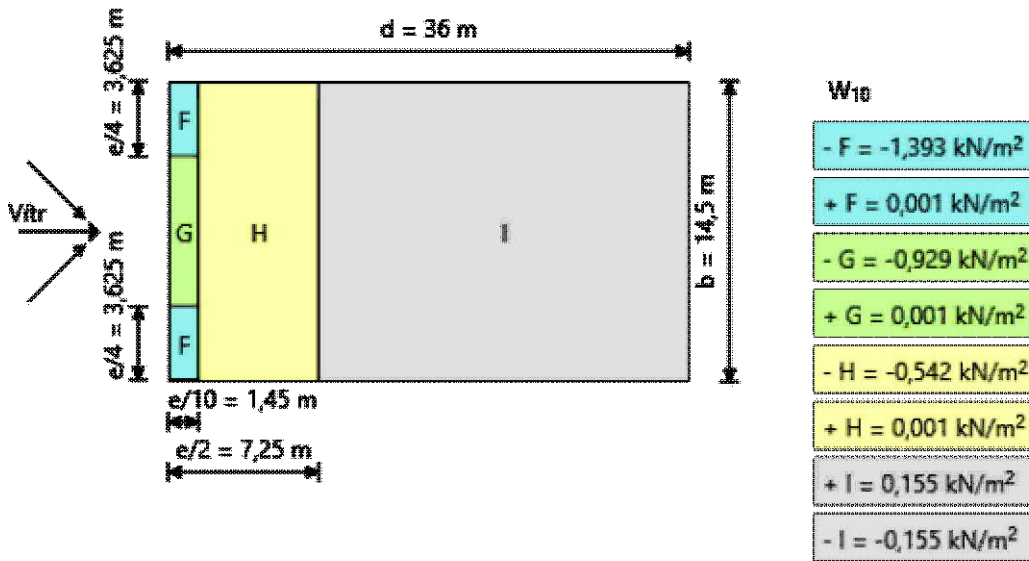
**W<sub>10</sub>**

|                                |
|--------------------------------|
| - F = -1,393 kN/m <sup>2</sup> |
| + F = 0,001 kN/m <sup>2</sup>  |
| - G = -0,929 kN/m <sup>2</sup> |
| + G = 0,001 kN/m <sup>2</sup>  |
| - H = -0,542 kN/m <sup>2</sup> |
| + H = 0,001 kN/m <sup>2</sup>  |



# PROFILFORM DESIGNER

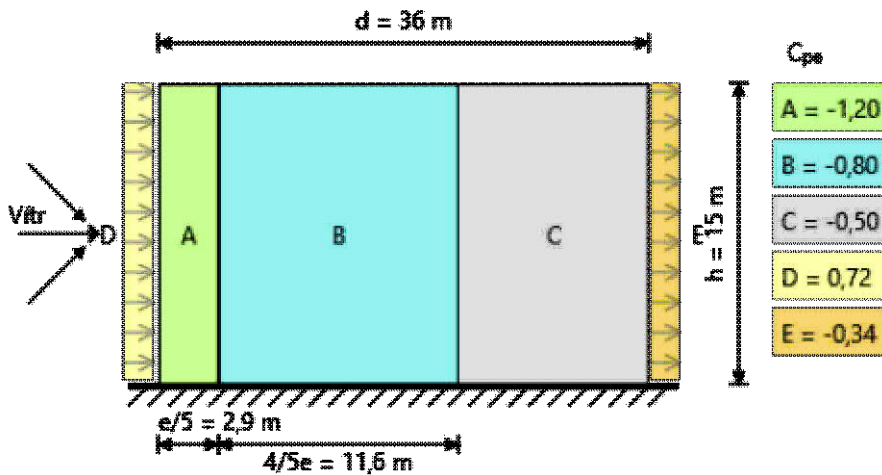
|             |  |                 |                       |
|-------------|--|-----------------|-----------------------|
| Projektant: |  | Název akce:     | Sportovní hala Turnov |
| Společnost: |  | Místo stavby:   |                       |
| Adresa:     |  | Číslo projektu: |                       |
| Telefon:    |  | Název souboru:  |                       |
| E-mail:     |  | Datum:          | 28.09.2021            |



## Stěna

| Půdorysné rozměry objektu: |        |
|----------------------------|--------|
| Šířka                      | 14,5 m |
| Délka                      | 36 m   |

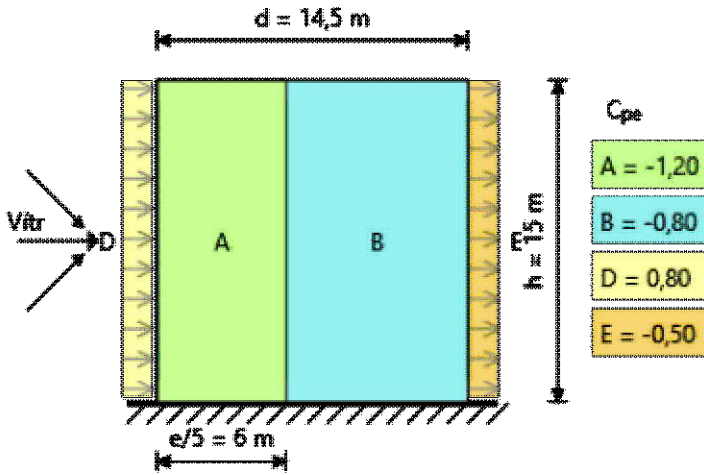
## Součinitele vnějšího tlaku C<sub>pe</sub> - Stěny



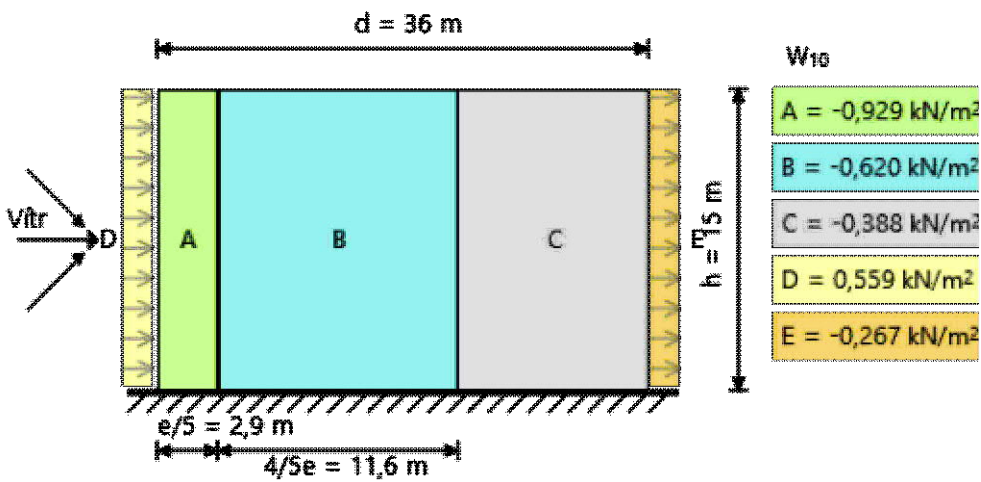


# PROFILFORM DESIGNER

|             |  |                 |                       |
|-------------|--|-----------------|-----------------------|
| Projektant: |  | Název akce:     | Sportovní hala Turnov |
| Společnost: |  | Místo stavby:   |                       |
| Adresa:     |  | Číslo projektu: |                       |
| Telefon:    |  | Název souboru:  |                       |
| E-mail:     |  | Datum:          | 28.09.2021            |



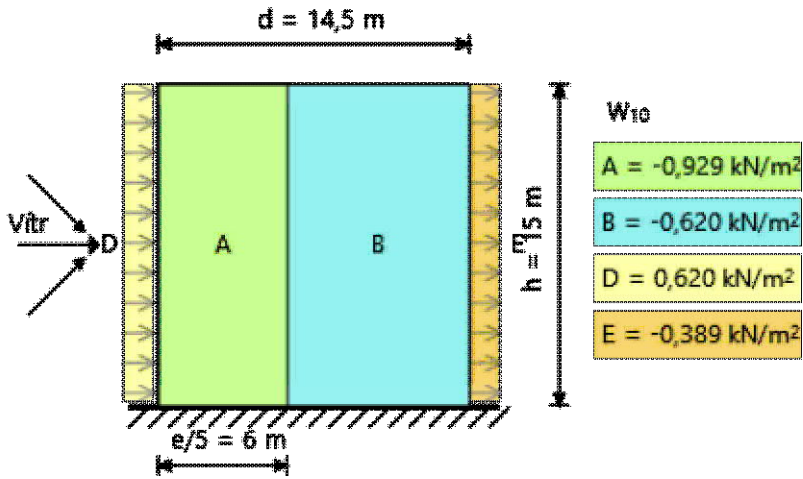
## Zatížení větrem W<sub>10</sub> - Stěny





# PROFILFORM DESIGNER

|             |  |                 |                       |
|-------------|--|-----------------|-----------------------|
| Projektant: |  | Název akce:     | Sportovní hala Turnov |
| Společnost: |  | Místo stavby:   |                       |
| Adresa:     |  | Číslo projektu: |                       |
| Telefon:    |  | Název souboru:  |                       |
| E-mail:     |  | Datum           | 28.09.2021            |



2) TRAPEZOVÝ PŮECH STŘECHY

$L = 4,6 \text{ m}$  SPOJ. NOSNÍK O 2 POLÍCH

$$q_k = 1,6 + 1,0 \text{ kN/m}^2$$

⇒ PROFIL TR 160/250/1,0 mm S 320 GD

3) ŽB VAZNICE STŘECHY

$L = 6,0 \text{ m}$   $B = 4,6 \text{ m}$

$$q_k = 1,6 * 4,6 + 2T * 0,2 * 0,4 = 9,4 \text{ kN/m}^2$$

$$q_k = 1,0 * 4,6 = 4,6 \text{ kN/m}^2$$

TRUBICE 200x400 C40/50

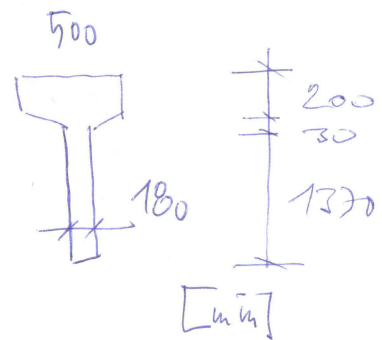
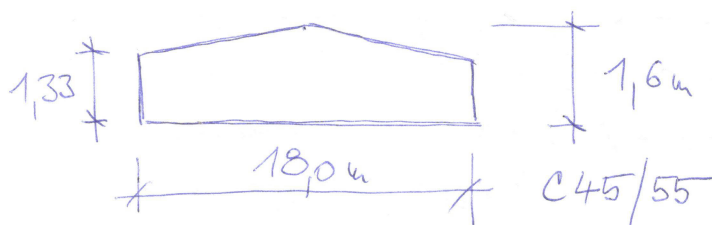
4) ŽB VAZNÍK

$L = 18,0 \text{ m}$   $B = 6,0 \text{ m}$

$$q_k = 2,0 * 6,0 = 12,0 \text{ kN/m}^2$$

$$q_k = 1,0 * 6,0 = 6,0 \text{ kN/m}^2$$

$$F_k = 10 \text{ kN } 1/2 L$$



5) STROP 1. NP

$$L = 6,0 \text{ m} \quad B = 1,2 \text{ m}$$

$$f_k = 3,8 + 5,0 \text{ kN/m}^2$$

DUTIN. PANEL TL. 250 mm

$$f_d = 1,2 * (7,0 * 1,35 + 5,0 * 1,5) = 20,3 \text{ kN/m}^2$$

$$M_{ED} = \frac{1}{8} * 20,3 * 6,0^2 = 91,4 \text{ kNm}$$

$$V_{ED} = \frac{1}{2} * 20,3 * 6,0 = 60,9 \text{ kN}$$

6) ŽB NOSNÍK FASÁDY

$$L = 6,0 \text{ m} \quad H = 7,4 \text{ m}$$

SVISLÉ ZATÍŽENÍ - CÍH. VYZDÍVANÁ + FASÁDA  
VODOR. ZATÍŽENÍ - VĚTR

VYTIŽENÍ STĚLY PŘEVZATÉ Z VÝPOČTU  
V SW SCIA ENG. 20

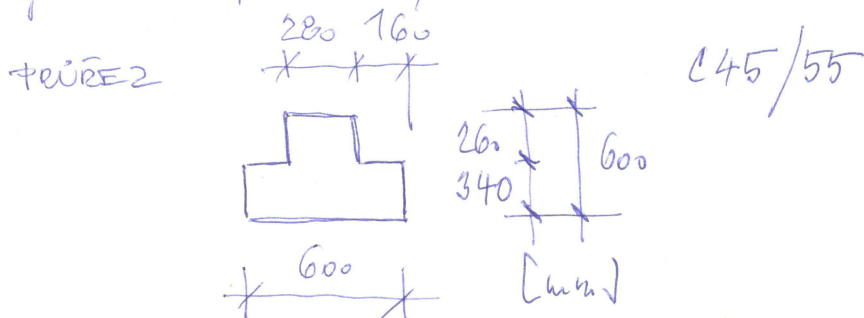
PRŮŘEZ 400 x 600 C45/55

7) PŘÍMAK STROPU 1. NP - VYTIŽENÍ

$$L = 6,0 \text{ m} \quad B = 6,0 \text{ m}$$

$$g_k = 7,0 * 6,0 + 25 * 0,6 * 0,6 = 51,0 \text{ kN/m}^2$$

$$q_k = 5,0 * 6,0 = 30,0 \text{ kN/m}^2$$



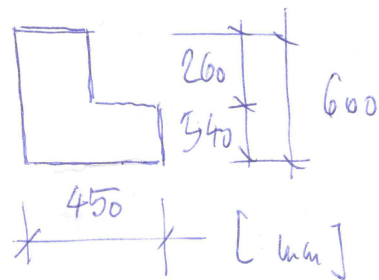
8) PRŮVLAK STROPU 1.NP - KRAJNÍ

$$L = 6,0 \text{ m} \quad b = 3,0 \text{ m} \quad H = 3,6 \text{ m}$$

|       |            |  |
|-------|------------|--|
| $q_k$ | vl. tíha   | $25 \times 0,6 \times 0,45 = 6,8 \text{ kN/m}^2$ |
|       | strop      | $3,0 \times 7,0 = 21,0$                          |
|       | ZDIVO/FAS. | $3,6 \times 4,0 = 14,4$                          |
|       |            | $\Sigma 42,2 \text{ kN/m}^2$                     |

$q_k: \quad 3,0 \times 5,0 = 15,0 \text{ kN/m}^2$

PRŮŘEZ



C45/55

## 2) trapézový plech

Kovové profily - ver. 1.1.7 - 1211 - Registrováno na: Ing. Filip Jandejsek - Ing. Filip Jandejsek - jandejs@gmail.com - 0031

|                      |                              |   |
|----------------------|------------------------------|---|
|                      | <b>Sportovní hala Turnov</b> |  |
| <b>střešní plech</b> | <b>lezecká hala</b>          |   |
|                      |                              |   |

### Profil: TR 160/250/1,00 - pozitivní dle ČSN EN 1993-1-3

#### Vstupní hodnoty

|                            |                           |                     |
|----------------------------|---------------------------|---------------------|
| Mez kluzu:                 |                           | 320 MPa             |
| Počet polí                 |                           | 2                   |
| Rozpětí                    |                           | 2 x 4,6 m           |
| Šířka vnitřních podpor     |                           | 200 mm              |
| Limit pro průhyb:          | - od celkového zatížení:  | L/300               |
|                            | - od nahodilého zatížení: | L/200               |
| Vzdálenost koncové podpory |                           | $c > 1,5 \cdot h_w$ |

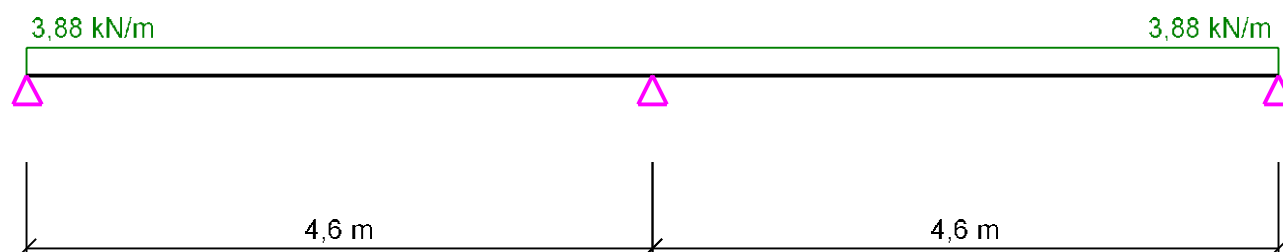
#### Zatížení

|                     | Stálé | Nahodilé |
|---------------------|-------|----------|
| Součinitel zatížení | 1,35  | 1,50     |

#### Spojité

|            | Charakteristické              |                                  | Návrhové celkem      |
|------------|-------------------------------|----------------------------------|----------------------|
|            | Stálé<br>[kN/m <sup>2</sup> ] | Nahodilé<br>[kN/m <sup>2</sup> ] | [kN/m <sup>2</sup> ] |
| Rovnoměrné | 1,76                          | 1,00                             | 3,88                 |

#### Statické schéma:



#### Výsledky výpočtu

##### Vyhovuje pro plech TR 160/250/1,00

Poměrné využití profilu **0,60 < 1,00**

##### Únosnost - poměrné využití profilu

|            |            |
|------------|------------|
| 1. pole    | 0,29 < 1,0 |
| 2. pole    | 0,29 < 1,0 |
| 1. podpora | 0,26 < 1,0 |
| 2. podpora | 0,60 < 1,0 |
| 3. podpora | 0,26 < 1,0 |

Plech v mezním stavu únosnosti vyhovuje

##### Použitelnost - poměrné využití profilu

|                      |                              |   |
|----------------------|------------------------------|---|
|                      | <b>Sportovní hala Turnov</b> |  |
| <b>střešní plech</b> | <b>lezecká hala</b>          |   |
|                      |                              |   |

1. pole 0,36 < 1,0  
2. pole 0,36 < 1,0

Plech v mezním stavu použitelnosti vyhovuje

**Celkový výsledek**

**Profil: TR 160/250/1,00 - pozitivní dle ČSN EN 1993-1-3 vyhovuje**

Autor statické části programu Doc. Ing. Tomáš VRANÝ CSc.

### 3) vaznice

Projekt: Sportovní hala Turnov  
 Číslo projektu: lezecká hala - vaznice  
 Autor:



## Materiály

### Beton

| Název   | $f_{ck}$<br>[MPa] | $f_{ctk,0.05}$<br>[MPa] | $f_{ctm}$<br>[MPa] | $E_{cm}$<br>[MPa] |
|---|-------------------|-------------------------|--------------------|-------------------|
| C40/50  | 40,0              | 2,5                     | 3,5                | 35220,5           |
| $\epsilon_{c2} = 20,0 \cdot 1e-4$ , $\epsilon_{cu2} = 500,0 \cdot 1e-4$ , Typ diagramu: Parabolický<br>Součinitel dotvarování: 2,50 |                   |                         |                    |                   |

### Výztuž

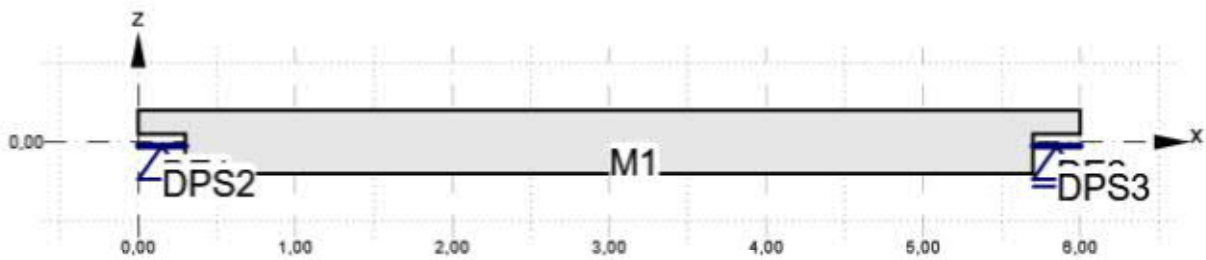
| Název   | $f_{yk}$<br>[MPa] | k<br>[-] | $E_s$<br>[MPa] | Jednotková hmotnost<br>[kg/m <sup>3</sup> ] | $\epsilon_{uk}$<br>[1e-4] | Povrch    |
|---|-------------------|----------|----------------|---|---------------------------|-----------|
| B 500B  | 500,0             | 1,08     | 200000,0       | 7850  | 500,0                     | Žebírkový |
| $\epsilon_{st} = 500,0 \cdot 1e-4$ , $\epsilon_{sc} = 500,0 \cdot 1e-4$ , |                   |          |                |   |                           |           |

## Průřezy

| Název                 | Materiál | Řídící      | Obrázek |
|-----------------------|----------|-------------|---------|
| 1 - Obdélník 400, 200 | C40/50   | Detail1: M1 |         |

## Detail1

## Geometrie

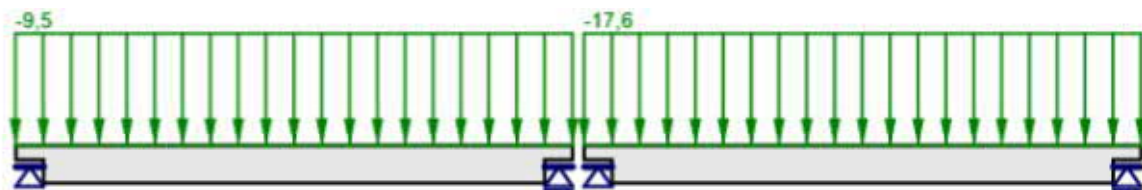


### Celková tabulka

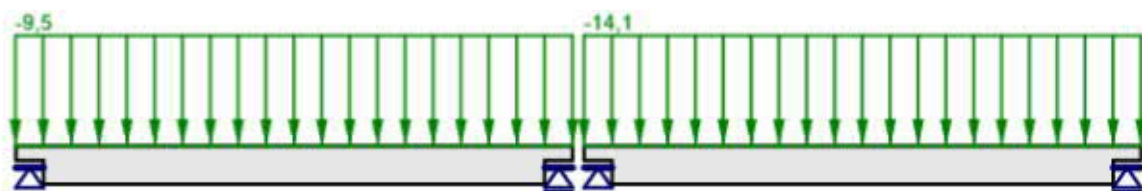
| Název | Typ                      | Vlastnosti                                    | Pozice                                 |
|-------|--------------------------|---|--|
| M1    | Prvek                    | L: 6,00 m; Průřez: 1;                         |  |
| DE1   | Ozub                     | W: 0,30 m; H: 0,25 m;                         | M: M1; MP: 1                           |
| DE2   | Ozub                     | W: 0,30 m; H: 0,25 m;                         | M: M1; MP: 2                           |
| DPS2  | Rozložená bodová podpora | X; Z; W: 0,30 m; Částečně zatížená plocha: Ne | M: M1; Hrana: 6; Od počátku; X: 0,15 m |
| DPS3  | Rozložená bodová podpora | Z; W: 0,30 m; Částečně zatížená plocha: Ne    | M: M1; Hrana: 5; Od konce; X: 0,15 m   |

## Zatížení

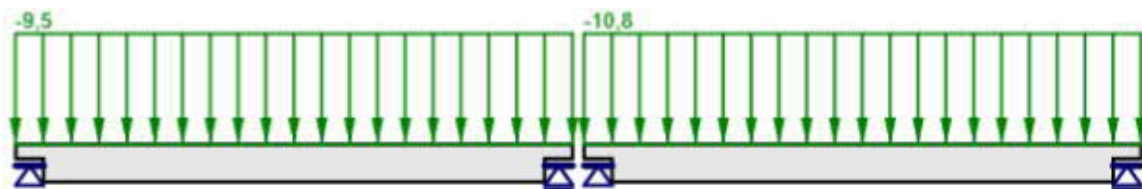
### MSÚZ(1), MSÚZ(2)



### MSPCh(4), MSPCh(5)



### MSPK(8), MSPK(9)



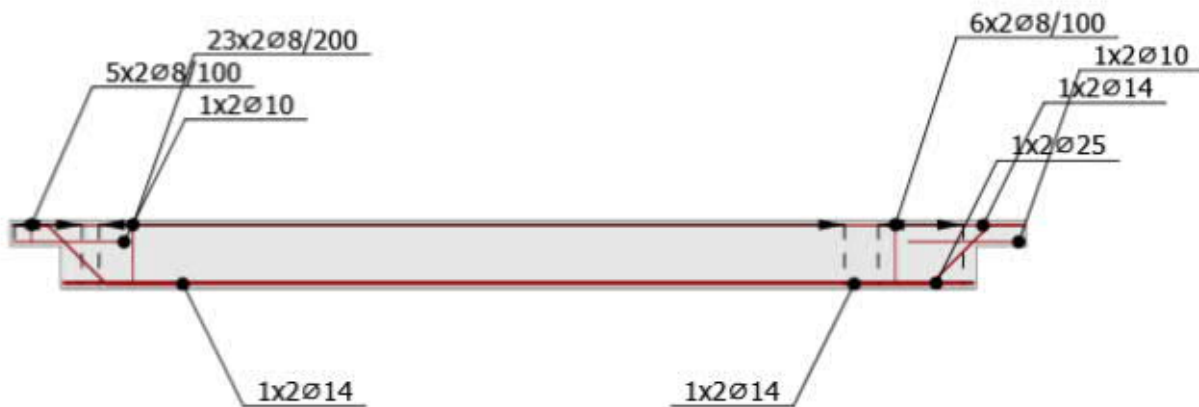
Projekt: Sportovní hala Turnov  
 Číslo projektu: lezecká hala - vaznice  
 Autor:

### Kombinace

| Název    | Typ                    | Obsah                     |
|----------|------------------------|---------------------------|
| MSÚZ(1)  | ULS                    | SW + G                    |
| MSÚZ(2)  | ULS                    | 1,35*SW + 1,35*G + 1,05*Q |
| MSPCh(4) | SLS - Charakteristická | SW + G                    |
| MSPCh(5) | SLS - Charakteristická | SW + G + Q                |
| MSPK(8)  | SLS - Kvazistálá       | SW + G                    |
| MSPK(9)  | SLS - Kvazistálá       | SW + G + 0,30*Q           |

### Výztuž

#### Schéma vyztužení



Beton: C40/50; Ocel : B 500B

### Výsledky

#### Celková tabulka

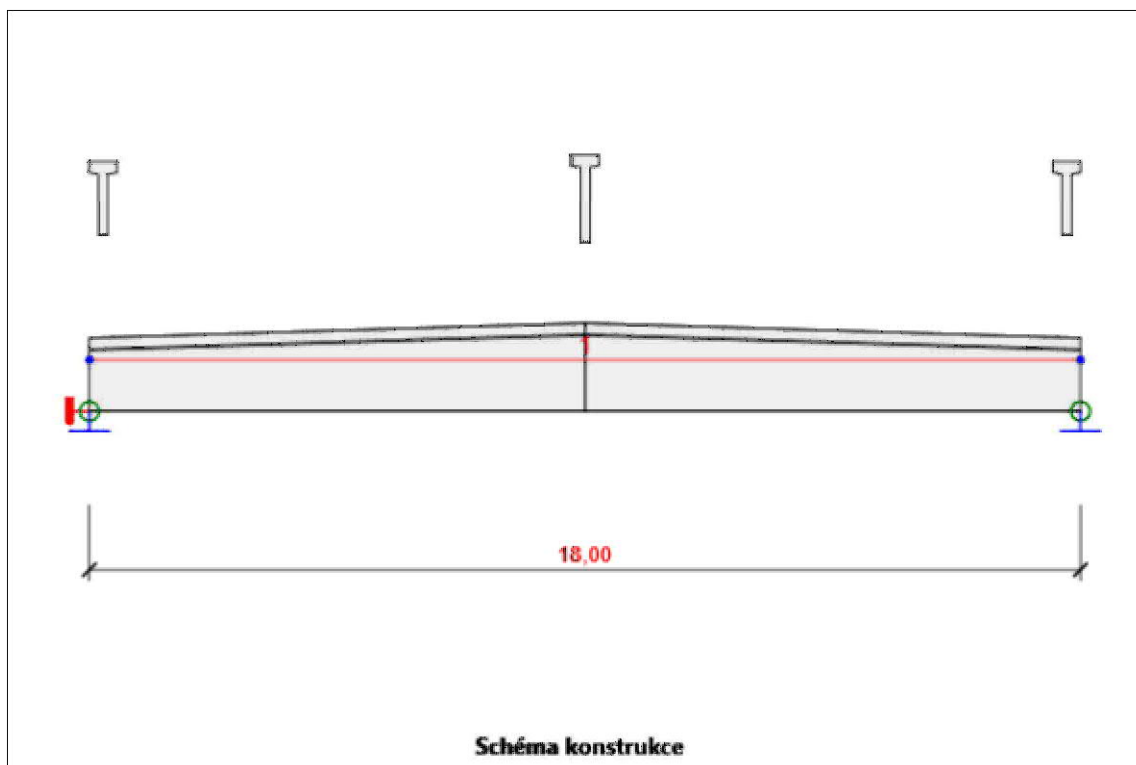
| Položka posudku | Kombinace    | Přirůstek                         | Položka          |         |         |   |
|-----------------|--------------|-----------------------------------|------------------|---------|---------|---|
| MSÚ             | MSÚZ(2)      | P100,0%, V100,0%                  | Pevnost výztuže  | ✓       |         |   |
| Položka posudku | Položka      | Využití                           |                  |         |         |   |
| Pevnost betonu  | M1           | σc/σc,lim: 56,2%                  |                  | ✓       |         |   |
| Pevnost výztuže | KD1          | εs/εs,lim: 7,3%, σs/σs,lim: 52,5% |                  | ✓       |         |   |
| Kotevní délka   | IB2          | rb/fbd: 99,8%                     |                  | ✓       |         |   |
| MSP             | MSPK(8) (LT) | P100,0%, V100,0%                  | Šířka trhlin     | ✓       |         |   |
| Položka posudku | Kombinace    | Přirůstek                         | Kritický posudek | Položka | Využití |   |
| Omezení napětí  | MSPK(8) (ST) | P100,0%, V100,0%                  | 7.2(3)           | M1      | 45,7%   | ✓ |
| Šířka trhlin    | MSPK(8) (LT) | P100,0%, V100,0%                  | w/wlim           | GB1     | 48,6%   | ✓ |

Projekt: Sportovní hala Turnov  
 Číslo projektu: lezecká hala - vazník  
 Autor:

**Obsah**

- 1 Geometrie
- 2 Zatěžovací stavy
- 3 Zatížení
- 4 Kombinace zatížení
- 5 Výsledky
- 6 Posouzení betonu

## 1 Geometrie



Směry zatížení a okrajové podmínky nemusí v rozvinutém pohledu souhlasit se skutečnými směry ve 3D

## Prvky

| Prvek | Délka [m] | Delta X [m] | Delta Y [m] | Průřez               |
|-------|-----------|-------------|-------------|----------------------|
| 1     | 18,00     | 18,00       | 0,00        | 1 - T tvar 1600, 500 |

## Náběhy

| Prvek | Typ        | Průřez na levém konci | Délka vlevo [m] | Průřez na pravém konci | Délka vpravo [m] |
|-------|------------|-----------------------|-----------------|------------------------|------------------|
| 1     | Symetrická | T tvar 1330, 500      | 9,00            | T tvar 1330, 500       | 9,00             |

## Uzly

| Uzel | X [m] | Y [m] | Z [m] | Podpora |
|------|-------|-------|-------|---------|
|------|-------|-------|-------|---------|

Projekt: Sportovní hala Turnov  
 Číslo projektu: lezecká hala - vazník  
 Autor:



| Uzel | X [m] | Y [m] | Z [m] | Podpora |
|------|-------|-------|-------|---------|
| 1    | 0,00  | 0,00  | 0,00  | XYZRx   |
| 2    | 18,00 | 0,00  | 0,00  | YZ      |

## 2 Zatěžovací stavy

| Název | Typ      | Skupina zatížení | Zatížení [kN/m] |
|-------|----------|------------------|-----------------|
| SW    | Stálé    | LG1              | 0,0             |
| G     | Stálé    | LG1              | -12,0           |
| Q     | Proměnné | LG2              | -6,0            |

### Skupiny stálých zatížení

| Název | Y <sub>G, sub</sub> [-] | Y <sub>G, inf</sub> [-] | ξ [-] |
|-------|-------------------------|-------------------------|-------|
| LG1   | 1,35                    | 1,00                    | 0,85  |

### Skupiny proměnných zatížení

| Název | Typ        | Y <sub>q</sub> [-] | ψ <sub>0</sub> [-] | ψ <sub>1</sub> [-] | ψ <sub>2</sub> [-] |
|-------|------------|--------------------|--------------------|--------------------|--------------------|
| LG2   | Výběrová   | 1,50               | 0,70               | 0,50               | 0,30               |
| LG3   | Standardní | 1,50               | 0,70               | 0,50               | 0,30               |

## 3 Zatížení

### Zatěžovací stav G

#### Bodová silová zatížení

| Prvek | Velikost [kN] | X [m] | Pozice | Směr       | E <sub>y</sub> [m] | E <sub>z</sub> [m] |
|-------|---------------|-------|--------|------------|--------------------|--------------------|
| 1     | -10,0         | 9,00  | X      | Globální Z | 0,00               | 0,00               |

## 4 Kombinace zatížení

| Název        | Typ          | Vyhodnocení              |
|--------------|--------------|--------------------------|
| <b>MSÚZ</b>  | MSÚ základní | Eurokód, vzorec 6.10 a,b |
| SW; G; Q     |              |                          |
| <b>MSPCh</b> | MSP char     | Eurokód, vzorec 6.14b    |
| SW; G; Q     |              |                          |
| <b>MSPČ</b>  | MSP častá    | Eurokód, vzorec 6.15b    |
| SW; G; Q     |              |                          |
| <b>MSPK</b>  | MSP kvazi    | Eurokód, vzorec 6.16b    |
| SW; G; Q     |              |                          |

## 5 Výsledky

Projekt: Sportovní hala Turnov  
 Číslo projektu: lezecká hala - vazník  
 Autor:

## Obálky

### Vnitřní síly, Extrém na prvku, Síly k těžišti

| Prvek | Kombinace | Pozice [m] | N [kN] | V <sub>y</sub> [kN] | V <sub>z</sub> [kN] | M <sub>x</sub> [kNm] | M <sub>y</sub> [kNm] | M <sub>z</sub> [kNm] |
|-------|-----------|------------|--------|---------------------|---------------------|----------------------|----------------------|----------------------|
| 1     | MSÚZ(3)   | 0,00       | -4,9   | 0,0                 | 308,3               | 0,0                  | 0,0                  | 0,0                  |
| 1     | MSÚZ(3)   | 9,00       | -0,1   | 0,0                 | 6,7                 | 0,0                  | 1428,5               | 0,0                  |
| 1     | MSÚZ(3)   | 18,00      | -4,9   | 0,0                 | -308,3              | 0,0                  | 0,0                  | 0,0                  |

| Kombinace | Popis kritických účinků zatížení |
|-----------|----------------------------------|
| MSÚZ(3)   | 1,35*SW + 1,35*G + 1,05*Q        |

### Deformace, Extrém na prvku,

| Prvek | Kombinace | Pozice [m] | u <sub>x</sub> [mm] | u <sub>y</sub> [mm] | u <sub>z</sub> [mm] | f <sub>i_x</sub> [mrad] | f <sub>i_y</sub> [mrad] | f <sub>i_z</sub> [mrad] |
|-------|-----------|------------|---------------------|---------------------|---------------------|-------------------------|-------------------------|-------------------------|
| 1     | MSPCh(7)  | 0,00       | 2,0                 | 0,0                 | 0,0                 | 0,0                     | 2,5                     | 0,0                     |
| 1     | MSPCh(7)  | 18,00      | 2,4                 | 0,0                 | 0,0                 | 0,0                     | -2,5                    | 0,0                     |
| 1     | MSPCh(7)  | 9,00       | 2,2                 | 0,0                 | -13,7               | 0,0                     | 0,0                     | 0,0                     |

| Kombinace | Popis kritických účinků zatížení |
|-----------|----------------------------------|
| MSPCh(7)  | SW + G + Q                       |

### Reakce

| Uzel | Kombinace | R <sub>x</sub> [kN] | R <sub>y</sub> [kN] | R <sub>z</sub> [kN] | M <sub>x</sub> [kNm] | M <sub>y</sub> [kNm] | M <sub>z</sub> [kNm] |
|------|-----------|---------------------|---------------------|---------------------|----------------------|----------------------|----------------------|
| 1    | MSÚZ(3)   | 0,0                 | 0,0                 | 308,4               | 0,0                  | 0,0                  | 0,0                  |
| 2    | MSÚZ(3)   | 0,0                 | 0,0                 | 308,4               | 0,0                  | 0,0                  | 0,0                  |

| Kombinace | Popis kritických účinků zatížení |
|-----------|----------------------------------|
| MSÚZ(3)   | 1,35*SW + 1,35*G + 1,05*Q        |

## 6 Posouzení betonu

### Národní norma

|               |                     |
|---------------|---------------------|
| Národní norma | EN 1992-1-1:2014-12 |
| Životnost     | 50 let              |

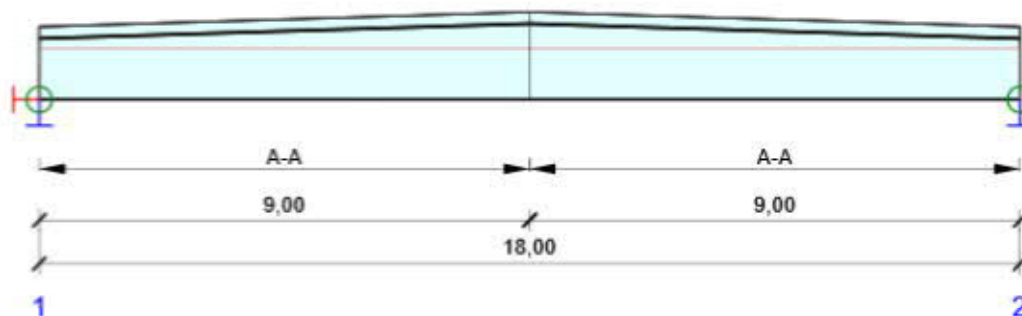
## 4) vazník

Projekt: Sportovní hala Turnov

Číslo projektu: lezecká hala - vazník

Autor:

### Schéma vyztužení



### Souhrn posudků řezů



| Kombinace                               | $N_{Ed}$<br>[kN]                 | $M_{Ed,y}$<br>[kNm] | $V_{Ed}$<br>[kN] | Hodnota<br>[%] | Posudek |
|---|----------------------------------|---------------------|------------------|----------------|---------|
| Únosnost N-M-M, Zóna: A-A (6,00 - 9,00) |                                  |                     |                  |                |         |
| MSÚZ(3)                                 | 0,0                              | 1428,5              | -6,8             | 60,1           | OK      |
| Smyk, Zóna: A-A (15,00 - 18,00)         |                                  |                     |                  |                |         |
| MSÚZ(3)                                 | 0,0                              | 0,0                 | -308,4           | 68,9           | OK      |
| Kroucení, Zóna: A-A (0,00 - 3,00)       |                                  |                     |                  |                |         |
| MSÚZ(3)                                 | 0,0                              | 0,0                 | 308,4            | 0,0            | OK      |
| Interakce, Zóna: A-A (6,00 - 9,00)      |                                  |                     |                  |                |         |
| MSÚZ(3)                                 | 0,0                              | 1401,2              | 43,6             | 67,7           | OK      |
| Omezení napětí, Zóna: A-A (6,00 - 9,00) |                                  |                     |                  |                |         |
| MSPCh(7)                                | 0,0                              | 1112,1              | 5,0              | 62,2           | OK      |
| Šířka trhliny, Zóna: A-A (6,00 - 9,00)  |                                  |                     |                  |                |         |
| MSPK(11)                                | 0,0                              | 942,0               | 5,0              | 35,5           | OK      |
| Kombinace                               | Popis kritických účinků zatížení |                     |                  |                |         |
| MSÚZ(3)                                 | 1,35*SW + 1,35*G + 1,05*Q        |                     |                  |                |         |
| MSPCh(7)                                | SW + G + Q                       |                     |                  |                |         |
| MSPK(11)                                | SW + G + 0,3*Q                   |                     |                  |                |         |

Projekt: Sportovní hala Turnov

Číslo projektu: lezecká hala - vazník

Autor:



## Souhrn posudků průhybů

| $d_x$<br>[m]    | $u_{z,lin}$<br>[mm] | $u_{z,st}$<br>[mm] | $u_{z,ll}$<br>[mm] | $u_{z,lt}$<br>[mm] | $u_{z,lim} (\pm)$<br>[mm] | Hodnota<br>[%] | Posudek |
|-----------------|---------------------|--------------------|--------------------|--------------------|---------------------------|----------------|---------|
| Celkové průhyby |                     |                    |                    |                    |                           |                |         |
| 9,00            | -13,7               | -30,6              | -40,3              | -46,4              | 72,0                      | 64,5           | OK      |

### Kombinace vybrané pro posudek průhybů

| Název    | Typ        | Popis           |
|----------|------------|-----------------|
| MSPCh(7) | Celkem     | SW + G + Q      |
|          | Dlouhodobé | SW + G + 0,30*Q |

## 6) nosník fasády



Calculate yesterday's estimates

### 1 Data projektu

|                           |                              |
|---------------------------|------------------------------|
| Název projektu            | Sportovní hala Turnov        |
| Popis                     | lezecká hala - nosník fasády |
| Autor                     | -- nezadáno --               |
| Datum vytvoření protokolu | 06.09.2021                   |
| Verze                     | 21.0.3.746                   |

#### Národní norma

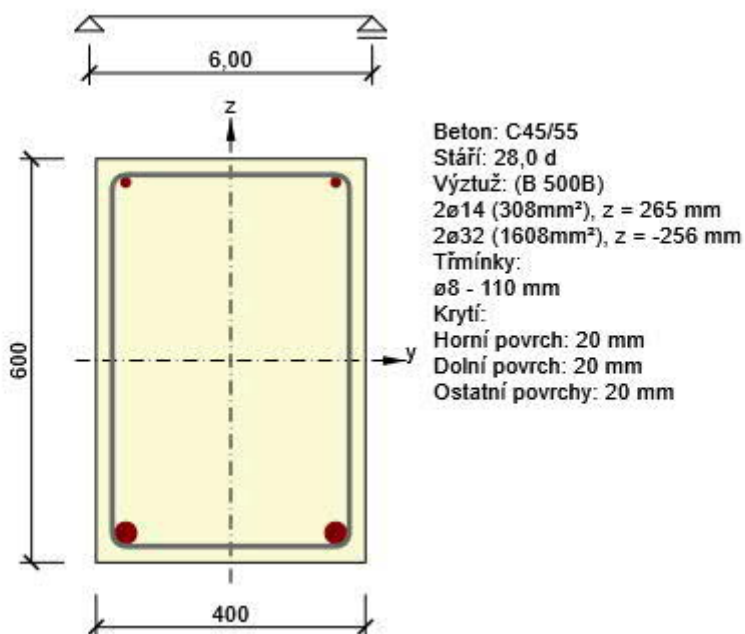
|                    |                     |
|--------------------|---------------------|
| Národní norma      | EN 1992-1-1:2014-12 |
| Návrhová životnost | 50 let              |

## 2 Posouzení řezů

### 2.1 Řez S 1

#### 2.1.1 Extrém S 1 - E 1

|                  |               |
|------------------|---------------|
| Dimenzační dílec | Nosník fasády |
| Vyztužený průřez | Nosník fasády |



##### 2.1.1.1 Účinky zatížení - vnitřní síly

| Typ zatížení | Typ kombinace    | N<br>[kN] | V <sub>y</sub><br>[kN] | V <sub>z</sub><br>[kN] | T<br>[kNm] | M <sub>y</sub><br>[kNm] | M <sub>z</sub><br>[kNm] |
|--------------|------------------|-----------|------------------------|------------------------|------------|-------------------------|-------------------------|
| Celkové      | Základní MSÚ     | 19,0      | 11,0                   | 92,0                   | 25,0       | 152,0                   | 80,0                    |
| Celkové      | Charakteristická | 15,0      | 0,0                    | 0,0                    | 0,0        | 113,0                   | 48,0                    |
| Celkové      | Kvazistálá       | 12,0      | 0,0                    | 0,0                    | 0,0        | 105,0                   | 0,0                     |

##### 2.1.1.2 Souhrn

| Rozhodující typ posudku | N <sub>Ed</sub><br>[kN] | M <sub>Ed,y</sub><br>[kNm] | M <sub>Ed,z</sub><br>[kNm] | V <sub>Ed</sub><br>[kN] | T <sub>Ed</sub><br>[kNm] | Hodnota<br>[%] | Posudek |
|-------------------------|-------------------------|----------------------------|----------------------------|-------------------------|--------------------------|----------------|---------|
| Interakce               | 19,0                    | 152,0                      | 80,0                       | 92,7                    | 25,0                     | 99,9           | OK      |
| Typ posudku             | N <sub>Ed</sub><br>[kN] | M <sub>Ed,y</sub><br>[kNm] | M <sub>Ed,z</sub><br>[kNm] | V <sub>Ed</sub><br>[kN] | T <sub>Ed</sub><br>[kNm] | Hodnota<br>[%] | Posudek |
| Únosnost N-M-M          | 19,0                    | 152,0                      | 80,0                       |                         |                          | 60,3           | OK      |
| Smyk                    | 19,0                    |                            |                            | 92,7                    | 25,0                     | 23,7           | OK      |
| Kroucení                |                         |                            |                            |                         | 25,0                     | 19,9           | OK      |
| Interakce               | 19,0                    | 152,0                      | 80,0                       | 92,7                    | 25,0                     | 99,9           | OK      |
| Omezení napětí          | 15,0                    | 113,0                      | 48,0                       |                         |                          | 56,7           | OK      |
| Šířka trhliny           | 12,0                    | 105,0                      | 0,0                        |                         |                          | 60,0           | OK      |
| Ohybová štíhlost        | 12,0                    | 105,0                      | 0,0                        |                         |                          | 30,8           | OK      |

Mezní hodnota využití průřezu: 100,0 %

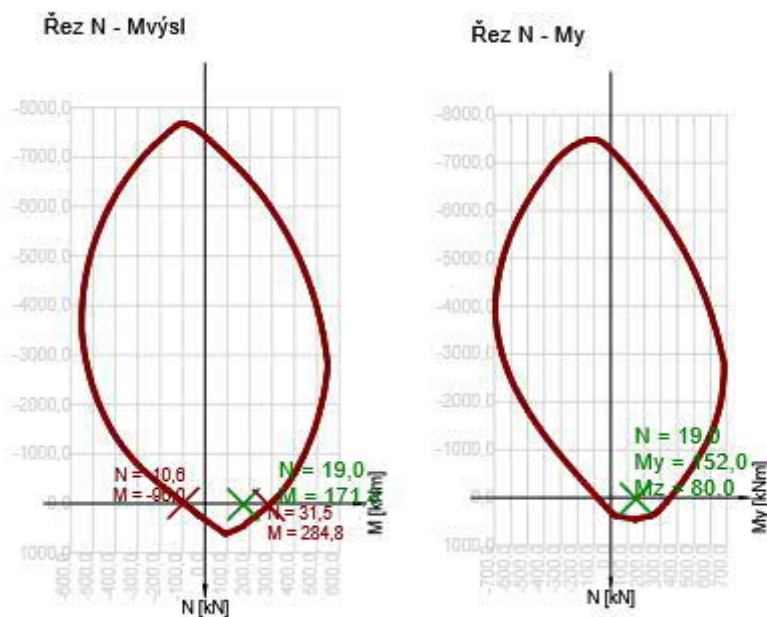
### 2.1.1.3 Únosnost N-M-M

Výsledky prezentovány pro kombinaci : Základní MSÚ

| $N_{Ed}$<br>[kN] | $M_{Ed,y}$<br>[kNm] | $M_{Ed,z}$<br>[kNm] | Typ      | Hodnota<br>[%] | Mez<br>[%] | Posudek |
|------------------|---------------------|---------------------|----------|----------------|------------|---------|
| 19,0             | 152,0               | 80,0                | Nu-Mu-Mu | 60,3           | 100,0      | OK      |

Návrhová únosnost při působení ohybového momentu a normálové síly

| Typ         | $F_{Ed}$ | $F_{Rd1}$ | $F_{Rd2}$ |
|-------------|----------|-----------|-----------|
| N [kN]      | 19,0     | 31,5      | -10,6     |
| $M_y$ [kNm] | 152,0    | 252,0     | -85,0     |
| $M_z$ [kNm] | 80,0     | 132,7     | -44,7     |



### 2.1.1.4 Smyk

Výsledky prezentovány pro kombinaci : Základní MSÚ

| $V_{Ed}$<br>[kN] | $N_{Ed}$<br>[kN] | $V_{Rd}$<br>[kN] | Posudek zóny | Článek   | Hodnota<br>[%] | Mez<br>[%] | Posudek |
|------------------|------------------|------------------|--------------|----------|----------------|------------|---------|
| 92,7             | 19,0             | 391,0            | bez redukce  | 6.2.3(3) | 23,7           | 100,0      | OK      |

Návrhové hodnoty posouvající síly a únosnosti ve smyku

| $V_{Ed}$<br>[kN] | $V_{Rd,c}$<br>[kN] | $V_{Rd,max}$<br>[kN] | $V_{Rd,r}$<br>[kN] | $V_{Rd,s}$<br>[kN] | $V_{Rd}$<br>[kN] |
|------------------|--------------------|----------------------|--------------------|--------------------|------------------|
| 92,7             | 139,2              | 1197,1               | 1669,5             | 391,0              | 391,0            |

Vstupní hodnoty a mezivýsledky posouzení smyku

| $n_c$             | $a_{sw}$<br>[mm <sup>2</sup> /m] | $A_{sI}$<br>[mm <sup>2</sup> ] | $b_w$<br>[mm]   | $d$<br>[mm]            | $z$<br>[mm]            | $\theta$<br>[°]    | $\alpha$<br>[°] | $\alpha_{cw}$<br>[-] |
|-------------------|----------------------------------|--------------------------------|-----------------|------------------------|------------------------|--------------------|-----------------|----------------------|
| 2                 | 907                              | 1762                           | 403             | 562                    | 458                    | 23,0               | 90,0            | 1,00                 |
| $C_{Rd,c}$<br>[-] | $k$<br>[-]                       | $k_1$<br>[-]                   | $\rho_l$<br>[-] | $\sigma_{cp}$<br>[MPa] | $\sigma_{wd}$<br>[MPa] | $v_{min}$<br>[MPa] | $v$<br>[-]      | $v_1$<br>[-]         |
| 0,12              | 1,60                             | 0,15                           | 0,01            | -0,1                   | 181,4                  | 0,5                | 0,49            | 0,60                 |

### 2.1.1.5 Kroucení

#### Výsledky prezentovány pro kombinaci : Základní MSÚ

| $T_{Ed}$<br>[kNm] | $T_{Rd}$<br>[kNm] | Hodnota<br>[%] | Mez<br>[%] | Posudek |
|-------------------|-------------------|----------------|------------|---------|
| 25,0              | 125,5             | 19,9           | 100,0      | OK      |

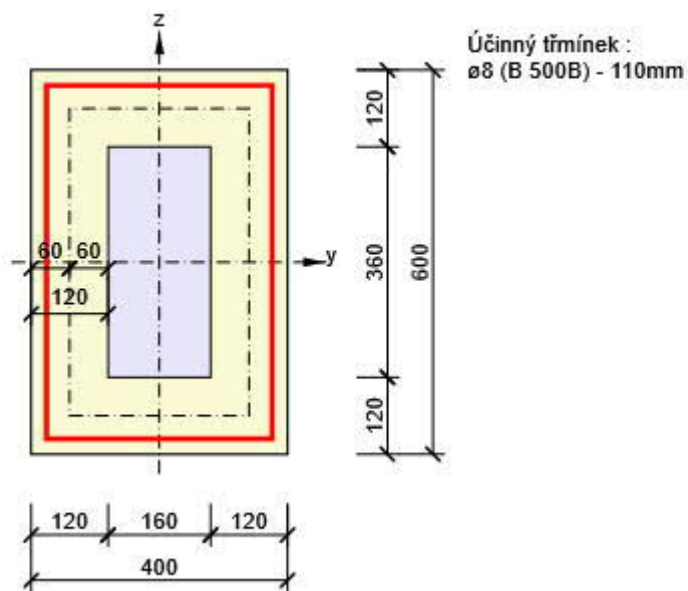
#### Návrhové hodnoty kroučícího momentu a únosnosti v kroucení

| $T_{Ed}$<br>[kNm] | $T_{Rd,c}$<br>[kNm] | $T_{Rd,max}$<br>[kNm] | $T_{Rd,s}$<br>[kNm] | $T_{Rd}$<br>[kNm] |
|-------------------|---------------------|-----------------------|---------------------|-------------------|
| 25,0              | 57,1                | 171,5                 | 125,5               | 125,5             |

#### Vstupní hodnoty a mezivýsledky posouzení kroucení

| $A_k$<br>[mm <sup>2</sup> ] | $u_k$<br>[mm] | $t_{eff}$<br>[mm] | $a_{sw}$<br>[mm <sup>2</sup> /m] | $A_{sl}$<br>[mm <sup>2</sup> ] | $A_{sp}$<br>[mm <sup>2</sup> ] | $\theta$<br>[°] |
|-----------------------------|---------------|-------------------|----------------------------------|--------------------------------|--------------------------------|-----------------|
| 134400                      | 1520          | 120               | 457                              | 1916                           | 0                              | 23,0            |

Náhradní tenkostěnný průřez pro posouzení kroucení



### 2.1.1.6 Interakce

Výsledky prezentovány pro kombinaci : Základní MSÚ

| $N_{Ed}$<br>[kN] | $M_{Edy}$<br>[kNm] | $M_{Edz}$<br>[kNm] | $V_{Ed}$<br>[kN] | $T_{Ed}$<br>[kNm] | Hodnota V+T<br>[%] | Hodnota V+T+M<br>[%] | Hodnota<br>[%] | Mez<br>[%] | Posudek |
|------------------|--------------------|--------------------|------------------|-------------------|--------------------|----------------------|----------------|------------|---------|
| 19,0             | 152,0              | 80,0               | 92,7             | 25,0              | 61,6               | 99,9                 | 99,9           | 100,0      | OK      |

Posouzení interakce posouvající síly a kroucení (beton)

| $V_{Rd,c}$<br>[kN] | $T_{Rd,c}$<br>[kNm] | $V_{Rd,max}$<br>[kN] | $T_{Rd,max}$<br>[kNm] | rce. 6.31<br>[%] | rce. 6.29<br>[%] | Hodnota<br>[%] | Mez<br>[%] | Posudek |
|--------------------|---------------------|----------------------|-----------------------|------------------|------------------|----------------|------------|---------|
| 139,2              | 57,1                | 1197,1               | 171,5                 | 110,3            | 22,3             | 22,3           | 100,0      | OK      |

Posouzení interakce posouvající síly a kroucení (podélná výztuž)

| $A_{sI}$<br>[mm <sup>2</sup> ] | $F_{sI}$<br>[kN] | $F_{sI,lim}$<br>[kN] | Hodnota<br>[%] | Mez<br>[%] | Posudek |
|--------------------------------|------------------|----------------------|----------------|------------|---------|
| 1916                           | 550,1            | 892,9                | 61,6           | 100,0      | OK      |

Posouzení interakce posouvající síly a kroucení (smyková výztuž)

| $a_{sw}$<br>[mm <sup>2</sup> /m] | $F_{sw}$<br>[kN] | $F_{sw,lim}$<br>[kN] | Hodnota<br>[%] | Mez<br>[%] | Posudek |
|----------------------------------|------------------|----------------------|----------------|------------|---------|
| 457                              | 82,9             | 198,7                | 41,7           | 100,0      | OK      |

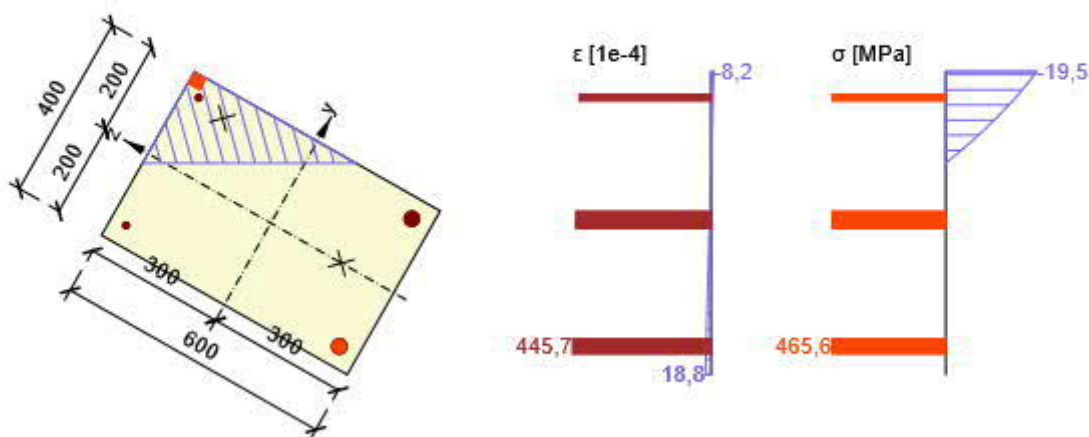
Posouzení interakce posouvající síly, kroucení, ohybu a normálové síly

| $F_b$<br>[kN] | $\Delta F_{td,s}$<br>[kN] | $\Delta F_{td,t}$<br>[kN] | $\Delta \epsilon_s$<br>[1e-4] | $\Delta \epsilon_t$<br>[1e-4] | Extrém ve vložce | Hodnota<br>[%] | Mez<br>[%] | Posudek |
|---------------|---------------------------|---------------------------|-------------------------------|-------------------------------|------------------|----------------|------------|---------|
| 341,2         | 217,8                     | 332,3                     | 5,9                           | 423,5                         | 3                | 99,9           | 100,0      | OK      |

Podrobné posouzení výztuže

| Vložka | $y_i$<br>[mm] | $z_i$<br>[mm] | $\Delta \epsilon_{st}$<br>[1e-4] | $\epsilon$<br>[1e-4] | $\epsilon_{lim}$<br>[1e-4] | $\Delta \sigma_{st}$<br>[MPa] | $\sigma$<br>[MPa] | $\sigma_{lim}$<br>[MPa] | Hodnota<br>[%] | Posudek |
|--------|---------------|---------------|----------------------------------|----------------------|----------------------------|-------------------------------|-------------------|-------------------------|----------------|---------|
| 3      | -156          | -256          | 429,4                            | 445,7                | 450,0                      | 139,3                         | 465,6             | 465,9                   | 99,9           | OK      |

Průběh napětí a poměrného přetvoření v průřezu



### 2.1.1.7 Omezení napětí

#### Omezení napětí - krátkodobé účinky

| Typ posudku | Část průřezu    | Index | $\sigma$<br>[MPa] | $\sigma_{lim}$<br>[MPa] | Hodnota<br>[%] | Mez<br>[%] | Posudek |
|-------------|-----------------|-------|-------------------|-------------------------|----------------|------------|---------|
| 7.2(5)-Char | Výztužná vložka | 3     | 208,9             | 400,0                   | 52,2           | 100,0      | OK      |

#### Omezení napětí - dlouhodobé účinky

| Typ posudku | Část průřezu    | Index | $\sigma$<br>[MPa] | $\sigma_{lim}$<br>[MPa] | Hodnota<br>[%] | Mez<br>[%] | Posudek |
|-------------|-----------------|-------|-------------------|-------------------------|----------------|------------|---------|
| 7.2(5)-Char | Výztužná vložka | 3     | 226,8             | 400,0                   | 56,7           | 100,0      | OK      |

#### Podrobné posouzení betonu - krátkodobé účinky

| Typ posudku  | Vlákno | $y_i$<br>[mm] | $z_i$<br>[mm] | $N$<br>[kN] | $M_y$<br>[kNm] | $M_z$<br>[kNm] | $\sigma$<br>[MPa] | $\sigma_{lim}$<br>[MPa] | Hodnota<br>[%] | Posudek |
|--------------|--------|---------------|---------------|-------------|----------------|----------------|-------------------|-------------------------|----------------|---------|
| 7.2(3)-Quasi | 3      | 200           | 300           | 12,0        | 105,0          | 0,0            | -7,3              | -20,3                   | 35,9           | OK      |

#### Podrobné posouzení výztuže - krátkodobé účinky

| Typ posudku | Vložka | $y_i$<br>[mm] | $z_i$<br>[mm] | $N$<br>[kN] | $M_y$<br>[kNm] | $M_z$<br>[kNm] | $\sigma$<br>[MPa] | $\sigma_{lim}$<br>[MPa] | Hodnota<br>[%] | Posudek |
|-------------|--------|---------------|---------------|-------------|----------------|----------------|-------------------|-------------------------|----------------|---------|
| 7.2(5)-Char | 3      | -156          | -256          | 15,0        | 113,0          | 48,0           | 208,9             | 400,0                   | 52,2           | OK      |

#### Podrobné posouzení betonu - dlouhodobé účinky

| Typ posudku  | Vlákno | $y_i$<br>[mm] | $z_i$<br>[mm] | $N$<br>[kN] | $M_y$<br>[kNm] | $M_z$<br>[kNm] | $\sigma$<br>[MPa] | $\sigma_{lim}$<br>[MPa] | Hodnota<br>[%] | Posudek |
|--------------|--------|---------------|---------------|-------------|----------------|----------------|-------------------|-------------------------|----------------|---------|
| 7.2(3)-Quasi | 3      | 200           | 300           | 12,0        | 105,0          | 0,0            | -5,1              | -20,3                   | 25,1           | OK      |

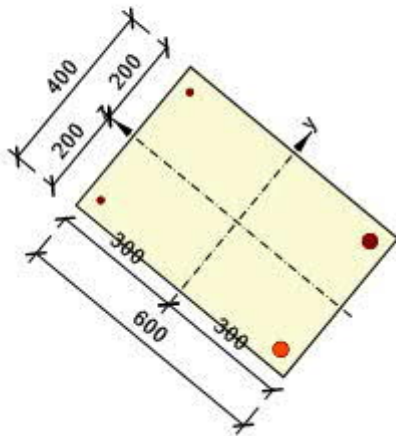
#### Podrobné posouzení výztuže - dlouhodobé účinky

| Typ posudku | Vložka | $y_i$<br>[mm] | $z_i$<br>[mm] | $N$<br>[kN] | $M_y$<br>[kNm] | $M_z$<br>[kNm] | $\sigma$<br>[MPa] | $\sigma_{lim}$<br>[MPa] | Hodnota<br>[%] | Posudek |
|-------------|--------|---------------|---------------|-------------|----------------|----------------|-------------------|-------------------------|----------------|---------|
| 7.2(5)-Char | 3      | -156          | -256          | 15,0        | 113,0          | 48,0           | 226,8             | 400,0                   | 56,7           | OK      |

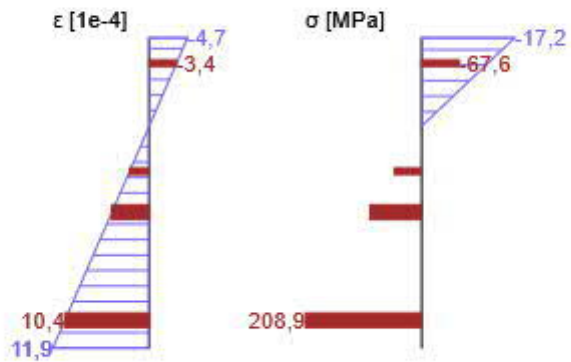
#### Součinitel dotvarování

| Způsob určení | $h_0$<br>[mm] | $A_c$<br>[mm <sup>2</sup> ] | $u$<br>[mm] | $t$<br>[d] | $t_0$<br>[d] | $t_s$<br>[d] | RH<br>[%] | Použití $\gamma_{lt}$ | $\varphi(t, t_0)$<br>[-] |
|---------------|---------------|-----------------------------|-------------|------------|--------------|--------------|-----------|-----------------------|--------------------------|
| Automatické   | 240           | 240000                      | 2000        | 18250,0    | 28,0         | 7,0          | 65        | Ne                    | 1,42                     |

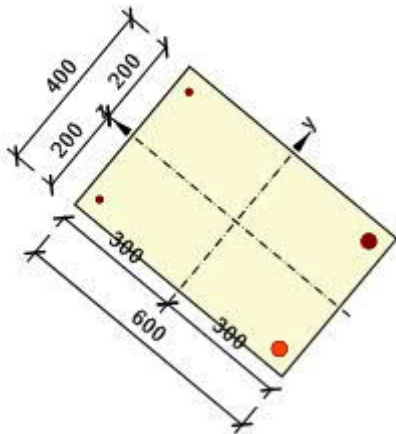
Průběh napětí a poměrného přetvoření v průřezu



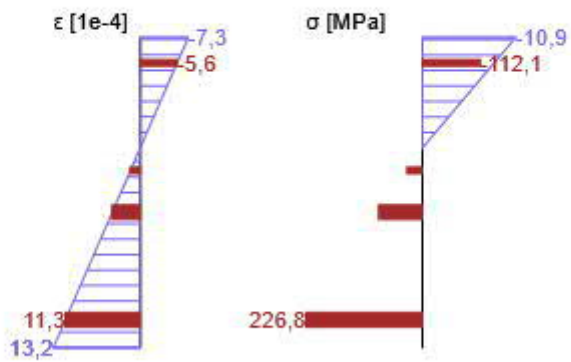
Výsledky uváděné pro:  
 - Charakteristická kombinace  
 - Tuhosti pro krátkodobé účinky



Průběh napětí a poměrného přetvoření v průřezu



Výsledky uváděné pro:  
 - Charakteristická kombinace  
 - Tuhosti pro dlouhodobé účinky



### 2.1.1.8 Šířka trhlin

#### Šířka trhlin - krátkodobé účinky

| Kombinace | N [kN] | M <sub>y</sub> [kNm] | M <sub>z</sub> [kNm] | w <sub>k</sub> [mm] | w <sub>lim</sub> [mm] | Hodnota [%] | Mez [%] | Posudek |
|-----------|--------|----------------------|----------------------|---------------------|-----------------------|-------------|---------|---------|
| Kvazi     | 12,0   | 105,0                | 0,0                  | 0,240               | 0,400                 | 60,0        | 100,0   | OK      |

#### Šířka trhlin - dlouhodobé účinky

| Kombinace | N [kN] | M <sub>y</sub> [kNm] | M <sub>z</sub> [kNm] | w <sub>k</sub> [mm] | w <sub>lim</sub> [mm] | Hodnota [%] | Mez [%] | Posudek |
|-----------|--------|----------------------|----------------------|---------------------|-----------------------|-------------|---------|---------|
| Kvazi     | 12,0   | 105,0                | 0,0                  | 0,230               | 0,400                 | 57,4        | 100,0   | OK      |

#### Mezivýsledky a součinitele pro výpočet šířky trhlin - krátkodobé účinky

| x [mm]             | h <sub>c,eff</sub> [mm]                 | d [mm]                | A <sub>c,eff</sub> [mm <sup>2</sup> ] | A <sub>s,eff</sub> [mm <sup>2</sup> ] | P <sub>p,eff</sub> [-] |
|--------------------|---|-----------------------|---------------------------------------|---------------------------------------|------------------------|
| 130                | 110                                     | 556                   | 44000                                 | 1608                                  | 0,04                   |
| k <sub>t</sub> [-] | ε <sub>sm</sub> -ε <sub>cm</sub> [1e-4] | k <sub>1</sub> [-]    | k <sub>2</sub> [-]                    | k <sub>3</sub> [-]                    | k <sub>4</sub> [-]     |
| 0,60               | 3,9                                     | 0,80                  | 0,50                                  | 3,40                                  | 0,43                   |
| c [mm]             | ε <sub>1</sub> [1e-4]                   | ε <sub>2</sub> [1e-4] | s <sub>r,max</sub> [mm]               | Φ [mm]                                | σ <sub>s</sub> [MPa]   |
| 28                 | 7,2                                     | -2,0                  | 611                                   | 32                                    | 131,0                  |

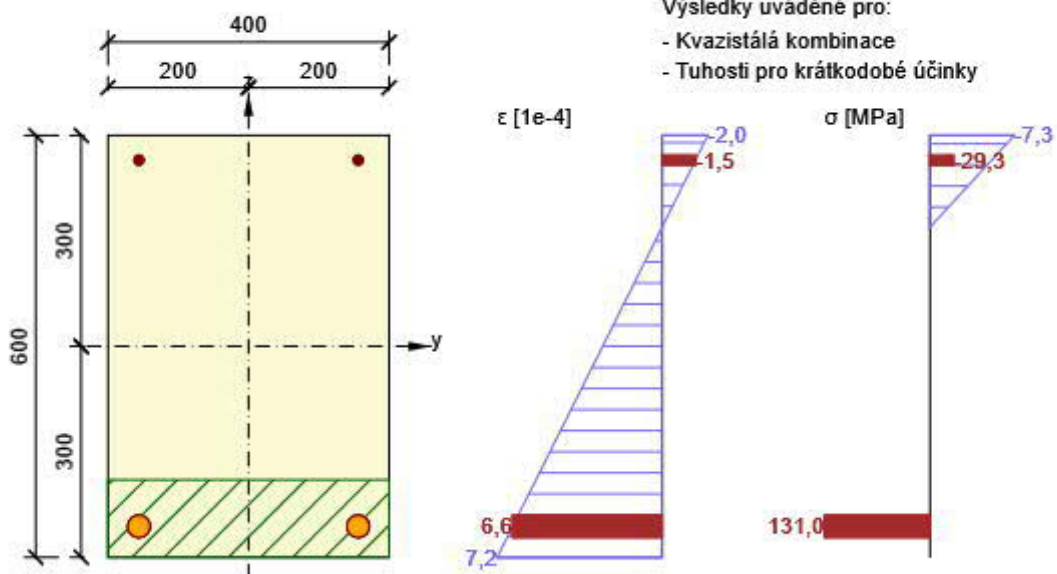
#### Mezivýsledky a součinitele pro výpočet šířky trhlin - dlouhodobé účinky

| x [mm]             | h <sub>c,eff</sub> [mm]                 | d [mm]                | A <sub>c,eff</sub> [mm <sup>2</sup> ] | A <sub>s,eff</sub> [mm <sup>2</sup> ] | P <sub>p,eff</sub> [-] |
|--------------------|---|-----------------------|---------------------------------------|---------------------------------------|------------------------|
| 186                | 110                                     | 556                   | 44000                                 | 1608                                  | 0,04                   |
| k <sub>t</sub> [-] | ε <sub>sm</sub> -ε <sub>cm</sub> [1e-4] | k <sub>1</sub> [-]    | k <sub>2</sub> [-]                    | k <sub>3</sub> [-]                    | k <sub>4</sub> [-]     |
| 0,40               | 4,3                                     | 0,80                  | 0,50                                  | 3,40                                  | 0,43                   |
| c [mm]             | ε <sub>1</sub> [1e-4]                   | ε <sub>2</sub> [1e-4] | s <sub>r,max</sub> [mm]               | Φ [mm]                                | σ <sub>s</sub> [MPa]   |
| 28                 | 7,6                                     | -3,4                  | 539                                   | 32                                    | 135,1                  |

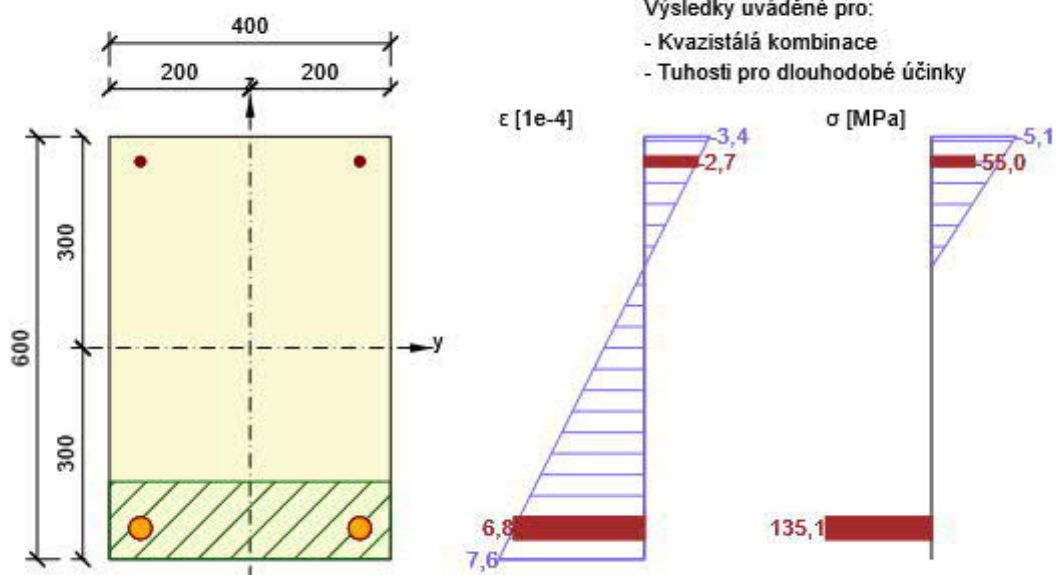
#### Součinitel dotvarování

| Způsob určení | h <sub>0</sub> [mm] | A <sub>c</sub> [mm <sup>2</sup> ] | u [mm] | t [d]   | t <sub>0</sub> [d] | t <sub>s</sub> [d] | RH [%] | Použit v <sub>lt</sub> | φ(t,t <sub>0</sub> ) [-] |
|---------------|---------------------|-----------------------------------|--------|---------|--------------------|--------------------|--------|------------------------|--------------------------|
| Automatické   | 240                 | 240000                            | 2000   | 18250,0 | 28,0               | 7,0                | 65     | Ne                     | 1,42                     |

### Průběh napětí a poměrného přetvoření v průřezu



### Průběh napětí a poměrného přetvoření v průřezu



### 2.1.1.9 Ohybová štíhlost

| N [kN]                   | $M_y$ [kNm]                  | $M_z$ [kNm] | $\lambda$ [-] | $\lambda_d$ [-] | Hodnota [%]  | Mez [%]     | Posudek    |
|--------------------------|------------------------------|-------------|---------------|-----------------|--------------|-------------|------------|
| 12,0                     | 105,0                        | 0,0         | 10,79         | 35,00           | 30,8         | 100,0       | OK         |
| $I_n$ [mm <sup>4</sup> ] | $I_{eff}$ [mm <sup>4</sup> ] | d [mm]      | K             | $\rho$ [%]      | $\rho_0$ [%] | $\rho'$ [%] | $\sigma_s$ |
| 5800                     | 6000                         | 556         | 1             | 0,4             | 0,7          | 0,1         | 131,0      |

### 3 Seznam dimenzačních dílců

#### Dimenzační dílec Nosník fasády

|                        |           |
|------------------------|-----------|
| Typ prvku              | Nosník    |
| Stupeň vlivu prostředí | XC1       |
| Relativní vlhkost      | 65 %      |
| $\Phi_{inf}$           | Vypočtený |
| Význam nosného prvku   | Velký     |

#### Data pro ohybovou štíhlost

| Světlá vzdálenost mezi líci podpor (5.3.2.2 (1))<br>m | Šířka podpírajícího prvku (5.3.2.2 (1)) |              | Způsob podepření |                 |
|---|---|--------------|------------------|-----------------|
|   | Vlevo<br>mm                             | Vpravo<br>mm | Vlevo            | Vpravo          |
| 5,80  | 200                                     | 200          | Nespojitý prvek  | Nespojitý prvek |

## 4 Seznam použitých materiálů

### Beton

| Název   | $f_{ck}$<br>[MPa] | $f_{cm}$<br>[MPa] | $f_{ctm}$<br>[MPa] | $E_{cm}$<br>[MPa] | $\mu$<br>[-] | Jednotková hmotnost<br>[kg/m <sup>3</sup> ] |
|---|-------------------|-------------------|--------------------|-------------------|--------------|---|
| C45/55  | 45,0              | 53,0              | 3,8                | 36283,2           | 0,20         | 2500  |
| $\epsilon_{c2} = 20,0 \cdot 10^{-4}$ , $\epsilon_{cu2} = 35,0 \cdot 10^{-4}$ , $\epsilon_{c3} = 17,5 \cdot 10^{-4}$ , $\epsilon_{cu3} = 35,0 \cdot 10^{-4}$ ,<br>Exponent - n: 2,00, Rozměr zrna kameniva = 16 mm, Třída cementu: R (s = 0,20), Typ diagramu: Parabolický |                   |                   |                    |                   |              |   |

### Vysvětlení

| Symbol          | Vysvětlení  |
|-----------------|---|
| $f_{ck}$        | Charakteristická válcová pevnost betonu v tlaku ve stáří 28 dní         |
| $f_{cm}$        | Průměrná hodnota válcové pevnosti betonu v tlaku                        |
| $f_{ctm}$       | Průměrná hodnota pevnosti betonu v dostředném tahu                      |
| $E_{cm}$        | Sečnový modul pružnosti betonu  |
| $\epsilon_c$    | Poměrné přetvoření betonu v tlaku při dosažení maximálního napětí $f_c$ |
| $\epsilon_{cu}$ | Mezní poměrné přetvoření betonu v tlaku                                 |

### Betonářská ocel

| Název  | $f_{yk}$<br>[MPa] | $f_{tk}$<br>[MPa] | E<br>[MPa] | $\mu$<br>[-] | Jednotková hmotnost<br>[kg/m <sup>3</sup> ] |
|--|-------------------|-------------------|------------|--------------|---|
| B 500B   | 500,0             | 540,0             | 200000,0   | 0,20         | 7850  |
| $f_{tk}/f_{yk} = 1,08$ , $\epsilon_{uk} = 500,0 \cdot 10^{-4}$ , Typ: Vložky, Povrch výztuže: Žebírkový, Třída: B,<br>Výroba: Za tepla válcovaná, Typ diagramu: Bilineární se stoupající horní větví |                   |                   |            |              |   |

### Vysvětlení

| Symbol          | Vysvětlení   |
|-----------------|--|
| $f_{yk}$        | Charakteristická mez kluzu betonářské výztuže  |
| $f_{tk}$        | Charakteristická pevnost v tahu betonářské výztuže   |
| E               | Modul pružnosti výztužné oceli   |
| $\epsilon_{uk}$ | Charakteristické poměrné přetvoření betonářské nebo předpínací oceli při maximálním zatížení |

## 7) průvlak stropu vnitřní

Projekt: Sportovní hala Turnov  
 Číslo projektu: průvlak stropu - vnitřní  
 Autor:



### Materiály

#### Beton

| Název   | $f_{ck}$<br>[MPa] | $f_{ctk,0.05}$<br>[MPa] | $f_{ctm}$<br>[MPa] | $E_{cm}$<br>[MPa] |
|---|-------------------|-------------------------|--------------------|-------------------|
| C45/55  | 45,0              | 2,7                     | 3,8                | 36283,2           |
| $\epsilon_{c2} = 20,0 \cdot 1e-4$ , $\epsilon_{cu2} = 500,0 \cdot 1e-4$ , Typ diagramu: Parabolický<br>Součinitel dotvarování: 2,50 |                   |                         |                    |                   |

#### Výztuž

| Název   | $f_{yk}$<br>[MPa] | k<br>[-] | $E_s$<br>[MPa] | Jednotková hmotnost<br>[kg/m <sup>3</sup> ] | $\epsilon_{uk}$<br>[1e-4] | Povrch    |
|---|-------------------|----------|----------------|---|---------------------------|-----------|
| B 500B  | 500,0             | 1,08     | 200000,0       | 7850  | 500,0                     | Žebírkový |
| $\epsilon_{st} = 500,0 \cdot 1e-4$ , $\epsilon_{sc} = 500,0 \cdot 1e-4$ , |                   |          |                |   |                           |           |

#### Ocel

| Název | E<br>[MPa] |
|-------|------------|
| S 355 | 210000,0   |

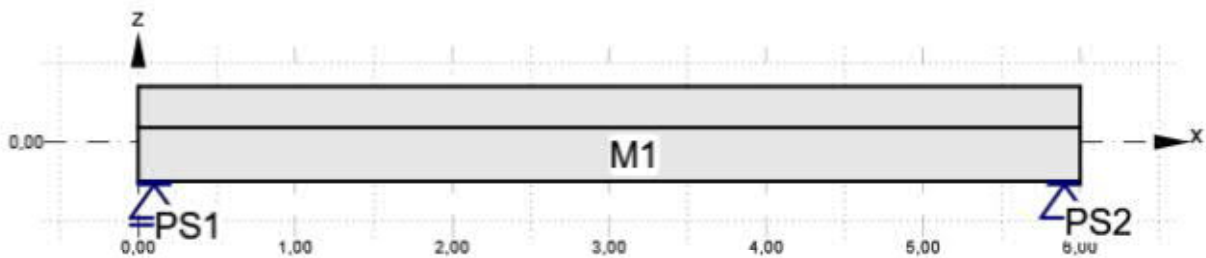
### Průřezy

| Název                        | Materiál | Řídící   | Obrázek |
|------------------------------|----------|----------|---------|
| 2 - T tvar obrácený 600, 600 | C45/55   | DRM1: M1 |         |

### DRM1

Projekt: Sportovní hala Turnov  
 Číslo projektu: průvlak stropu - vnitřní  
 Autor:

## Geometrie

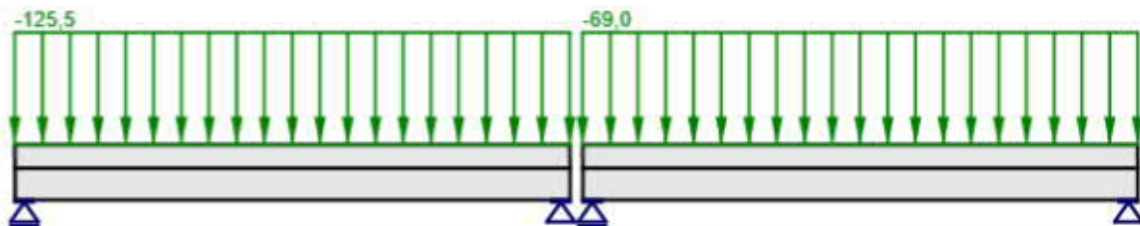


### Celková tabulka

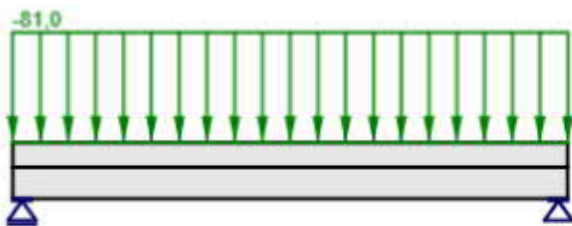
| Název | Typ             | Vlastnosti                            | Pozice                                |
|-------|-----------------|---------------------------------------|---------------------------------------|
| M1    | Prvek           | L: 6,00 m; Průřez: 2;                 |                                       |
| PS1   | Bodová podpora  | Z                                     |                                       |
| PS1   | Roznášecí deska | W: 0,20 m; T: 0,02 m; Materiál: S 355 | M: M1, Hrana 1; Od počátku; X: 0,10 m |
| PS2   | Bodová podpora  | X; Z                                  |                                       |
| PS2   | Roznášecí deska | W: 0,20 m; T: 0,02 m; Materiál: S 355 | M: M1, Hrana 1; Od konce; X: 0,10 m   |

## Zatížení

### C1, C2



### C3



### Kombinace

| Název | Typ                    | Obsah               |
|-------|------------------------|---------------------|
| C1    | ULS                    | 1,49*LC1 + 1,65*LC2 |
| C2    | SLS - Kvazistálá       | LC1 + 0,60*LC2      |
| C3    | SLS - Charakteristická | LC1 + LC2           |

Projekt: Sportovní hala Turnov  
 Číslo projektu: průvlak stropu - vnitřní  
 Autor:

## Výztuž

Schéma vyztužení



Beton: C45/55; Ocel : B 500B

## Výsledky

Celková tabulka

| Položka posudku | Kombinace | Přírůstek  | Položka          |         |         |   |
|-----------------|-----------|--|------------------|---------|---------|---|
| MSÚ             | C1        | P100,0%, V100,0%   | Pevnost výztuže  | ✓       |         |   |
| Položka posudku | Položka   | Využití  |                  |         |         |   |
| Pevnost betonu  | M1        | $\sigma_c/\sigma_{c,lim}$ : 94,8%  |                  | ✓       |         |   |
| Pevnost výztuže | ST1       | $\epsilon_s/\epsilon_{s,lim}$ : 32,0%, $\sigma_s/\sigma_{s,lim}$ : 94,9% |                  | ✓       |         |   |
| Kotevní délka   | ST1       | $\tau_b/f_{bd}$ : 99,9%  |                  | ✓       |         |   |
| MSP             | C3 (LT)   | P100,0%, V100,0%   | Omezení napětí   | ✓       |         |   |
| Položka posudku | Kombinace | Přírůstek  | Kritický posudek | Položka | Využití |   |
| Omezení napětí  | C3 (LT)   | P100,0%, V100,0%   | 7.2(5)           | ST1     | 89,7%   | ✓ |
| Šířka trhlin    | C2 (LT)   | P100,0%, V100,0%   | w/wlim           | GB1     | 78,4%   | ✓ |

## 8) průvlak stropu krajní

Projekt: Sportovní hala Turnov  
 Číslo projektu: průvlak stropu - krajní  
 Autor:

### Materiály

#### Beton

| Název   | $f_{ck}$<br>[MPa] | $f_{ctk,0.05}$<br>[MPa] | $f_{ctm}$<br>[MPa] | $E_{cm}$<br>[MPa] |
|---|-------------------|-------------------------|--------------------|-------------------|
| C45/55  | 45,0              | 2,7                     | 3,8                | 36283,2           |
| $\epsilon_{c2} = 20,0 \cdot 1e-4$ , $\epsilon_{cu2} = 500,0 \cdot 1e-4$ , Typ diagramu: Parabolický<br>Součinitel dotvarování: 2,50 |                   |                         |                    |                   |

#### Výztuž

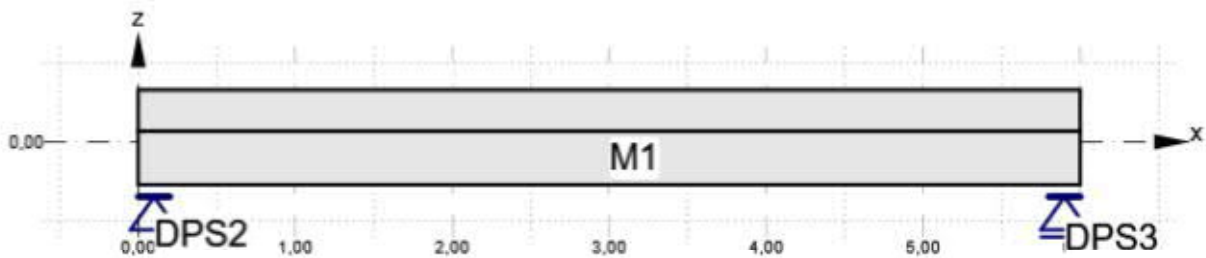
| Název   | $f_{yk}$<br>[MPa] | k<br>[-] | $E_s$<br>[MPa] | Jednotková hmotnost<br>[kg/m <sup>3</sup> ] | $\epsilon_{uk}$<br>[1e-4] | Povrch    |
|---|-------------------|----------|----------------|---|---------------------------|-----------|
| B 500B  | 500,0             | 1,08     | 200000,0       | 7850  | 500,0                     | Žebírkový |
| $\epsilon_{st} = 500,0 \cdot 1e-4$ , $\epsilon_{sc} = 500,0 \cdot 1e-4$ , |                   |          |                |   |                           |           |

### Průřezy

| Název               | Materiál | Řídící      | Obrázek |
|---------------------|----------|-------------|---------|
| 1 - L tvar 600, 450 | C45/55   | Detail1: M1 |         |

### Detail1

## Geometrie

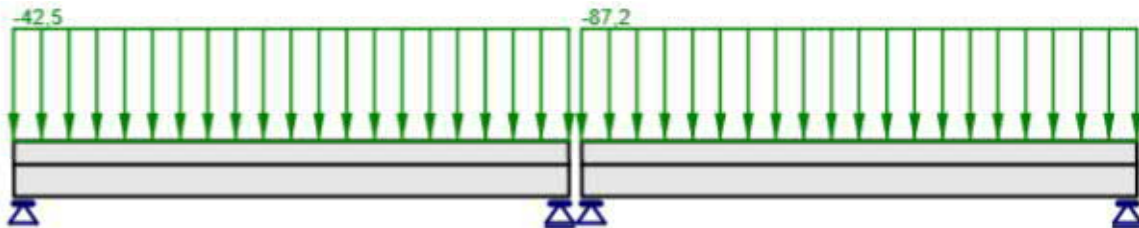


### Celková tabulka

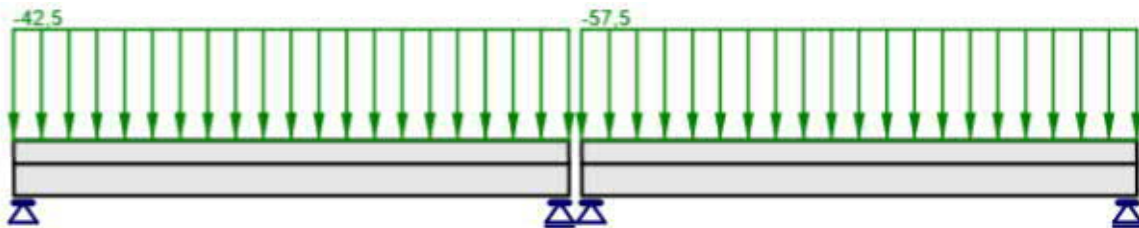
| Název | Typ                      | Vlastnosti                                    | Pozice                                 |
|-------|--------------------------|---|--|
| M1    | Prvek                    | L: 6,00 m; Průřez: 1;                         |  |
| DPS2  | Rozložená bodová podpora | X; Z; W: 0,20 m; Částečně zatížená plocha: Ne | M: M1; Hrana: 1; Od počátku; X: 0,10 m |
| DPS3  | Rozložená bodová podpora | Z; W: 0,20 m; Částečně zatížená plocha: Ne    | M: M1; Hrana: 1; Od konce; X: 0,10 m   |

## Zatížení

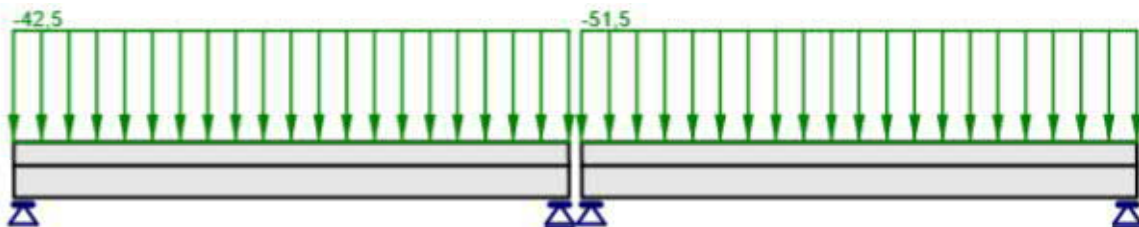
### MSÚZ(1), MSÚZ(2)



### MSPCh(3), MSPCh(4)



### MSPK(7), MSPK(8)



Projekt: Sportovní hala Turnov  
 Číslo projektu: průvlak stropu - krajní  
 Autor:

### Kombinace

| Název    | Typ                    | Obsah                     |
|----------|------------------------|---------------------------|
| MSÚZ(1)  | ULS                    | SW + G                    |
| MSÚZ(2)  | ULS                    | 1,35*SW + 1,49*G + 1,65*Q |
| MSPCh(3) | SLS - Charakteristická | SW + G                    |
| MSPCh(4) | SLS - Charakteristická | SW + G + Q                |
| MSPK(7)  | SLS - Kvazistálá       | SW + G                    |
| MSPK(8)  | SLS - Kvazistálá       | SW + G + 0,60*Q           |

### Výztuž

#### Schéma vyztužení



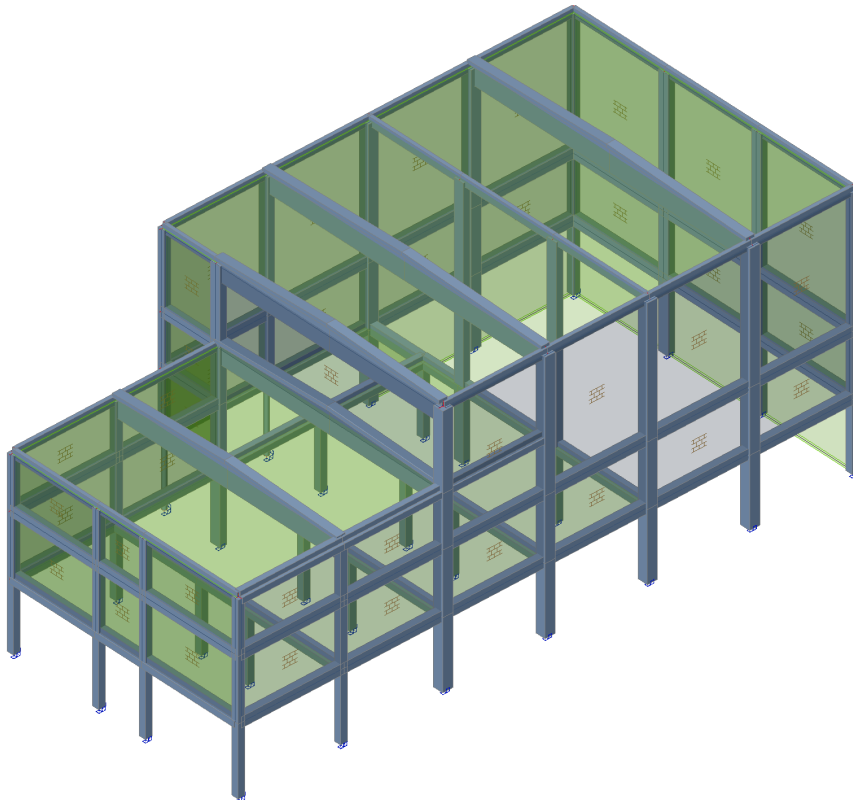
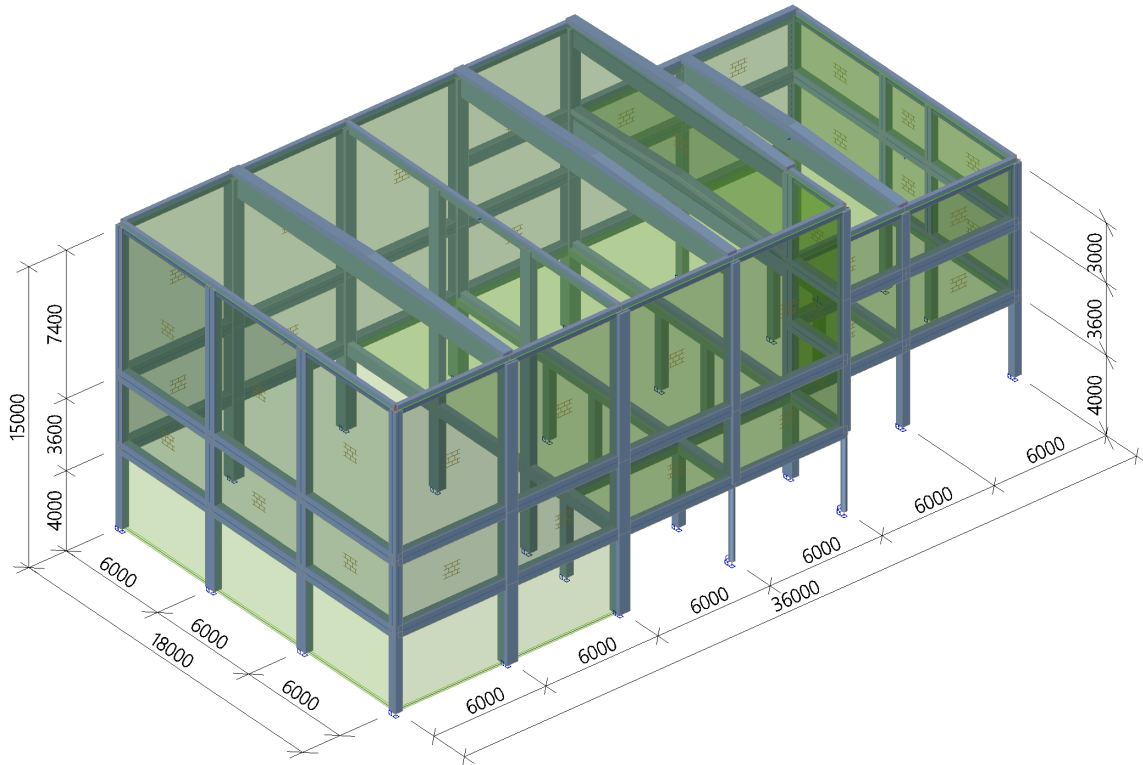
Beton: C45/55; Ocel : B 500B

### Výsledky

#### Celková tabulka

| Položka posudku | Kombinace     | Přírůstek  | Položka          |         |         |   |
|-----------------|---------------|--|------------------|---------|---------|---|
| MSÚ             | MSÚZ(2)       | P100,0%, V100,0%   | Pevnost výztuže  | ✓       |         |   |
| Položka posudku | Položka       | Využití  |                  |         |         |   |
| Pevnost betonu  | M1            | $\sigma_c/\sigma_{c,lim}$ : 78,5%  |                  | ✓       |         |   |
| Pevnost výztuže | KD1           | $\epsilon_s/\epsilon_{s,lim}$ : 21,2%, $\sigma_s/\sigma_{s,lim}$ : 89,8% |                  | ✓       |         |   |
| Kotevní délka   | KD1           | $\tau_b/f_{bd}$ : 99,9%  |                  | ✓       |         |   |
| MSP             | MSPCh(3) (LT) | P100,0%, V100,0%   | Omezení napětí   | ✓       |         |   |
| Položka posudku | Kombinace     | Přírůstek  | Kritický posudek | Položka | Využití |   |
| Omezení napětí  | MSPCh(3) (LT) | P100,0%, V100,0%   | 7.2(5)           | KD1     | 61,8%   | ✓ |
| Šířka trhlin    | MSPK(7) (LT)  | P100,0%, V100,0%   | w/wlim           | GB1     | 60,9%   | ✓ |

1. Model konstrukce



## 2. Uzly

| Jméno | Souř. X [m] | Souř. Y [m] | Souř. Z [m] |
|-------|-------------|-------------|-------------|
| N1    | -9,000      | -19,600     | 0,000       |
| N2    | -9,000      | -19,600     | 4,000       |
| N3    | -3,000      | -19,600     | 0,000       |
| N4    | -3,000      | -19,600     | 4,000       |
| N5    | 3,000       | -19,600     | 0,000       |
| N6    | 3,000       | -19,600     | 4,000       |
| N7    | 9,000       | -19,600     | 0,000       |
| N8    | 9,000       | -19,600     | 4,000       |
| N9    | 9,000       | -13,600     | 0,000       |
| N10   | 9,000       | -13,600     | 4,000       |
| N11   | 9,000       | -7,600      | 0,000       |
| N12   | 9,000       | -7,600      | 4,000       |
| N13   | 5,500       | -7,600      | 0,000       |
| N14   | 5,500       | -7,600      | 4,000       |
| N16   | 3,000       | -7,600      | 4,000       |
| N18   | -3,000      | -7,600      | 4,000       |
| N19   | -9,000      | -7,600      | 0,000       |
| N20   | -9,000      | -7,600      | 4,000       |
| N21   | -9,000      | -13,600     | 0,000       |
| N22   | -9,000      | -13,600     | 4,000       |
| N23   | -9,000      | -1,600      | 0,000       |
| N24   | -9,000      | -1,600      | 4,000       |
| N25   | -3,000      | -1,600      | 0,000       |
| N26   | -3,000      | -1,600      | 4,000       |
| N27   | 0,000       | -1,600      | 0,000       |
| N28   | 0,000       | -1,600      | 4,000       |
| N29   | 5,500       | -1,600      | 0,000       |
| N30   | 5,500       | -1,600      | 4,000       |
| N31   | -9,000      | 4,400       | 0,000       |
| N32   | -9,000      | 4,400       | 4,000       |
| N33   | -3,000      | 4,400       | 0,000       |
| N34   | -3,000      | 4,400       | 4,000       |
| N35   | 0,000       | 4,400       | 0,000       |
| N36   | 0,000       | 4,400       | 4,000       |

| Jméno | Souř. X [m] | Souř. Y [m] | Souř. Z [m] |
|-------|-------------|-------------|-------------|
| N37   | 5,500       | 4,400       | 0,000       |
| N38   | 5,500       | 4,400       | 4,000       |
| N51   | -9,000      | 10,400      | 0,000       |
| N52   | -9,000      | 10,400      | 4,000       |
| N53   | -3,000      | 10,400      | 0,000       |
| N54   | -3,000      | 10,400      | 4,000       |
| N55   | 0,000       | 10,400      | 0,000       |
| N56   | 0,000       | 10,400      | 4,000       |
| N57   | 5,500       | 10,400      | 0,000       |
| N58   | 5,500       | 10,400      | 4,000       |
| N59   | -9,000      | 16,400      | 0,000       |
| N60   | -9,000      | 16,400      | 4,000       |
| N61   | -3,000      | 16,400      | 0,000       |
| N62   | -3,000      | 16,400      | 4,000       |
| N63   | 0,000       | 16,400      | 0,000       |
| N64   | 0,000       | 16,400      | 4,000       |
| N65   | 5,500       | 16,400      | 0,000       |
| N66   | 5,500       | 16,400      | 4,000       |
| N67   | 9,000       | -1,600      | 4,000       |
| N68   | 9,000       | 4,400       | 4,000       |
| N69   | 9,000       | -1,600      | 0,000       |
| N70   | 9,000       | 4,400       | 0,000       |
| N71   | -9,000      | -7,600      | 7,600       |
| N72   | -9,000      | -1,600      | 7,600       |
| N73   | -9,000      | 4,400       | 7,600       |
| N74   | -9,000      | 10,400      | 7,600       |
| N75   | -9,000      | 16,400      | 7,600       |
| N76   | -3,000      | 16,400      | 7,600       |
| N77   | 0,000       | 16,400      | 7,600       |
| N78   | 5,500       | 16,400      | 7,600       |
| N79   | 5,500       | 10,400      | 7,600       |
| N80   | 5,500       | 4,400       | 7,600       |
| N81   | 9,000       | 4,400       | 7,600       |
| N82   | 9,000       | -1,600      | 7,600       |

| Jméno | Souř. X [m] | Souř. Y [m] | Souř. Z [m] |
|-------|-------------|-------------|-------------|
| N83   | 9,000       | -7,600      | 7,600       |
| N84   | 9,000       | -13,600     | 7,600       |
| N85   | 9,000       | -19,600     | 7,600       |
| N86   | -9,000      | -13,600     | 7,600       |
| N87   | -9,000      | -19,600     | 7,600       |
| N88   | -3,000      | -19,600     | 7,600       |
| N89   | 3,000       | -19,600     | 7,600       |
| N109  | -9,000      | 16,400      | 10,600      |
| N110  | -9,000      | 10,400      | 10,600      |
| N111  | -9,000      | 4,400       | 10,600      |
| N112  | 5,500       | 16,400      | 10,600      |
| N113  | 5,500       | 10,400      | 10,600      |
| N114  | 5,500       | 4,400       | 10,600      |
| N115  | -3,000      | 16,400      | 10,600      |
| N116  | 0,000       | 16,400      | 10,600      |
| N117  | -9,000      | -19,600     | 15,000      |
| N118  | -9,000      | -13,600     | 15,000      |
| N119  | -9,000      | -7,600      | 15,000      |
| N120  | -9,000      | -1,600      | 15,000      |
| N121  | 9,000       | -1,600      | 15,000      |
| N122  | 9,000       | -7,600      | 15,000      |
| N123  | 9,000       | -13,600     | 15,000      |
| N124  | -3,000      | -19,600     | 15,000      |
| N125  | 3,000       | -19,600     | 15,000      |
| N126  | 9,000       | -19,600     | 15,000      |
| N130  | -9,000      | 4,400       | 15,000      |
| N132  | 5,500       | 4,400       | 15,000      |
| N133  | 9,000       | 4,400       | 10,600      |
| N134  | 9,000       | 4,400       | 15,000      |
| N136  | 3,000       | -7,600      | 15,000      |
| N137  | -3,000      | -7,600      | 15,000      |
| N139  | -3,000      | -7,600      | 0,000       |
| N141  | 3,000       | -7,600      | 0,000       |
| N142  | -9,000      | -1,600      | 10,600      |

## 3. Prvky

| Jméno | Průřez                         | Materiál | Délka [m] | Poč. uzel | Konc. uzel | Typ         |
|-------|--------------------------------|----------|-----------|-----------|------------|-------------|
| B1    | CS1 - Obdélník (400; 400)      | C45/55   | 4,000     | N1        | N2         | sloup (100) |
| B2    | CS8 - Obdélník (400; 600)      | C45/55   | 4,000     | N3        | N4         | sloup (100) |
| B3    | CS8 - Obdélník (400; 600)      | C45/55   | 4,000     | N5        | N6         | sloup (100) |
| B4    | CS1 - Obdélník (400; 400)      | C45/55   | 4,000     | N7        | N8         | sloup (100) |
| B5    | CS9 - Obdélník (600; 600)      | C45/55   | 4,000     | N9        | N10        | sloup (100) |
| B6    | CS9 - Obdélník (600; 600)      | C45/55   | 4,000     | N11       | N12        | sloup (100) |
| B7    | CS1 - Obdélník (400; 400)      | C45/55   | 4,000     | N13       | N14        | sloup (100) |
| B10   | CS9 - Obdélník (600; 600)      | C45/55   | 4,000     | N19       | N20        | sloup (100) |
| B11   | CS9 - Obdélník (600; 600)      | C45/55   | 4,000     | N21       | N22        | sloup (100) |
| B12   | CS9 - Obdélník (600; 600)      | C45/55   | 4,000     | N23       | N24        | sloup (100) |
| B13   | CS1 - Obdélník (400; 400)      | C45/55   | 4,000     | N25       | N26        | sloup (100) |
| B14   | CS1 - Obdélník (400; 400)      | C45/55   | 4,000     | N27       | N28        | sloup (100) |
| B15   | CS1 - Obdélník (400; 400)      | C45/55   | 4,000     | N29       | N30        | sloup (100) |
| B16   | CS9 - Obdélník (600; 600)      | C45/55   | 4,000     | N31       | N32        | sloup (100) |
| B17   | CS1 - Obdélník (400; 400)      | C45/55   | 4,000     | N33       | N34        | sloup (100) |
| B18   | CS1 - Obdélník (400; 400)      | C45/55   | 4,000     | N35       | N36        | sloup (100) |
| B19   | CS5 - Obdélník (600; 400)      | C45/55   | 4,000     | N37       | N38        | sloup (100) |
| B24   | CS2 - T g (600; 600; 340; 280) | C45/55   | 6,000     | N32       | N34        | nosník (80) |
| B25   | CS2 - T g (600; 600; 340; 280) | C45/55   | 3,000     | N34       | N36        | nosník (80) |
| B26   | CS2 - T g (600; 600; 340; 280) | C45/55   | 5,500     | N36       | N38        | nosník (80) |
| B30   | CS2 - T g (600; 600; 340; 280) | C45/55   | 5,500     | N28       | N30        | nosník (80) |
| B31   | CS2 - T g (600; 600; 340; 280) | C45/55   | 3,000     | N26       | N28        | nosník (80) |
| B32   | CS2 - T g (600; 600; 340; 280) | C45/55   | 6,000     | N24       | N26        | nosník (80) |
| B33   | CS3 - L g (600; 450; 340; 300) | C45/55   | 2,500     | N16       | N14        | nosník (80) |
| B34   | CS3 - L g (600; 450; 340; 300) | C45/55   | 6,000     | N18       | N16        | nosník (80) |

## Projekt Sportovní hala Turnov

| Jméno | Průřez                         | Materiál | Délka [m] | Poč. uzel | Konc. uzel | Typ         |
|-------|--------------------------------|----------|-----------|-----------|------------|-------------|
| B35   | CS3 - L g (600; 450; 340; 300) | C45/55   | 6,000     | N20       | N18        | nosník (80) |
| B36   | CS1 - Obdélník (400; 400)      | C45/55   | 4,000     | N51       | N52        | sloup (100) |
| B37   | CS1 - Obdélník (400; 400)      | C45/55   | 4,000     | N53       | N54        | sloup (100) |
| B38   | CS1 - Obdélník (400; 400)      | C45/55   | 4,000     | N55       | N56        | sloup (100) |
| B39   | CS1 - Obdélník (400; 400)      | C45/55   | 4,000     | N57       | N58        | sloup (100) |
| B40   | CS2 - T g (600; 600; 340; 280) | C45/55   | 6,000     | N52       | N54        | nosník (80) |
| B41   | CS2 - T g (600; 600; 340; 280) | C45/55   | 3,000     | N54       | N56        | nosník (80) |
| B42   | CS2 - T g (600; 600; 340; 280) | C45/55   | 5,500     | N56       | N58        | nosník (80) |
| B43   | CS1 - Obdélník (400; 400)      | C45/55   | 4,000     | N59       | N60        | sloup (100) |
| B44   | CS1 - Obdélník (400; 400)      | C45/55   | 4,000     | N61       | N62        | sloup (100) |
| B45   | CS1 - Obdélník (400; 400)      | C45/55   | 4,000     | N63       | N64        | sloup (100) |
| B46   | CS1 - Obdélník (400; 400)      | C45/55   | 4,000     | N65       | N66        | sloup (100) |
| B47   | CS3 - L g (600; 450; 340; 300) | C45/55   | 6,000     | N60       | N62        | nosník (80) |
| B48   | CS3 - L g (600; 450; 340; 300) | C45/55   | 3,000     | N62       | N64        | nosník (80) |
| B49   | CS3 - L g (600; 450; 340; 300) | C45/55   | 5,500     | N64       | N66        | nosník (80) |
| B50   | CS4 - Obdélník (600; 400)      | C45/55   | 6,000     | N2        | N4         | nosník (80) |
| B51   | CS4 - Obdélník (600; 400)      | C45/55   | 6,000     | N4        | N6         | nosník (80) |
| B52   | CS4 - Obdélník (600; 400)      | C45/55   | 6,000     | N6        | N8         | nosník (80) |
| B53   | CS4 - Obdélník (600; 400)      | C45/55   | 6,000     | N8        | N10        | nosník (80) |
| B54   | CS4 - Obdélník (600; 400)      | C45/55   | 6,000     | N10       | N12        | nosník (80) |
| B55   | CS4 - Obdélník (600; 400)      | C45/55   | 3,500     | N12       | N14        | nosník (80) |
| B56   | CS3 - L g (600; 450; 340; 300) | C45/55   | 6,000     | N14       | N30        | nosník (80) |
| B57   | CS3 - L g (600; 450; 340; 300) | C45/55   | 6,000     | N30       | N38        | nosník (80) |
| B58   | CS4 - Obdélník (600; 400)      | C45/55   | 6,000     | N38       | N58        | nosník (80) |
| B59   | CS4 - Obdélník (600; 400)      | C45/55   | 6,000     | N58       | N66        | nosník (80) |
| B60   | CS4 - Obdélník (600; 400)      | C45/55   | 6,000     | N2        | N22        | nosník (80) |
| B61   | CS4 - Obdélník (600; 400)      | C45/55   | 6,000     | N22       | N20        | nosník (80) |
| B62   | CS4 - Obdélník (600; 400)      | C45/55   | 6,000     | N20       | N24        | nosník (80) |
| B63   | CS4 - Obdélník (600; 400)      | C45/55   | 6,000     | N24       | N32        | nosník (80) |
| B64   | CS4 - Obdélník (600; 400)      | C45/55   | 6,000     | N32       | N52        | nosník (80) |
| B65   | CS4 - Obdélník (600; 400)      | C45/55   | 6,000     | N52       | N60        | nosník (80) |
| B66   | CS3 - L g (600; 450; 340; 300) | C45/55   | 6,000     | N12       | N67        | nosník (80) |
| B67   | CS3 - L g (600; 450; 340; 300) | C45/55   | 6,000     | N67       | N68        | nosník (80) |
| B68   | CS6 - RO273X12.5               | S 355    | 4,000     | N69       | N67        | sloup (100) |
| B69   | CS6 - RO273X12.5               | S 355    | 4,000     | N70       | N68        | sloup (100) |
| B70   | CS4 - Obdélník (600; 400)      | C45/55   | 3,500     | N68       | N38        | nosník (80) |
| B71   | CS9 - Obdélník (600; 600)      | C45/55   | 3,600     | N20       | N71        | sloup (100) |
| B72   | CS9 - Obdélník (600; 600)      | C45/55   | 3,600     | N24       | N72        | sloup (100) |
| B73   | CS9 - Obdélník (600; 600)      | C45/55   | 3,600     | N32       | N73        | sloup (100) |
| B74   | CS1 - Obdélník (400; 400)      | C45/55   | 3,600     | N52       | N74        | sloup (100) |
| B75   | CS1 - Obdélník (400; 400)      | C45/55   | 3,600     | N60       | N75        | sloup (100) |
| B76   | CS1 - Obdélník (400; 400)      | C45/55   | 3,600     | N62       | N76        | sloup (100) |
| B77   | CS1 - Obdélník (400; 400)      | C45/55   | 3,600     | N64       | N77        | sloup (100) |
| B78   | CS1 - Obdélník (400; 400)      | C45/55   | 3,600     | N66       | N78        | sloup (100) |
| B79   | CS1 - Obdélník (400; 400)      | C45/55   | 3,600     | N58       | N79        | sloup (100) |
| B80   | CS5 - Obdélník (600; 400)      | C45/55   | 3,600     | N38       | N80        | sloup (100) |
| B81   | CS1 - Obdélník (400; 400)      | C45/55   | 3,600     | N68       | N81        | sloup (100) |
| B82   | CS5 - Obdélník (600; 400)      | C45/55   | 3,600     | N67       | N82        | sloup (100) |
| B83   | CS9 - Obdélník (600; 600)      | C45/55   | 3,600     | N12       | N83        | sloup (100) |
| B84   | CS9 - Obdélník (600; 600)      | C45/55   | 3,600     | N10       | N84        | sloup (100) |
| B85   | CS1 - Obdélník (400; 400)      | C45/55   | 3,600     | N8        | N85        | sloup (100) |
| B86   | CS9 - Obdélník (600; 600)      | C45/55   | 3,600     | N22       | N86        | sloup (100) |
| B87   | CS1 - Obdélník (400; 400)      | C45/55   | 3,600     | N2        | N87        | sloup (100) |
| B88   | CS8 - Obdélník (400; 600)      | C45/55   | 3,600     | N4        | N88        | sloup (100) |
| B89   | CS8 - Obdélník (400; 600)      | C45/55   | 3,600     | N6        | N89        | sloup (100) |
| B109  | CS4 - Obdélník (600; 400)      | C45/55   | 6,000     | N85       | N84        | nosník (80) |
| B110  | CS4 - Obdélník (600; 400)      | C45/55   | 6,000     | N87       | N88        | nosník (80) |
| B111  | CS4 - Obdélník (600; 400)      | C45/55   | 6,000     | N88       | N89        | nosník (80) |
| B112  | CS4 - Obdélník (600; 400)      | C45/55   | 6,000     | N89       | N85        | nosník (80) |
| B113  | CS4 - Obdélník (600; 400)      | C45/55   | 6,000     | N84       | N83        | nosník (80) |
| B114  | CS4 - Obdélník (600; 400)      | C45/55   | 6,000     | N87       | N86        | nosník (80) |
| B115  | CS4 - Obdélník (600; 400)      | C45/55   | 6,000     | N86       | N71        | nosník (80) |
| B116  | CS4 - Obdélník (600; 400)      | C45/55   | 6,000     | N71       | N72        | nosník (80) |
| B117  | CS4 - Obdélník (600; 400)      | C45/55   | 6,000     | N72       | N73        | nosník (80) |
| B118  | CS4 - Obdélník (600; 400)      | C45/55   | 6,000     | N73       | N74        | nosník (80) |
| B119  | CS4 - Obdélník (600; 400)      | C45/55   | 6,000     | N74       | N75        | nosník (80) |

## Projekt Sportovní hala Turnov

| Jméno | Průřez                          | Materiál | Délka [m] | Poč. uzel | Konc. uzel | Typ         |
|-------|---------------------------------|----------|-----------|-----------|------------|-------------|
| B120  | CS4 - Obdélník (600; 400)       | C45/55   | 3,500     | N81       | N80        | nosník (80) |
| B133  | CS4 - Obdélník (600; 400)       | C45/55   | 6,000     | N75       | N76        | nosník (80) |
| B134  | CS4 - Obdélník (600; 400)       | C45/55   | 3,000     | N76       | N77        | nosník (80) |
| B135  | CS4 - Obdélník (600; 400)       | C45/55   | 5,500     | N77       | N78        | nosník (80) |
| B139  | CS4 - Obdélník (600; 400)       | C45/55   | 6,000     | N80       | N79        | nosník (80) |
| B141  | CS4 - Obdélník (600; 400)       | C45/55   | 6,000     | N79       | N78        | nosník (80) |
| B143  | CS4 - Obdélník (600; 400)       | C45/55   | 6,000     | N83       | N82        | nosník (80) |
| B145  | CS4 - Obdélník (600; 400)       | C45/55   | 6,000     | N82       | N81        | nosník (80) |
| B147  | CS1 - Obdélník (400; 400)       | C45/55   | 3,000     | N75       | N109       | sloup (100) |
| B148  | CS1 - Obdélník (400; 400)       | C45/55   | 3,000     | N74       | N110       | sloup (100) |
| B149  | CS9 - Obdélník (600; 600)       | C45/55   | 3,000     | N73       | N111       | sloup (100) |
| B150  | CS1 - Obdélník (400; 400)       | C45/55   | 3,000     | N78       | N112       | sloup (100) |
| B151  | CS1 - Obdélník (400; 400)       | C45/55   | 3,000     | N79       | N113       | sloup (100) |
| B152  | CS5 - Obdélník (600; 400)       | C45/55   | 3,000     | N80       | N114       | sloup (100) |
| B153  | CS7 - T g (1600; 500; 200; 180) | C45/55   | 14,500    | N110      | N113       | nosník (80) |
| B154  | CS1 - Obdélník (400; 400)       | C45/55   | 3,000     | N76       | N115       | sloup (100) |
| B155  | CS1 - Obdélník (400; 400)       | C45/55   | 3,000     | N77       | N116       | sloup (100) |
| B156  | CS10 - Obdélník (500; 200)      | C45/55   | 6,000     | N109      | N115       | nosník (80) |
| B157  | CS10 - Obdélník (500; 200)      | C45/55   | 3,000     | N115      | N116       | nosník (80) |
| B158  | CS10 - Obdélník (500; 200)      | C45/55   | 5,500     | N116      | N112       | nosník (80) |
| B159  | CS1 - Obdélník (400; 400)       | C45/55   | 7,400     | N87       | N117       | sloup (100) |
| B160  | CS9 - Obdélník (600; 600)       | C45/55   | 7,400     | N86       | N118       | sloup (100) |
| B161  | CS9 - Obdélník (600; 600)       | C45/55   | 7,400     | N71       | N119       | sloup (100) |
| B162  | CS9 - Obdélník (600; 600)       | C45/55   | 7,400     | N72       | N120       | sloup (100) |
| B163  | CS7 - T g (1600; 500; 200; 180) | C45/55   | 18,000    | N120      | N121       | nosník (80) |
| B165  | CS7 - T g (1600; 500; 200; 180) | C45/55   | 18,000    | N118      | N123       | nosník (80) |
| B166  | CS8 - Obdélník (400; 600)       | C45/55   | 7,400     | N88       | N124       | sloup (100) |
| B167  | CS8 - Obdélník (400; 600)       | C45/55   | 7,400     | N89       | N125       | sloup (100) |
| B168  | CS1 - Obdélník (400; 400)       | C45/55   | 7,400     | N85       | N126       | sloup (100) |
| B169  | CS9 - Obdélník (600; 600)       | C45/55   | 7,400     | N84       | N123       | sloup (100) |
| B170  | CS9 - Obdélník (600; 600)       | C45/55   | 7,400     | N83       | N122       | sloup (100) |
| B171  | CS5 - Obdélník (600; 400)       | C45/55   | 7,400     | N82       | N121       | sloup (100) |
| B172  | CS9 - Obdélník (600; 600)       | C45/55   | 4,400     | N111      | N130       | sloup (100) |
| B173  | CS7 - T g (1600; 500; 200; 180) | C45/55   | 14,500    | N130      | N132       | nosník (80) |
| B174  | CS5 - Obdélník (600; 400)       | C45/55   | 4,400     | N114      | N132       | sloup (100) |
| B175  | CS1 - Obdélník (400; 400)       | C45/55   | 3,000     | N81       | N133       | sloup (100) |
| B176  | CS1 - Obdélník (400; 400)       | C45/55   | 4,400     | N133      | N134       | sloup (100) |
| B177  | CS3 - L g (600; 450; 340; 300)  | C45/55   | 6,000     | N110      | N109       | nosník (80) |
| B178  | CS3 - L g (600; 450; 340; 300)  | C45/55   | 6,000     | N111      | N110       | nosník (80) |
| B179  | CS10 - Obdélník (500; 200)      | C45/55   | 6,000     | N113      | N112       | nosník (80) |
| B180  | CS10 - Obdélník (500; 200)      | C45/55   | 6,000     | N114      | N113       | nosník (80) |
| B181  | CS10 - Obdélník (500; 200)      | C45/55   | 6,000     | N117      | N124       | nosník (80) |
| B182  | CS10 - Obdélník (500; 200)      | C45/55   | 6,000     | N124      | N125       | nosník (80) |
| B183  | CS10 - Obdélník (500; 200)      | C45/55   | 6,000     | N125      | N126       | nosník (80) |
| B184  | CS10 - Obdélník (500; 200)      | C45/55   | 6,000     | N120      | N130       | nosník (80) |
| B185  | CS10 - Obdélník (500; 200)      | C45/55   | 6,000     | N119      | N120       | nosník (80) |
| B186  | CS10 - Obdélník (500; 200)      | C45/55   | 6,000     | N118      | N119       | nosník (80) |
| B187  | CS10 - Obdélník (500; 200)      | C45/55   | 6,000     | N117      | N118       | nosník (80) |
| B188  | CS10 - Obdélník (500; 200)      | C45/55   | 6,000     | N121      | N134       | nosník (80) |
| B189  | CS10 - Obdélník (500; 200)      | C45/55   | 6,000     | N122      | N121       | nosník (80) |
| B190  | CS10 - Obdélník (500; 200)      | C45/55   | 6,000     | N123      | N122       | nosník (80) |
| B191  | CS10 - Obdélník (500; 200)      | C45/55   | 6,000     | N126      | N123       | nosník (80) |
| B192  | CS4 - Obdélník (600; 400)       | C45/55   | 3,500     | N133      | N114       | nosník (80) |
| B193  | CS10 - Obdélník (500; 200)      | C45/55   | 3,500     | N134      | N132       | nosník (80) |
| B194  | CS7 - T g (1600; 500; 200; 180) | C45/55   | 14,500    | N111      | N114       | nosník (80) |
| B195  | CS4 - Obdélník (600; 400)       | C45/55   | 3,500     | N67       | N30        | nosník (80) |
| B196  | CS8 - Obdélník (400; 600)       | C45/55   | 11,000    | N16       | N136       | sloup (100) |
| B197  | CS10 - Obdélník (500; 200)      | C45/55   | 6,000     | N137      | N136       | nosník (80) |
| B198  | CS10 - Obdélník (500; 200)      | C45/55   | 6,000     | N136      | N122       | nosník (80) |
| B199  | CS8 - Obdélník (400; 600)       | C45/55   | 11,000    | N18       | N137       | sloup (100) |
| B200  | CS10 - Obdélník (500; 200)      | C45/55   | 6,000     | N119      | N137       | nosník (80) |
| B201  | CS8 - Obdélník (400; 600)       | C45/55   | 4,000     | N139      | N18        | sloup (100) |
| B202  | CS8 - Obdélník (400; 600)       | C45/55   | 4,000     | N141      | N16        | sloup (100) |
| B203  | CS3 - L g (600; 450; 340; 300)  | C45/55   | 6,000     | N142      | N111       | nosník (80) |

#### 4. Plochy

| Jméno | Vrstva  | Typ        | Typ prvku        | Materiál | Tl.<br>[mm] |
|-------|---------|------------|------------------|----------|-------------|
| S1    | Vrstva1 | stěna (80) | Zdivo ortotropní | Masonry  | 380         |
| S2    | Vrstva1 | stěna (80) | Zdivo ortotropní | Masonry  | 380         |
| S3    | Vrstva1 | stěna (80) | Zdivo ortotropní | Masonry  | 380         |
| S4    | Vrstva1 | stěna (80) | Zdivo ortotropní | Masonry  | 380         |
| S5    | Vrstva1 | stěna (80) | Zdivo ortotropní | Masonry  | 380         |
| S6    | Vrstva1 | stěna (80) | Zdivo ortotropní | Masonry  | 380         |
| S7    | Vrstva1 | stěna (80) | Zdivo ortotropní | Masonry  | 380         |
| S8    | Vrstva1 | stěna (80) | Zdivo ortotropní | Masonry  | 380         |
| S9    | Vrstva1 | stěna (80) | Zdivo ortotropní | Masonry  | 380         |
| S10   | Vrstva1 | stěna (80) | Zdivo ortotropní | Masonry  | 380         |
| S11   | Vrstva1 | stěna (80) | Zdivo ortotropní | Masonry  | 380         |
| S12   | Vrstva1 | stěna (80) | Zdivo ortotropní | Masonry  | 380         |
| S13   | Vrstva1 | stěna (80) | Zdivo ortotropní | Masonry  | 380         |
| S14   | Vrstva1 | stěna (80) | Zdivo ortotropní | Masonry  | 380         |
| S15   | Vrstva1 | stěna (80) | Zdivo ortotropní | Masonry  | 380         |
| S16   | Vrstva1 | stěna (80) | Zdivo ortotropní | Masonry  | 380         |
| S17   | Vrstva1 | stěna (80) | Zdivo ortotropní | Masonry  | 380         |
| S18   | Vrstva1 | stěna (80) | Zdivo ortotropní | Masonry  | 380         |
| S19   | Vrstva1 | stěna (80) | Zdivo ortotropní | Masonry  | 380         |
| S20   | Vrstva1 | stěna (80) | Zdivo ortotropní | Masonry  | 380         |
| S21   | Vrstva1 | stěna (80) | Zdivo ortotropní | Masonry  | 380         |
| S22   | Vrstva1 | stěna (80) | Zdivo ortotropní | Masonry  | 380         |
| S23   | Vrstva1 | stěna (80) | Zdivo ortotropní | Masonry  | 380         |
| S24   | Vrstva1 | stěna (80) | Zdivo ortotropní | Masonry  | 380         |
| S25   | Vrstva1 | stěna (80) | Zdivo ortotropní | Masonry  | 380         |
| S26   | Vrstva1 | stěna (80) | Zdivo ortotropní | Masonry  | 380         |
| S27   | Vrstva1 | stěna (80) | Zdivo ortotropní | Masonry  | 380         |
| S28   | Vrstva1 | stěna (80) | Zdivo ortotropní | Masonry  | 380         |
| S29   | Vrstva1 | stěna (80) | Zdivo ortotropní | Masonry  | 380         |
| S30   | Vrstva1 | stěna (80) | Zdivo ortotropní | Masonry  | 380         |
| S31   | Vrstva1 | stěna (80) | Zdivo ortotropní | Masonry  | 380         |
| S32   | Vrstva1 | stěna (80) | Zdivo ortotropní | Masonry  | 380         |
| S33   | Vrstva1 | stěna (80) | Zdivo ortotropní | Masonry  | 380         |
| S34   | Vrstva1 | stěna (80) | Zdivo ortotropní | Masonry  | 380         |
| S35   | Vrstva1 | stěna (80) | Zdivo ortotropní | Masonry  | 380         |
| S36   | Vrstva1 | stěna (80) | Zdivo ortotropní | Masonry  | 380         |
| S37   | Vrstva1 | stěna (80) | Zdivo ortotropní | Masonry  | 380         |
| S38   | Vrstva1 | stěna (80) | Zdivo ortotropní | Masonry  | 380         |
| S39   | Vrstva1 | stěna (80) | Zdivo ortotropní | Masonry  | 380         |
| S40   | Vrstva1 | stěna (80) | Zdivo ortotropní | Masonry  | 380         |

#### 5. Podpory v uzlech

| Jméno | Uzel | Systém | Typ      | X    | Y    | Z    | Rx   | Ry   | Rz   |
|-------|------|--------|----------|------|------|------|------|------|------|
| Sn1   | N1   | GSS    | Standard | Tuhý | Tuhý | Tuhý | Tuhý | Tuhý | Tuhý |
| Sn2   | N3   | GSS    | Standard | Tuhý | Tuhý | Tuhý | Tuhý | Tuhý | Tuhý |
| Sn3   | N5   | GSS    | Standard | Tuhý | Tuhý | Tuhý | Tuhý | Tuhý | Tuhý |
| Sn4   | N7   | GSS    | Standard | Tuhý | Tuhý | Tuhý | Tuhý | Tuhý | Tuhý |
| Sn5   | N9   | GSS    | Standard | Tuhý | Tuhý | Tuhý | Tuhý | Tuhý | Tuhý |
| Sn6   | N11  | GSS    | Standard | Tuhý | Tuhý | Tuhý | Tuhý | Tuhý | Tuhý |
| Sn7   | N13  | GSS    | Standard | Tuhý | Tuhý | Tuhý | Tuhý | Tuhý | Tuhý |
| Sn10  | N19  | GSS    | Standard | Tuhý | Tuhý | Tuhý | Tuhý | Tuhý | Tuhý |
| Sn11  | N21  | GSS    | Standard | Tuhý | Tuhý | Tuhý | Tuhý | Tuhý | Tuhý |
| Sn12  | N23  | GSS    | Standard | Tuhý | Tuhý | Tuhý | Tuhý | Tuhý | Tuhý |
| Sn13  | N25  | GSS    | Standard | Tuhý | Tuhý | Tuhý | Tuhý | Tuhý | Tuhý |
| Sn14  | N27  | GSS    | Standard | Tuhý | Tuhý | Tuhý | Tuhý | Tuhý | Tuhý |
| Sn15  | N29  | GSS    | Standard | Tuhý | Tuhý | Tuhý | Tuhý | Tuhý | Tuhý |
| Sn16  | N31  | GSS    | Standard | Tuhý | Tuhý | Tuhý | Tuhý | Tuhý | Tuhý |
| Sn17  | N33  | GSS    | Standard | Tuhý | Tuhý | Tuhý | Tuhý | Tuhý | Tuhý |
| Sn18  | N35  | GSS    | Standard | Tuhý | Tuhý | Tuhý | Tuhý | Tuhý | Tuhý |
| Sn19  | N37  | GSS    | Standard | Tuhý | Tuhý | Tuhý | Tuhý | Tuhý | Tuhý |
| Sn20  | N51  | GSS    | Standard | Tuhý | Tuhý | Tuhý | Tuhý | Tuhý | Tuhý |
| Sn21  | N53  | GSS    | Standard | Tuhý | Tuhý | Tuhý | Tuhý | Tuhý | Tuhý |
| Sn22  | N55  | GSS    | Standard | Tuhý | Tuhý | Tuhý | Tuhý | Tuhý | Tuhý |

| Jméno | Uzel | Systém | Typ      | X    | Y    | Z    | Rx   | Ry   | Rz   |
|-------|------|--------|----------|------|------|------|------|------|------|
| Sn23  | N57  | GSS    | Standard | Tuhý | Tuhý | Tuhý | Tuhý | Tuhý | Tuhý |
| Sn24  | N59  | GSS    | Standard | Tuhý | Tuhý | Tuhý | Tuhý | Tuhý | Tuhý |
| Sn25  | N61  | GSS    | Standard | Tuhý | Tuhý | Tuhý | Tuhý | Tuhý | Tuhý |
| Sn26  | N63  | GSS    | Standard | Tuhý | Tuhý | Tuhý | Tuhý | Tuhý | Tuhý |
| Sn27  | N65  | GSS    | Standard | Tuhý | Tuhý | Tuhý | Tuhý | Tuhý | Tuhý |
| Sn28  | N69  | GSS    | Standard | Tuhý | Tuhý | Tuhý | Tuhý | Tuhý | Tuhý |
| Sn29  | N70  | GSS    | Standard | Tuhý | Tuhý | Tuhý | Tuhý | Tuhý | Tuhý |
| Sn30  | N139 | GSS    | Standard | Tuhý | Tuhý | Tuhý | Tuhý | Tuhý | Tuhý |
| Sn31  | N141 | GSS    | Standard | Tuhý | Tuhý | Tuhý | Tuhý | Tuhý | Tuhý |

## 6. Materiály

Ocel EC3

| Jméno | $\rho$<br>[kg/m <sup>3</sup> ] | $E_{mod}$<br>[MPa] | $\mu$<br>$\alpha$<br>[m/mK] | Dolní mez<br>[mm] | Horní mez<br>[mm] | $F_y$<br>[MPa] | $F_u$<br>[MPa] | Barva |
|-------|--------------------------------|--------------------|-----------------------------|-------------------|-------------------|----------------|----------------|-------|
|       |                                | $G_{mod}$<br>[MPa] |                             |                   |                   |                |                |       |
| S 235 | 7850,0                         | 2,1000e+05         | 0.3                         | 0                 | 40                | 235,0          | 360,0          | ■     |
|       |                                | 8,0769e+04         | 0,00                        | 40                | 80                | 215,0          | 360,0          |       |
| S 355 | 7850,0                         | 2,1000e+05         | 0.3                         | 0                 | 40                | 355,0          | 490,0          | ■     |
|       |                                | 8,0769e+04         | 0,00                        | 40                | 80                | 335,0          | 470,0          |       |

| Jméno  | Typ   | $\rho$<br>[kg/m <sup>3</sup> ] | Hustota v čerstvém stavu<br>[kg/m <sup>3</sup> ] | $E_{mod}$<br>[MPa] | $\mu$ | $\alpha$<br>[m/mK] | $f_{c,k,28}$<br>[MPa] | Barva |
|--------|-------|--------------------------------|--|--------------------|-------|--------------------|-----------------------|-------|
| C45/55 | Beton | 2500,0                         | 2600,0   | 3,6300e+04         | 0.2   | 0,00               | 45,00                 | ■     |

### Vysvětlivky symbolů

|                          |   |
|--------------------------|---|
| Hustota v čerstvém stavu | Hodnota hustoty v čerstvém stavu se použije pouze v případě, že je zadána spřažená deska a její vlastní tíha se zohledňuje. |
|--------------------------|---|

Zdivo

| Jméno   | Typ   | $\rho$<br>[kg/m <sup>3</sup> ] | $E_{mod}$<br>[MPa] | $\mu$ | $G_{mod}$<br>[MPa] | $\alpha$<br>[m/mK] | $f_k$<br>[MPa] | Barva |
|---------|-------|--------------------------------|--------------------|-------|--------------------|--------------------|----------------|-------|
| Masonry | Zdivo | 950,0                          | 3,1000e+03         | 0.25  | 1,2400e+03         | 0,00               | 3,1            | ■     |

## 7. Průřezy

| Jméno | Typ                        | Materiál | Výroba    | A<br>[m <sup>2</sup> ] | $A_y$<br>[m <sup>2</sup> ] | $I_y$<br>[m <sup>4</sup> ] | $W_{el,y}$<br>[m <sup>3</sup> ] | $W_{pl,y}$<br>[m <sup>3</sup> ] | Barva |
|-------|----------------------------|----------|-----------|------------------------|----------------------------|----------------------------|---------------------------------|---------------------------------|-------|
|       | Detailní                   |          |           |                        | $A_z$<br>[m <sup>2</sup> ] | $I_z$<br>[m <sup>4</sup> ] | $W_{el,z}$<br>[m <sup>3</sup> ] | $W_{pl,z}$<br>[m <sup>3</sup> ] |       |
| CS1   | Obdélník<br>400; 400       | C45/55   | beton     | 1,6000e-01             | 1,3348e-01                 | 2,1333e-03                 | 1,0667e-02                      | 0,0000e+00                      | ■     |
|       |                            |          |           |                        | 1,3348e-01                 | 2,1333e-03                 | 1,0667e-02                      | 0,0000e+00                      |       |
| CS2   | T g<br>600; 600; 340; 280  | C45/55   | beton     | 2,7680e-01             | 2,5127e-01                 | 7,2041e-03                 | 2,0519e-02                      | 0,0000e+00                      | ■     |
|       |                            |          |           |                        | 2,2500e-01                 | 6,5956e-03                 | 2,1985e-02                      | 0,0000e+00                      |       |
| CS3   | L g<br>600; 450; 340; 300  | C45/55   | beton     | 2,3100e-01             | 2,1415e-01                 | 6,9498e-03                 | 1,8536e-02                      | 0,0000e+00                      | ■     |
|       |                            |          |           |                        | 1,9406e-01                 | 3,0706e-03                 | 1,1160e-02                      | 0,0000e+00                      |       |
| CS4   | Obdélník<br>600; 400       | C45/55   | beton     | 2,4000e-01             | 2,0031e-01                 | 7,2000e-03                 | 2,4000e-02                      | 0,0000e+00                      | ■     |
|       |                            |          |           |                        | 2,0014e-01                 | 3,2000e-03                 | 1,6000e-02                      | 0,0000e+00                      |       |
| CS5   | Obdélník<br>600; 400       | C45/55   | beton     | 2,4000e-01             | 2,0031e-01                 | 7,2000e-03                 | 2,4000e-02                      | 0,0000e+00                      | ■     |
|       |                            |          |           |                        | 2,0014e-01                 | 3,2000e-03                 | 1,6000e-02                      | 0,0000e+00                      |       |
| CS6   | RO273X12.5                 | S 355    | válcovaný | 1,0200e-02             | 6,5125e-03                 | 8,6970e-05                 | 6,3700e-04                      | 8,4825e-04                      | ■     |
|       |                            |          |           |                        | 6,5125e-03                 | 8,6970e-05                 | 6,3700e-04                      | 8,4825e-04                      |       |
| CS7   | T g<br>1600; 500; 200; 180 | C45/55   | beton     | 3,5200e-01             | 2,4994e-01                 | 8,7312e-02                 | 9,4159e-02                      | 0,0000e+00                      | ■     |
|       |                            |          |           |                        | 2,5292e-01                 | 2,7637e-03                 | 1,1055e-02                      | 0,0000e+00                      |       |
| CS8   | Obdélník<br>400; 600       | C45/55   | beton     | 2,4000e-01             | 2,0014e-01                 | 3,2000e-03                 | 1,6000e-02                      | 0,0000e+00                      | ■     |
|       |                            |          |           |                        | 2,0031e-01                 | 7,2000e-03                 | 2,4000e-02                      | 0,0000e+00                      |       |
| CS9   | Obdélník<br>600; 600       | C45/55   | beton     | 3,6000e-01             | 3,0037e-01                 | 1,0800e-02                 | 3,6000e-02                      | 0,0000e+00                      | ■     |
|       |                            |          |           |                        | 3,0037e-01                 | 1,0800e-02                 | 3,6000e-02                      | 0,0000e+00                      |       |
| CS10  | Obdélník<br>500; 200       | C45/55   | beton     | 1,0000e-01             | 8,3565e-02                 | 2,0833e-03                 | 8,3333e-03                      | 0,0000e+00                      | ■     |
|       |                            |          |           |                        | 8,3370e-02                 | 3,3333e-04                 | 3,3333e-03                      | 0,0000e+00                      |       |

## 8. Zatěžovací stavy

| Jméno | Popis                      | Typ působení          | Skupina zatížení | Směr | Působení    | Řídicí zat. stav |
|-------|----------------------------|-----------------------|------------------|------|-------------|------------------|
|       | Spec                       | Typ zatížení          |                  |      |             |                  |
| ZS1   | vlastní tíha               | Stálé<br>Vlastní tíha | SZ1              | -Z   |             |                  |
| ZS2   | stálá zatížení             | Stálé<br>Standard     | SZ1              |      |             |                  |
| ZS3   | technologie                | Stálé<br>Standard     | SZ1              |      |             |                  |
| ZS4   | provoz kat. C5<br>Standard | Proměnné<br>Statické  | SZ2              |      | Střednědobé | Žádný            |
| ZS5   | sníh<br>Standard           | Proměnné<br>Statické  | SZ3              |      | Krátkodobé  | Žádný            |
| ZS6   | vítr a<br>Standard         | Proměnné<br>Statické  | SZ4              |      | Krátkodobé  | Žádný            |
| ZS7   | vítr b<br>Standard         | Proměnné<br>Statické  | SZ4              |      | Krátkodobé  | Žádný            |

## 9. Skupiny zatížení

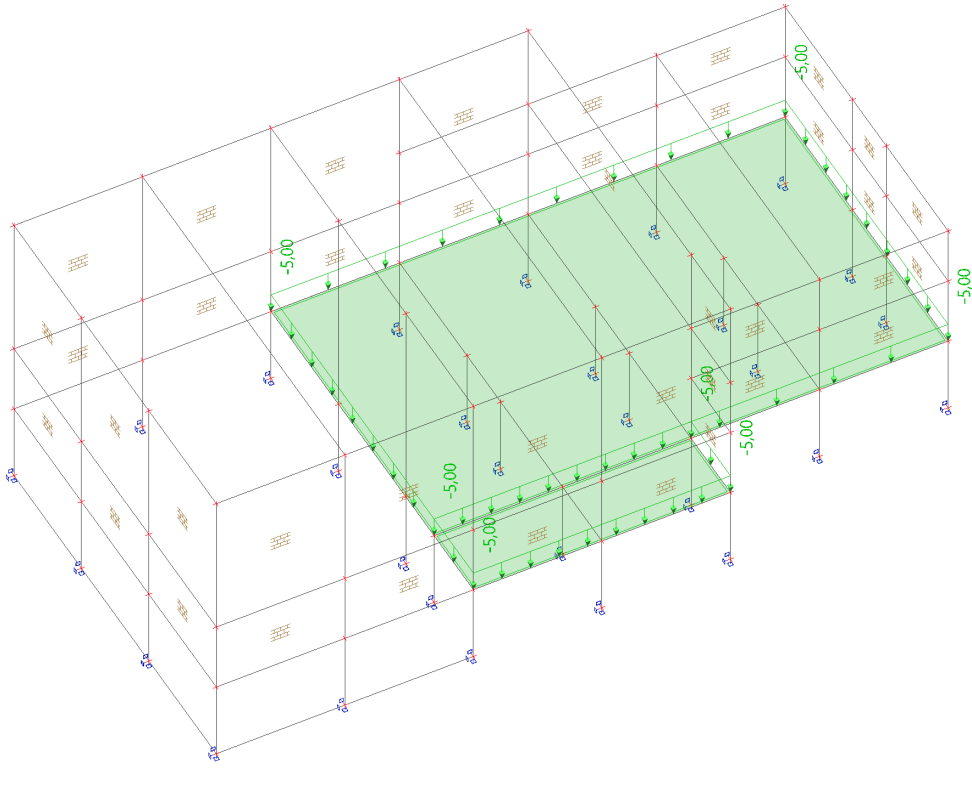
| Jméno | Zatížení | Vztah    | Typ                 |
|-------|----------|----------|---------------------|
| SZ1   | Stálé    |          |                     |
| SZ2   | Proměnné | Standard | Kat C : shromáždění |
| SZ3   | Proměnné | Standard | Sníh                |
| SZ4   | Proměnné | Vyběrová | Vítr                |

## 10. Kombinace

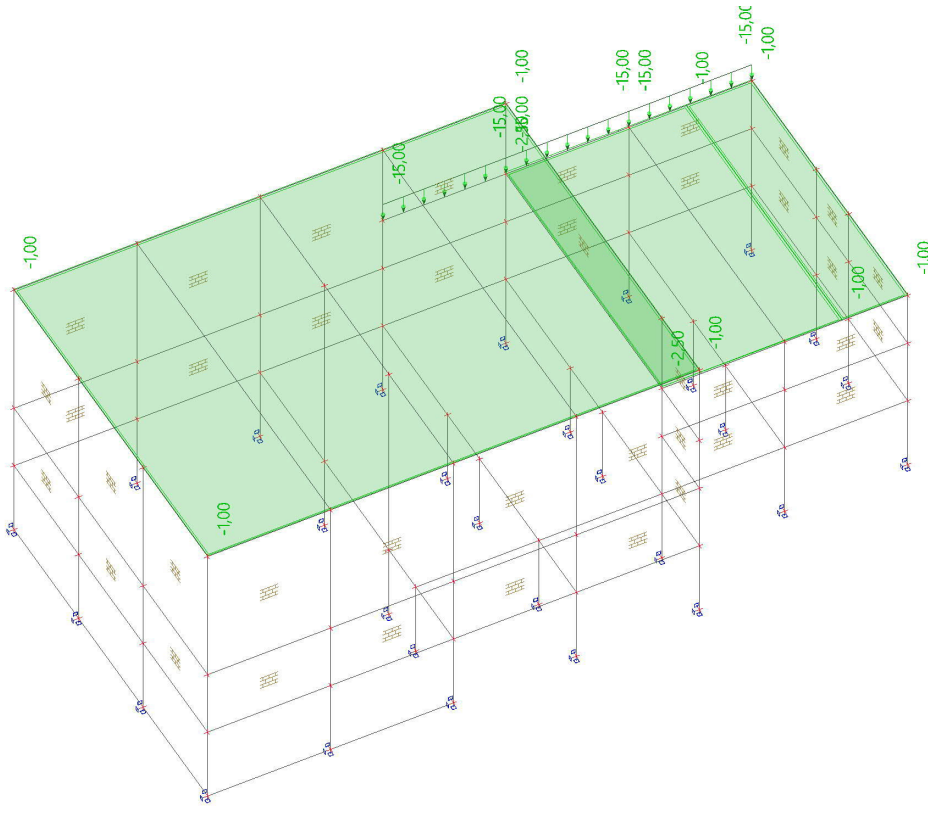
| Jméno             | Popis | Typ                       | Zatěžovací stavy     | Souč. [-] |
|-------------------|-------|---------------------------|----------------------|-----------|
| MSÚ-Sada B (auto) |       | EN-MSÚ (STR/GEO) Soubor B | ZS1 - vlastní tíha   | 1,00      |
|                   |       |                           | ZS2 - stálá zatížení | 1,10      |
|                   |       |                           | ZS3 - technologie    | 1,10      |
|                   |       |                           | ZS4 - provoz kat. C5 | 1,10      |
|                   |       |                           | ZS5 - sníh           | 1,10      |
|                   |       |                           | ZS6 - vítr a         | 1,10      |
|                   |       |                           | ZS7 - vítr b         | 1,10      |
| MSP-Char (auto)   |       | EN-MSP charakteristická   | ZS1 - vlastní tíha   | 1,00      |
|                   |       |                           | ZS2 - stálá zatížení | 1,00      |
|                   |       |                           | ZS3 - technologie    | 1,00      |
|                   |       |                           | ZS4 - provoz kat. C5 | 1,00      |
|                   |       |                           | ZS5 - sníh           | 1,00      |
|                   |       |                           | ZS6 - vítr a         | 1,00      |
|                   |       |                           | ZS7 - vítr b         | 1,00      |
| MSP-Kvazi (auto)  |       | EN-MSP kvazistálá         | ZS1 - vlastní tíha   | 1,00      |
|                   |       |                           | ZS2 - stálá zatížení | 1,00      |
|                   |       |                           | ZS3 - technologie    | 1,00      |
|                   |       |                           | ZS4 - provoz kat. C5 | 1,00      |
|                   |       |                           | ZS5 - sníh           | 1,00      |
|                   |       |                           | ZS6 - vítr a         | 1,00      |
|                   |       |                           | ZS7 - vítr b         | 1,00      |
| MSP-Častá         |       | EN-MSP častá              | ZS1 - vlastní tíha   | 1,00      |
|                   |       |                           | ZS2 - stálá zatížení | 1,00      |
|                   |       |                           | ZS3 - technologie    | 1,00      |
|                   |       |                           | ZS4 - provoz kat. C5 | 1,00      |
|                   |       |                           | ZS5 - sníh           | 1,00      |
|                   |       |                           | ZS6 - vítr a         | 1,00      |
|                   |       |                           | ZS7 - vítr b         | 1,00      |



13. 4.ZS - provoz kat. C5

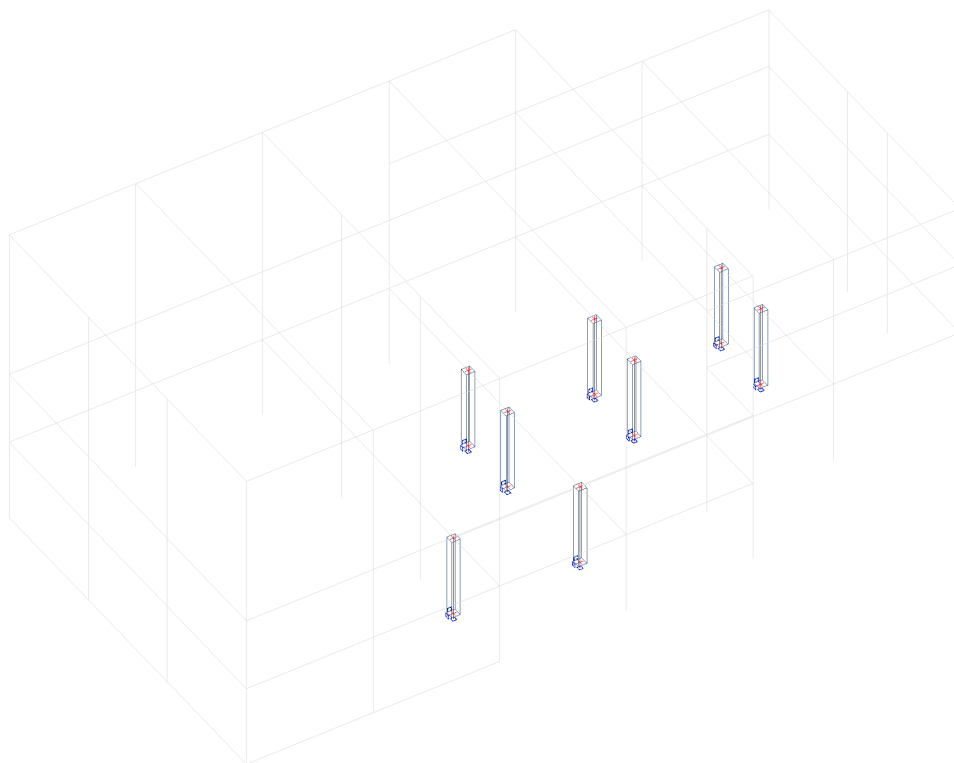


14. 5.ZS - sniž





17. sloupy 400x400 1.NP



Lineární výpočet

Kombinace: MSÚ-Sada B (auto)

Souřadný systém: Hlavní

Extrém 1D: Globální

Vyběr: Pojmenovaný výběr - 400x400 1.NP

| Jméno | dx [m] | Stav                | N [kN]  | V <sub>y</sub> [kN] | V <sub>z</sub> [kN] | M <sub>x</sub> [kNm] | M <sub>y</sub> [kNm] | M <sub>z</sub> [kNm] |
|-------|--------|---------------------|---------|---------------------|---------------------|----------------------|----------------------|----------------------|
| B7    | 0,000  | MSÚ-Sada B (auto)/1 | -405,52 | -1,39               | -0,24               | -0,39                | 0,38                 | 3,00                 |
| B14   | 4,000  | MSÚ-Sada B (auto)/2 | -159,75 | -0,20               | 0,29                | -0,12                | 0,00                 | -0,10                |
| B15   | 0,000  | MSÚ-Sada B (auto)/3 | -353,25 | -5,48               | 16,80               | -1,27                | -70,73               | 21,34                |
| B18   | 0,000  | MSÚ-Sada B (auto)/4 | -175,45 | -0,32               | -9,30               | -1,03                | 37,20                | -1,80                |
| B7    | 0,000  | MSÚ-Sada B (auto)/5 | -264,02 | -5,08               | 18,96               | -2,41                | -75,42               | 20,56                |
| B7    | 0,000  | MSÚ-Sada B (auto)/6 | -352,05 | -5,40               | 18,92               | -2,46                | -75,38               | 21,24                |
| B7    | 0,000  | MSÚ-Sada B (auto)/7 | -264,02 | -2,25               | -9,23               | 2,11                 | 37,18                | -1,54                |
| B7    | 0,000  | MSÚ-Sada B (auto)/8 | -313,11 | -5,27               | 18,95               | -2,42                | -75,42               | 20,96                |
| B7    | 0,000  | MSÚ-Sada B (auto)/9 | -302,97 | -2,38               | -9,26               | 2,06                 | 37,22                | -1,26                |
| B37   | 0,000  | MSÚ-Sada B (auto)/4 | -184,84 | 3,51                | -7,11               | -1,41                | 28,43                | -13,12               |

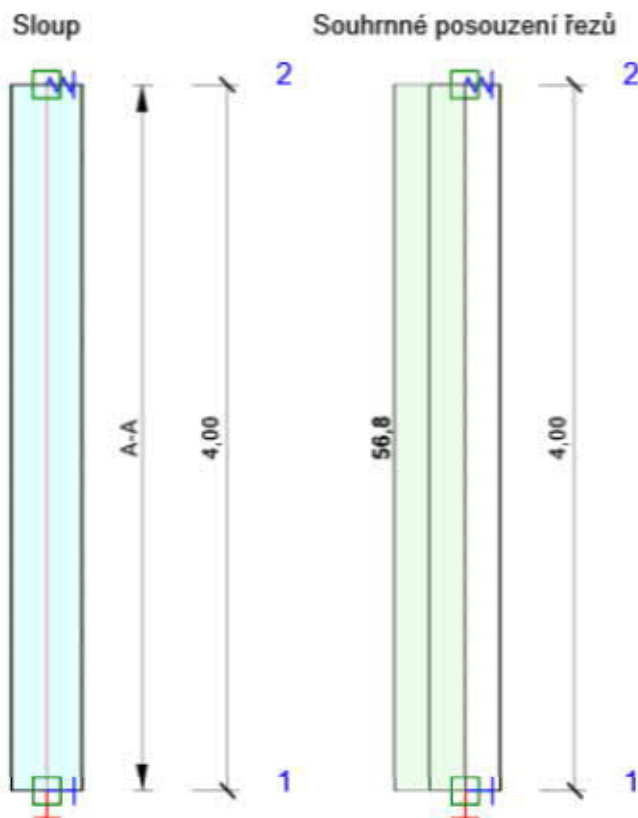
## Posouzení betonu

### Národní norma

|               |   |
|---------------|---|
| Národní norma | EN 1992-1-1:2014-12, CSN:2016-04/NA:2012-01 |
| Životnost     | 50 let                                      |

### Návrhová skupina: sloup 1.NP 400x400, Beton C45/55

#### Schéma vyztužení



#### Souhrn posudků řezů

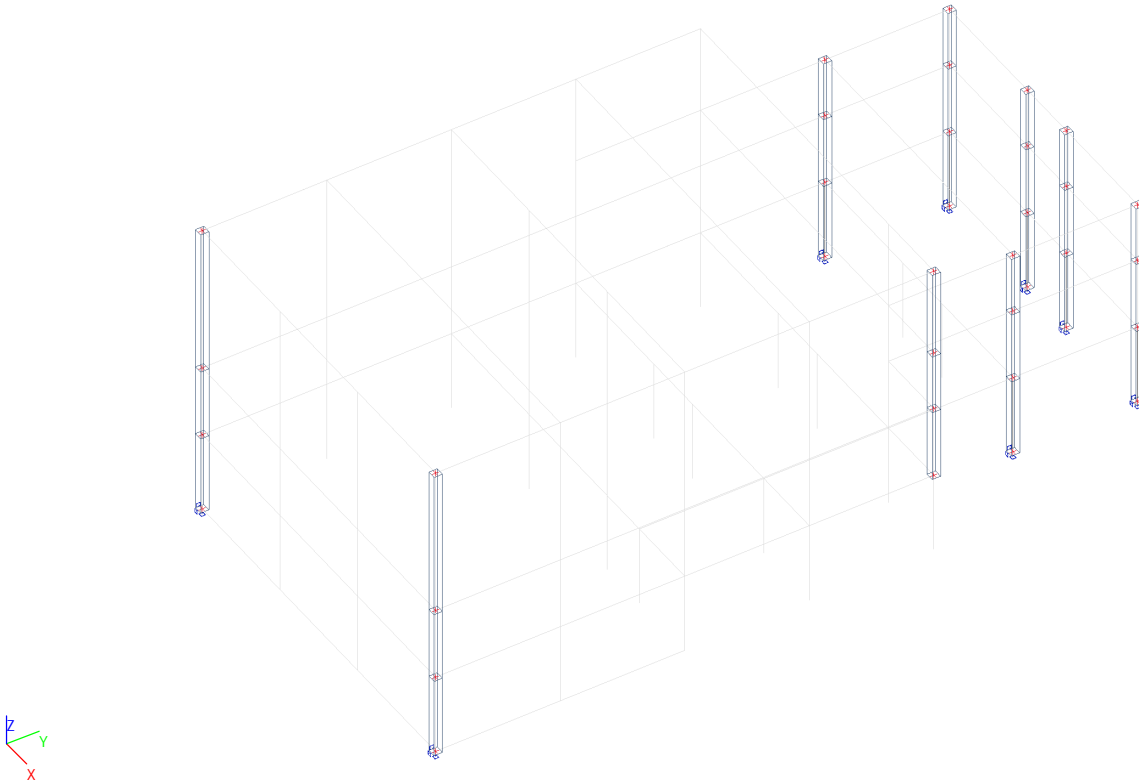
| Kombinace             | $N_{Ed}$<br>[kN]                        | $M_{Ed,y}$<br>[kNm] | $M_{Ed,z}$<br>[kNm] | $V_{Ed}$<br>[kN] | $T_{Ed}$<br>[kNm] | Hodnota<br>[%] | Posudek |
|-----------------------|---|---------------------|---------------------|------------------|-------------------|----------------|---------|
| Únosnost N-M-M        |   |                     |                     |                  |                   |                |         |
| MSÚ-Sada B (auto)(47) | -175,4                                  | -72,5               | 12,3                | 17,9             | -0,6              | 46,1           | OK      |
| Smyk                  |   |                     |                     |                  |                   |                |         |
| MSÚ-Sada B (auto)(47) | -264,0                                  | -76,7               | 20,9                | 19,0             | -2,4              | 18,0           | OK      |
| Interakce             |   |                     |                     |                  |                   |                |         |
| MSÚ-Sada B (auto)(47) | -175,4                                  | -72,5               | 12,3                | 17,9             | -0,6              | 56,8           | OK      |
| Omezení napětí        |   |                     |                     |                  |                   |                |         |
| MSP-Kvazi (auto)(102) | -270,1                                  | 0,2                 | 2,0                 | -0,2             | -0,3              | 8,9            | OK      |
| Šířka trhliny         |   |                     |                     |                  |                   |                |         |
| MSP-Kvazi (auto)(102) | -270,1                                  | 0,2                 | 2,0                 | -0,2             | -0,3              | 0,0            | OK      |
| <b>Kombinace</b>      | <b>Popis kritických účinků zatížení</b> |                     |                     |                  |                   |                |         |

| Kombinace             | Popis kritických účinků zatížení    |
|-----------------------|-------------------------------------|
| MSÚ-Sada B (auto)(47) | ZS1 + 1,1*ZS2 + 1,49*ZS3 + 1,65*ZS7 |
| MSP-Kvazi (auto)(102) | ZS1 + ZS2 + ZS3 + 0,6*ZS4           |

## Výkaz materiálu

| Délka [m] | Počet DD | Beton  |                   |             | Výztuž [kg]           | Celková hmotnost [kg]                              |
|-----------|----------|--------|-------------------|-------------|-----------------------|--|
|           |          | Název  | [m <sup>3</sup> ] | [kg]        |                       |  |
| 4,00      | 8        | C45/55 | 0,64              | 1600        | 51                    | 1651   |
|           |          | Beton  |                   | Výztuž [kg] | Celková hmotnost [kg] | Výztuž /m <sup>3</sup> betonu [kg/m <sup>3</sup> ] |
|           |          | Název  | [m <sup>3</sup> ] |             |                       |  |
| Souhrn    |          | C45/55 | 5,12              | 405         | 13205                 | 79   |
| Φ [mm]    | Materiál |        | Typ vyztužení     |             | Délka [m]             | Hmotnost [kg]                                      |
| 20        | B 500B   |        | Výztužné vložky   |             | 128,00                | 316  |
| 8         | B 500B   |        | Třmínky           |             | 225,28                | 89   |

## 18. sloupy 400x400



Lineární výpočet

Kombinace: MSÚ-Sada B (auto)

Souřadný systém: Hlavní

Extrém 1D: Globální

Výběr: Pojmenovaný výběr - 400x400

| Jméno | dx [m] | Stav                | N [kN]   | V <sub>y</sub> [kN] | V <sub>z</sub> [kN] | M <sub>x</sub> [kNm] | M <sub>y</sub> [kNm] | M <sub>z</sub> [kNm] |
|-------|--------|---------------------|----------|---------------------|---------------------|----------------------|----------------------|----------------------|
| B36   | 0,000  | MSÚ-Sada B (auto)/1 | -1231,51 | 0,00                | 0,04                | -0,49                | -0,17                | 0,24                 |
| B176  | 4,400  | MSÚ-Sada B (auto)/2 | -26,98   | -0,06               | -7,02               | -5,52                | -0,39                | -2,85                |
| B85   | 2,700- | MSÚ-Sada B (auto)/3 | -291,46  | -15,33              | 6,65                | -17,77               | -0,71                | -4,48                |
| B147  | 3,000  | MSÚ-Sada B (auto)/4 | -140,02  | 13,43               | -13,68              | -13,60               | -12,67               | 4,58                 |
| B87   | 0,000  | MSÚ-Sada B (auto)/3 | -346,08  | -9,06               | -13,99              | 12,93                | 5,82                 | 14,64                |
| B85   | 1,800- | MSÚ-Sada B (auto)/5 | -295,37  | -10,18              | 5,38                | -18,26               | -1,93                | 2,71                 |
| B168  | 4,229- | MSÚ-Sada B (auto)/6 | -103,23  | 3,18                | -3,32               | 15,42                | 7,40                 | -2,38                |
| B4    | 0,000  | MSÚ-Sada B (auto)/7 | -618,98  | -9,73               | 21,69               | 8,08                 | -72,74               | 30,62                |
| B1    | 0,000  | MSÚ-Sada B (auto)/8 | -599,89  | 3,91                | -10,61              | 12,77                | 36,64                | -14,31               |
| B44   | 0,000  | MSÚ-Sada B (auto)/9 | -759,47  | 9,85                | 4,57                | -0,75                | -20,88               | -34,08               |
| B45   | 0,000  | MSÚ-Sada B (auto)/3 | -610,17  | -9,48               | 14,59               | 3,95                 | -45,79               | 31,87                |

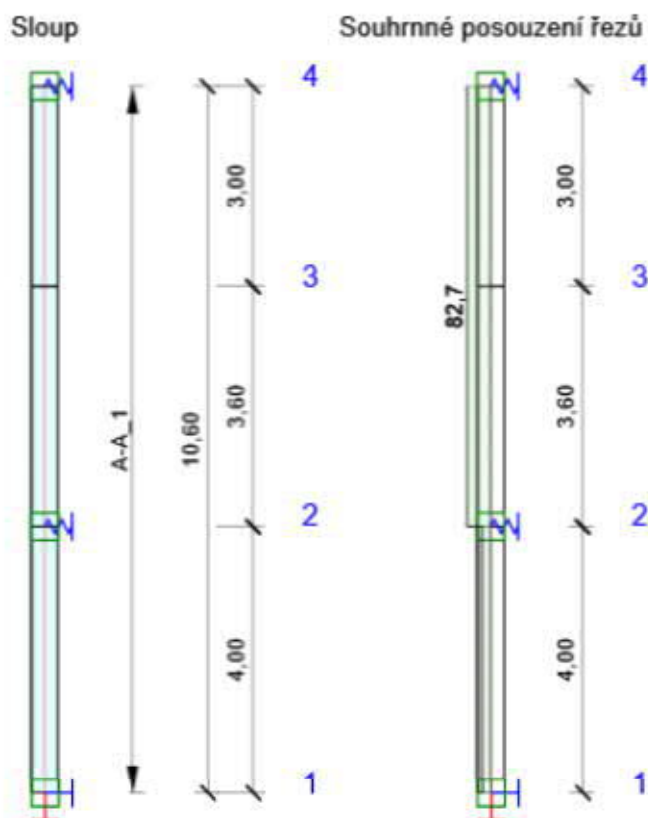
# Posouzení betonu

## Národní norma

|               |   |
|---------------|---|
| Národní norma | EN 1992-1-1:2014-12, CSN:2016-04/NA:2012-01 |
| Životnost     | 50 let                                      |

## Návrhová skupina: sloup 400x400, Beton C45/55

### Schéma vyztužení



### Souhrn posudků řezů

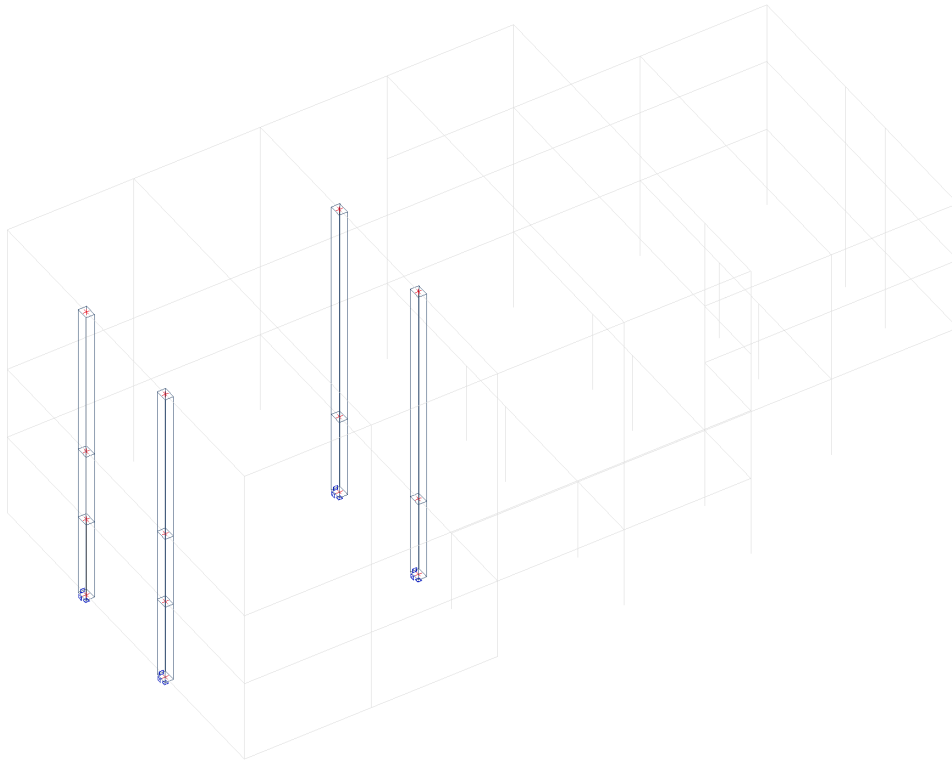
| Kombinace                                  | $N_{Ed}$<br>[kN]                        | $M_{Ed,y}$<br>[kNm] | $M_{Ed,z}$<br>[kNm] | $V_{Ed}$<br>[kN] | $T_{Ed}$<br>[kNm] | Hodnota<br>[%] | Posudek |
|--|---|---------------------|---------------------|------------------|-------------------|----------------|---------|
| Únosnost N-M-M, Zóna: A-A_1 (4,00 - 10,60) |   |                     |                     |                  |                   |                |         |
| MSÚ-Sada B (auto)(51)                      | -515,3                                  | 164,4               | -154,8              | -0,2             | 0,4               | 74,3           | OK      |
| Smyk, Zóna: A-A_1 (4,00 - 10,60)           |   |                     |                     |                  |                   |                |         |
| MSÚ-Sada B (auto)(6)                       | -220,3                                  | 13,3                | 6,5                 | -9,0             | -0,2              | 19,9           | OK      |
| Interakce, Zóna: A-A_1 (4,00 - 10,60)      |   |                     |                     |                  |                   |                |         |
| MSÚ-Sada B (auto)(51)                      | -515,3                                  | 164,4               | -154,8              | -0,2             | 0,4               | 82,7           | OK      |
| Omezení napětí, Zóna: A-A_1 (0,00 - 4,00)  |   |                     |                     |                  |                   |                |         |
| MSP-Kvazi (auto)(102)                      | -787,0                                  | -0,1                | 0,2                 | 0,0              | -0,3              | 22,0           | OK      |
| Šířka trhliny, Zóna: A-A_1 (0,00 - 4,00)   |   |                     |                     |                  |                   |                |         |
| MSP-Kvazi (auto)(102)                      | -787,0                                  | -0,1                | 0,2                 | 0,0              | -0,3              | 0,0            | OK      |
| <b>Kombinace</b>                           | <b>Popis kritických účinků zatížení</b> |                     |                     |                  |                   |                |         |

| Kombinace             | Popis kritických účinků zatížení          |
|-----------------------|---|
| MSÚ-Sada B (auto)(51) | 1,35*ZS1 + 1,49*ZS2 + 1,49*ZS3 + 1,65*ZS5 |
| MSÚ-Sada B (auto)(6)  | ZS1 + 1,1*ZS2 + 1,1*ZS3 + 1,65*ZS6        |
| MSP-Kvazi (auto)(102) | ZS1 + ZS2 + ZS3 + 0,6*ZS4                 |

## Výkaz materiálu

| Délka [m] | Počet DD | Beton  |                   |             | Výztuž [kg]           | Celková hmotnost [kg]                              |
|-----------|----------|--------|-------------------|-------------|-----------------------|--|
|           |          | Název  | [m <sup>3</sup> ] | [kg]        |                       |  |
| 10,60     | 2        | C45/55 | 1,70              | 4240        | 297                   | 4537   |
|           |          | Beton  |                   | Výztuž [kg] | Celková hmotnost [kg] | Výztuž /m <sup>3</sup> betonu [kg/m <sup>3</sup> ] |
|           |          | Název  | [m <sup>3</sup> ] |             |                       |  |
| Souhrn    |          | C45/55 | 3,39              | 594         | 9074                  | 175  |
| Φ [mm]    | Materiál |        | Typ vyztužení     |             | Délka [m]             | Hmotnost [kg]                                      |
| 32        | B 500B   |        | Výztužné vložky   |             | 84,80                 | 535  |
| 8         | B 500B   |        | Třmínky           |             | 149,25                | 59   |

19. štítové sloupy 600x400



Lineární výpočet

Kombinace: MSÚ-Sada B (auto)

Souřadný systém: Hlavní

Extrém 1D: Globální

Vyběr: Pojmenovaný výběr - 600x400

| Jméno | dx [m] | Stav                | N [kN]   | V <sub>y</sub> [kN] | V <sub>z</sub> [kN] | M <sub>x</sub> [kNm] | M <sub>y</sub> [kNm] | M <sub>z</sub> [kNm] |
|-------|--------|---------------------|----------|---------------------|---------------------|----------------------|----------------------|----------------------|
| B201  | 0,000  | MSÚ-Sada B (auto)/1 | -1039,82 | -0,14               | -6,01               | 1,89                 | 16,65                | 0,64                 |
| B199  | 11,000 | MSÚ-Sada B (auto)/2 | -28,80   | -3,17               | -0,22               | 0,37                 | 0,23                 | 0,00                 |
| B2    | 0,000  | MSÚ-Sada B (auto)/3 | -613,60  | -30,45              | -55,32              | 29,21                | 188,84               | 115,53               |
| B2    | 0,000  | MSÚ-Sada B (auto)/4 | -521,20  | 62,04               | 28,32               | -12,85               | -90,85               | -237,70              |
| B3    | 0,000  | MSÚ-Sada B (auto)/2 | -499,41  | -30,12              | -59,36              | -24,47               | 203,16               | 114,73               |
| B89   | 1,800- | MSÚ-Sada B (auto)/5 | -322,45  | -2,01               | -7,59               | -27,91               | -3,84                | -8,19                |
| B88   | 1,800- | MSÚ-Sada B (auto)/6 | -298,48  | -2,65               | -6,52               | 34,56                | -4,28                | -8,00                |
| B3    | 0,000  | MSÚ-Sada B (auto)/7 | -636,65  | 61,87               | 33,56               | 5,57                 | -110,37              | -237,72              |
| B3    | 0,000  | MSÚ-Sada B (auto)/4 | -522,60  | 61,92               | 33,51               | 5,61                 | -110,11              | -237,96              |

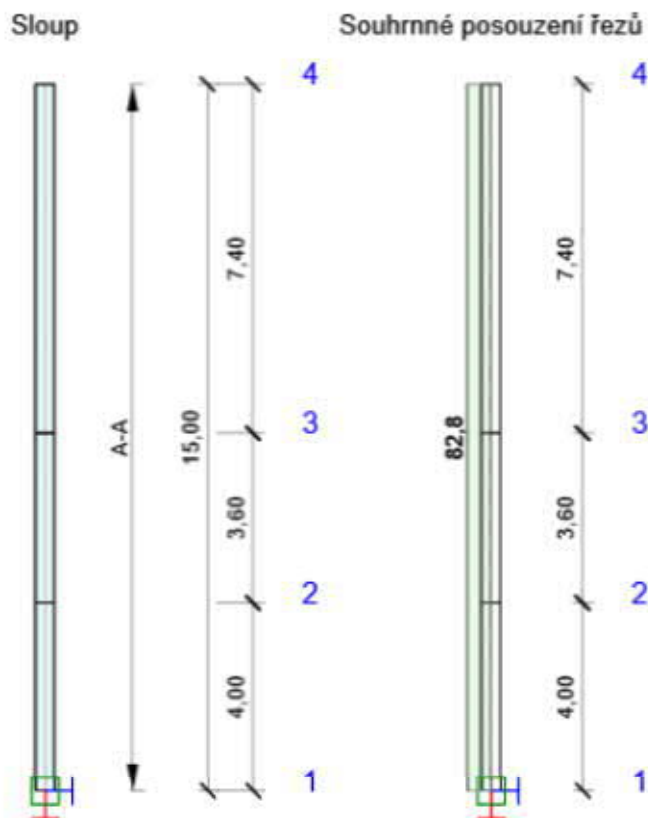
# Posouzení betonu

## Národní norma

|               |   |
|---------------|---|
| Národní norma | EN 1992-1-1:2014-12, CSN:2016-04/NA:2012-01 |
| Životnost     | 50 let                                      |

## Návrhová skupina: sloup 600x400, Beton C45/55

### Schéma vyztužení



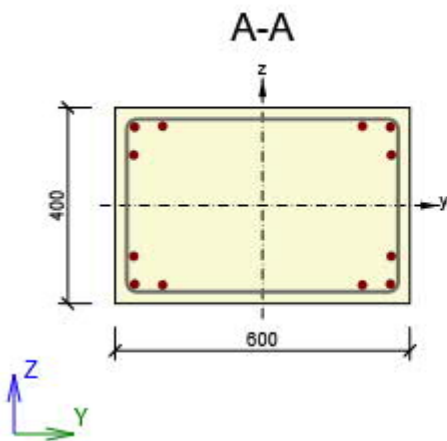
### Souhrn posudků řezů

| Kombinace             | $N_{Ed}$ [kN]                           | $M_{Ed,y}$ [kNm] | $M_{Ed,z}$ [kNm] | $V_{Ed}$ [kN] | $T_{Ed}$ [kNm] | Hodnota [%] | Posudek |
|-----------------------|---|------------------|------------------|---------------|----------------|-------------|---------|
| Únosnost N-M-M        |   |                  |                  |               |                |             |         |
| MSÚ-Sada B (auto)(6)  | -499,4                                  | 206,1            | 116,4            | -59,4         | -24,5          | 55,9        | OK      |
| Smyk                  |   |                  |                  |               |                |             |         |
| MSÚ-Sada B (auto)(15) | -522,6                                  | -111,8           | -241,0           | 33,5          | 5,6            | 39,6        | OK      |
| Interakce             |   |                  |                  |               |                |             |         |
| MSÚ-Sada B (auto)(6)  | -499,4                                  | 206,1            | 116,4            | -59,4         | -24,5          | 82,8        | OK      |
| Omezení napětí        |   |                  |                  |               |                |             |         |
| MSP-Char (auto)(37)   | -504,5                                  | 123,0            | 69,6             | -36,0         | -14,8          | 38,0        | OK      |
| Šířka trhliny         |   |                  |                  |               |                |             |         |
| MSP-Kvazi (auto)(101) | -531,2                                  | -0,4             | 0,4              | 0,1           | -0,1           | 0,0         | OK      |
| <b>Kombinace</b>      | <b>Popis kritických účinků zatížení</b> |                  |                  |               |                |             |         |

| Kombinace             | Popis kritických účinků zatížení               |
|-----------------------|--|
| MSÚ-Sada B (auto)(6)  | ZS1 + 1,1*ZS2 + 1,1*ZS3 + 1,65*ZS6             |
| MSÚ-Sada B (auto)(15) | ZS1 + 1,1*ZS2 + 1,49*ZS3 + 1,16*ZS4 + 1,65*ZS7 |
| MSP-Char (auto)(37)   | ZS1 + ZS2 + ZS3 + ZS6                          |
| MSP-Kvazi (auto)(101) | ZS1 + ZS2 + ZS3                                |

## Výkaz materiálu

| Délka [m] | Počet DD | Beton           |                   |             | Výztuž [kg]           | Celková hmotnost [kg]                              |
|-----------|----------|-----------------|-------------------|-------------|-----------------------|--|
|           |          | Název           | [m <sup>3</sup> ] | [kg]        |                       |  |
| 15,00     | 2        | C45/55          | 3,60              | 9000        | 497                   | 9497   |
|           |          | Beton           |                   | Výztuž [kg] | Celková hmotnost [kg] | Výztuž /m <sup>3</sup> betonu [kg/m <sup>3</sup> ] |
|           |          | Název           | [m <sup>3</sup> ] |             |                       |  |
| Souhrn    |          | C45/55          | 7,20              | 995         | 18995                 | 138  |
| Φ [mm]    | Materiál | Typ vyztužení   |                   |             | Délka [m]             | Hmotnost [kg]                                      |
| 20        | B 500B   | Výztužné vložky |                   |             | 360,00                | 888  |
| 8         | B 500B   | Třmínky         |                   |             | 271,20                | 107  |



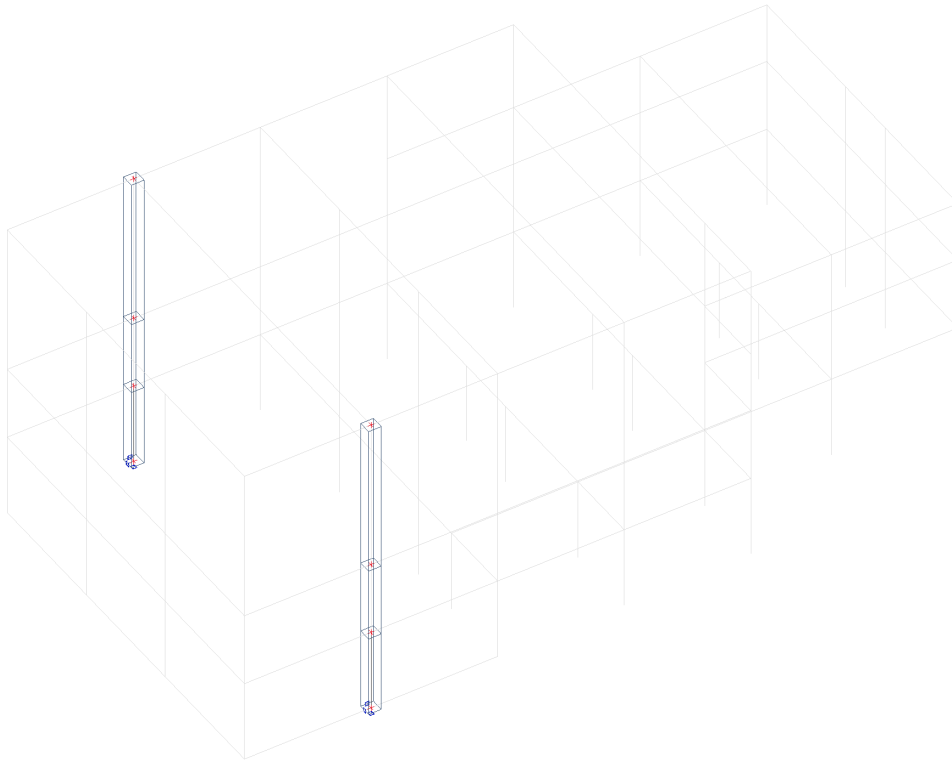
### Výztuž:

2 $\phi$ 20 (628mm<sup>2</sup>) (B 500B), z = 162 mm  
 2 $\phi$ 20 (628mm<sup>2</sup>) (B 500B), z = 160 mm  
 2 $\phi$ 20 (628mm<sup>2</sup>) (B 500B), z = 103 mm  
 2 $\phi$ 20 (628mm<sup>2</sup>) (B 500B), z = -103 mm  
 2 $\phi$ 20 (628mm<sup>2</sup>) (B 500B), z = -160 mm  
 2 $\phi$ 20 (628mm<sup>2</sup>) (B 500B), z = -162 mm

### Třmínky:

$\phi$ 8 (B 500B) - 200 mm, uzavřený, pro posouzení kroucen

20. sloupy 600x600 (1)



Lineární výpočet

Kombinace: MSÚ-Sada B (auto)

Souřadný systém: Hlavní

Extrém 1D: Globální

Vyběr: Pojmenovaný výběr - 600x600 (1)

| Jméno | dx [m] | Stav                | N [kN]  | V <sub>y</sub> [kN] | V <sub>z</sub> [kN] | M <sub>x</sub> [kNm] | M <sub>y</sub> [kNm] | M <sub>z</sub> [kNm] |
|-------|--------|---------------------|---------|---------------------|---------------------|----------------------|----------------------|----------------------|
| B5    | 0,000  | MSÚ-Sada B (auto)/1 | -898,80 | -1,79               | -1,27               | -0,72                | 3,84                 | 6,52                 |
| B160  | 7,400  | MSÚ-Sada B (auto)/2 | -130,86 | -7,83               | -29,42              | 6,03                 | -5,13                | 1,09                 |
| B5    | 0,000  | MSÚ-Sada B (auto)/3 | -752,39 | -40,62              | 79,30               | 2,60                 | -405,67              | 155,54               |
| B5    | 0,000  | MSÚ-Sada B (auto)/4 | -734,52 | 25,59               | -63,98              | 10,52                | 270,00               | -116,99              |
| B160  | 0,000  | MSÚ-Sada B (auto)/5 | -263,01 | 9,24                | -2,13               | -26,53               | 73,37                | -4,40                |
| B160  | 1,057- | MSÚ-Sada B (auto)/6 | -269,41 | 0,24                | 6,65                | 37,35                | -71,03               | -6,92                |
| B5    | 0,000  | MSÚ-Sada B (auto)/7 | -631,45 | -40,12              | 79,59               | 2,75                 | -406,59              | 153,72               |
| B5    | 0,000  | MSÚ-Sada B (auto)/2 | -613,57 | 26,10               | -63,69              | 10,67                | 269,08               | -118,81              |

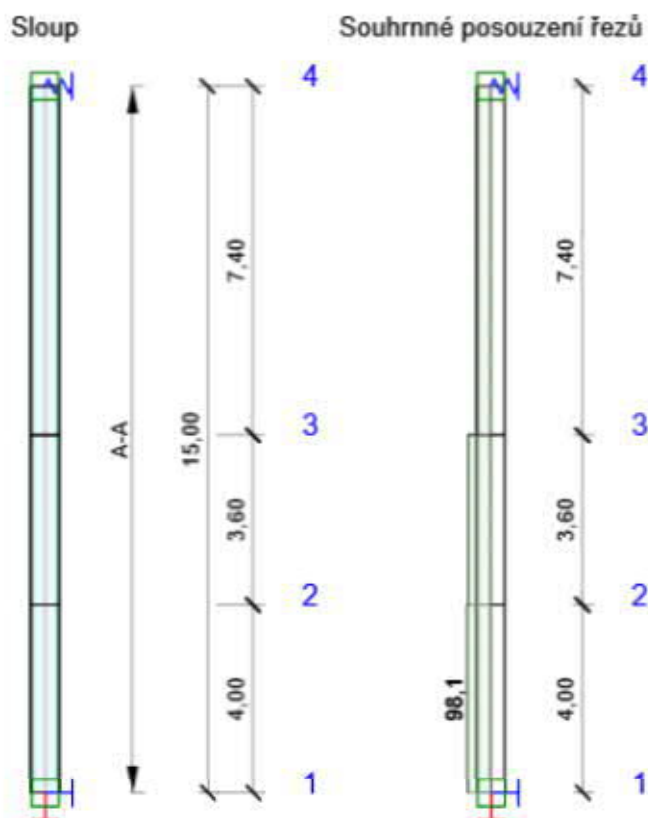
# Posouzení betonu

## Národní norma

|               |   |
|---------------|---|
| Národní norma | EN 1992-1-1:2014-12, CSN:2016-04/NA:2012-01 |
| Životnost     | 50 let                                      |

## Návrhová skupina: sloup 600x600, Beton C45/55

### Schéma vyztužení



### Souhrn posudků řezů

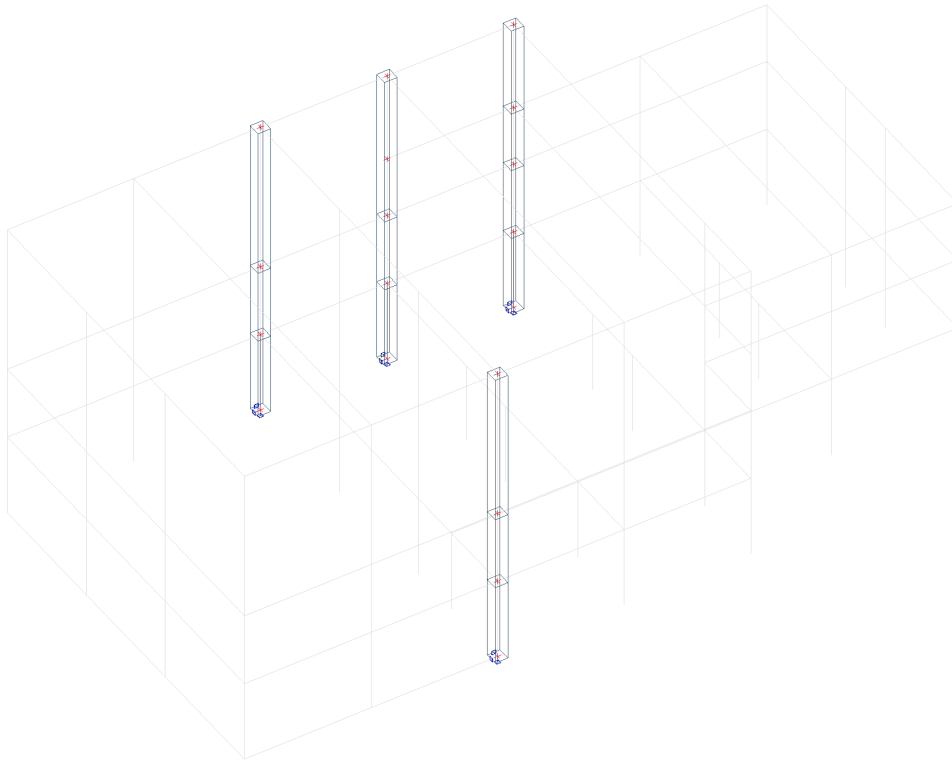
| Kombinace                               | $N_{Ed}$ [kN]                           | $M_{Ed,y}$ [kNm] | $M_{Ed,z}$ [kNm] | $V_{Ed}$ [kN] | $T_{Ed}$ [kNm] | Hodnota [%] | Posudek |
|---|---|------------------|------------------|---------------|----------------|-------------|---------|
| Únosnost N-M-M, Zóna: A-A (0,00 - 4,00) |   |                  |                  |               |                |             |         |
| MSÚ-Sada B (auto)(28)                   | -883,2                                  | -1215,3          | 158,3            | 79,3          | 2,5            | 98,1        | OK      |
| Smyk, Zóna: A-A (0,00 - 4,00)           |   |                  |                  |               |                |             |         |
| MSÚ-Sada B (auto)(31)                   | -631,6                                  | -985,3           | 157,2            | 79,5          | 2,7            | 30,4        | OK      |
| Interakce, Zóna: A-A (0,00 - 4,00)      |   |                  |                  |               |                |             |         |
| MSÚ-Sada B (auto)(28)                   | -883,2                                  | -1215,3          | 158,3            | 79,3          | 2,5            | 93,9        | OK      |
| Omezení napětí, Zóna: A-A (0,00 - 4,00) |   |                  |                  |               |                |             |         |
| MSP-Char (auto)(40)                     | -626,5                                  | -245,4           | 95,1             | 47,9          | 1,5            | 21,7        | OK      |
| Šířka trhliny, Zóna: A-A (0,00 - 4,00)  |   |                  |                  |               |                |             |         |
| MSP-Kvazi (auto)(102)                   | -700,3                                  | 0,8              | 4,5              | -0,5          | 3,1            | 0,0         | OK      |
| <b>Kombinace</b>                        | <b>Popis kritických účinků zatížení</b> |                  |                  |               |                |             |         |

| Kombinace             | Popis kritických účinků zatížení                     |
|-----------------------|--|
| MSÚ-Sada B (auto)(28) | 1,35*ZS1 + 1,49*ZS2 + 1,49*ZS3 + 0,83*ZS5 + 1,65*ZS7 |
| MSÚ-Sada B (auto)(31) | ZS1 + 1,1*ZS2 + 1,1*ZS3 + 1,16*ZS4 + 1,65*ZS7        |
| MSP-Char (auto)(40)   | ZS1 + ZS2 + ZS3 + 0,7*ZS4 + ZS7                      |
| MSP-Kvazi (auto)(102) | ZS1 + ZS2 + ZS3 + 0,6*ZS4                            |

## Výkaz materiálu

| Délka [m] | Počet DD | Beton           |                   |             | Výztuž [kg]           | Celková hmotnost [kg]                              |
|-----------|----------|-----------------|-------------------|-------------|-----------------------|--|
|           |          | Název           | [m <sup>3</sup> ] | [kg]        |                       |  |
| 15,00     | 3        | C45/55          | 5,40              | 13500       | 1202                  | 14702  |
|           |          | Beton           |                   | Výztuž [kg] | Celková hmotnost [kg] | Výztuž /m <sup>3</sup> betonu [kg/m <sup>3</sup> ] |
|           |          | Název           | [m <sup>3</sup> ] |             |                       |  |
| Souhrn    |          | C45/55          | 16,20             | 3605        | 44105                 | 223  |
| Φ [mm]    | Materiál | Typ vyztužení   |                   |             | Délka [m]             | Hmotnost [kg]                                      |
| 32        | B 500B   | Výztužné vložky |                   |             | 540,00                | 3409   |
| 8         | B 500B   | Třmínky         |                   |             | 496,80                | 196  |

21. sloupy 600x600 (2)



Lineární výpočet

Kombinace: MSÚ-Sada B (auto)

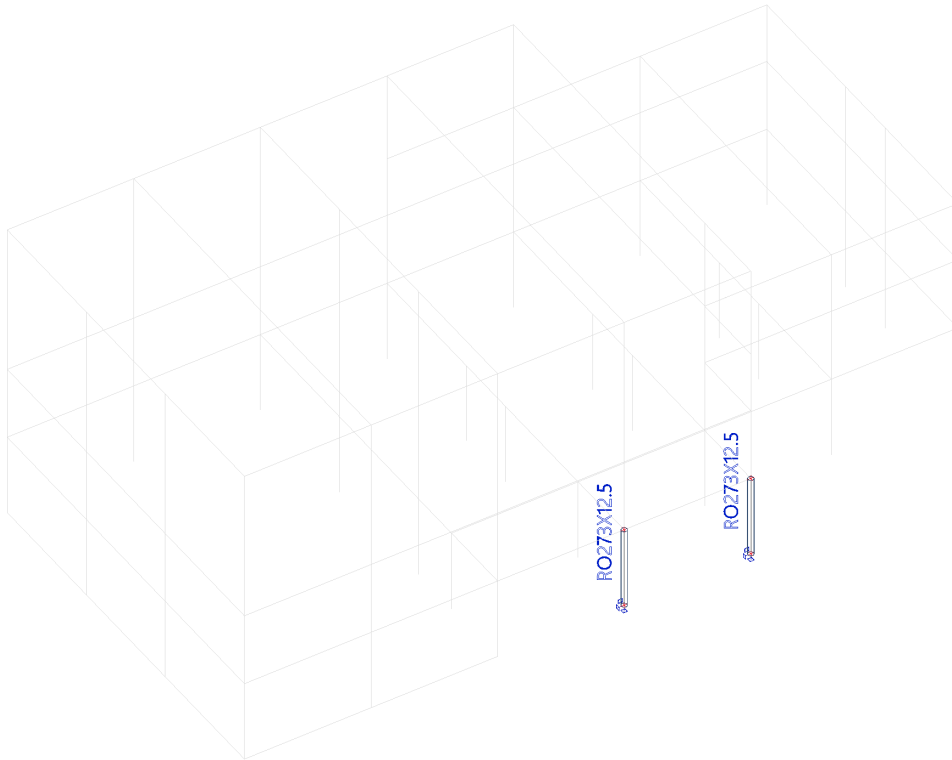
Souřadný systém: Hlavní

Extrém 1D: Globální

Výběr: Pojmenovaný výběr - 600x600 (2)

| Jméno | dx [m] | Stav                | N [kN]   | V <sub>y</sub> [kN] | V <sub>z</sub> [kN] | M <sub>x</sub> [kNm] | M <sub>y</sub> [kNm] | M <sub>z</sub> [kNm] |
|-------|--------|---------------------|----------|---------------------|---------------------|----------------------|----------------------|----------------------|
| B16   | 0,000  | MSÚ-Sada B (auto)/1 | -2083,74 | -0,53               | 3,75                | -0,97                | -9,57                | 1,09                 |
| B161  | 7,400  | MSÚ-Sada B (auto)/2 | -55,10   | -5,76               | -5,23               | 1,84                 | 0,59                 | 1,02                 |
| B6    | 0,000  | MSÚ-Sada B (auto)/3 | -847,22  | -41,97              | 1,75                | -3,32                | -257,51              | 157,67               |
| B172  | 4,400  | MSÚ-Sada B (auto)/4 | -283,77  | 5,67                | -44,53              | 2,83                 | -9,52                | 3,66                 |
| B83   | 0,000  | MSÚ-Sada B (auto)/3 | -463,37  | -9,60               | 93,13               | 12,00                | -228,40              | -3,41                |
| B162  | 3,000+ | MSÚ-Sada B (auto)/4 | -252,62  | -2,03               | 9,90                | -35,80               | -45,25               | -3,43                |
| B162  | 3,000- | MSÚ-Sada B (auto)/5 | -459,64  | -20,87              | -3,58               | 33,91                | 15,73                | -15,30               |
| B10   | 0,000  | MSÚ-Sada B (auto)/6 | -938,54  | -19,67              | 53,18               | 21,03                | -318,05              | 80,36                |
| B16   | 0,000  | MSÚ-Sada B (auto)/7 | -1287,35 | 19,89               | -28,85              | 0,07                 | 163,05               | -85,29               |
| B6    | 0,000  | MSÚ-Sada B (auto)/7 | -687,07  | 28,00               | -4,84               | 13,52                | 131,60               | -120,35              |

22. Sloup Tr.273x12,5



Lineární výpočet

Kombinace: MSÚ-Sada B (auto)

Souřadný systém: Hlavní

Extrém 1D: Globální

Vyběr: Vše

Filtr: Průřez = CS6 - RO273X12.5

| Jméno | dx [m] | Stav                | Průřez           | N [kN]   | V <sub>y</sub> [kN] | V <sub>z</sub> [kN] | M <sub>x</sub> [kNm] | M <sub>y</sub> [kNm] | M <sub>z</sub> [kNm] |
|-------|--------|---------------------|------------------|----------|---------------------|---------------------|----------------------|----------------------|----------------------|
| B68   | 0,000  | MSÚ-Sada B (auto)/1 | CS6 - RO273X12.5 | -1020,09 | -0,09               | 0,16                | 0,05                 | -0,51                | 0,36                 |
| B69   | 4,000  | MSÚ-Sada B (auto)/2 | CS6 - RO273X12.5 | -348,26  | 1,77                | -0,36               | 1,05                 | 4,95                 | 0,87                 |
| B68   | 0,000  | MSÚ-Sada B (auto)/3 | CS6 - RO273X12.5 | -844,76  | -3,00               | -4,15               | -0,39                | -6,07                | 8,82                 |
| B69   | 0,000  | MSÚ-Sada B (auto)/3 | CS6 - RO273X12.5 | -661,50  | -2,81               | 0,33                | -0,98                | -11,40               | 8,63                 |
| B69   | 0,000  | MSÚ-Sada B (auto)/4 | CS6 - RO273X12.5 | -362,57  | 1,77                | -0,39               | 1,06                 | 6,42                 | -6,22                |
| B68   | 4,000  | MSÚ-Sada B (auto)/5 | CS6 - RO273X12.5 | -687,24  | -2,97               | -4,23               | -0,39                | -22,82               | -3,14                |
| B68   | 4,000  | MSÚ-Sada B (auto)/6 | CS6 - RO273X12.5 | -820,49  | 3,04                | 2,39                | 0,33                 | 12,25                | 4,31                 |
| B68   | 0,000  | MSÚ-Sada B (auto)/4 | CS6 - RO273X12.5 | -669,73  | 3,07                | 2,31                | 0,33                 | 2,88                 | -7,93                |

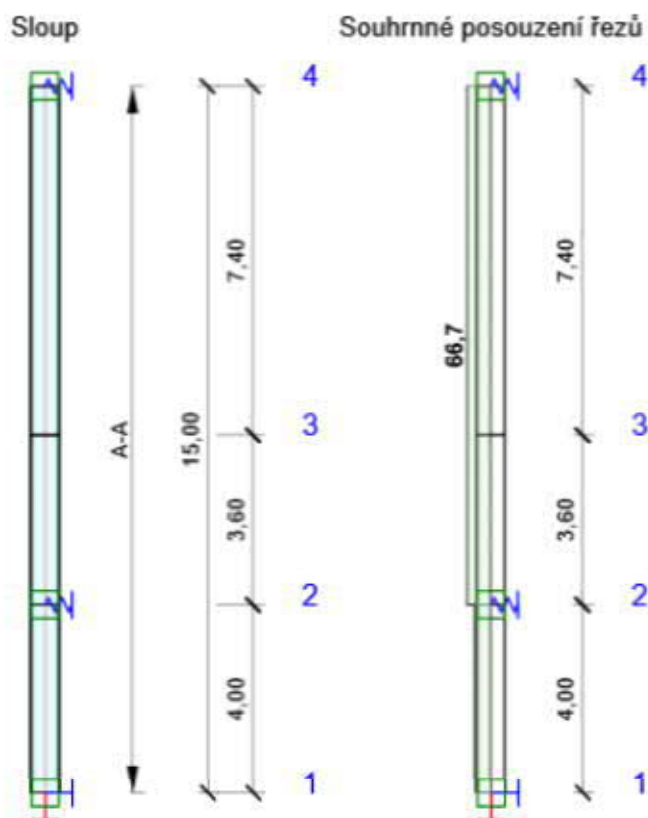
# Posouzení betonu

## Národní norma

|               |   |
|---------------|---|
| Národní norma | EN 1992-1-1:2014-12, CSN:2016-04/NA:2012-01 |
| Životnost     | 50 let                                      |

## Návrhová skupina: sloup 600x600, Beton C45/55

### Schéma vyztužení



### Souhrn posudků řezů

| Kombinace                                | $N_{Ed}$<br>[kN] | $M_{Ed,y}$<br>[kNm] | $M_{Ed,z}$<br>[kNm] | $V_{Ed}$<br>[kN] | $T_{Ed}$<br>[kNm] | Hodnota<br>[%] | Posudek |
|--|------------------|---------------------|---------------------|------------------|-------------------|----------------|---------|
| Únosnost N-M-M, Zóna: A-A (4,00 - 15,00) |                  |                     |                     |                  |                   |                |         |
| MSÚ-Sada B (auto)(28)                    | -296,2           | -431,1              | -4,5                | 10,0             | -37,2             | 53,4           | OK      |
| Smyk, Zóna: A-A (0,00 - 4,00)            |                  |                     |                     |                  |                   |                |         |
| MSÚ-Sada B (auto)(13)                    | -1045,2          | -115,8              | 1,7                 | 53,3             | 23,0              | 23,3           | OK      |
| Kroucení, Zóna: A-A (4,00 - 15,00)       |                  |                     |                     |                  |                   |                |         |
| MSÚ-Sada B (auto)(28)                    | -296,2           | -431,1              | -4,5                | 10,0             | -37,2             | 34,6           | OK      |
| Interakce, Zóna: A-A (4,00 - 15,00)      |                  |                     |                     |                  |                   |                |         |
| MSÚ-Sada B (auto)(28)                    | -296,2           | -431,1              | -4,5                | 10,0             | -37,2             | 66,7           | OK      |
| Omezení napětí, Zóna: A-A (0,00 - 4,00)  |                  |                     |                     |                  |                   |                |         |
| MSP-Char (auto)(33)                      | -733,1           | -192,8              | 48,4                | 32,3             | 13,3              | 37,2           | OK      |
| Šířka trhliny, Zóna: A-A (0,00 - 4,00)   |                  |                     |                     |                  |                   |                |         |
| MSP-Kvazi (auto)(102)                    | -895,9           | -7,6                | 0,2                 | 2,6              | -0,2              | 0,0            | OK      |

| Kombinace             | Popis kritických účinků zatížení                     |
|-----------------------|--|
| MSÚ-Sada B (auto)(28) | 1,35*ZS1 + 1,49*ZS2 + 1,49*ZS3 + 0,83*ZS5 + 1,65*ZS7 |
| MSÚ-Sada B (auto)(13) | 1,35*ZS1 + 1,49*ZS2 + 1,49*ZS3 + 1,16*ZS4 + 1,65*ZS7 |
| MSP-Char (auto)(33)   | ZS1 + ZS2 + ZS3 + ZS7                                |
| MSP-Kvazi (auto)(102) | ZS1 + ZS2 + ZS3 + 0,6*ZS4                            |

## Výkaz materiálu

| Délka [m] | Počet DD | Beton           |                   |             | Výztuž [kg]           | Celková hmotnost [kg]                              |
|-----------|----------|-----------------|-------------------|-------------|-----------------------|--|
|           |          | Název           | [m <sup>3</sup> ] | [kg]        |                       |  |
| 15,00     | 2        | C45/55          | 5,40              | 13500       | 759                   | 14259  |
|           |          | Beton           |                   | Výztuž [kg] | Celková hmotnost [kg] | Výztuž /m <sup>3</sup> betonu [kg/m <sup>3</sup> ] |
|           |          | Název           | [m <sup>3</sup> ] |             |                       |  |
| Souhrn    |          | C45/55          | 10,80             | 1518        | 28518                 | 141  |
| Φ [mm]    | Materiál | Typ vyztužení   |                   |             | Délka [m]             | Hmotnost [kg]                                      |
| 25        | B 500B   | Výztužné vložky |                   |             | 360,00                | 1387   |
| 8         | B 500B   | Třmínky         |                   |             | 331,20                | 131  |

## Projekt Sportovní hala Turnov

Lineární výpočet

Kombinace: MSÚ-Sada B (auto)

Souřadný systém: Hlavní

Extrém 1D: Dílec

Výběr: Vše

Filtr: Průřez = CS6 - RO273X12.5

Celkový posudek

| Jméno | dx [m] | Stav                | Průřez           | Materiál | UC <sub>Celkový</sub> [-] | UC <sub>Průřez</sub> [-] | UC <sub>Stabilita</sub> [-] |
|-------|--------|---------------------|------------------|----------|---------------------------|--------------------------|-----------------------------|
| B68   | 0,000  | MSÚ-Sada B (auto)/1 | CS6 - RO273X12.5 | S 355    | 0,41                      | 0,28                     | 0,41                        |
| B69   | 0,000  | MSÚ-Sada B (auto)/2 | CS6 - RO273X12.5 | S 355    | 0,30                      | 0,19                     | 0,30                        |

| Jméno               | Klíč kombinace  |
|---------------------|---|
| MSÚ-Sada B (auto)/1 | 1.35*ZS1 + 1.49*ZS2 + 1.49*ZS3 + 1.15*ZS4 + 0.83*ZS5 + 0.99*ZS7 |
| MSÚ-Sada B (auto)/2 | 1.15*ZS1 + 1.26*ZS2 + 1.26*ZS3 + 1.15*ZS4 + 0.83*ZS5 + 1.65*ZS7 |

Lineární výpočet

Kombinace: MSÚ-Sada B (auto)

Souřadný systém: Hlavní

Extrém 1D: Globální

Výběr: Vše

Filtr: Průřez = CS6 - RO273X12.5

Posudek EN 1993-1-1

Národní příloha: Česká CSN-EN NA

|           |                 |            |       |                   |        |
|-----------|-----------------|------------|-------|-------------------|--------|
| Dílec B68 | 0,000 / 4,000 m | RO273X12.5 | S 355 | MSÚ-Sada B (auto) | 0,41 - |
|-----------|-----------------|------------|-------|-------------------|--------|

| Klíč kombinace  |
|---|
| MSÚ-Sada B (auto) / 1.35*ZS1 + 1.49*ZS2 + 1.49*ZS3 + 1.15*ZS4 + 0.83*ZS5 + 0.99*ZS7 |

| Dílicí souč. spolehlivosti                 |      |
|--|------|
| $\gamma_{M0}$ pro únosnost průřezu         | 1,00 |
| $\gamma_{M1}$ pro stabilitu                | 1,00 |
| $\gamma_{M2}$ pro únosnost čistého průřezu | 1,25 |

| Materiál       |       |           |     |
|----------------|-------|-----------|-----|
| Mez kluzu      | $f_y$ | 355,0     | MPa |
| Pevnost v tahu | $f_u$ | 490,0     | MPa |
| Výroba         |       | Válcovaný |     |

.....POSUDEK ÚNOSNOSTI:....

Kritický posudek je na pozici 0,000 m

| Vnitřní síly   |            | Vypočtené | Jednotka |
|----------------|------------|-----------|----------|
| Osová síla     | $N_{Ed}$   | -1012,19  | kN       |
| Smyková síla   | $V_{y,Ed}$ | -1,84     | kN       |
| Smyková síla   | $V_{z,Ed}$ | -2,42     | kN       |
| Kroucení       | $T_{Ed}$   | -0,21     | kNm      |
| Ohybový moment | $M_{y,Ed}$ | -3,87     | kNm      |
| Ohybový moment | $M_{z,Ed}$ | 5,47      | kNm      |

Klasifikace pro návrh průřezu

Klasifikace podle EN 1993-1-1 článku 5.5.2

Klasifikace trubek podle EN 1993-1-1 tabulky 5.2 listu 3

| d [mm] | t [mm] | d/t [-] | Třída 1 limit [-] | Třída 2 limit [-] | Třída 3 limit [-] | Třída |
|--------|--------|---------|-------------------|-------------------|-------------------|-------|
| 273    | 13     | 21,84   | 33,10             | 46,34             | 59,58             | 1     |

Průřez je klasifikován třídou 1

Posudek na tlak

Podle EN 1993-1-1 článku 6.2.4 a rovnice (6.9)

## Projekt Sportovní hala Turnov

|                  |                   |            |                |
|------------------|-------------------|------------|----------------|
| Průřezová plocha | A                 | 1,0200e-02 | m <sup>2</sup> |
| Tlaková únosnost | N <sub>c,Rd</sub> | 3621,00    | kN             |
| Jedn. posudek    |                   | 0,28       | -              |

Posudek ohybového momentu pro M<sub>y</sub>  
Podle EN 1993-1-1 článku 6.2.5 a rovnice (6.12), (6.13)

|                          |                      |            |                |
|--------------------------|----------------------|------------|----------------|
| Plastický modul průřezu  | W <sub>pl,y</sub>    | 8,4825e-04 | m <sup>3</sup> |
| Plastický ohybový moment | M <sub>pl,y,Rd</sub> | 301,13     | kNm            |
| Jedn. posudek            |                      | 0,01       | -              |

Posudek ohybového momentu pro M<sub>z</sub>  
Podle EN 1993-1-1 článku 6.2.5 a rovnice (6.12), (6.13)

|                          |                      |            |                |
|--------------------------|----------------------|------------|----------------|
| Plastický modul průřezu  | W <sub>pl,z</sub>    | 8,4825e-04 | m <sup>3</sup> |
| Plastický ohybový moment | M <sub>pl,z,Rd</sub> | 301,13     | kNm            |
| Jedn. posudek            |                      | 0,02       | -              |

Posudek smyku pro V<sub>y</sub>  
Podle EN 1993-1-1 článku 6.2.6 a rovnice (6.17)

|   |                      |            |                |
|---|----------------------|------------|----------------|
| Součinitel smykové korekce                    | η                    | 1,20       |                |
| Smyk. plocha                                  | A <sub>v</sub>       | 6,4935e-03 | m <sup>2</sup> |
| Plastická smyková únosnost pro V <sub>y</sub> | V <sub>pl,y,Rd</sub> | 1330,91    | kN             |
| Jedn. posudek                                 |                      | 0,00       | -              |

Posudek smyku pro V<sub>z</sub>  
Podle EN 1993-1-1 článku 6.2.6 a rovnice (6.17)

|   |                      |            |                |
|---|----------------------|------------|----------------|
| Součinitel smykové korekce                    | η                    | 1,20       |                |
| Smyk. plocha                                  | A <sub>v</sub>       | 6,4935e-03 | m <sup>2</sup> |
| Plastická smyková únosnost pro V <sub>z</sub> | V <sub>pl,z,Rd</sub> | 1330,91    | kN             |
| Jedn. posudek                                 |                      | 0,00       | -              |

Posudek kroucení  
Podle EN 1993-1-1 článku 6.2.7 a rovnice (6.23)

|                         |                 |       |     |
|-------------------------|-----------------|-------|-----|
| Index vlákna            | Vlákno          | 1     |     |
| Celkový krouticí moment | T <sub>Ed</sub> | 0,2   | MPa |
| Pružná smyková únosnost | T <sub>Rd</sub> | 205,0 | MPa |
| Jedn. posudek           |                 | 0,00  | -   |

Poznámka: Jednotkový posudek pro kroucení je menší než limitní hodnota 0,05. Kroucení se proto považuje za nevýznamné a je v kombinovaných posudcích zanedbáno.

Posudek na kombinaci ohybu, osové a smykové síly  
Podle EN 1993-1-1 článku 6.2.9.1 a rovnice (6.31)

|  |                         |        |     |
|--|-------------------------|--------|-----|
| Výslednice ohybového momentu   | M <sub>výslednice</sub> | 6,70   | kNm |
| Výslednice smykové síly  | V <sub>výslednice</sub> | 3,04   | kN  |
| Návrhová plastická momentová únosnost redukována kvůli N <sub>Ed</sub> | M <sub>N,Rd</sub>       | 266,64 | kNm |
| Jedn. posudek  |                         | 0,03   | -   |

Poznámka: Výsledné vnitřní síly se použijí pro trubkové průřezy

Poznámka: Protože smykové síly jsou menší než polovina plastické smykové únosnosti, jejich vliv na momentovou únosnost se zanedbává.

Prvek splňuje podmínky posudku průřezu.

....:POSUDEK STABILITY:....

Klasifikace pro návrh dílce na vzpěr

Rozhodující poloha pro klasifikaci stability: 0,000 m

Klasifikace podle EN 1993-1-1 článku 5.5.2

Klasifikace trubek podle EN 1993-1-1 tabulky 5.2 listu 3

| d<br>[mm] | t<br>[mm] | d/t<br>[-] | Třída 1 limit<br>[-] | Třída 2 limit<br>[-] | Třída 3 limit<br>[-] | Třída |
|-----------|-----------|------------|----------------------|----------------------|----------------------|-------|
| 273       | 13        | 21,84      | 33,10                | 46,34                | 59,58                | 1     |

Průřez je klasifikován třídou 1

Posudek rovinného vzpěru

Podle EN 1993-1-1 článku 6.3.1.1 a rovnice (6.46)

## Projekt Sportovní hala Turnov

| Parametry vzpěru           |                   | yy      | zz        |    |
|----------------------------|-------------------|---------|-----------|----|
| Typ posuvných styčnicků    |                   | posuvné | neposuvné |    |
| Systémová délka            | L                 | 4,000   | 4,000     | m  |
| Součinitel vzpěru          | k                 | 1,46    | 0,70      |    |
| Vzpěrná délka              | $l_{cr}$          | 5,830   | 2,800     | m  |
| Kritické Eulerovo zatížení | $N_{cr}$          | 5302,76 | 22991,77  | kN |
| Štíhlost                   | $\lambda$         | 63,14   | 30,32     |    |
| Poměrná štíhlost           | $\lambda_{rel}$   | 0,83    | 0,40      |    |
| Mezní štíhlost             | $\lambda_{rel,0}$ | 0,20    | 0,20      |    |
| Vzpěr. křivka              |                   | a       | a         |    |
| Imperfekce                 | $\alpha$          | 0,21    | 0,21      |    |
| Redukční součinitel        | $\chi$            | 0,78    | 0,95      |    |
| Únosnost na vzpěr          | $N_{b,Rd}$        | 2825,48 | 3453,03   | kN |

| Posudek rovinného vzpěru |            |            |                |
|--------------------------|------------|------------|----------------|
| Průřezová plocha         | A          | 1,0200e-02 | m <sup>2</sup> |
| Únosnost na vzpěr        | $N_{b,Rd}$ | 2825,48    | kN             |
| Jedn. posudek            |            | 0,36       | -              |

### Posudek prostorového vzpěru

Podle EN 1993-1-1 článku 6.3.1.1 a rovnice (6.46)

Poznámka: Průřez se týká kruhové trubky, která není náchylná k prostorovému vzpěru.

### Posudek klopení

Podle EN 1993-1-1 článku 6.3.2.1

Poznámka: Průřez se týká kruhové trubky, která není náchylná ke klopení.

### Posudek ohybu a osového tlaku

Podle EN 1993-1-1 článku 6.3.3 a rovnice (6.61), (6.62)

| Parametry pro posudek ohybu a osového tlaku |             |                       |                |
|---|-------------|-----------------------|----------------|
| Interakční metoda                           |             | alternativní metoda 2 |                |
| Průřezová plocha                            | A           | 1,0200e-02            | m <sup>2</sup> |
| Plastický modul průřezu                     | $W_{pl,y}$  | 8,4825e-04            | m <sup>3</sup> |
| Plastický modul průřezu                     | $W_{pl,z}$  | 8,4825e-04            | m <sup>3</sup> |
| Návrhová tlaková síla                       | $N_{Ed}$    | 1012,19               | kN             |
| Návrhový ohybový moment (maximum)           | $M_{y,Ed}$  | -13,56                | kNm            |
| Návrhový ohybový moment (maximum)           | $M_{z,Ed}$  | 5,47                  | kNm            |
| Charakteristická tlaková únosnost           | $N_{Rk}$    | 3621,00               | kN             |
| Charakteristická momentová únosnost         | $M_{y,Rk}$  | 301,13                | kNm            |
| Charakteristická momentová únosnost         | $M_{z,Rk}$  | 301,13                | kNm            |
| Redukční součinitel                         | $\chi_y$    | 0,78                  |                |
| Redukční součinitel                         | $\chi_z$    | 0,95                  |                |
| Redukční součinitel                         | $\chi_{LT}$ | 1,00                  |                |
| Interakční součinitel                       | $k_{yy}$    | 1,10                  |                |
| Interakční součinitel                       | $k_{yz}$    | 0,29                  |                |
| Interakční součinitel                       | $k_{zy}$    | 0,66                  |                |
| Interakční součinitel                       | $k_{zz}$    | 0,49                  |                |

Maximální moment  $M_{y,Ed}$  je odvozen z nosníku B68 pozice 4,000 m.

Maximální moment  $M_{z,Ed}$  je odvozen z nosníku B68 pozice 0,000 m.

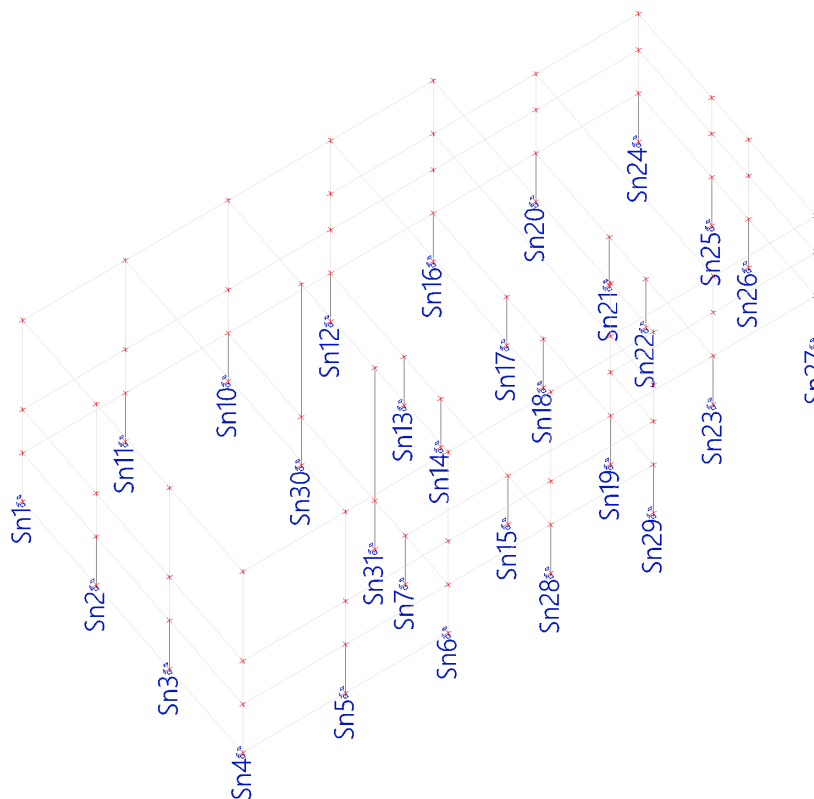
| Parametry interakční metody 2     |             |                  |
|-----------------------------------|-------------|------------------|
| Metoda pro součinitel interakce   |             | Tabulka B.1      |
| Posuvnost styčnicků y             |             | posuvné          |
| Součinitel ekvivalentního momentu | $C_{my}$    | 0,90             |
| Výsledný typ zatížení z           |             | liniový moment M |
| Poměr koncových momentů           | $\psi_z$    | -0,35            |
| Součinitel ekvivalentního momentu | $C_{mz}$    | 0,46             |
| Výsledný typ zatížení LT          |             | liniový moment M |
| Poměr koncových momentů           | $\psi_{LT}$ | 0,29             |
| Součinitel ekvivalentního momentu | $C_{mLT}$   | 0,71             |

Posudek (6.61) = 0,36 + 0,05 + 0,01 = 0,41 -

Posudek (6.62) = 0,29 + 0,03 + 0,01 = 0,33 -

Prvek splňuje podmínky stabilitního posudku.

## 23. Reakce



Lineární výpočet

Kombinace: MSÚ-Sada B (auto)

Systém: Globální

Extrém: Globální

Vyběr: Pojmenovaný výběr - osa 13

Uzlové reakce

| Jméno    | Stav                | R <sub>x</sub><br>[kN] | R <sub>y</sub><br>[kN] | R <sub>z</sub><br>[kN] | M <sub>x</sub><br>[kNm] | M <sub>y</sub><br>[kNm] | M <sub>z</sub><br>[kNm] | e <sub>x</sub><br>[mm] | e <sub>y</sub><br>[mm] |
|----------|---------------------|------------------------|------------------------|------------------------|-------------------------|-------------------------|-------------------------|------------------------|------------------------|
| Sn16/N31 | MSÚ-Sada B (auto)/1 | -55,50                 | -19,86                 | 1678,15                | 81,05                   | -303,34                 | -9,78                   | 48,3                   | -180,8                 |
| Sn16/N31 | MSÚ-Sada B (auto)/2 | 28,90                  | 19,83                  | 1356,76                | -85,07                  | 162,88                  | 0,08                    | -62,7                  | 120,1                  |
| Sn16/N31 | MSÚ-Sada B (auto)/3 | -55,45                 | -19,92                 | 1747,57                | 81,27                   | -303,51                 | -9,78                   | 46,5                   | -173,7                 |
| Sn1/N1   | MSÚ-Sada B (auto)/4 | -18,97                 | -5,75                  | 377,71                 | 16,03                   | -71,56                  | -5,78                   | 42,4                   | -189,5                 |
| Sn16/N31 | MSÚ-Sada B (auto)/5 | -3,75                  | -0,53                  | 2083,74                | 1,09                    | -9,57                   | -0,97                   | 0,5                    | -4,6                   |
| Sn10/N19 | MSÚ-Sada B (auto)/6 | 28,27                  | 19,28                  | 872,31                 | -85,84                  | 159,86                  | 1,92                    | -98,4                  | 183,3                  |
| Sn16/N31 | MSÚ-Sada B (auto)/7 | -54,93                 | -19,92                 | 1588,09                | 81,31                   | -302,53                 | -9,63                   | 51,2                   | -190,5                 |
| Sn10/N19 | MSÚ-Sada B (auto)/7 | -53,18                 | -19,67                 | 938,54                 | 80,36                   | -318,05                 | 21,03                   | 85,6                   | -338,9                 |
| Sn16/N31 | MSÚ-Sada B (auto)/8 | 28,85                  | 19,89                  | 1287,35                | -85,29                  | 163,05                  | 0,07                    | -66,3                  | 126,7                  |
| Sn11/N21 | MSÚ-Sada B (auto)/9 | -7,52                  | 18,61                  | 694,77                 | -85,51                  | 42,54                   | -21,72                  | -123,1                 | 61,2                   |

## Projekt Sportovní hala Turnov

| Jméno               | Klíč kombinace  |
|---------------------|---|
| MSÚ-Sada B (auto)/1 | 1.15*ZS1 + 1.26*ZS2 + 1.26*ZS3 + 0.83*ZS5 + 1.65*ZS7            |
| MSÚ-Sada B (auto)/2 | ZS1 + 1.10*ZS2 + 1.10*ZS3 + 1.15*ZS4 + 1.65*ZS6                 |
| MSÚ-Sada B (auto)/3 | 1.15*ZS1 + 1.26*ZS2 + 1.26*ZS3 + 1.15*ZS4 + 0.83*ZS5 + 1.65*ZS7 |
| MSÚ-Sada B (auto)/4 | ZS1 + 1.10*ZS2 + 1.10*ZS3 + 1.15*ZS4 + 1.65*ZS7                 |
| MSÚ-Sada B (auto)/5 | 1.35*ZS1 + 1.49*ZS2 + 1.49*ZS3 + 1.15*ZS4 + 0.83*ZS5            |
| MSÚ-Sada B (auto)/6 | 1.15*ZS1 + 1.26*ZS2 + 1.26*ZS3 + 0.83*ZS5 + 1.65*ZS6            |
| MSÚ-Sada B (auto)/7 | 1.15*ZS1 + 1.26*ZS2 + 1.26*ZS3 + 1.15*ZS4 + 1.65*ZS7            |
| MSÚ-Sada B (auto)/8 | ZS1 + 1.10*ZS2 + 1.10*ZS3 + 1.65*ZS6                            |
| MSÚ-Sada B (auto)/9 | 1.15*ZS1 + 1.26*ZS2 + 1.26*ZS3 + 1.15*ZS4 + 0.83*ZS5 + 1.65*ZS6 |

Lineární výpočet

Kombinace: MSP-Char (auto)

Systém: Globální

Extrém: Globální

Výběr: Pojmenovaný výběr - osa 13

Uzlové reakce

| Jméno    | Stav              | R <sub>x</sub><br>[kN] | R <sub>y</sub><br>[kN] | R <sub>z</sub><br>[kN] | M <sub>x</sub><br>[kNm] | M <sub>y</sub><br>[kNm] | M <sub>z</sub><br>[kNm] | e <sub>x</sub><br>[mm] | e <sub>y</sub><br>[mm] |
|----------|-------------------|------------------------|------------------------|------------------------|-------------------------|-------------------------|-------------------------|------------------------|------------------------|
| Sn16/N31 | MSP-Char (auto)/1 | -34,21                 | -12,13                 | 1372,45                | 49,31                   | -185,33                 | -6,05                   | 35,9                   | -135,0                 |
| Sn10/N19 | MSP-Char (auto)/2 | 17,04                  | 11,64                  | 729,50                 | -52,03                  | 96,65                   | 3,39                    | -71,3                  | 132,5                  |
| Sn16/N31 | MSP-Char (auto)/3 | -34,18                 | -12,17                 | 1414,52                | 49,44                   | -185,43                 | -6,05                   | 35,0                   | -131,1                 |
| Sn16/N31 | MSP-Char (auto)/2 | 16,69                  | 11,93                  | 1258,42                | -51,44                  | 96,77                   | -0,14                   | -40,9                  | 76,9                   |
| Sn1/N1   | MSP-Char (auto)/4 | -11,39                 | -3,34                  | 407,36                 | 9,46                    | -43,16                  | -3,53                   | 23,2                   | -105,9                 |
| Sn16/N31 | MSP-Char (auto)/5 | -2,86                  | -0,38                  | 1546,29                | 0,74                    | -7,11                   | -0,73                   | 0,5                    | -4,6                   |
| Sn11/N21 | MSP-Char (auto)/6 | -4,41                  | 11,42                  | 599,33                 | -52,28                  | 26,36                   | -13,23                  | -87,2                  | 44,0                   |
| Sn16/N31 | MSP-Char (auto)/4 | -33,87                 | -12,17                 | 1317,86                | 49,46                   | -184,84                 | -5,96                   | 37,5                   | -140,3                 |
| Sn10/N19 | MSP-Char (auto)/4 | -32,37                 | -11,93                 | 775,02                 | 48,62                   | -192,87                 | 14,94                   | 62,7                   | -248,9                 |
| Sn10/N19 | MSP-Char (auto)/6 | 17,00                  | 11,67                  | 734,88                 | -52,11                  | 96,78                   | 3,36                    | -70,9                  | 131,7                  |
| Sn11/N21 | MSP-Char (auto)/7 | -4,03                  | 11,40                  | 599,44                 | -52,16                  | 27,38                   | -13,45                  | -87,0                  | 45,7                   |

| Jméno             | Klíč kombinace                              |
|-------------------|---|
| MSP-Char (auto)/1 | ZS1 + ZS2 + ZS3 + 0.50*ZS5 + ZS7            |
| MSP-Char (auto)/2 | ZS1 + ZS2 + ZS3 + ZS6                       |
| MSP-Char (auto)/3 | ZS1 + ZS2 + ZS3 + 0.70*ZS4 + 0.50*ZS5 + ZS7 |
| MSP-Char (auto)/4 | ZS1 + ZS2 + ZS3 + 0.70*ZS4 + ZS7            |
| MSP-Char (auto)/5 | ZS1 + ZS2 + ZS3 + 0.70*ZS4 + ZS5            |
| MSP-Char (auto)/6 | ZS1 + ZS2 + ZS3 + 0.50*ZS5 + ZS6            |
| MSP-Char (auto)/7 | ZS1 + ZS2 + ZS3 + 0.70*ZS4 + 0.50*ZS5 + ZS6 |

Lineární výpočet

Kombinace: MSÚ-Sada B (auto)

Systém: Globální

Extrém: Globální

Výběr: Pojmenovaný výběr - osa 17 a 18

Uzlové reakce

## Projekt Sportovní hala Turnov

| Jméno    | Stav                | R <sub>x</sub><br>[kN] | R <sub>y</sub><br>[kN] | R <sub>z</sub><br>[kN] | M <sub>x</sub><br>[kNm] | M <sub>y</sub><br>[kNm] | M <sub>z</sub><br>[kNm] | e <sub>x</sub><br>[mm] | e <sub>y</sub><br>[mm] |
|----------|---------------------|------------------------|------------------------|------------------------|-------------------------|-------------------------|-------------------------|------------------------|------------------------|
| Sn6/N11  | MSÚ-Sada B (auto)/1 | -1,75                  | -41,97                 | 847,22                 | 157,67                  | -257,51                 | -3,32                   | 186,1                  | -304,0                 |
| Sn15/N29 | MSÚ-Sada B (auto)/2 | 8,62                   | -0,05                  | 217,26                 | -4,28                   | 36,26                   | 1,73                    | -19,7                  | 166,9                  |
| Sn19/N37 | MSÚ-Sada B (auto)/3 | 2,69                   | -0,81                  | 1570,47                | 2,72                    | 0,00                    | -0,83                   | 1,7                    | 0,0                    |
| Sn6/N11  | MSÚ-Sada B (auto)/4 | 4,84                   | 28,00                  | 687,07                 | -120,35                 | 131,60                  | 13,52                   | -175,2                 | 191,5                  |
| Sn5/N9   | MSÚ-Sada B (auto)/5 | -79,59                 | -40,12                 | 631,45                 | 153,72                  | -406,59                 | 2,75                    | 243,4                  | -643,9                 |
| Sn5/N9   | MSÚ-Sada B (auto)/6 | 63,98                  | 25,59                  | 734,52                 | -116,99                 | 270,00                  | 10,52                   | -159,3                 | 367,6                  |
| Sn4/N7   | MSÚ-Sada B (auto)/6 | 11,22                  | 4,93                   | 580,62                 | -20,13                  | 34,74                   | -14,55                  | -34,7                  | 59,8                   |
| Sn6/N11  | MSÚ-Sada B (auto)/6 | 5,05                   | 27,63                  | 840,77                 | -118,67                 | 132,06                  | 14,48                   | -141,1                 | 157,1                  |

| Jméno               | Klíč kombinace  |
|---------------------|---|
| MSÚ-Sada B (auto)/1 | 1.15*ZS1 + 1.26*ZS2 + 1.26*ZS3 + 1.15*ZS4 + 0.83*ZS5 + 1.65*ZS7 |
| MSÚ-Sada B (auto)/2 | ZS1 + 1.10*ZS2 + 1.10*ZS3 + 0.83*ZS5 + 1.65*ZS6                 |
| MSÚ-Sada B (auto)/3 | 1.35*ZS1 + 1.49*ZS2 + 1.49*ZS3 + 1.15*ZS4 + 0.83*ZS5            |
| MSÚ-Sada B (auto)/4 | ZS1 + 1.10*ZS2 + 1.10*ZS3 + 1.65*ZS6                            |
| MSÚ-Sada B (auto)/5 | ZS1 + 1.10*ZS2 + 1.10*ZS3 + 1.65*ZS7                            |
| MSÚ-Sada B (auto)/6 | 1.15*ZS1 + 1.26*ZS2 + 1.26*ZS3 + 1.15*ZS4 + 0.83*ZS5 + 1.65*ZS6 |

Lineární výpočet

Kombinace: MSP-Char (auto)

Systém: Globální

Extrém: Globální

Výběr: Pojmenovaný výběr - osa 17 a 18

Uzlové reakce

| Jméno    | Stav              | R <sub>x</sub><br>[kN] | R <sub>y</sub><br>[kN] | R <sub>z</sub><br>[kN] | M <sub>x</sub><br>[kNm] | M <sub>y</sub><br>[kNm] | M <sub>z</sub><br>[kNm] | e <sub>x</sub><br>[mm] | e <sub>y</sub><br>[mm] |
|----------|-------------------|------------------------|------------------------|------------------------|-------------------------|-------------------------|-------------------------|------------------------|------------------------|
| Sn6/N11  | MSP-Char (auto)/1 | -0,93                  | -25,69                 | 706,05                 | 96,54                   | -155,87                 | -1,25                   | 136,7                  | -220,8                 |
| Sn15/N29 | MSP-Char (auto)/2 | 5,13                   | -0,14                  | 204,66                 | -2,22                   | 21,58                   | 1,07                    | -10,8                  | 105,5                  |
| Sn19/N37 | MSP-Char (auto)/3 | 2,03                   | -0,51                  | 1154,60                | 1,83                    | 0,09                    | -0,55                   | 1,6                    | 0,1                    |
| Sn6/N11  | MSP-Char (auto)/4 | 3,12                   | 16,62                  | 671,48                 | -71,57                  | 80,04                   | 9,23                    | -106,6                 | 119,2                  |
| Sn5/N9   | MSP-Char (auto)/5 | -47,96                 | -24,63                 | 626,41                 | 94,38                   | -245,62                 | 1,50                    | 150,7                  | -392,1                 |
| Sn5/N9   | MSP-Char (auto)/6 | 38,98                  | 15,28                  | 631,05                 | -70,04                  | 164,22                  | 6,26                    | -111,0                 | 260,2                  |
| Sn4/N7   | MSP-Char (auto)/6 | 6,72                   | 3,02                   | 495,44                 | -12,14                  | 20,95                   | -8,83                   | -24,5                  | 42,3                   |
| Sn6/N11  | MSP-Char (auto)/6 | 3,19                   | 16,49                  | 702,14                 | -70,93                  | 80,24                   | 9,54                    | -101,0                 | 114,3                  |

| Jméno             | Klíč kombinace                              |
|-------------------|---|
| MSP-Char (auto)/1 | ZS1 + ZS2 + ZS3 + 0.70*ZS4 + 0.50*ZS5 + ZS7 |
| MSP-Char (auto)/2 | ZS1 + ZS2 + ZS3 + 0.50*ZS5 + ZS6            |
| MSP-Char (auto)/3 | ZS1 + ZS2 + ZS3 + 0.70*ZS4 + ZS5            |
| MSP-Char (auto)/4 | ZS1 + ZS2 + ZS3 + ZS6                       |
| MSP-Char (auto)/5 | ZS1 + ZS2 + ZS3 + ZS7                       |
| MSP-Char (auto)/6 | ZS1 + ZS2 + ZS3 + 0.70*ZS4 + 0.50*ZS5 + ZS6 |

Lineární výpočet

Kombinace: MSÚ-Sada B (auto)

Systém: Globální

Extrém: Globální

Výběr: Pojmenovaný výběr - štitové sloupy

Uzlové reakce

| Jméno     | Stav                | R <sub>x</sub><br>[kN] | R <sub>y</sub><br>[kN] | R <sub>z</sub><br>[kN] | M <sub>x</sub><br>[kNm] | M <sub>y</sub><br>[kNm] | M <sub>z</sub><br>[kNm] | e <sub>x</sub><br>[mm] | e <sub>y</sub><br>[mm] |
|-----------|---------------------|------------------------|------------------------|------------------------|-------------------------|-------------------------|-------------------------|------------------------|------------------------|
| Sn2/N3    | MSÚ-Sada B (auto)/1 | -62,04                 | -28,32                 | 521,20                 | 90,85                   | -237,70                 | -12,85                  | 174,3                  | -456,1                 |
| Sn3/N5    | MSÚ-Sada B (auto)/2 | -61,87                 | -33,56                 | 636,65                 | 110,37                  | -237,72                 | 5,57                    | 173,4                  | -373,4                 |
| Sn7/N13   | MSÚ-Sada B (auto)/1 | -18,96                 | -5,08                  | 264,02                 | 20,56                   | -75,42                  | -2,41                   | 77,9                   | -285,6                 |
| Sn30/N139 | MSÚ-Sada B (auto)/3 | 0,14                   | 6,02                   | 1039,82                | -16,65                  | 0,64                    | 1,89                    | -16,0                  | 0,6                    |
| Sn3/N5    | MSÚ-Sada B (auto)/4 | 30,12                  | 59,36                  | 499,41                 | -203,16                 | 114,73                  | -24,47                  | -406,8                 | 229,7                  |
| Sn3/N5    | MSÚ-Sada B (auto)/1 | -61,92                 | -33,51                 | 522,60                 | 110,11                  | -237,96                 | 5,61                    | 210,7                  | -455,3                 |
| Sn2/N3    | MSÚ-Sada B (auto)/5 | 30,45                  | 55,32                  | 613,60                 | -188,84                 | 115,53                  | 29,21                   | -307,8                 | 188,3                  |
| Sn3/N5    | MSÚ-Sada B (auto)/6 | 30,16                  | 59,31                  | 579,58                 | -202,91                 | 114,90                  | -24,50                  | -350,1                 | 198,2                  |
| Sn2/N3    | MSÚ-Sada B (auto)/4 | 30,38                  | 55,34                  | 499,59                 | -188,99                 | 115,24                  | 29,24                   | -378,3                 | 230,7                  |

| Jméno               | Klíč kombinace  |
|---------------------|---|
| MSÚ-Sada B (auto)/1 | ZS1 + 1.10*ZS2 + 1.10*ZS3 + 1.65*ZS7                            |
| MSÚ-Sada B (auto)/2 | 1.15*ZS1 + 1.26*ZS2 + 1.26*ZS3 + 1.15*ZS4 + 0.83*ZS5 + 1.65*ZS7 |
| MSÚ-Sada B (auto)/3 | 1.35*ZS1 + 1.49*ZS2 + 1.49*ZS3 + 1.15*ZS4 + 0.83*ZS5            |
| MSÚ-Sada B (auto)/4 | ZS1 + 1.10*ZS2 + 1.10*ZS3 + 1.65*ZS6                            |
| MSÚ-Sada B (auto)/5 | 1.15*ZS1 + 1.26*ZS2 + 1.26*ZS3 + 1.15*ZS4 + 0.83*ZS5 + 1.65*ZS6 |
| MSÚ-Sada B (auto)/6 | 1.15*ZS1 + 1.26*ZS2 + 1.26*ZS3 + 1.15*ZS4 + 1.65*ZS6            |

Lineární výpočet

Kombinace: MSP-Char (auto)

System: Globální

Extrém: Globální

Výběr: Pojmenovaný výběr - štítové sloupy

Uzlové reakce

| Jméno     | Stav              | R <sub>x</sub><br>[kN] | R <sub>y</sub><br>[kN] | R <sub>z</sub><br>[kN] | M <sub>x</sub><br>[kNm] | M <sub>y</sub><br>[kNm] | M <sub>z</sub><br>[kNm] | e <sub>x</sub><br>[mm] | e <sub>y</sub><br>[mm] |
|-----------|-------------------|------------------------|------------------------|------------------------|-------------------------|-------------------------|-------------------------|------------------------|------------------------|
| Sn2/N3    | MSP-Char (auto)/1 | -37,53                 | -17,17                 | 517,61                 | 55,11                   | -143,81                 | -7,82                   | 106,5                  | -277,8                 |
| Sn3/N5    | MSP-Char (auto)/2 | -37,48                 | -20,35                 | 539,09                 | 67,00                   | -144,00                 | 3,36                    | 124,3                  | -267,1                 |
| Sn7/N13   | MSP-Char (auto)/1 | -11,44                 | -3,36                  | 244,57                 | 13,07                   | -45,63                  | -1,54                   | 53,4                   | -186,6                 |
| Sn30/N139 | MSP-Char (auto)/3 | 0,09                   | 4,27                   | 738,20                 | -11,80                  | 0,38                    | 1,33                    | -16,0                  | 0,5                    |
| Sn3/N5    | MSP-Char (auto)/4 | 18,28                  | 35,95                  | 504,50                 | -122,98                 | 69,65                   | -14,85                  | -243,8                 | 138,1                  |
| Sn3/N5    | MSP-Char (auto)/1 | -37,51                 | -20,33                 | 518,55                 | 66,88                   | -144,10                 | 3,38                    | 129,0                  | -277,9                 |
| Sn2/N3    | MSP-Char (auto)/5 | 18,50                  | 33,53                  | 525,04                 | -114,41                 | 70,20                   | 17,68                   | -217,9                 | 133,7                  |
| Sn3/N5    | MSP-Char (auto)/6 | 18,29                  | 35,93                  | 504,50                 | -122,87                 | 69,71                   | -14,86                  | -243,6                 | 138,2                  |
| Sn2/N3    | MSP-Char (auto)/4 | 18,48                  | 33,54                  | 504,51                 | -114,49                 | 70,09                   | 17,69                   | -226,9                 | 138,9                  |

| Jméno             | Klíč kombinace                              |
|-------------------|---|
| MSP-Char (auto)/1 | ZS1 + ZS2 + ZS3 + ZS7                       |
| MSP-Char (auto)/2 | ZS1 + ZS2 + ZS3 + 0.70*ZS4 + 0.50*ZS5 + ZS7 |
| MSP-Char (auto)/3 | ZS1 + ZS2 + ZS3 + ZS4 + 0.50*ZS5            |
| MSP-Char (auto)/4 | ZS1 + ZS2 + ZS3 + ZS6                       |
| MSP-Char (auto)/5 | ZS1 + ZS2 + ZS3 + 0.70*ZS4 + 0.50*ZS5 + ZS6 |
| MSP-Char (auto)/6 | ZS1 + ZS2 + ZS3 + 0.70*ZS4 + ZS6            |

## Projekt Sportovní hala Turnov

Lineární výpočet

Kombinace: MSÚ-Sada B (auto)

System: Globální

Extrém: Globální

Výběr: Pojmenovaný výběr - vnitřní sloupy

Uzlové reakce

| Jméno    | Stav                | R <sub>x</sub><br>[kN] | R <sub>y</sub><br>[kN] | R <sub>z</sub><br>[kN] | M <sub>x</sub><br>[kNm] | M <sub>y</sub><br>[kNm] | M <sub>z</sub><br>[kNm] | e <sub>x</sub><br>[mm] | e <sub>y</sub><br>[mm] |
|----------|---------------------|------------------------|------------------------|------------------------|-------------------------|-------------------------|-------------------------|------------------------|------------------------|
| Sn21/N53 | MSÚ-Sada B (auto)/1 | -11,13                 | -3,56                  | 316,06                 | 14,41                   | -44,52                  | 1,25                    | 45,6                   | -140,9                 |
| Sn13/N25 | MSÚ-Sada B (auto)/2 | -0,43                  | -0,15                  | 360,61                 | 0,61                    | -1,71                   | -0,11                   | 1,7                    | -4,7                   |
| Sn21/N53 | MSÚ-Sada B (auto)/3 | 7,11                   | 3,51                   | 184,84                 | -13,12                  | 28,43                   | -1,41                   | -71,0                  | 153,8                  |
| Sn14/N27 | MSÚ-Sada B (auto)/4 | -18,02                 | -2,47                  | 299,50                 | 12,45                   | -72,06                  | -0,63                   | 41,6                   | -240,6                 |
| Sn18/N35 | MSÚ-Sada B (auto)/3 | 9,30                   | -0,32                  | 175,45                 | -1,80                   | 37,20                   | -1,03                   | -10,3                  | 212,0                  |
| Sn17/N33 | MSÚ-Sada B (auto)/5 | 9,22                   | 1,63                   | 212,11                 | -7,53                   | 36,87                   | -1,85                   | -35,5                  | 173,8                  |
| Sn21/N53 | MSÚ-Sada B (auto)/6 | -11,13                 | -3,41                  | 184,84                 | 13,95                   | -44,52                  | 1,26                    | 75,5                   | -240,8                 |

| Jméno               | Klíč kombinace  |
|---------------------|---|
| MSÚ-Sada B (auto)/1 | 1.15*ZS1 + 1.26*ZS2 + 1.26*ZS3 + 1.15*ZS4 + 0.83*ZS5 + 1.65*ZS7 |
| MSÚ-Sada B (auto)/2 | 1.15*ZS1 + 1.26*ZS2 + 1.26*ZS3 + 1.65*ZS4                       |
| MSÚ-Sada B (auto)/3 | ZS1 + 1.10*ZS2 + 1.10*ZS3 + 1.65*ZS6                            |
| MSÚ-Sada B (auto)/4 | 1.15*ZS1 + 1.26*ZS2 + 1.26*ZS3 + 1.15*ZS4 + 1.65*ZS7            |
| MSÚ-Sada B (auto)/5 | 1.15*ZS1 + 1.26*ZS2 + 1.26*ZS3 + 0.83*ZS5 + 1.65*ZS6            |
| MSÚ-Sada B (auto)/6 | ZS1 + 1.10*ZS2 + 1.10*ZS3 + 0.83*ZS5 + 1.65*ZS7                 |

Lineární výpočet

Kombinace: MSP-Char (auto)

System: Globální

Extrém: Globální

Výběr: Pojmenovaný výběr - vnitřní sloupy

Uzlové reakce

| Jméno    | Stav              | R <sub>x</sub><br>[kN] | R <sub>y</sub><br>[kN] | R <sub>z</sub><br>[kN] | M <sub>x</sub><br>[kNm] | M <sub>y</sub><br>[kNm] | M <sub>z</sub><br>[kNm] | e <sub>x</sub><br>[mm] | e <sub>y</sub><br>[mm] |
|----------|-------------------|------------------------|------------------------|------------------------|-------------------------|-------------------------|-------------------------|------------------------|------------------------|
| Sn21/N53 | MSP-Char (auto)/1 | -6,76                  | -2,22                  | 235,24                 | 8,95                    | -27,05                  | 0,75                    | 38,1                   | -115,0                 |
| Sn13/N25 | MSP-Char (auto)/2 | -0,33                  | -0,10                  | 262,24                 | 0,44                    | -1,32                   | -0,09                   | 1,7                    | -5,0                   |
| Sn21/N53 | MSP-Char (auto)/3 | 4,29                   | 2,04                   | 172,24                 | -7,65                   | 17,15                   | -0,86                   | -44,4                  | 99,6                   |
| Sn14/N27 | MSP-Char (auto)/4 | -10,99                 | -1,54                  | 223,05                 | 7,71                    | -43,96                  | -0,41                   | 34,5                   | -197,1                 |
| Sn18/N35 | MSP-Char (auto)/3 | 5,56                   | -0,20                  | 163,55                 | -1,01                   | 22,23                   | -0,64                   | -6,2                   | 135,9                  |
| Sn17/N33 | MSP-Char (auto)/5 | 5,53                   | 0,97                   | 172,24                 | -4,50                   | 22,12                   | -1,12                   | -26,1                  | 128,4                  |
| Sn21/N53 | MSP-Char (auto)/6 | -6,77                  | -2,16                  | 172,24                 | 8,75                    | -27,06                  | 0,76                    | 50,8                   | -157,1                 |

| Jméno             | Klíč kombinace                              |
|-------------------|---|
| MSP-Char (auto)/1 | ZS1 + ZS2 + ZS3 + 0.70*ZS4 + 0.50*ZS5 + ZS7 |
| MSP-Char (auto)/2 | ZS1 + ZS2 + ZS3 + ZS4                       |
| MSP-Char (auto)/3 | ZS1 + ZS2 + ZS3 + ZS6                       |
| MSP-Char (auto)/4 | ZS1 + ZS2 + ZS3 + 0.70*ZS4 + ZS7            |
| MSP-Char (auto)/5 | ZS1 + ZS2 + ZS3 + 0.50*ZS5 + ZS6            |
| MSP-Char (auto)/6 | ZS1 + ZS2 + ZS3 + 0.50*ZS5 + ZS7            |

## Posouzení piloty v ose 13

### Vstupní data

#### Projekt

Akce : Turnov - reko a dostavba sportovní haly  
Část : Lezecká hala - pilota osa "13"  
Vypracoval : Ing.Sinevič  
Datum : 09.2021

#### Nastavení

(zadané pro aktuální úlohu)

#### Materiály a normy

Betonové konstrukce : ČSN 73 1201 R  
Ocelové konstrukce : ČSN 73 1401  
Dřevěné konstrukce : EN 1995-1-1 (EC5)  
Dílčí součinitel vlastností dřeva :  $\gamma_M = 1,30$   
Součinitel vlivu zatížení a vlhkosti (dřevo) :  $k_{mod} = 0,50$   
Součinitel šířky průřezu ve smyku (dřevo) :  $k_{cr} = 0,67$

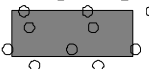
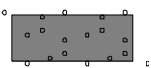
#### Piloty

Výpočet pro odvodněné podmínky : ČSN 73 1002  
Zatěžovací křivka : nelineární (Masopust)  
Vodorovná únosnost : pružný poloprostor  
Metodika posouzení : mezní stavy  
Součinitele určit podle Komentáře k ČSN 73 1002

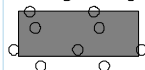
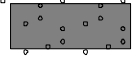
| Součinitele redukce parametrů zemin       |                 |      |     |
|---|-----------------|------|-----|
| Trvalá návrhová situace                   |                 |      |     |
| Součinitel redukce objemové tíhy zeminy : | $\gamma_{my} =$ | 1,00 | [-] |

| Součinitele redukce únosnosti                 |                 |      |     |
|---|-----------------|------|-----|
| Trvalá návrhová situace                       |                 |      |     |
| Součinitel redukce odporu na plášti :         | $\gamma_s =$    | 1,00 | [-] |
| Součinitel redukce odporu na patě :           | $\gamma_b =$    | 1,00 | [-] |
| Součinitel redukce celkové svislé únosnosti : | $\gamma_t =$    | 1,10 | [-] |
| Součinitel redukce únosnosti tažené piloty :  | $\gamma_{st} =$ | 1,50 | [-] |

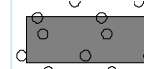
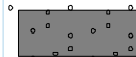
#### Základní parametry zemin

| Číslo | Název                      | Vzorek  | $\phi_{ef}$<br>[°] | $c_{ef}$<br>[kPa] | $\gamma$<br>[kN/m <sup>3</sup> ] | $\nu$<br>[-] |
|-------|----------------------------|---|--------------------|-------------------|----------------------------------|--------------|
| 1     | Třída F6, konzistence tuhá |  | 19,00              | 12,00             | 21,00                            | 0,40         |
| 2     | Třída G3, ulehlá           |  | 35,50              | 0,00              | 19,00                            | 0,25         |
| 3     | Třída S2, ulehlá           |  | 35,50              | 0,00              | 18,50                            | 0,28         |

Pro výpočet tlaku v klidu jsou všechny zeminy zadány jako nesoudržné.

| Číslo | Název                      | Vzorek  | E <sub>oed</sub><br>[MPa] | E <sub>def</sub><br>[MPa] | γ <sub>sat</sub><br>[kN/m <sup>3</sup> ] | γ <sub>s</sub><br>[kN/m <sup>3</sup> ] | n<br>[-] |
|-------|----------------------------|---|---------------------------|---------------------------|--|--|----------|
| 1     | Třída F6, konzistence tuhá |  | -                         | 4,50                      | 21,00                                    | -                                      | -        |
| 2     | Třída G3, ulehlá           |  | -                         | 95,00                     | 19,00                                    | -                                      | -        |
| 3     | Třída S2, ulehlá           |  | -                         | 40,00                     | 18,50                                    | -                                      | -        |

Parametry zemín pro výpočet modulu reakce podloží

| Číslo | Název                      | Vzorek  | Typ zeminy | n <sub>h</sub><br>[MN/m <sup>3</sup> ] |
|-------|----------------------------|---|------------|--|
| 1     | Třída F6, konzistence tuhá |  | soudržná   | -                                      |
| 2     | Třída G3, ulehlá           |  | nesoudržná | 7,00                                   |
| 3     | Třída S2, ulehlá           |  | nesoudržná | 7,00                                   |

### Geometrie

Profil piloty: kruhová proměnná

Rozměry

Průměr  $d_1 = 1,20$  m

Průměr  $d_2 = 0,90$  m

Délka  $l_1 = 1,50$  m

Délka  $l_2 = 7,00$  m

### Spočtené průřezové charakteristiky

Plocha  $A_1 = 1,13E+00$  m<sup>2</sup>

$A_2 = 6,36E-01$  m<sup>2</sup>

Moment setrvačnosti  $I_1 = 1,02E-01$  m<sup>4</sup>

$I_2 = 3,22E-02$  m<sup>4</sup>

Umístění

Vysazení  $h = 0,40$  m

Hloubka upraveného terénu  $h_z = 0,60$  m

Typ technologie: Vrtané piloty

Modul reakce podloží uvažován podle ČSN 731004.

### Materiál konstrukce

Objemová tíha  $\gamma = 23,00$  kN/m<sup>3</sup>

Výpočet betonových konstrukcí proveden podle normy ČSN 73 1201 R.

Beton: B 30

Pevnost v tlaku  $R_{bd} = 17,00$  MPa

Pevnost v tahu  $R_{btd} = 1,20$  MPa

Modul pružnosti  $E_b = 32500,00$  MPa

Modul pružnosti ve smyku  $G = 13650,00$  MPa

Ocel podélná: 10 505 R

Pevnost v tlaku  $R_{sc} = 420,00$  MPa  
d

Pevnost v tahu  $R_{sd} = 450,00$  MPa

Ocel příčná: 10 505 R

Pevnost v tlaku  $R_{sc} = 420,00$  MPa  
d

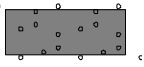
Pevnost v tahu  $R_{sd} = 450,00$  MPa

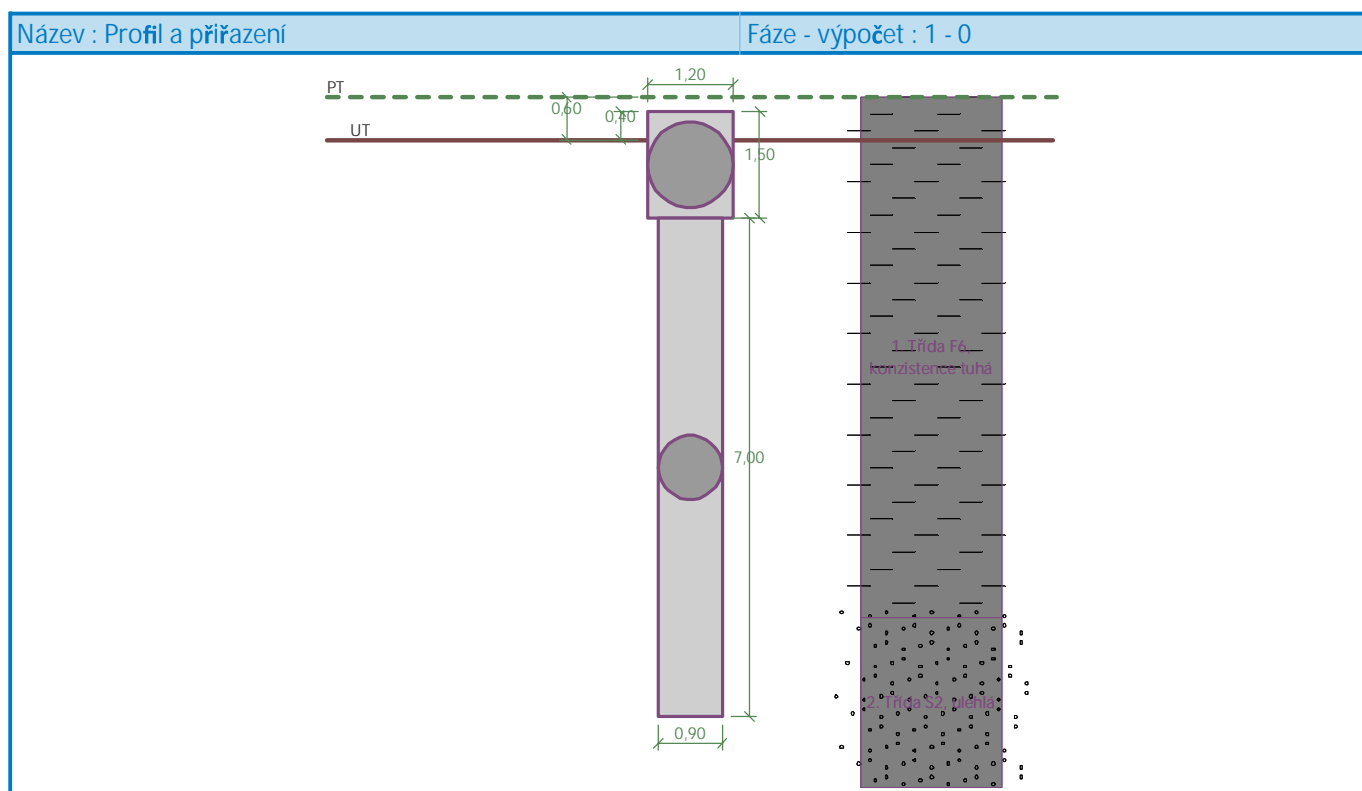
### Geologický profil a přiřazení zemín

Informace o umístění

Kóta povrchu = 270,50 m

### Geologický profil a přiřazení zemín

| Číslo | Mocnost vrstvy t [m] | Hloubka z [m] | Nadm. výška [m]  | Přiřazená zemina           | Vzorek  |
|-------|----------------------|---------------|------------------|----------------------------|---|
| 1     | 7,30                 | 0,00 .. 7,30  | 270,50 .. 263,20 | Třída F6, konzistence tuhá |  |
| 2     | -                    | 7,30 .. ∞     | 263,20 .. -      | Třída S2, ulehlá           |  |



### Zatížení

| Číslo | Zatížení |       | Název            | Typ      | N [kN]  | Mx [kNm] | My [kNm] | Hx [kN] | Hy [kN] |
|-------|----------|-------|------------------|----------|---------|----------|----------|---------|---------|
|       | nové     | změna |                  |          |         |          |          |         |         |
| 1     | Ano      |       | návrhové         | Návrhové | 2083,70 | 85,80    | 526,42   | -55,50  | 19,90   |
| 2     | Ano      |       | charakteristické | Užitné   | 1546,30 | 52,30    | 347,53   | -34,20  | 12,10   |

### Celkové nastavení výpočtu

Výpočet svislé únosnosti : analytické řešení

Typ výpočtu : výpočet pro odvodněné podmínky

### Nastavení výpočtu fáze

Návrhová situace : trvalá

Metodika posouzení : bez redukce vstupních dat

## Posouzení čís. 1

### Posouzení svíslé únosnosti piloty podle teorie MS - výsledky

Výpočet proveden s automatickým výběrem nejnepriznivějších zatěžovacích stavů.

Posouzení tlačené piloty:

Nejnepriznivější zatěžovací stav číslo 1. (návrhové)

Únosnost piloty na plášti  $R_s = 476,21$  kN

Únosnost piloty v patě  $R_b = 2054,63$  kN

Únosnost piloty  $R_c = 2530,84$  kN

Extrémní svíslá síla  $V = 2083,70$  kN

d

$R_c = 2530,84$  kN >  $2083,70$  kN =  $V_d$

Svíslá únosnost piloty VYHOVUJE

## Posouzení čís. 1

Výpočet zatěžovací křivky piloty - vstupní data

| Vrstva číslo | Počátek [m] | Konec [m] | Mocnost [m] | $E_s$ [MPa] | Součinitel a | Součinitel b |
|--------------|-------------|-----------|-------------|-------------|--------------|--------------|
| 1            | 0,00        | 6,70      | 6,70        | 19,00       | 71,00        | 64,00        |
| 2            | 6,70        | 8,10      | 1,40        | 76,52       | 154,00       | 115,00       |

Uvažovat zatížení : užité

Součinitel vlivu ochrany dřívku  $m_2 = 1,00$

Limitní sedání piloty  $s_{lim} = 25,0$  mm

Regresní součinitel e = 1596,00

Regresní součinitel f = 1400,00

Výpočet zatěžovací křivky piloty - výsledky

Zatížení na mezi mobilizace plášť.tření  $R_{yu} = 1652,66$  kN

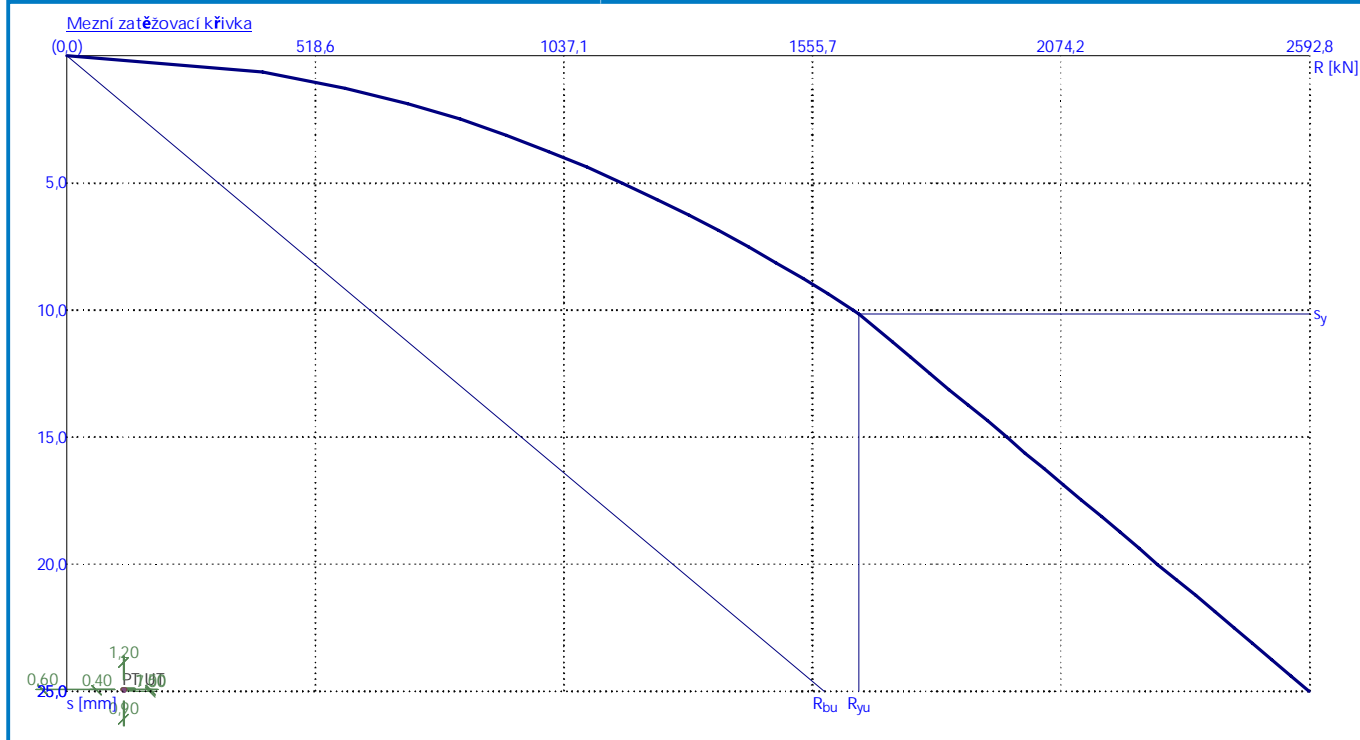
Velikost sedání odpovídající síle  $R_{yu}$   $s_y = 10,1$  mm

Únosnosti odpovídající sednutí 25,0 mm :

Únosnost paty  $R_{bu} = 1581,56$  kN

Celková únosnost  $R_c = 2592,76$  kN

Pro zatížení  $Q = 1546,30$  kN je sednutí piloty 8,9 mm



### Posouzení čís. 1

#### Vstupní data pro výpočet vodorovné únosnosti piloty

Výpočet proveden pro zatěžovací stav číslo 1. (návrhové)

Vodorovná únosnost posouzena ve směru maximálního účinku zatížení.

Maximální vnitřní síly a deformace:

Max.deformace piloty = 22,7 mm  
 Max.posouvající síla = 121,05 kN  
 Maximální moment = 585,67 kNm

#### Posouzení na tlak a ohyb

Průřez: kruhová,  $d = 0,90$  m

úsek konstrukce (1,50-8,50 m)

Vyztužení - 10 ks profil 18,0 mm; krytí 100,0 mm

Typ konstrukce (stupně vyztužení) : sloup

Stupeň vyztužení  $\mu_{st} = 0,400 \% > 0,050 \% = \mu_{st,min}$

Zatížení :  $N_d = 2083,70$  kN (tlak) ;  $M_d = 585,67$  kNm

Únosnost :  $N_u = 4120,78$  kN;  $M_u = 1158,23$  kNm

Navržená výztuž piloty VYHOVUJE

#### Posouzení na smyk

Smyková výztuž - 2 ks profil 8,0 mm; vzdálenost 250,0 mm

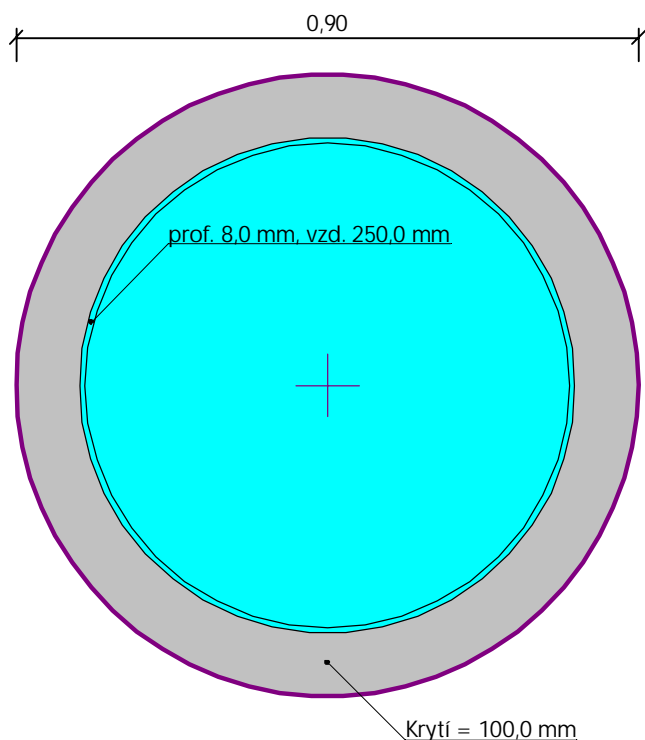
$A_b = 402,1$  mm<sup>2</sup>

Posouvající síla na mezi únosnosti:  $Q_u = 507,08$  kN  $>$   $121,05$  kN =  $Q_d$

Průřez VYHOVUJE.

pouze konstrukční smyková výztuž

## Schéma vyztužení



## Posouzení čís. 2

### Vstupní data pro výpočet vodorovné únosnosti piloty

Výpočet proveden pro zatěžovací stav číslo 2. (charakteristické)

Vodorovná únosnost posouzena ve směru maximálního účinku zatížení.

Maximální vnitřní síly a deformace:

Max.deformace piloty = 14,6 mm  
Max.posouvající síla = 78,54 kN  
Maximální moment = 382,68 kNm

### Posouzení na tlak a ohyb

Průřez: kruhová,  $d = 0,90$  m

úsek konstrukce (1,50-8,50 m)

Vyztužení - 10 ks profil 18,0 mm; krytí 100,0 mm

Typ konstrukce (stupně vyztužení) : sloup

Stupeň vyztužení  $\mu_{st} = 0,400 \% > 0,050 \% = \mu_{st,min}$

Zatížení :  $N_d = 1546,30$  kN (tlak) ;  $M_d = 382,68$  kNm

Únosnost :  $N_u = 4744,16$  kN;  $M_u = 1174,10$  kNm

Navržená výztuž piloty VYHOVUJE

### Posouzení na smyk

Smyková výztuž - 2 ks profil 8,0 mm; vzdálenost 250,0 mm

$A_b = 402,1$  mm<sup>2</sup>

Posouvající síla na mezi únosnosti:  $Q_u = 471,25$  kN  $> 78,54$  kN =  $Q_d$

Průřez VYHOVUJE.

pouze konstrukční smyková výztuž

Schéma vyztužení



## Posouzení piloty v ose 17 a 18

### Vstupní data

#### Projekt

Akce : Turnov - reko a dostavba sportovní haly  
Část : Lezecká hala - pilota osy "17" a "18"  
Vypracoval : Ing.Sinevič  
Datum : 09.2021

#### Nastavení

(zadané pro aktuální úlohu)

#### Materiály a normy

Betonové konstrukce : ČSN 73 1201 R  
Ocelové konstrukce : ČSN 73 1401  
Dřevěné konstrukce : EN 1995-1-1 (EC5)  
Dílčí součinitel vlastností dřeva :  $\gamma_M = 1,30$   
Součinitel vlivu zatížení a vlhkosti (dřevo) :  $k_{mod} = 0,50$   
Součinitel šířky průřezu ve smyku (dřevo) :  $k_{cr} = 0,67$

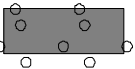
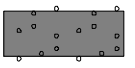
#### Piloty

Výpočet pro odvodněné podmínky : ČSN 73 1002  
Zatěžovací křivka : nelineární (Masopust)  
Vodorovná únosnost : pružný poloprostor  
Metodika posouzení : mezní stavy  
Součinitele určit podle Komentáře k ČSN 73 1002

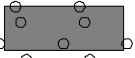
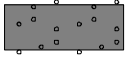
| Součinitele redukce parametrů zemin       |                 |      |     |
|---|-----------------|------|-----|
| Trvalá návrhová situace                   |                 |      |     |
| Součinitel redukce objemové tíhy zeminy : | $\gamma_{my} =$ | 1,00 | [-] |

| Součinitele redukce únosnosti                 |                 |      |     |
|---|-----------------|------|-----|
| Trvalá návrhová situace                       |                 |      |     |
| Součinitel redukce odporu na plášti :         | $\gamma_s =$    | 1,00 | [-] |
| Součinitel redukce odporu na patě :           | $\gamma_b =$    | 1,00 | [-] |
| Součinitel redukce celkové svislé únosnosti : | $\gamma_t =$    | 1,10 | [-] |
| Součinitel redukce únosnosti tažené piloty :  | $\gamma_{st} =$ | 1,50 | [-] |

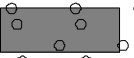
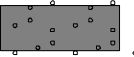
#### Základní parametry zemin

| Číslo | Název                      | Vzorek  | $\phi_{ef}$<br>[°] | $c_{ef}$<br>[kPa] | $\gamma$<br>[kN/m <sup>3</sup> ] | $\nu$<br>[-] |
|-------|----------------------------|---|--------------------|-------------------|----------------------------------|--------------|
| 1     | Třída F6, konzistence tuhá |  | 19,00              | 12,00             | 21,00                            | 0,40         |
| 2     | Třída G3, ulehlá           |  | 35,50              | 0,00              | 19,00                            | 0,25         |
| 3     | Třída S2, ulehlá           |  | 35,50              | 0,00              | 18,50                            | 0,28         |

Pro výpočet tlaku v klidu jsou všechny zeminy zadány jako nesoudržné.

| Číslo | Název                      | Vzorek  | $E_{oed}$<br>[MPa] | $E_{def}$<br>[MPa] | $\gamma_{sat}$<br>[kN/m <sup>3</sup> ] | $\gamma_s$<br>[kN/m <sup>3</sup> ] | $n$<br>[-] |
|-------|----------------------------|---|--------------------|--------------------|--|------------------------------------|------------|
| 1     | Třída F6, konzistence tuhá |  | -                  | 4,50               | 21,00                                  | -                                  | -          |
| 2     | Třída G3, ulehlá           |  | -                  | 95,00              | 19,00                                  | -                                  | -          |
| 3     | Třída S2, ulehlá           |  | -                  | 40,00              | 18,50                                  | -                                  | -          |

Parametry zemín pro výpočet modulu reakce podloží

| Číslo | Název                      | Vzorek  | Typ zeminy | $n_h$<br>[MN/m <sup>3</sup> ] |
|-------|----------------------------|---|------------|-------------------------------|
| 1     | Třída F6, konzistence tuhá |  | soudržná   | -                             |
| 2     | Třída G3, ulehlá           |  | nesoudržná | 7,00                          |
| 3     | Třída S2, ulehlá           |  | nesoudržná | 7,00                          |

### Geometrie

Profil piloty: kruhová proměnná

Rozměry

Průměr  $d_1 = 1,20$  m

Průměr  $d_2 = 0,90$  m

Délka  $l_1 = 1,50$  m

Délka  $l_2 = 7,00$  m

### Spočtené průřezové charakteristiky

Plocha  $A_1 = 1,13E+00$  m<sup>2</sup>

$A_2 = 6,36E-01$  m<sup>2</sup>

Moment setrvačnosti  $I_1 = 1,02E-01$  m<sup>4</sup>

$I_2 = 3,22E-02$  m<sup>4</sup>

Umístění

Vysazení  $h = 0,40$  m

Hloubka upraveného terénu  $h_z = 0,60$  m

Typ technologie: Vrtané piloty

Modul reakce podloží uvažován podle ČSN 731004.

### Materiál konstrukce

Objemová tíha  $\gamma = 23,00$  kN/m<sup>3</sup>

Výpočet betonových konstrukcí proveden podle normy ČSN 73 1201 R.

Beton: B 30

Pevnost v tlaku  $R_{bd} = 17,00$  MPa

Pevnost v tahu  $R_{btd} = 1,20$  MPa

Modul pružnosti  $E_b = 32500,00$  MPa

Modul pružnosti ve smyku  $G = 13650,00$  MPa

Ocel podélná: 10 505 R

Pevnost v tlaku  $R_{sc} = 420,00$  MPa

d

Pevnost v tahu  $R_{sd} = 450,00$  MPa

Ocel příčná: 10 505 R

Pevnost v tlaku  $R_{sc} = 420,00$  MPa

d

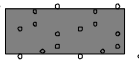
Pevnost v tahu  $R_{sd} = 450,00$  MPa

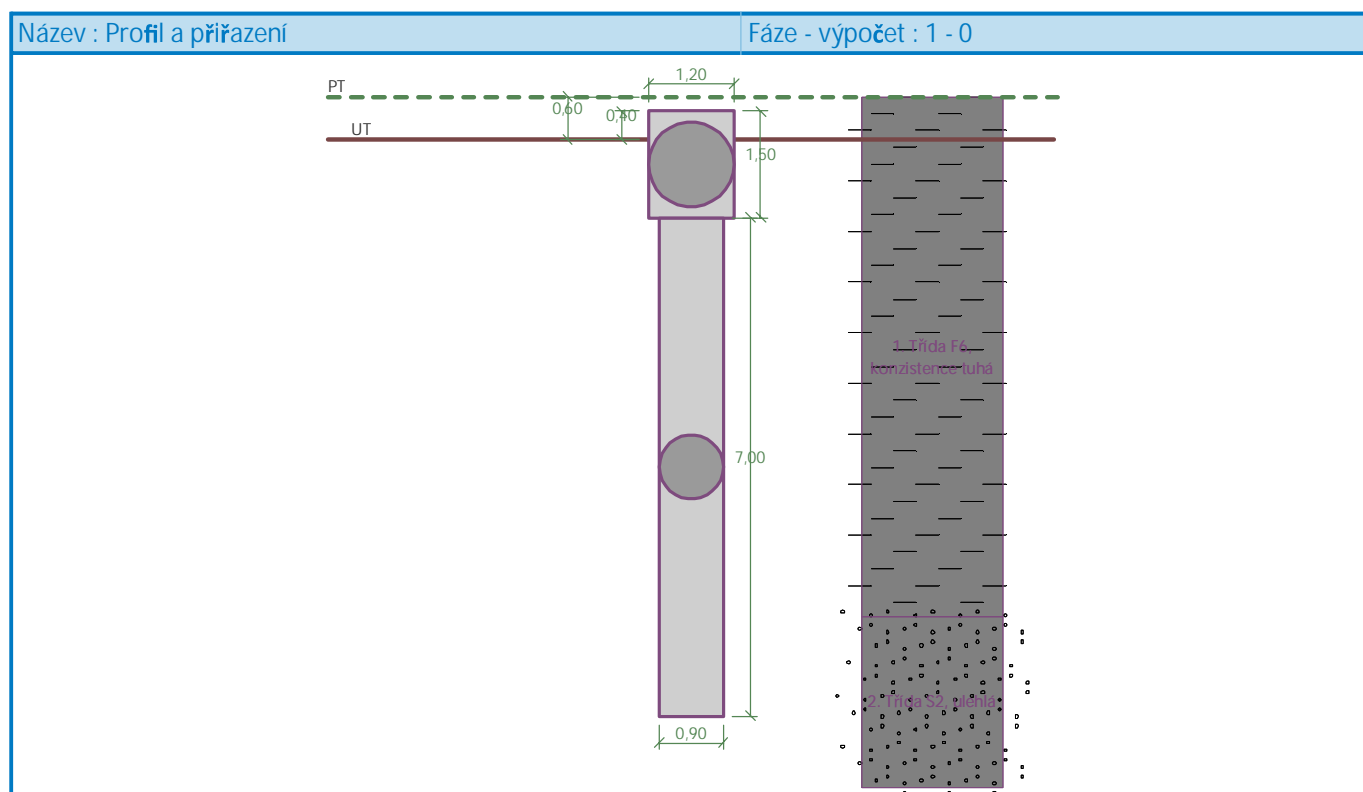
### Geologický profil a přiřazení zemín

Informace o umístění

Kóta povrchu = 270,50 m

### Geologický profil a přiřazení zemín

| Číslo | Mocnost vrstvy t [m] | Hloubka z [m] | Nadm. výška [m]  | Přiřazená zemina           | Vzorek  |
|-------|----------------------|---------------|------------------|----------------------------|---|
| 1     | 7,30                 | 0,00 .. 7,30  | 270,50 .. 263,20 | Třída F6, konzistence tuhá |  |
| 2     | -                    | 7,30 .. ∞     | 263,20 .. -      | Třída S2, ulehlá           |  |



### Zatížení

| Číslo | Zatížení |       | Název            | Typ      | N [kN]  | Mx [kNm] | My [kNm] | Hx [kN] | Hy [kN] |
|-------|----------|-------|------------------|----------|---------|----------|----------|---------|---------|
|       | nové     | změna |                  |          |         |          |          |         |         |
| 1     | Ano      |       | návrhové         | Návrhové | 1570,50 | 157,67   | 406,59   | -79,59  | 41,97   |
| 2     | Ano      |       | charakteristické | Užitné   | 1154,60 | 96,54    | 245,62   | -47,96  | 25,70   |

### Celkové nastavení výpočtu

Výpočet svíslé únosnosti : analytické řešení

Typ výpočtu : výpočet pro odvodněné podmínky

### Nastavení výpočtu fáze

Návrhová situace : trvalá

Metodika posouzení : bez redukce vstupních dat

## Posouzení čís. 1

### Posouzení svíslé únosnosti piloty podle teorie MS - výsledky

Výpočet proveden s automatickým výběrem nejnepriznivějších zatěžovacích stavů.

Posouzení tlačené piloty:

Nejnepriznivější zatěžovací stav číslo 1. (návrhové)

Únosnost piloty na plášti  $R_s = 476,21$  kN

Únosnost piloty v patě  $R_b = 2054,63$  kN

Únosnost piloty  $R_c = 2530,84$  kN

Extrémní svíslá síla  $V = 1570,50$  kN

d

$R_c = 2530,84$  kN >  $1570,50$  kN =  $V_d$

Svíslá únosnost piloty VYHOVUJE

## Posouzení čís. 1

Výpočet zatěžovací křivky piloty - vstupní data

| Vrstva číslo | Počátek [m] | Konec [m] | Mocnost [m] | $E_s$ [MPa] | Součinitel a | Součinitel b |
|--------------|-------------|-----------|-------------|-------------|--------------|--------------|
| 1            | 0,00        | 6,70      | 6,70        | 19,00       | 71,00        | 64,00        |
| 2            | 6,70        | 8,10      | 1,40        | 76,52       | 154,00       | 115,00       |

Uvažovat zatížení : užité

Součinitel vlivu ochrany dřívku  $m_2 = 1,00$

Limitní sedání piloty  $s_{lim} = 25,0$  mm

Regresní součinitel e = 1596,00

Regresní součinitel f = 1400,00

Výpočet zatěžovací křivky piloty - výsledky

Zatížení na mezi mobilizace plášť.tření  $R_{yu} = 1652,66$  kN

Velikost sedání odpovídající síle  $R_{yu}$   $s_y = 10,1$  mm

Únosnosti odpovídající sednutí 25,0 mm :

Únosnost paty  $R_{bu} = 1581,56$  kN

Celková únosnost  $R_c = 2592,76$  kN

Pro zatížení  $Q = 1154,60$  kN je sednutí piloty 5,0 mm



### Posouzení čís. 1

#### Vstupní data pro výpočet vodorovné únosnosti piloty

Výpočet proveden pro zatěžovací stav číslo 1. (návrhové)

Vodorovná únosnost posouzena ve směru maximálního účinku zatížení.

Maximální vnitřní síly a deformace:

Max.deformace piloty = 25,3 mm

Max.posouvající síla = 119,23 kN

Maximální moment = 535,25 kNm

#### Posouzení na tlak a ohyb

Průřez: kruhová,  $d = 0,90$  m

úsek konstrukce (1,50-8,50 m)

Vyztužení - 10 ks profil 18,0 mm; krytí 100,0 mm

Typ konstrukce (stupně vyztužení) : sloup

Stupeň vyztužení  $\mu_{st} = 0,400 \% > 0,050 \% = \mu_{st,min}$

Zatížení :  $N_d = 1570,50$  kN (tlak) ;  $M_d = 535,25$  kNm

Únosnost :  $N_u = 3154,90$  kN;  $M_u = 1075,25$  kNm

Navržená výztuž piloty VYHOVUJE

#### Posouzení na smyk

Smyková výztuž - 2 ks profil 8,0 mm; vzdálenost 250,0 mm

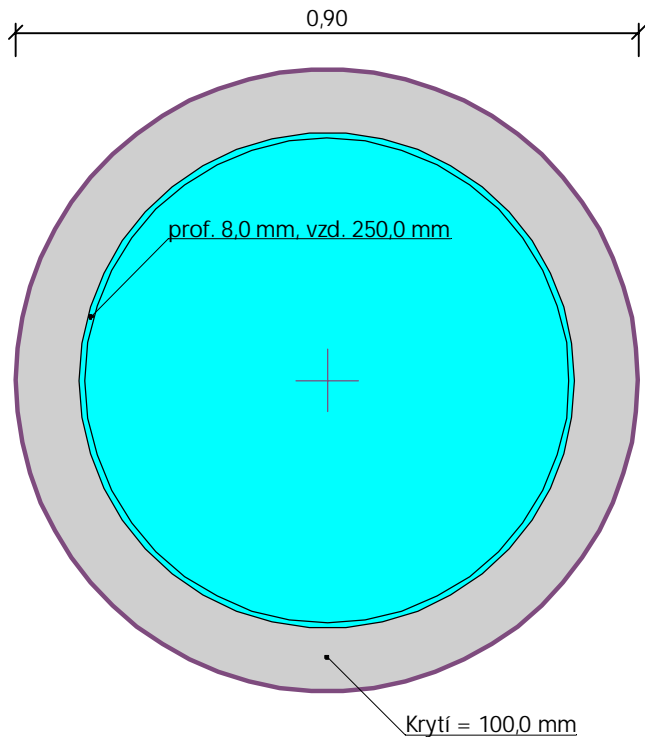
$A_b = 402,1$  mm<sup>2</sup>

Posouvající síla na mezi únosnosti:  $Q_u = 472,86$  kN  $>$   $119,23$  kN  $= Q_d$

Průřez VYHOVUJE.

pouze konstrukční smyková výztuž

## Schéma vyztužení



## Posouzení čís. 2

### Vstupní data pro výpočet vodorovné únosnosti piloty

Výpočet proveden pro zatěžovací stav číslo 2. (charakteristické)

Vodorovná únosnost posouzena ve směru maximálního účinku zatížení.

Maximální vnitřní síly a deformace:

Max.deformace piloty = 15,3 mm  
Max.posouvající síla = 72,13 kN  
Maximální moment = 323,85 kNm

### Posouzení na tlak a ohyb

Průřez: kruhová,  $d = 0,90$  m

úsek konstrukce (1,50-8,50 m)

Vyztužení - 10 ks profil 18,0 mm; krytí 100,0 mm

Typ konstrukce (stupně vyztužení) : sloup

Stupeň vyztužení  $\mu_{st} = 0,400 \% > 0,050 \% = \mu_{st,min}$

Zatížení :  $N_d = 1154,60$  kN (tlak) ;  $M_d = 323,85$  kNm

Únosnost :  $N_u = 4130,63$  kN;  $M_u = 1158,57$  kNm

Navržená výztuž piloty VYHOVUJE

### Posouzení na smyk

Smyková výztuž - 2 ks profil 8,0 mm; vzdálenost 250,0 mm

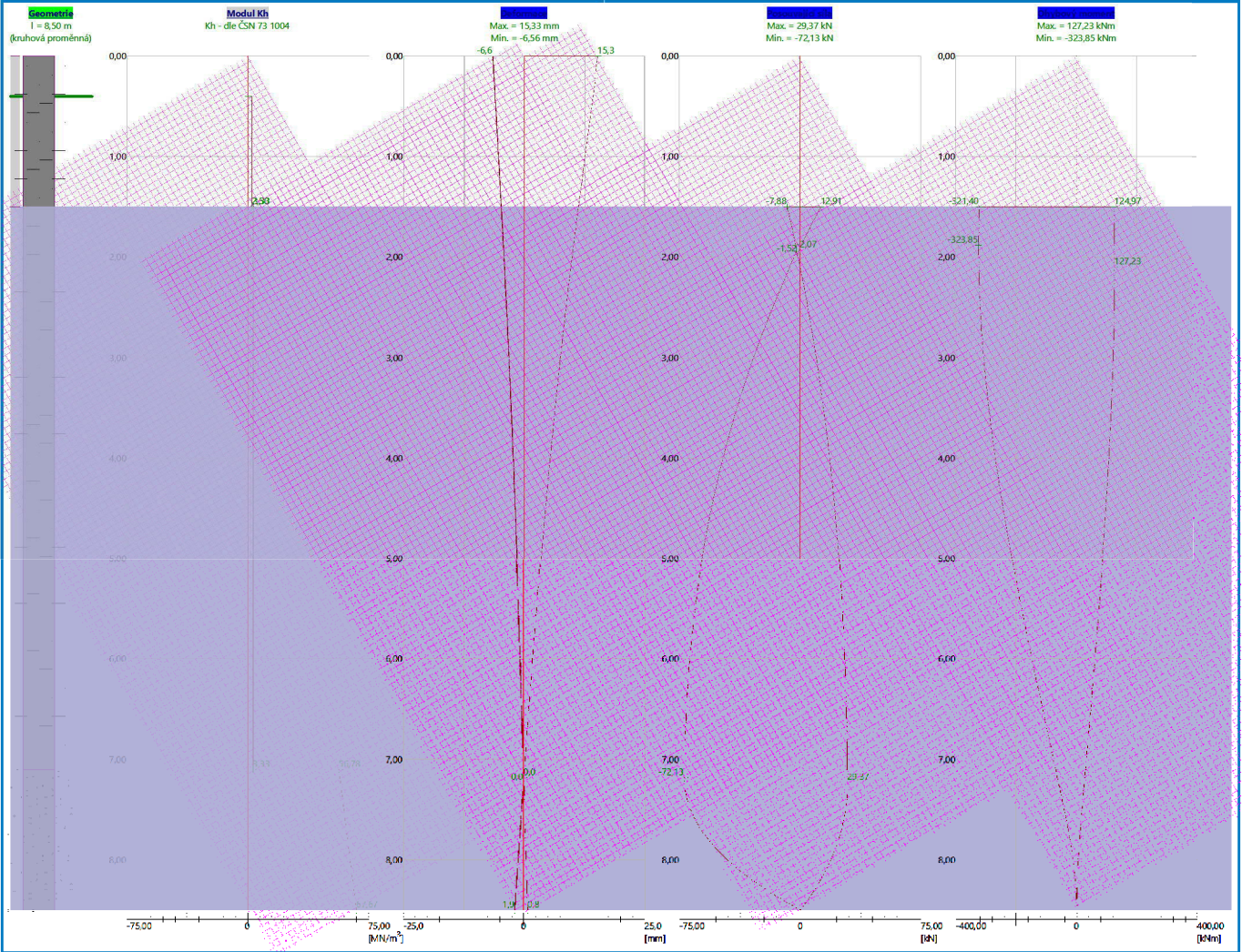
$A_b = 402,1$  mm<sup>2</sup>

Posouvající síla na mezi únosnosti:  $Q_u = 445,14$  kN  $> 72,13$  kN =  $Q_d$

Průřez VYHOVUJE.

pouze konstrukční smyková výztuž

Schéma vyztužení



## Posouzení piloty vnitřní osy

### Vstupní data

#### Projekt

Akce : Turnov - reko a dostavba sportovní haly  
Část : Lezecká hala - pilota osy vnitřní  
Vypracoval : Ing.Sinevič  
Datum : 09.2021

#### Nastavení

(zadané pro aktuální úlohu)

#### Materiály a normy

Betonové konstrukce : ČSN 73 1201 R  
Ocelové konstrukce : ČSN 73 1401  
Dřevěné konstrukce : EN 1995-1-1 (EC5)  
Dílčí součinitel vlastností dřeva :  $\gamma_M = 1,30$   
Součinitel vlivu zatížení a vlhkosti (dřevo) :  $k_{mod} = 0,50$   
Součinitel šířky průřezu ve smyku (dřevo) :  $k_{cr} = 0,67$

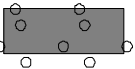
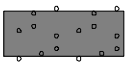
#### Piloty

Výpočet pro odvozené podmínky : ČSN 73 1002  
Zatěžovací křivka : nelineární (Masopust)  
Vodorovná únosnost : pružný poloprostor  
Metodika posouzení : mezní stavy  
Součinitele určit podle Komentáře k ČSN 73 1002

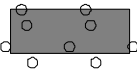
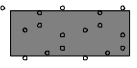
| Součinitele redukce parametrů zemin       |                 |      |     |
|---|-----------------|------|-----|
| Trvalá návrhová situace                   |                 |      |     |
| Součinitel redukce objemové tíhy zeminy : | $\gamma_{my} =$ | 1,00 | [-] |

| Součinitele redukce únosnosti                 |                 |      |     |
|---|-----------------|------|-----|
| Trvalá návrhová situace                       |                 |      |     |
| Součinitel redukce odporu na plášti :         | $\gamma_s =$    | 1,00 | [-] |
| Součinitel redukce odporu na patě :           | $\gamma_b =$    | 1,00 | [-] |
| Součinitel redukce celkové svislé únosnosti : | $\gamma_t =$    | 1,10 | [-] |
| Součinitel redukce únosnosti tažené piloty :  | $\gamma_{st} =$ | 1,50 | [-] |

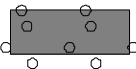
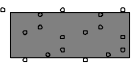
#### Základní parametry zemin

| Číslo | Název                      | Vzorek  | $\phi_{ef}$<br>[°] | $c_{ef}$<br>[kPa] | $\gamma$<br>[kN/m <sup>3</sup> ] | $\nu$<br>[-] |
|-------|----------------------------|---|--------------------|-------------------|----------------------------------|--------------|
| 1     | Třída F6, konzistence tuhá |  | 19,00              | 12,00             | 21,00                            | 0,40         |
| 2     | Třída G3, ulehlá           |  | 35,50              | 0,00              | 19,00                            | 0,25         |
| 3     | Třída S2, ulehlá           |  | 35,50              | 0,00              | 18,50                            | 0,28         |

Pro výpočet tlaku v klidu jsou všechny zeminy zadány jako nesoudržné.

| Číslo | Název                      | Vzorek  | $E_{oed}$<br>[MPa] | $E_{def}$<br>[MPa] | $\gamma_{sat}$<br>[kN/m <sup>3</sup> ] | $\gamma_s$<br>[kN/m <sup>3</sup> ] | $n$<br>[-] |
|-------|----------------------------|---|--------------------|--------------------|--|------------------------------------|------------|
| 1     | Třída F6, konzistence tuhá |  | -                  | 4,50               | 21,00                                  | -                                  | -          |
| 2     | Třída G3, ulehlá           |  | -                  | 95,00              | 19,00                                  | -                                  | -          |
| 3     | Třída S2, ulehlá           |  | -                  | 40,00              | 18,50                                  | -                                  | -          |

Parametry zemín pro výpočet modulu reakce podloží

| Číslo | Název                      | Vzorek  | Typ zeminy | $n_h$<br>[MN/m <sup>3</sup> ] |
|-------|----------------------------|---|------------|-------------------------------|
| 1     | Třída F6, konzistence tuhá |  | soudržná   | -                             |
| 2     | Třída G3, ulehlá           |  | nesoudržná | 7,00                          |
| 3     | Třída S2, ulehlá           |  | nesoudržná | 7,00                          |

### Geometrie

Profil piloty: kruhová proměnná

Rozměry

Průměr  $d_1 = 0,90$  m

Průměr  $d_2 = 0,60$  m

Délka  $l_1 = 1,20$  m

Délka  $l_2 = 4,00$  m

### Spočtené průřezové charakteristiky

Plocha  $A_1 = 6,36E-01$  m<sup>2</sup>

1

$A_2 = 2,83E-01$  m<sup>2</sup>

2

Moment setrvačnosti  $I_1 = 3,22E-02$  m<sup>4</sup>

$I_2 = 6,36E-03$  m<sup>4</sup>

Umístění

Vysazení  $h = 0,40$  m

Hloubka upraveného terénu  $h_z = 0,60$  m

Typ technologie: Vrtané piloty

Modul reakce podloží uvažován podle ČSN 731004.

### Materiál konstrukce

Objemová tíha  $\gamma = 23,00$  kN/m<sup>3</sup>

Výpočet betonových konstrukcí proveden podle normy ČSN 73 1201 R.

Beton: B 30

Pevnost v tlaku  $R_{bd} = 17,00$  MPa

Pevnost v tahu  $R_{btd} = 1,20$  MPa

Modul pružnosti  $E_b = 32500,00$  MPa

Modul pružnosti ve smyku  $G = 13650,00$  MPa

Ocel podélná: 10 505 R

Pevnost v tlaku  $R_{sc} = 420,00$  MPa

d

Pevnost v tahu  $R_{sd} = 450,00$  MPa

Ocel příčná: 10 505 R

Pevnost v tlaku  $R_{sc} = 420,00$  MPa

d

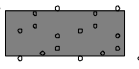
Pevnost v tahu  $R_{sd} = 450,00$  MPa

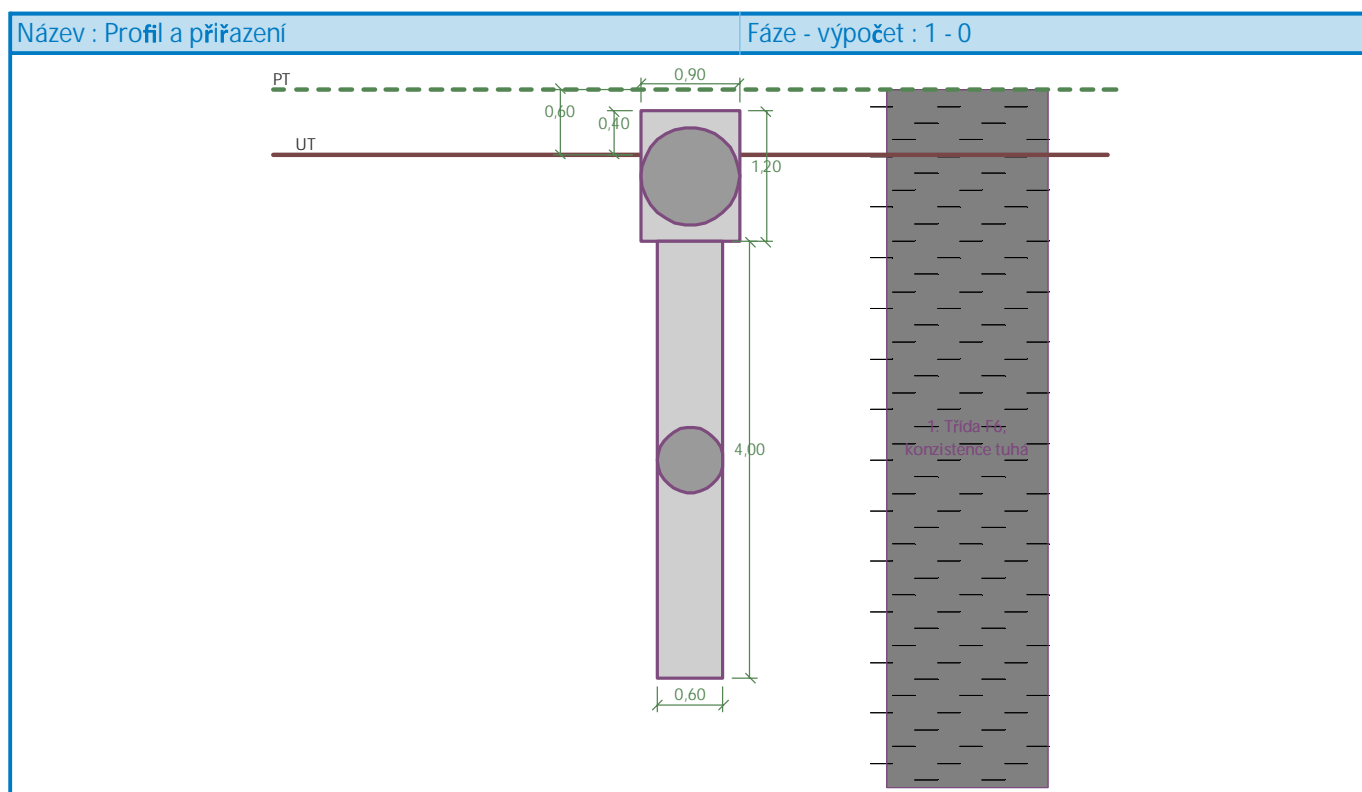
### Geologický profil a přiřazení zemin

Informace o umístění

Kóta povrchu = 270,50 m

### Geologický profil a přiřazení zemin

| Číslo | Mocnost vrstvy t [m] | Hloubka z [m] | Nadm. výška [m]  | Přiřazená zemina           | Vzorek  |
|-------|----------------------|---------------|------------------|----------------------------|---|
| 1     | 7,30                 | 0,00 .. 7,30  | 270,50 .. 263,20 | Třída F6, konzistence tuhá |  |
| 2     | -                    | 7,30 .. ∞     | 263,20 .. -      | Třída S2, ulehlá           |  |



### Zatížení

| Číslo | Zatížení |       | Název            | Typ      | N [kN] | Mx [kNm] | My [kNm] | Hx [kN] | Hy [kN] |
|-------|----------|-------|------------------|----------|--------|----------|----------|---------|---------|
|       | nové     | změna |                  |          |        |          |          |         |         |
| 1     | Ano      |       | návrhové         | Návrhové | 360,60 | 14,41    | 72,06    | -18,02  | 3,56    |
| 2     | Ano      |       | charakteristické | Užitné   | 262,24 | 8,95     | 43,96    | -10,99  | 2,22    |

### Celkové nastavení výpočtu

Výpočet svislé únosnosti : analytické řešení

Typ výpočtu : výpočet pro odvodněné podmínky

### Nastavení výpočtu fáze

Návrhová situace : trvalá

Metodika posouzení : bez redukce vstupních dat

# Posouzení čís. 1

## Výpočet zatěžovací křivky piloty - vstupní data

| Vrstva číslo | Počátek [m] | Konec [m] | Mocnost [m] | $E_s$ [MPa] | Součinitel a | Součinitel b |
|--------------|-------------|-----------|-------------|-------------|--------------|--------------|
| 1            | 0,00        | 4,80      | 4,80        | 14,00       | 71,00        | 64,00        |

Uvažovat zatížení : užité

Součinitel vlivu ochrany dřívku  $m_2 = 1,00$

Limitní sedání piloty  $s_{lim} = 25,0$  mm

Regresní součinitel  $e = 600,00$

Regresní součinitel  $f = 600,00$

## Výpočet zatěžovací křivky piloty - výsledky

Zatížení na mezi mobilizace plášť.tření  $R_{yu} = 406,26$  kN

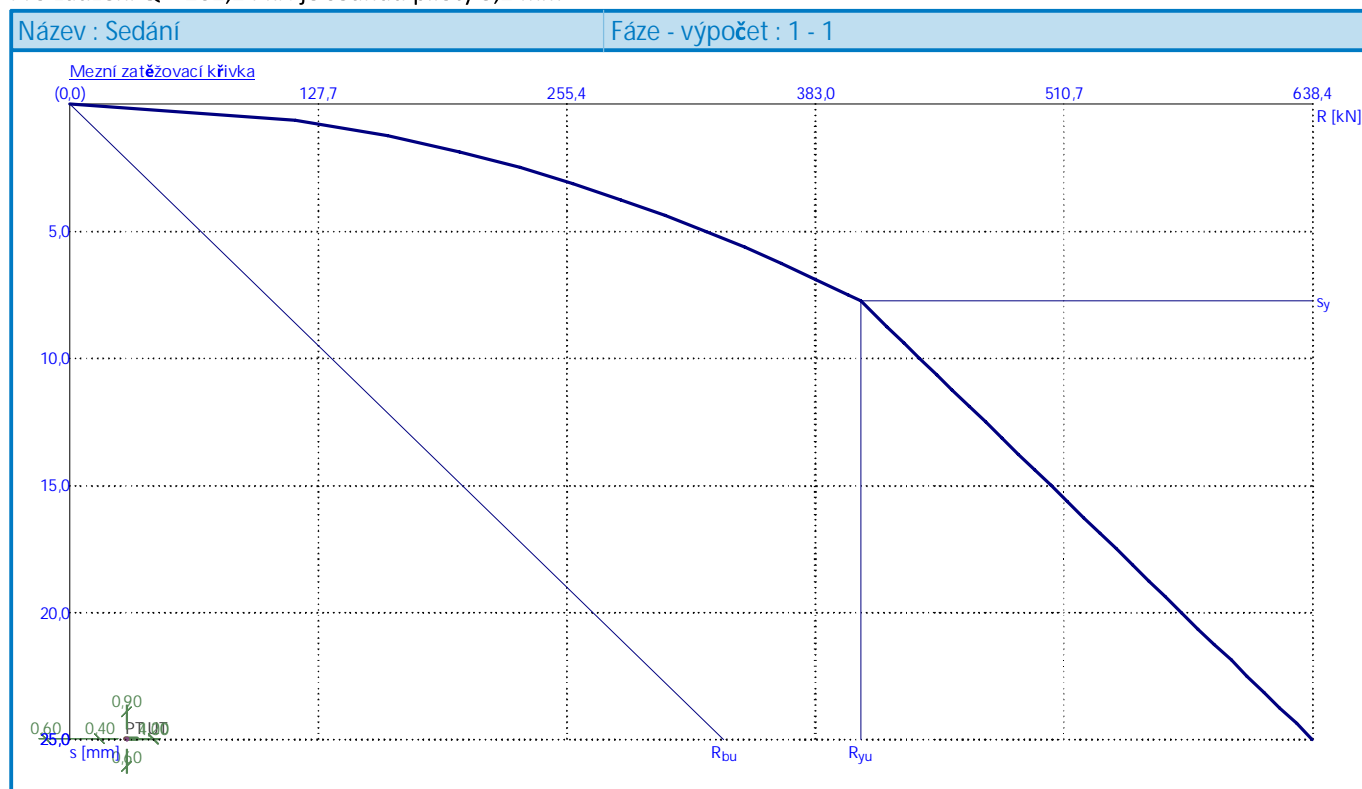
Velikost sedání odpovídající síle  $R_{yu}$   $s_y = 7,7$  mm

Únosnosti odpovídající sednutí 25,0 mm :

Únosnost paty  $R_{bu} = 336,05$  kN

Celková únosnost  $R_c = 638,40$  kN

Pro zatížení  $Q = 262,24$  kN je sednutí piloty 3,2 mm



## Posouzení čís. 1

### Vstupní data pro výpočet vodorovné únosnosti piloty

Výpočet proveden pro zatěžovací stav číslo 1. (návrhové)

Vodorovná únosnost posouzena ve směru maximálního účinku zatížení.

### Maximální vnitřní síly a deformace:

Deformace hlavy piloty = 14,7 mm  
Max.deformace piloty = 14,7 mm  
Max.posouvající síla = 30,18 kN  
Maximální moment = 81,63 kNm

### Posouzení na tlak a ohyb

Průřez: kruhová,  $d = 0,60$  m

úsek konstrukce (1,50-5,20 m)

Vyztužení - 10 ks profil 18,0 mm; krytí 100,0 mm

Typ konstrukce (stupně vyztužení) : sloup

Stupeň vyztužení  $\mu_{st} = 0,900 \% > 0,050 \% = \mu_{st,min}$

Zatížení :  $N_d = 360,60$  kN (tlak) ;  $M_d = 81,63$  kNm

Únosnost :  $N_u = 1648,54$  kN;  $M_u = 373,20$  kNm

Navržená výztuž piloty VYHOVUJE

### Posouzení na smyk

Smyková výztuž - 2 ks profil 8,0 mm; vzdálenost 250,0 mm

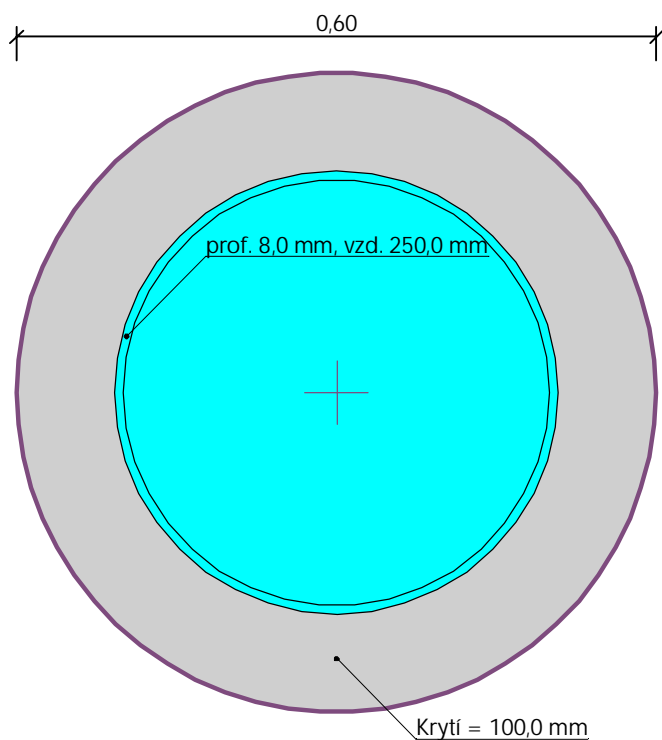
$A_b = 402,1$  mm<sup>2</sup>

Posouvající síla na mezi únosnosti:  $Q_u = 220,23$  kN  $>$   $30,18$  kN =  $Q_d$

Průřez VYHOVUJE.

pouze konstrukční smyková výztuž

### Schéma vyztužení



## Posouzení čís. 2

### Vstupní data pro výpočet vodorovné únosnosti piloty

Výpočet proveden pro zatěžovací stav číslo 2. (charakteristické)

Vodorovná únosnost posouzena ve směru maximálního účinku zatížení.

Maximální vnitřní síly a deformace:

|                          |           |
|--------------------------|-----------|
| Deformace hlavy piloty = | 9,0 mm    |
| Max.deformace piloty =   | 9,0 mm    |
| Max.posouvající síla =   | 18,43 kN  |
| Maximální moment =       | 49,83 kNm |

### Posouzení na tlak a ohyb

Průřez: kruhová,  $d = 0,60$  m

úsek konstrukce (1,50-5,20 m)

Vyztužení - 10 ks profil 18,0 mm; krytí 100,0 mm

Typ konstrukce (stupně vyztužení) : sloup

Stupeň vyztužení  $\mu_{st} = 0,900 \% > 0,050 \% = \mu_{st,min}$

Zatížení :  $N_d = 262,24$  kN (tlak) ;  $M_d = 49,83$  kNm

Únosnost :  $N_u = 1971,32$  kN;  $M_u = 374,61$  kNm

Navržená výztuž piloty VYHOVUJE

### Posouzení na smyk

Smyková výztuž - 2 ks profil 8,0 mm; vzdálenost 250,0 mm

$A_b = 402,1$  mm<sup>2</sup>

Posouvající síla na mezi únosnosti:  $Q_u = 213,36$  kN  $> 18,43$  kN =  $Q_d$

Průřez VYHOVUJE.

pouze konstrukční smyková výztuž

### Schéma vyztužení

